

EVO S.r.l.	green & green WE ENGINEERING	CODE CODICE C23EOSW002S001R00
		PAGE 1 di/of 219

Regione Sardegna

Provincia di Sassari

Comune di Calangianus

“Impianto eolico di potenza nominale pari a 33 MW integrato con un sistema di accumulo di potenza nominale pari a 25 MW da realizzarsi nel Comune di Calangianus (SS)”

RELAZIONE GEOTECNICA

Il Tecnico

Ing. Leonardo Sblendido



File:C23EOSW002S001R00_Relazione Geotecnica.docx

00	09/02/2023	Prima Emissione	M.Sblendido	D. Morelli	L. Sblendido
REV.	DATE	DESCRIPTION	PREPARED	VERIFIED	APPROVED

EVO S.r.l.	 <small>WE ENGINEERING</small>	CODE CODICE C23EOSW002S001R00
		PAGE 2 di/of 219

INDICE

1. PREMESSA	4
1.1 GENERALITÀ	4
1.2 DESCRIZIONE GENERALE DELL'IMPIANTO	4
1.3 SCOPO DEL LAVORO E METODOLOGIE DI INDAGINE	5
1.4 RACCOMANDAZIONI E NORMATIVE TECNICHE	5
2. INQUADRAMENTO GEOGRAFICO E CARTOGRAFICO	6
3. INQUADRAMENTO GEOLOGICO	8
3.1. INQUADRAMENTO GEOLOGICO – STRUTTURALE GENERALE	8
3.2 Assetto geologico stratigrafico-locale	18
4. INDAGINI GEOGNOSTICHE	25
5. CARATTERISTICHE SISMICHE GENERALI	25
5.1. SISMICITÀ E TETTONICA ATTIVA	25
5.1.1. LE SORGENTI SISMOGENETICHE	25
5.1.2. ITHACA – DATABASE DELLE FAGLIE CAPACI	26
5.2. MACROZONAZIONE SISMICA - PERICOLOSITÀ SISMICA DI BASE	28
6. LIQUEFAZIONE	29
7. CATEGORIA DI SOTTOSUOLO	30
8. CATEGORIA TOPOGRAFICA	33
9. LITOSTRATIGRAFIA LOCALE E CARATTERIZZAZIONE GEOTECNICA	33
10. RELAZIONE DI CALCOLO	35
10.1 Parametri di progetto	35
1.1. Quadro normativo di riferimento adottato	35
1.2. Azioni di progetto sulla costruzione	35
1.3. Modello numerico	36
1.3.1. Informazioni sul codice di calcolo	36
1.4. Combinazioni e/o percorsi di carico	38
2. NORMATIVA DI RIFERIMENTO	40
3. CARICO LIMITE DI FONDAZIONI SUPERFICIALI SU TERRENI	44
4. CARICO LIMITE DI FONDAZIONI SUPERFICIALI SU ROCCIA	51
5. VERIFICA A ROTTURA PER SCORRIMENTO DI FONDAZIONI SUPERFICIALI	53
6. DETERMINAZIONE DELLE TENSIONI INDOTTE NEL TERRENO	54
7. CALCOLO DEI CEDIMENTI DELLA FONDATIONE	56
8. SIMBOLOGIA ADOTTATA NEI TABULATI DI CALCOLO	58
9. PARAMETRI DI CALCOLO	62
10. DATI GEOMETRICI DEGLI ELEMENTI COSTITUENTI LE FONDAZIONI SUPERFICIALI	65
10.1. LEGENDA TABELLA DATI GEOMETRICI	65
11. DATI DI CARICO DEGLI ELEMENTI COSTITUENTI LE FONDAZIONI SUPERFICIALI	81
11.1. LEGENDA TABELLA CARICHI DEGLI ELEMENTI	81

EVO S.r.l.	 WE ENGINEERING	CODE CODICE C23EOSW002S001R00															
		<i>PAGE</i> 3 di/of 219															
<table style="width: 100%; border-collapse: collapse;"> <tr> <td style="width: 10%;"></td> <td style="width: 80%; vertical-align: bottom;"> 12. VALORI DI CALCOLO DELLA PORTANZA PER FONDAZIONI SUPERFICIALI 85 12.1. LEGENDA TABELLA DATI MATERIALI..... 85 </td> <td style="width: 10%;"></td> </tr> <tr> <td></td> <td style="vertical-align: bottom;"> 13. VALORI DI CALCOLO DELLO SCORRIMENTO 90 13.1. SCORRIMENTO LONGITUDINALE 90 13.1.1.. LEGENDA TABELLA VERIFICHE ELEMENTI 90 </td> <td></td> </tr> <tr> <td></td> <td style="vertical-align: bottom;"> 13.2. SCORRIMENTO TRASVERSALE 91 13.2.1. LEGENDA TABELLA VERIFICHE ELEMENTI 91 </td> <td></td> </tr> <tr> <td></td> <td style="vertical-align: bottom;"> 14. VALORI DI CALCOLO DEI CEDIMENTI PER FONDAZIONI SUPERFICIALI 94 14.1. LEGENDA TABELLA VERIFICHE ELEMENTI..... 94 </td> <td></td> </tr> <tr> <td></td> <td style="vertical-align: bottom;"> 15. CONCLUSIONI..... 219 </td> <td></td> </tr> </table>				12. VALORI DI CALCOLO DELLA PORTANZA PER FONDAZIONI SUPERFICIALI 85 12.1. LEGENDA TABELLA DATI MATERIALI..... 85			13. VALORI DI CALCOLO DELLO SCORRIMENTO 90 13.1. SCORRIMENTO LONGITUDINALE 90 13.1.1.. LEGENDA TABELLA VERIFICHE ELEMENTI 90			13.2. SCORRIMENTO TRASVERSALE 91 13.2.1. LEGENDA TABELLA VERIFICHE ELEMENTI 91			14. VALORI DI CALCOLO DEI CEDIMENTI PER FONDAZIONI SUPERFICIALI 94 14.1. LEGENDA TABELLA VERIFICHE ELEMENTI..... 94			15. CONCLUSIONI..... 219	
	12. VALORI DI CALCOLO DELLA PORTANZA PER FONDAZIONI SUPERFICIALI 85 12.1. LEGENDA TABELLA DATI MATERIALI..... 85																
	13. VALORI DI CALCOLO DELLO SCORRIMENTO 90 13.1. SCORRIMENTO LONGITUDINALE 90 13.1.1.. LEGENDA TABELLA VERIFICHE ELEMENTI 90																
	13.2. SCORRIMENTO TRASVERSALE 91 13.2.1. LEGENDA TABELLA VERIFICHE ELEMENTI 91																
	14. VALORI DI CALCOLO DEI CEDIMENTI PER FONDAZIONI SUPERFICIALI 94 14.1. LEGENDA TABELLA VERIFICHE ELEMENTI..... 94																
	15. CONCLUSIONI..... 219																

EVO S.r.l.	 WE ENGINEERING	CODE CODICE C23EOSW002S001R00
		PAGE 4 di/of 219

1. PREMESSA

1.1 GENERALITÀ

L'impianto eolico in progetto è costituito da 5 aerogeneratori (anche detti WTG) di potenza nominale unitaria pari a 6,6 MWp, per una potenza nominale complessiva pari a 33 MW. L'impianto è integrato da un sistema di accumulo di potenza nominale pari a 25 MW e corredata dalle opere di connessione e dalle infrastrutture indispensabili alla costruzione e all'esercizio dello stesso. Tutte le turbine e le opere di connessione ricadono all'interno dei confini comunali di Calangianus, in provincia di Sassari.

Per come riportato nella STMG (cod. pratica: 202303981), la centrale utente verrà collegata in antenna a 150 kV su una nuova Stazione Elettrica di Trasformazione della RTN a 380/150 kV da collegare tramite un elettrodotto 380 kV al futuro ampliamento della Stazione Elettrica (SE) di Trasformazione della RTN di Codrongianos e da collegare tramite due nuovi elettrodotti a 150 kV alla nuova Stazione Elettrica di Smistamento della RTN a 150 kV in GIS denominata "Tempio" (prevista dal Piano di Sviluppo Terna).

L'energia elettrica prodotta dall'impianto concorrerà al raggiungimento dell'obiettivo di incrementare la produzione di energia elettrica da fonti rinnovabili, coerentemente con gli accordi siglati a livello comunitario dall'Italia.

In fase esecutiva, le ipotesi e le prescrizioni contenute nella presente relazione dovranno essere necessariamente verificate. Se il confronto tra i dati forniti dalla presente relazione e quelli provenienti da osservazioni dirette dovesse evidenziare differenze sostanziali, nel pieno rispetto del D.M. 17/01/2018, le indagini dovranno essere necessariamente integrate e le opere adeguate alle eventuali criticità riscontrate.

1.2 DESCRIZIONE GENERALE DELL'IMPIANTO

Il parco eolico è costituito da cinque (5) aerogeneratori e relative opere di connessione e interessa il comune di Calangianus in provincia di Sassari.

L'impianto, proposto in aree distanti da centri abitati, si sviluppa altimetricamente tra le quote 640 e 760 m.s.l.m. circa.

Il progetto nel suo insieme prevede la realizzazione di:

- Fondazioni degli aerogeneratori;
- Piazzole di monitoraggio e manutenzione per ogni singolo aerogeneratore;
- Viabilità interna di impianto per consentire l'accesso alle singole piazzole sia per le fasi di cantiere che per le fasi di manutenzione;
- Eventuale adeguamento della viabilità esistente interna all'area di impianto per consentire la trasportabilità delle componenti;

EVO S.r.l.	 WE ENGINEERING	CODE CODICE C23EOSW002S001R00
		PAGE 5 di/of 219

- Elettrodotto MT (380kV) interranti interni all'impianto di connessione tra i singoli aerogeneratori e di veicolazione dell'energia prodotta dall'intero parco eolico SSE;
- Opere di connessione alla RTN (compresa la sottostazione elettrica e 380/150 kV);

Le coordinate degli aerogeneratori costituenti l'impianto, della cabina di raccolta e della Sottostazione di nuova realizzazione, espresse nel sistema di riferimento UTM-WGS84 (fuso32); risultano:

COMUNE	WTG	FOGLIO	PARTICELLA	UTM-WGS84 32N	
				EST	NORD
Calangianus	1	34	223	523092	4532289
			234		
			252		
	2	37	4	520447	4530252
	3	34	252	522458	4531994
	4	32	144	518809	4529721
	5	37	142	519941	4529783
SSE-BESS		69	280	521548	4522631

Tabella 1: Coordinate degli aerogeneratori.

1.3 SCOPO DEL LAVORO E METODOLOGIE DI INDAGINE

L'obiettivo del lavoro è stato quello di fornire un modello geologico-tecnico di prima approssimazione dell'area; in particolare, lo studio è stato impostato seguendo quelle che sono le direttive ministeriali e regionali, allo scopo di:

Nella presente fase progettuale non vengono definite in maniera dettagliata le caratteristiche geometriche e geotecniche dei litotipi, dato che sarà approfondito nella successiva fase di progetto mediante una adeguata campagna di indagini geognostiche.

1.4 RACCOMANDAZIONI E NORMATIVE TECNICHE

La presente relazione e gli studi ad essa associati sono redatti in conformità a quanto previsto dalla normativa tecnica, fra cui di seguito sono elencati i principali riferimenti:

- ✓ Decreto Ministero dei Lavori Pubblici n. 47 (11 marzo 1988) "Norme tecniche riguardanti le indagini sui terreni e sulle rocce, la stabilità dei pendii naturali e delle scarpate, i criteri generali e le prescrizioni per la progettazione, l'esecuzione ed il collaudo delle opere di sostegno delle terre e delle opere di fondazione"

EVO S.r.l.	 WE ENGINEERING	CODE CODICE C23EOSW002S001R00
		PAGE 6 di/of 219

- ✓ Circolare Min. LL.PP: 24 settembre 1988 n° 30483: "Istruzioni riguardanti le indagini sui terreni e sulle rocce, la stabilità dei pendii naturali e delle scarpate, i criteri generali e le prescrizioni per la progettazione, l'esecuzione ed il collaudo delle opere di sostegno delle terre e delle opere di fondazione".
- ✓ Eurocodice 8 – Indicazioni progettuali per la resistenza sismica delle strutture. Parte 5: Fondazioni, Strutture di contenimento ed Aspetti geotecnici (1998).
- ✓ Circolare Ministero Lavori Pubblici 24 settembre 1988 n.30483 "Norme tecniche riguardanti le indagini sui terreni e sulle rocce, la stabilità dei pendii naturali e delle scarpate, i criteri generali e le prescrizioni per la progettazione, l'esecuzione e il collaudo delle opere di sostegno delle terre e delle opere di fondazione. Istruzioni per l'applicazione". (Pres. Cons. Superiore — Servizio Tecnico Centrale).
- ✓ D.P.R 6 giugno 2001 n. 380: "Testo unico delle disposizioni legislative e regolamentari in materia edilizia";
- ✓ Ordinanza del Presidente del Consiglio dei Ministri del 20 marzo 2003 "Primi elementi in materia di criteri generali per la classificazione sismica del territorio nazionale e di normative tecniche per le costruzioni in zona sismica (ordinanza n. 3274 – Allegati 1, 2 e 3);
- ✓ Nuove Norme Tecniche per le Costruzioni di cui al DM 14/01/2008 pubblicate sulla G.U. n° 29 del 04.02.2008;
- ✓ Istruzioni per l'applicazione delle "Nuove Norme Tecniche per le Costruzioni" di cui al DM 14/01/2008. Circolare 02/02/2009 n° 617 C.S.LL.PP;
- ✓ O.P.C.M. 13/11/2010 n. 3907: "Contributi per gli interventi di prevenzione del rischio sismico";
- ✓ DM 17/01/2018: Aggiornamento delle Norme tecniche per le costruzioni;

È necessario ricordare che le norme stesse tengono conto del fatto che la fase di progetto non è sufficiente per definire nei dettagli la reale situazione geologico-tecnica. È necessario pertanto che, in base a quanto disposto dalle norme medesime, sia da eseguirsi, in relazione alle esigenze della fase costruttiva, il controllo delle ipotesi di progetto attraverso i dati ottenuti con verifiche nel corso dei lavori, adottando il cosiddetto "Metodo Osservazionale", volto al controllo e all'eventuale modifica di quelle variabili di progetto sensibili alle caratteristiche geologiche e geotecniche effettivamente riscontrate.

2. INQUADRAMENTO GEOGRAFICO E CARTOGRAFICO

L'area oggetto del presente studio ricade integralmente nel territorio comunale di Calangianus, alle

EVO S.r.l.	 WE ENGINEERING	CODE CODICE C23EOSW002S001R00
		PAGE 7 di/of 219

località Alvicosu, Pudistaiu, Tana e Pinu Toltu; le aree sono comprese fra le quote 640 e 740 m.s.l.m.

Il Centro abitato più prossimo alle aree di impianto è quello di Calangianus (2,5 km circa ad ovest). Di seguito si riporta un inquadramento generale del layout di progetto.



Figura 1: Inquadramento territoriale (non in scala) dell'area di impianto e del cavidotto su base Carta Topografica d'Italia in scala 1:100.000, da GeoPortale Nazionale.

3. INQUADRAMENTO GEOLOGICO

3.1. INQUADRAMENTO GEOLOGICO – STRUTTURALE GENERALE

EVO S.r.l.	 WE ENGINEERING	CODE CODICE C23EOSW002S001R00
		PAGE 9 di/of 219

L'inquadramento geologico che qui segue riprende largamente quanto riportato nelle note illustrate del Foglio Geologico CarG 443, "Tempio Pausania", che comprende l'intera area di impianto e le cui note descrivono anche il quadro generale del settore.

La Sardegna è usualmente divisa in tre complessi: il basamento metamorfico ercinico, il complesso intrusivo tardo-ercinico, le coperture sedimentarie e vulcaniche tardo-erciniche, mesozoiche e cenozoiche.

Il basamento sardo è un segmento della catena ercinica sud-europea, considerata una catena collisionale, con subduzione di crosta oceanica e metamorfismo di alta pressione a partire dal Siluriano, e collisione continentale con importante ispessimento crostale, metamorfismo e magmatismo durante il Devoniano e il Carbonifero. In Sardegna la geometria collisionale della catena ercinica è ancora ben riconoscibile. Secondo alcuni autori il margine armoricano sovrascorso è rappresentato dal complesso metamorfico di alto grado che affiora nella Sardegna settentrionale, mentre il margine del Gondwana subdotto è rappresentato da un complesso metamorfico di basso e medio grado, a sua volta suddiviso in Falde interne e Falde esterne, che affiora nella Sardegna centrale e sud-orientale. I due complessi sono separati dalla Linea Posada-Asinara, lungo la quale si rinvengono relitti di crosta oceanica.

Alla strutturazione collisionale segue nel tardo-ercinico un'evoluzione caratterizzata da: collasso gravitativo della catena, metamorfismo di alto T/P, messa in posto delle plutoniti che formano il Batolite sardo-corso.

Dopo l'Orogenesi ercinica altri settori di crosta sono stati incorporati nella catena pirenaica, nelle Alpi e nell'Appennino, mentre il settore di crosta che attualmente costituisce il Blocco sardo-corso non è stato coinvolto in eventi orogenici di qualche rilevanza. Le deformazioni più importanti sono di carattere trascorrente e si manifestano tra l'Oligocene ed il Miocene.

La successione stratigrafica attualmente riconosciuta parte dal Mesozoico e tali successioni appartengono alla piattaforma connessa con l'evoluzione del margine passivo sud-europeo, costituita prevalentemente da calcari e da dolomie. I depositi più diffusi, riferiti al Terziario, sono rappresentati da vulcaniti e da sedimenti clastici e carbonatici. Le vulcaniti sono costituite da lave andesitiche alternate a flussi piroclastici saldati e non saldati a chimismo riolitico e rioclastico.

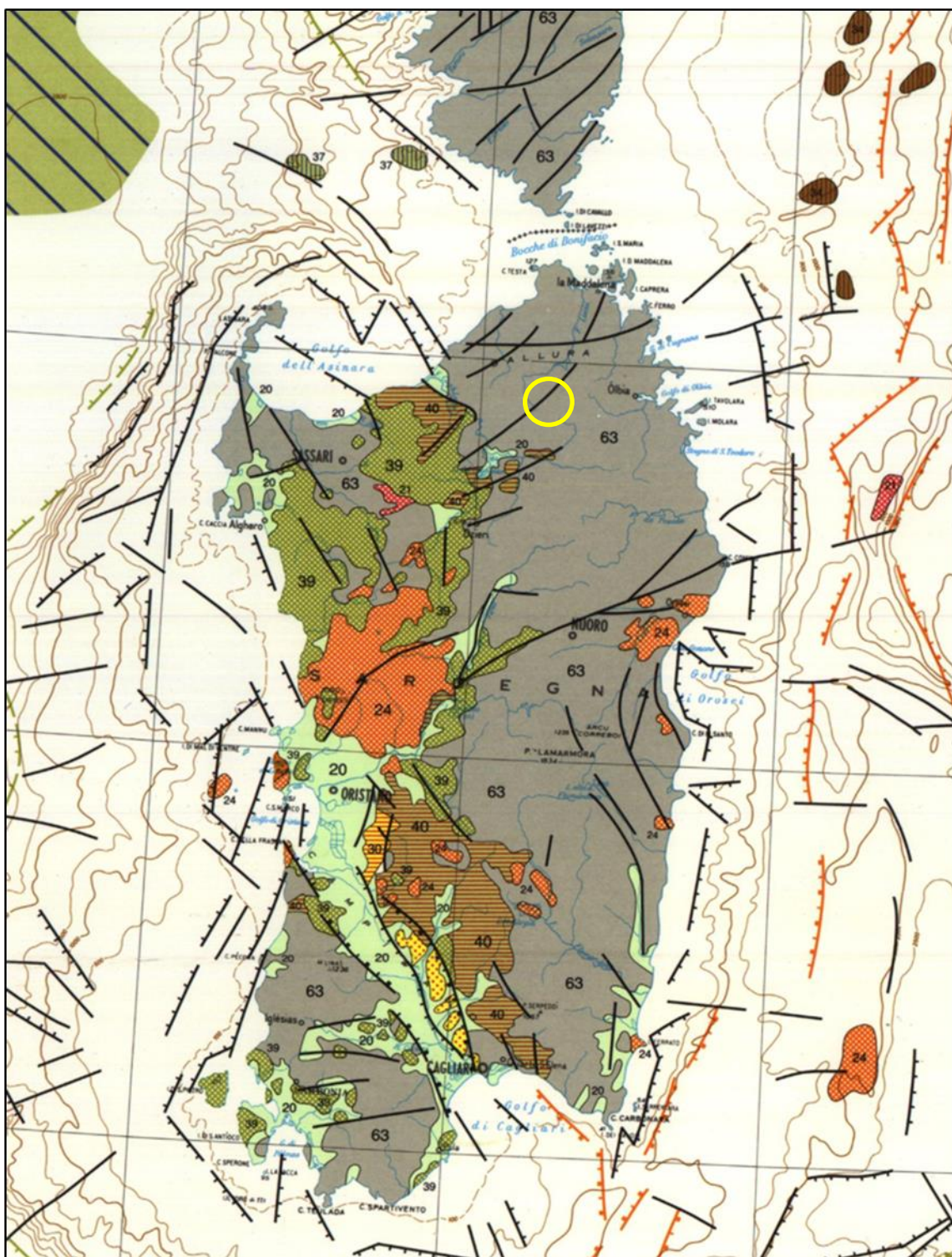


Figura 2: Synthetic Structural-Kinematic Map of Italy- Progetto finalizzato GEODINAMICA CNR-scala 1:500.000

POSTCOLLISIONAL EXTENSIONAL BASINS AND CORSICA-SARDINIA BLOCK

MIDDLE PLIOCENE p.p. to RECENT (~2.4 to 0 Ma)

- 20 Continental and subordinate marine deposits, ***Upper Pleistocene-Holocene***
- 21 Extension-related volcanic and subvolcanic bodies (alkaliolivinic and tholeiitic), ***Pleistocene***
- 22 Subduction-related volcanic rocks (calc-alkaline, shoshonitic) and high-potassium volcanics, mostly ***Pleistocene***
- 23 Domains with hypothesized presence of oceanic crust (Marsili Basin), ***uppermost Pliocene-Pleistocene p.p.***

EARLY PLIOCENE p.p. to MIDDLE PLIOCENE p.p. (~4.5 to ~2.4 Ma)

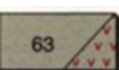
- 24 Extension-related volcanic rocks (alkaliolivinic, tholeiitic)

TORTONIAN p.p. to MESSINIAN p.p. (~10 to ~6 Ma)

- 33 Extension-related volcanic rocks (Hyblean Region, Strait of Sicily)
- 34 North Tyrrhenian shallow plutonic bodies and minor volcanic rocks

OLIGOCENE p.p. to TORTONIAN p.p. (~33 to ~10 Ma)

- 35 Vienna and Graz extensional basins (***Middle Miocene-Lower Pliocene***), including * calc-alkaline flows and pyroclastic rocks (***Middle Miocene***)
- 36 Intramontane basins, ***Miocene***
- 37 Extension-related volcanics (tristanites, tholeiites), Western Mediterranean, ***Lower Miocene***, 18 Ma
- 38 Domains with oceanic crust, ***Aquitanian-Burdigalian p.p.*** (most of the Western Mediterranean); ***Middle Miocene?-Tortonian p.p.?*** (SW of Sardinia)
- 39 Subduction-related volcanic rocks (calc-alkaline, Sardinia), 30 to 13 Ma
- 40 Rhine-Bresse Graben system and deposits of the Western Sardinia Grabens, ***Oligocene p.p.-Lower Miocene***



63 Foreland, including (v) Paleocene and Oligocene volcanic rocks (mainly basalts) and subvolcanic bodies of the Lessinian and Euganean areas

Figura 3: Legenda della Synthetic Structural-Kinematic Map of Italy-Progetto finalizzato GEODINAMICA CNR-scpa 1:500.000

Nella Carta Geologica della Sardegna in scala 1:200.000 a cura del Comitato per il Coordinamento

della Cartografia Geologica e Geomatica della Sardegna (edizione 1996) l'area rientra nell'area Basamento Ercinico, Complesso Plutonico del Carbonifero superiore – Permiano (29^a monzograniti inequigranulari).

I complessi plutonici sono attraversati da cortei filonianici a chimismo variabile, ma con una generale orientazione sud-ovest – nord-est.

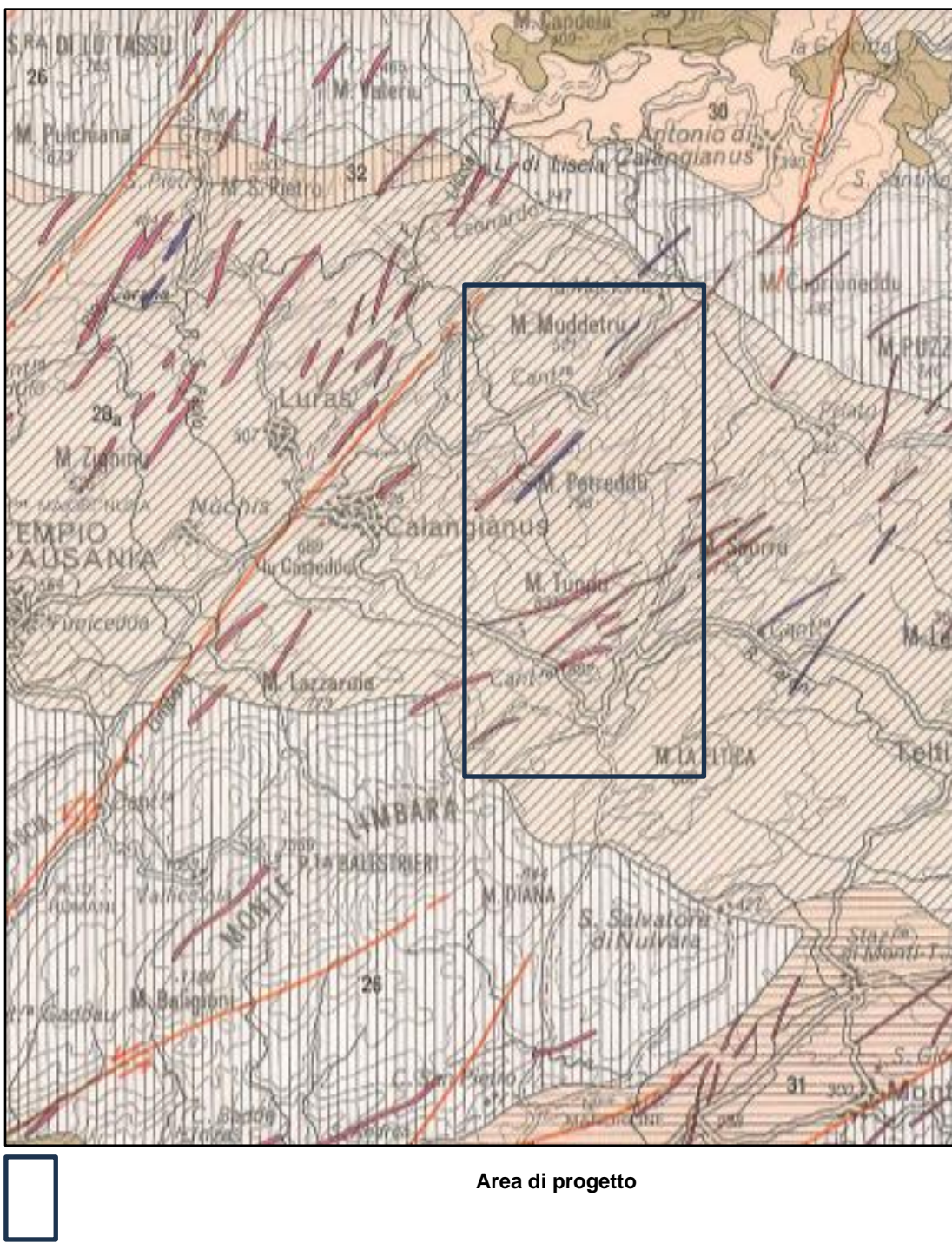
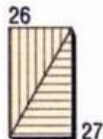


Figura 4:Carta geologica della Sardegna in scala 1:200.000; comitato per il Coordinamento della Cartografia

Geologica della Sardegna (1996).

BASAMENTO ERCINICO HERCYNIAN BASEMENT

Complesso plutonico del Carbonifero sup. - Permiano
Upper Carbonifous - Permian plutonic complex



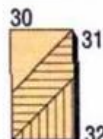
Leucograniti equigranulari (Gallura: Limbara; Sarrabus: Rio Picocca, San Vito; Sulcis), etc. 26.
 Leucograniti a Grt (Baronia: P.ta Tepilora), etc. 27.

*Equigranular leucogranites (Gallura: Limbara; Sarrabus: Rio Picocca, San Vito; Sulcis), etc. 26.
 Grt bearing leucogranites (Baronia: Pta Tepilora), etc. 27.*



Monzograniti equigranulari (Goceano: Buddusò, Bortamalone; Gallura: Costa Paradiso), etc. 28_b. Monzograniti inequigranulari (Gallura: Calangianus, Arzachena; Barbagia: Olzai), etc. 28_a.
 Sieniti sodiche (Sarrabus: Villasimius) 29.

*Equigranular monzogranites (Goceano: Buddusò, Bortamalone; Gallura: Costa Paradiso), etc. 28_b.
 Inequigranular monzogranites (Gallura: Calangianus, Arzachena; Barbagia: Olzai), etc. 28_a.
 Sieniti sodiche (Sarrabus: Villasimius) 29.*

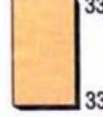


Granodioriti, monzogranitiche equigranulari (Marghine: Bolotana; Gallura: S. Antonio; Barbagia: Gavoi), etc. 30.
 Granodioriti, monzogranitiche inequigranulari (Gallura: Monti; Barbagia: Orotelli), etc. 31.

Granodioriti tonalitiche (Barbagia: Mamoiada; Ogliastra: Villagrande; Goceano: Benetutti), etc. 32.

*Equigranular monzogranitic granodiorites (Marghine: Bolotana; Gallura: S. Antonio; Barbagia: Gavoi), etc. 30.
 Inequigranular monzogranitic granodiorites (Gallura: Monti; Barbagia: Orotelli), etc. 31.*

Tonalitic granodiorites (Barbagia: Mamoiada; Ogliastra: Villagrande; Goceano: Benetutti), etc. 32.

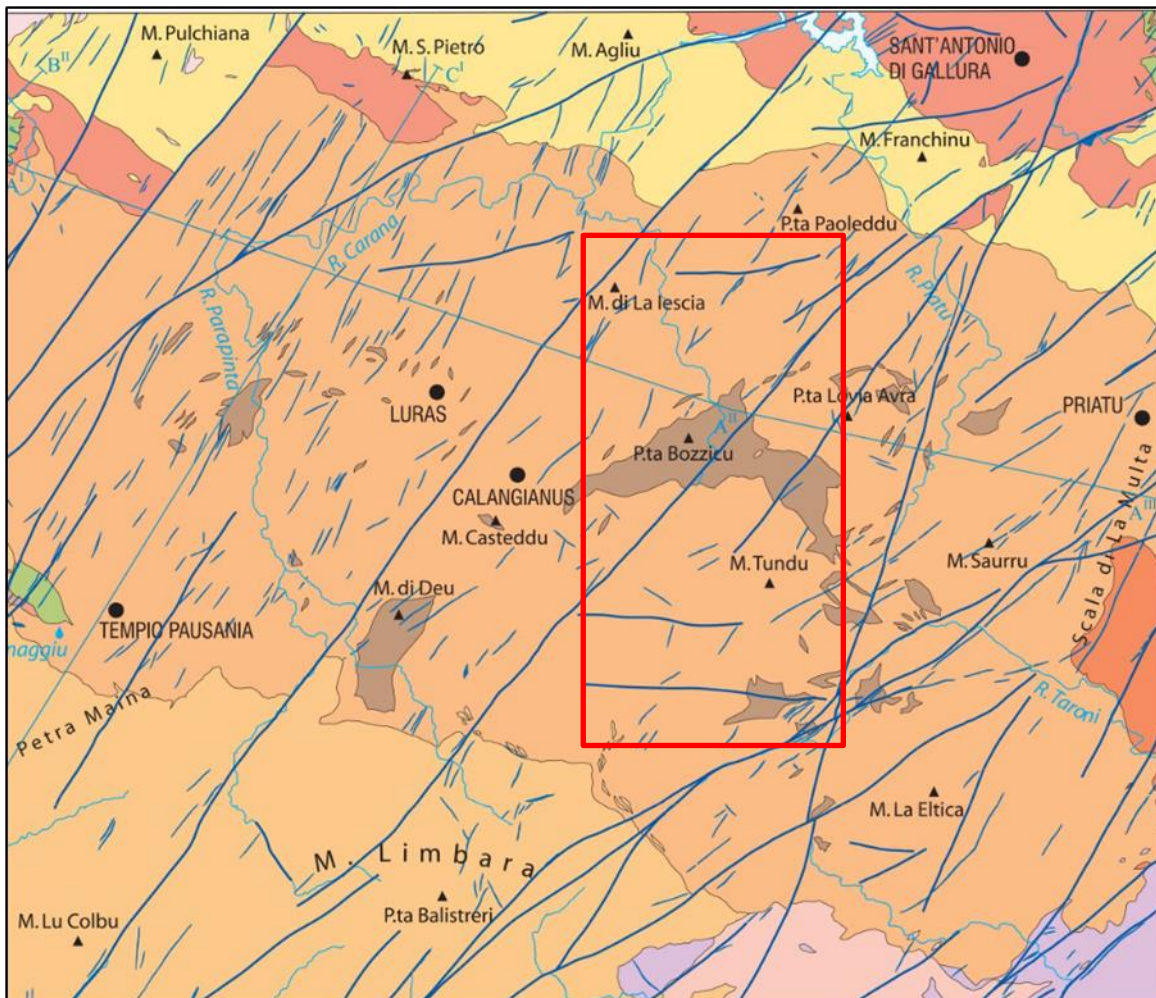


Tonaliti (Goceano: Burgos, Serra d'Orotelli; Mandrolisai: Ortueri), etc. 33_b. Gabbri e masse gabbro-tonalitiche (Gallura: P.ta Falcone, Bortigadas; Goceano: Osidda; Sarrabus: Solanas), etc. 33_a.

Tonalites (Goceano: Burgos, Serra d'Orotelli; Mandrolisai: Ortueri), etc. 33_b. Gabbros and gabbro-tonalitic bodies (Gallura: P.ta Falcone, Bortigadas; Goceano: Osidda; Sarrabus: Solanas), etc. 33_a.

Figura 5: Legenda della carta geologica della Sardegna rappresentante il Basamento Ercinico comprendente il complesso plutonico permo-carbonifero; Comitato per il Coordinamento della Cartografia Geologica e Geotecnica della Sardegna (1996).

I terreni paleozoici vengono distinti in Unità su base genetica e in base alla posizione tettono-stratigrafica.



- [Yellow square] RIOLITI DI MONTE LASANA (VRM)
- [Brown square] CONGLOMERATO DI FALZU (FLZ)
- [Blue and white pattern square] CORTEO FILONIANO
- [Pink square] UNITÀ INTRUSIVA DI MONTE ABBALATA (ABB)
- [Yellow square] UNITÀ INTRUSIVA DI LUOGOSANTO (LGT)

- [Orange square] UNITÀ INTRUSIVA DI TEMPIO PAUSANIA
 - SUB-UNITÀ INTRUSIVA DI MONTE LIMBARA (TPS₃)
 - Facies Punta Bozzicu (TPS_{3e})
 - SUB-UNITÀ INTRUSIVA DI CATALA (TSP₂)
 - SUB-UNITÀ INTRUSIVA DI BORTIGIADAS (TPS₁)

- [Orange square] UNITÀ INTRUSIVA DI TELTI (TLT)
- [Light orange square] UNITÀ INTRUSIVA DI BERICCHIDA (BDD)
- [Purple square] UNITÀ INTRUSIVA DI MONTI (NTI)
- [Red square] UNITÀ INTRUSIVA DI LAGO DEL LISCIA (LDL)
- [Green square] GRUPPO DI CUGNANA (LGF, MGD)
- [Light green square] MICASCISTI E PARAGNEISS DI SERRA MIANA (MPQ)
- Faglia

Figura 6: Foglio geologico CarG 1:50.000 “Tempio Pausania”, comprendente l’intero impianto (riquadro in rosso) e legenda annessa in cui vengono riportate le informazioni dell’area sulle Unità tettono-stratigrafiche.

Le unità tettono-stratigrafiche di maggiore ordine gerarchico sono raggruppate secondo l’ordine stratigrafico, dal basso verso l’alto, in:

EVO S.r.l.	 WE ENGINEERING	CODE CODICE C23EOSW002S001R00
PAGE		
15 di/of 219		
<ul style="list-style-type: none"> - Basamento metamorfico paleozoico; - Corteo filoniano - Depositi quaternari dell'area continentale; 		
<u>BASAMENTO METAMORFICO PALEOZOICO</u>		
<p>Le unità del basamento presenti nell'area di diretto interesse, distingue su base petrografica, e in un suo intorno sono le seguenti:</p>		
<p><u>Complesso Granitoide della Gallura</u></p> <ul style="list-style-type: none"> ➤ Unità Intrusiva di Tempio Pausania (Facies Monte di La Jescia) ➤ Unità Intrusiva di Tempio Pausania (Facies Punta Loria Avra) ➤ Unità Intrusiva di Tempio Pausania (Facies Punta Bozzico) 		
<u>CORTEO FILONIANO</u>		
<p>Nel basamento cristallino è rappresentata la varietà di litotipi che caratterizzano il corteo filoniano tardo-paleozoico, con un ampio spettro compositivo e da rapporti complessi con le rocce incassanti. Sono presenti filoni di vario chimismo:</p> <ul style="list-style-type: none"> ➤ fb – filoni basaltico-olivinici e trachibasaltici (filoni a composizione basica e serialità transizionali); ➤ fr – filoni riolitici (filoni e ammassi a composizione acida e serialità calcolcalina), ➤ fq – filoni idrotermali a quarzo prevalente. 		
<u>Depositi quaternari dell'area continentale</u>		
<p>Si tratta di depositi di origine fluviale, in parte terrazzati, a granulometria molto variabile e di depositi di origine gravitativa, sia di tipo detritico, sia di tipo franoso in senso stretto, con questi ultimi nettamente subordinati rispetto a quelli detritici. I depositi di tipi alluvionale sono presenti anche nell'area di impianto e costituiscono i prodotti presenti in corrispondenza del reticolato idrografico. La granulometria è generalmente medio-fine, ma possono essere presenti anche elementi clastici di dimensione decimetrica. Vengono distinti:</p> <ul style="list-style-type: none"> ➤ depositi antropici ➤ depositi alluvionali ➤ depositi eluvio-colluviali ➤ depositi di versante ➤ depositi alluvionali terrazzati ➤ depositi di frana 		

a seguire si riporta uno stralcio in ambiente GIS in cui vengono riportate le Unità Strutturali nell'intorno dell'area di progetto, da cui si evince che gli aerogeneratori e le piazzole ricadono interamente all'interno del Complesso Granitoide della Gallura.

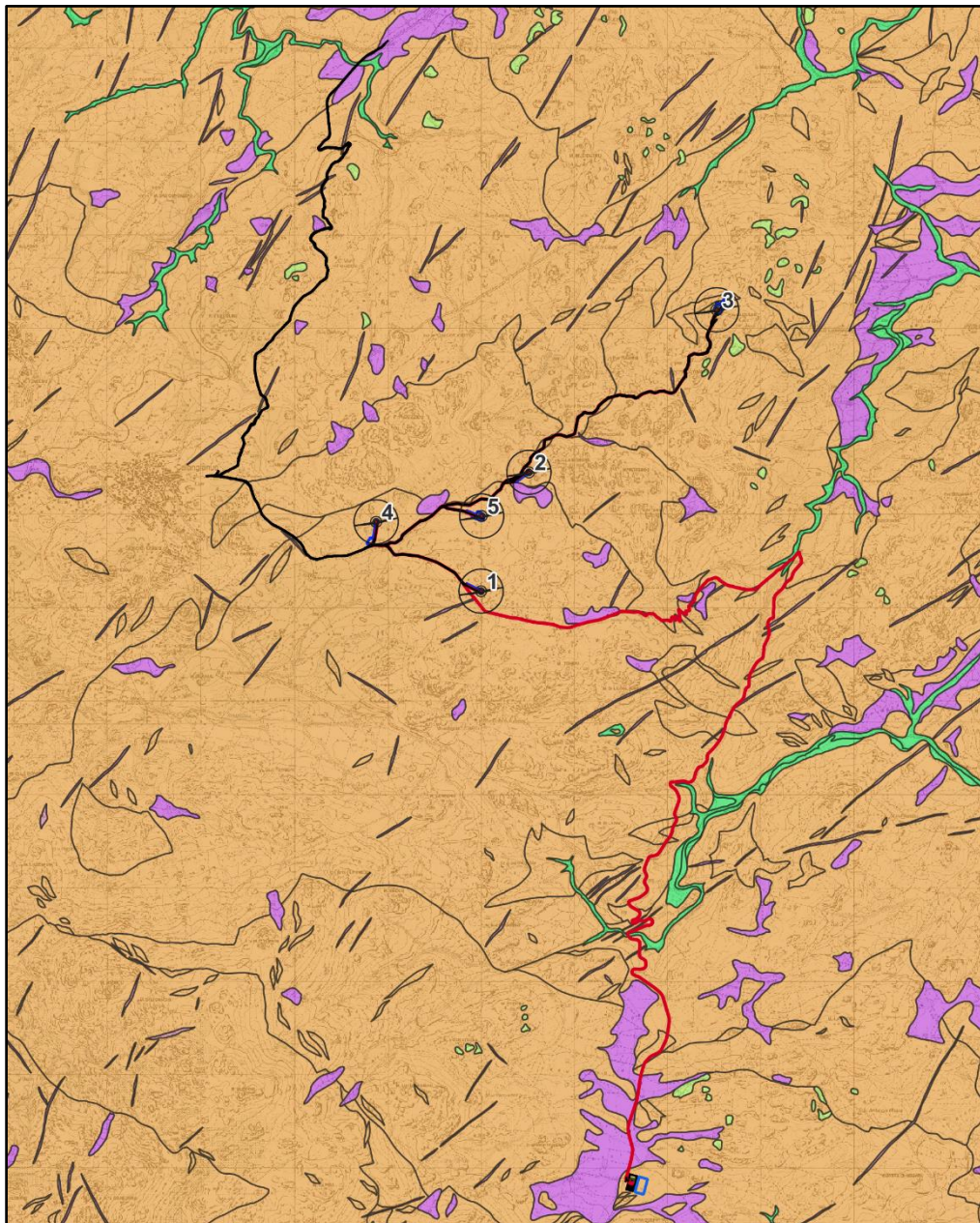




Figura 7: Carta delle Unità Strutturali; Shapefile in ambiente GIS.



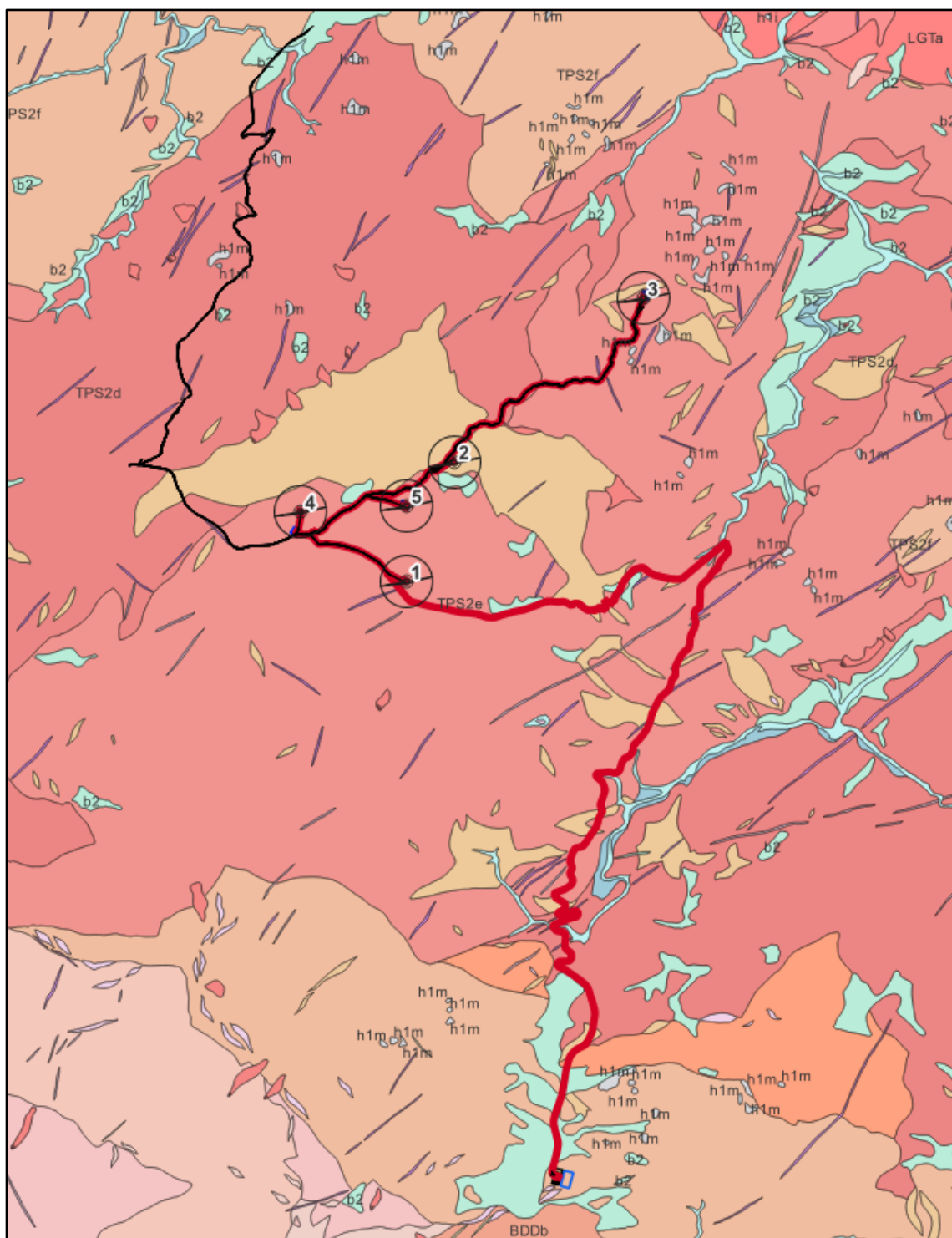
Figura 8: Affioramento del Complesso Granitico della Gallura (Unità intrusiva di Tempio Pausania). Il complesso granitico, in parte ricoperto da vegetazione presenta fratturazione evidente e forme erosive derivanti dall'erosione a tafoni. La fratturazione è prevalentemente sub-verticale.



Figura 9: Blocchi di granito di colore grigio alterati, facente parte dell'Unità intrusiva di Tempio Pausania (Complesso Granitoide della Gallura), composta leucograniti a grana fine. I blocchi, localmente arrotondati e ricoperti da licheni, presentano fratturazione pervasiva a prevalente medio angolo. L'alterazione chimico-fisica ha prodotto queste tipiche forme arrotondate a blocchi sovrapposti denominate 'Thor'.

3.2 Assetto geologico stratigrafico-locale

Il dettaglio delle condizioni geologiche può essere desunto facilmente attraverso la sovrapposizione fra il layout di progetto e gli shapefile dei tematismi CarG disponibile nel Portale Cartografico della Regione Sardegna, dettagliando quindi le singole facies in cui sono suddivise le Unità Strutturali, come visibile nello stralcio a seguire.



- WTG
- Cavidotto
- Piazzole
- Viabilità
- SSE
- SE

EVO S.r.l.	 WE ENGINEERING	CODE CODICE C23EOSW002S001R00
		<i>PAGE</i> 20 di/of 219

Figura 10: Carta Litologica (Fonte: SITR Sardegna ed elaborazione in ambiente GIS). Per la legenda vedi testo a seguire.

b2- Coltri eluvio-colluviali

a - Depositi di versante

a1a - Depositi di frana

ba - Depositi alluvionali

fb - Filoni basaltici a serialità transizionale, di composizione basaltica olivinica e trachibasaltica

fd - filoni idrotermali

fr- Filoni e stoks di composizione dacitica e riodacitica

h1m - Depositi antropici

LGTa - Facies Monte Franchinu (Unità intrusiva di Luogosanto). Monzograniti moderatamente inequigranulari.

LGTb - Facies Monti di Cognu (Unità intrusiva di Luogosanto). Leucograniti a grana fine

LGTf - Facies Montiggiu Santu (Unità intrusiva di Luogosanto). Sieniti inequigranulari

TPS2d - Facies Monte di La Jescia (Subunità intrusiva di Catala – Unità intrusiva di Tempio Pausania). Monzograniti inequigranulari con rari fenocristalli di K-feldspato

TPS2e - Facies Punta Loria Avra (Subunità intrusiva di Catala – Unità intrusiva di Tempio Pausania). Monzograniti inequigranulari con fenocristalli eudrali di K-feldspato

TPS2f - Facies Punta Paoleddu (Subunità intrusiva di Catala – Unità intrusiva di Tempio Pausania). Monzograniti inequigranulari con abbondanti fenocristalli di K-feldspato

TPS3d - Facies Punta Balistreri (Subunità intrusiva di Monte Limbara – Unità intrusiva di Tempio Pausania). Leucograniti porfirici a grana fine

TPS3e - Facies Punta Bozzico (Subunità intrusiva di Monte Limbara – Unità intrusiva di Tempio Pausania) Leucograniti a grana fine

TPS3f - Facies Monte La Eltica- (Subunità intrusiva di Monte Limbara – Unità intrusiva di Tempio Pausania). Ammassi aplo-pegmatitici

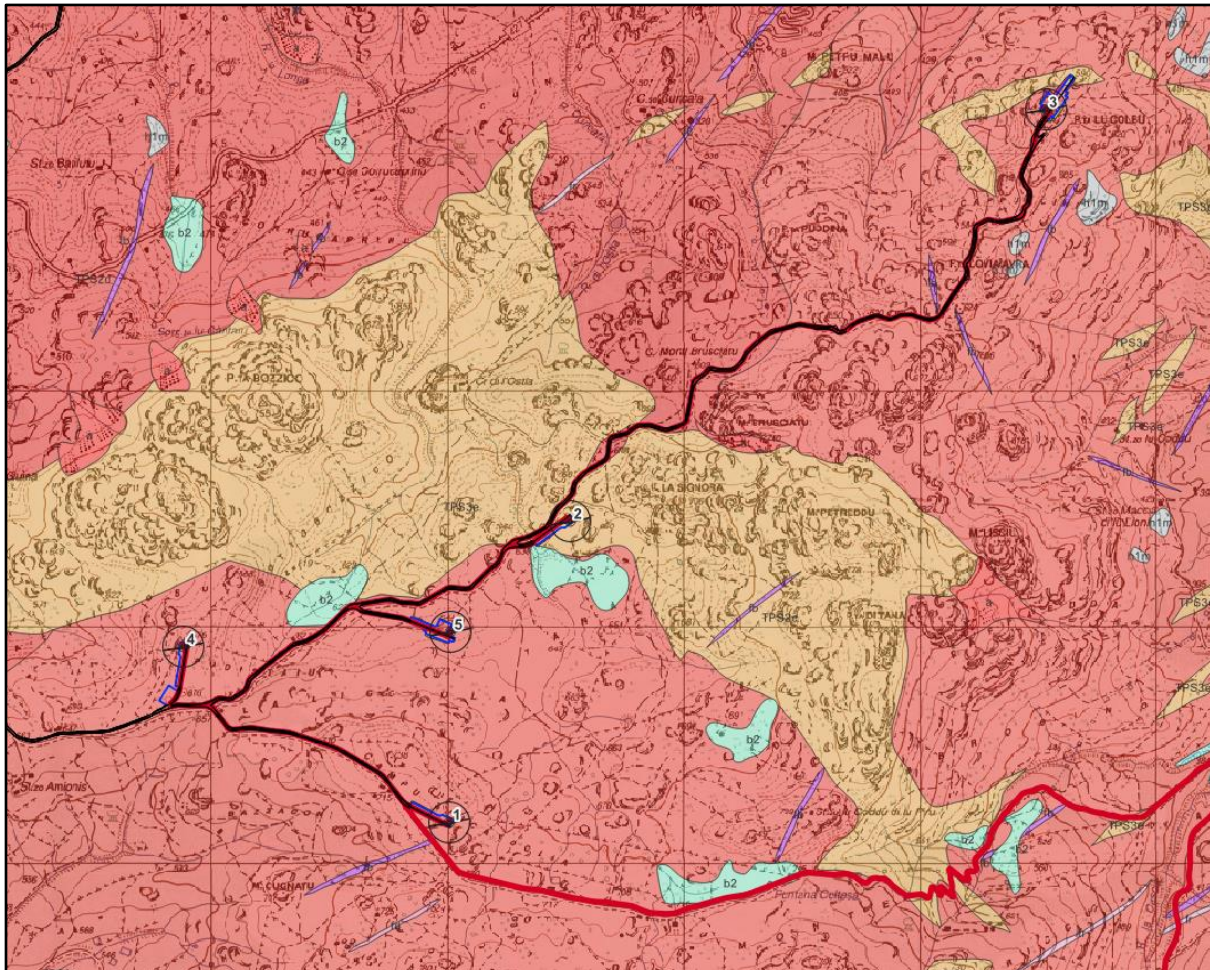
Il contesto geologico puntuale dell'area d'impianto è caratterizzato dai seguenti terreni, distinti da quelli più recenti a quelli più antichi:

- **b2** - Coltri eluvio-colluviali. Olocene

EVO S.r.l.	 WE ENGINEERING	<i>CODE CODICE</i> C23EOSW002S001R00
		<i>PAGE</i> 21 di/of 219

- **a2** - Depositi di versante. Olocene
- **fb** - Filoni basaltica a serialità transizionale, di composizione basaltica olivinica e trachibasaltica.
- **TPS2d** – Facies monte di La Jescia (Subunità intrusiva di Catala – Unità intrusiva di Tempio Pausania). Monzograniti inequigranulari con rari cristalli di K-feldspato. Carbonifero Sup – Permiano.
- **TPS3e** – Facies Punta Bozzico (Subunità intrusiva di Monte Limbara – Unità intrusiva di Tempio Pausania) Leucograniti a grana fine. Carbonifero superiore - Permiano.

Qui di seguito si riporta un dettaglio dell'area di impianto, per verificare i litotipi interessati da principali interventi di progetto.



WTG

— Cavidotto
 — Viabilità
 — Piazzole

Figura 11: Dettaglio delle caratteristiche litologiche dell'area d'impianto.

Facendo riferimento allo stralcio cartografico appena proposto, gli aerogeneratori e le relative piazzole ricadono nei seguenti contesti geologici:

- **WTG1** - Facies Punta Loria Avra (Subunità intrusiva di Catala – Unità intrusiva di Tempio Pausania). Monzograniti inequigranulari, con fenocristalli euedrali di Kfs aventi taglia compresa tra 1 e 5 cm. Carbonifero Sup.-Permiano.
- **WTG2** - Facies Punta Bozzico (Subunità intrusiva di Monte Limbara -Unità intrusiva di Tempio Pausania). Leucograniti a grana fine. Carbonifero sup.- Permiano
- **WTG3** - Facies Punta Loria Avra (Subunità intrusiva di Catala – Unità intrusiva di Tempio

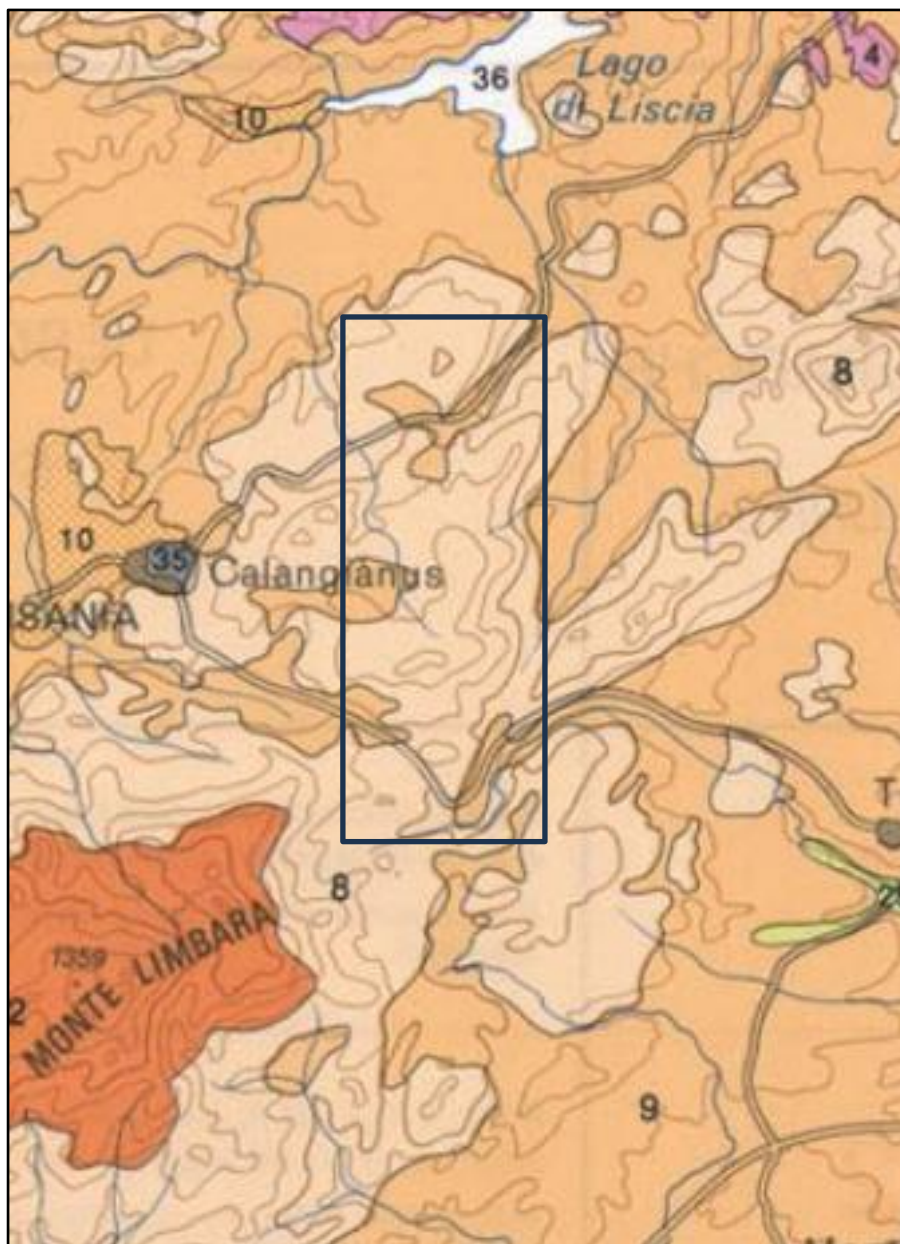
EVO S.r.l.	 WE ENGINEERING	CODE CODICE C23EOSW002S001R00
		<i>PAGE</i> 23 di/of 219

Pausania). Monzograniti inequigranulari, con fenocristalli euedrali di K-feldspato aventi taglia compresa tra 1 e 5 cm. Carbonifero Sup.-Permiano

- **WTG4** - Facies Punta Loria Avra (Subunità intrusiva di Catala – Unità intrusiva di Tempio Pausania). Monzograniti inequigranulari, con fenocristalli euedrali di K-feldspato aventi taglia compresa tra 1 e 5 cm. Carbonifero Sup.-Permiano.
- **WTG5** - Facies Punta Loria Avra (Subunità intrusiva di Catala – Unità intrusiva di Tempio Pausania). Monzograniti inequigranulari, con fenocristalli euedrali di K-feldspato aventi taglia compresa tra 1 e 5 cm. Carbonifero Sup.-Permiano.

Da quanto riportato è quindi evidente che tutte le piazzole, sono caratterizzati da terreni a carattere litoide, da semiduri a duri, per cui in fase di realizzazione degli scavi è da attenersi una forte resistenza all'escavazione. Tale fattispecie potrebbe necessitare dell'utilizzo di martelloni o altre attrezzature atte alla rottura di rocce di elevata resistenza.

La Sardegna è dotata di una cartografia pedologica ad ampia scala, che di seguito si riporta, nella quale si può osservare che l'intera zona è caratterizzata sostanzialmente da due classi di suolo, riportati con la numerazione 8 e 9, suoli evolentisi su rocce effusive intrusive granitoidi, ovvero rocce granitoidi affioranti (8) e suoli poco evoluti (9).



C Paesaggi su rocce intrusive (graniti, granodioriti, leucograniti, ecc.) del Paleozoico e relativi depositi di versante
Landscapes on intrusive rocks (granites, granodiorites, leucogranites, etc.) of the Paleozoic and their slope deposits

8	Rock outcrop Lithic Xerorthents	Rock outcrop Eutric, Dystric e Lithic Leptosols
9	Typic, Dystric e Lithic Xerorthents Typic, Dystric e Lithic Xerochrepts Rock outcrop	Eutric, Dystric e Lithic Leptosols Eutric e Dystric Cambisols Rock outcrop



Area di interesse

Figura 12: Stralcio carta dei suoli della Sardegna e relativa legenda (A. Aru et alii, 1989). L'area è caratterizzata esclusivamente da due tipologie pedologiche, legate all'evoluzione del complesso intrusivo granitoide, in cui l'evoluzione aumenta dall'elemento 8, roccia nuda in affioramento a 9, nel quale aumenta il grado di

EVO S.r.l.	 WE ENGINEERING	CODE CODICE C23EOSW002S001R00
		PAGE 25 di/of 219

pedogenesi dell’ammasso.

4. INDAGINI GEOGNOSTICHE

Nella presente fase progettuale non sono disponibili indagini geognostiche, demandate alla fase successiva.

5. CARATTERISTICHE SISMICHE GENERALI

5.1. SISMICITÀ E TETTONICA ATTIVA

Come ampiamente noto la Sardegna è priva di sorgenti sismogenetiche note, con una sismicità storica pressoché assente, legata esclusivamente al risentimento locale di sismi a grande distanza.

5.1.1. LE SORGENTI SISMOGENETICHE

Il primo passo per la definizione dell’azione sismica è quella di individuare le “sorgenti sismiche capaci” caratterizzanti l’area di studio. Per il presente studio si è fatto riferimento al DISS 3.3.0 (Database of Potential Sources for Earthquakes larger than M 5.5 in Italy) che individua per l’area oggetto del presente studio le sorgenti sismogenetiche.

Dall’osservazione della cartografia su WebGis è possibile osservare che l’area sarda non è caratterizzata dalla presenza di sorgenti sismogenetiche; le sorgenti all’intorno sono posizionate a centinaia di chilometri e le più prossime sono **Northern Africa offshore East** (magnitudo massima 7,0), e la **Southern Tyrrhenian** (magnitudo massima 6,5), seguono quindi tutte le sorgenti sismogenetiche appenniniche e del Nordafrica. A causa della grande distanza nessuna di queste sorgenti è in grado di indurre deformazioni significative nel territorio o danni nel patrimonio antropico di qualche rilievo.

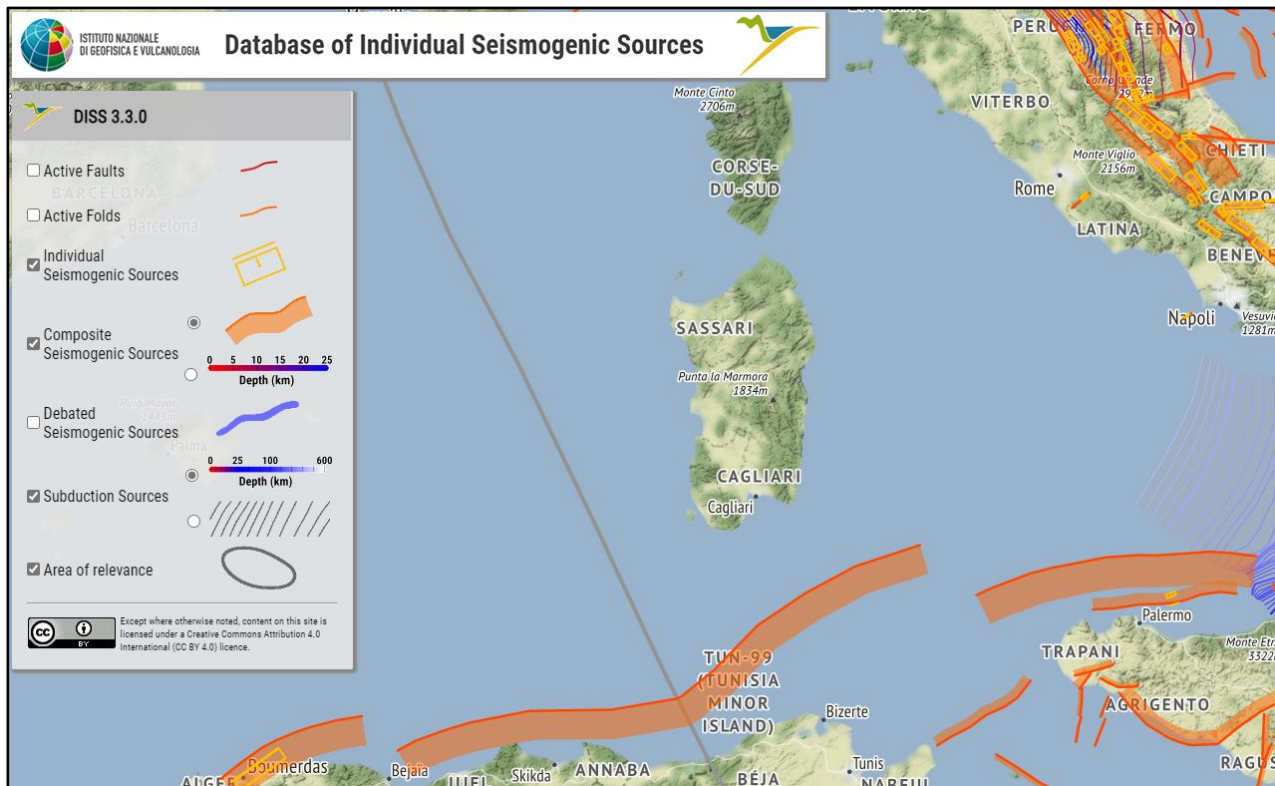


Figura 13: Le Sorgenti Sismogenetiche nell'intorno della Sardegna contenute nella nuova versione del “Database of Potential Sources for Earthquakes larger than M 5.5 in Italy”; per l'ubicazione dell'area in esame (progetto DISS 3.3.0. - [DISS - Mapper \(inqv.it\)](#)).

5.1.2. ITHACA – DATABASE DELLE FAGLIE CAPACI

Il catalogo ITHACA (ITaly HAzard from CApable faults) colleziona le informazioni disponibili sulle faglie capaci, cioè le faglie con attività almeno pleistocenica che potenzialmente possono creare deformazione tettonica permanente in superficie, che interessano il territorio italiano. ITHACA è uno strumento fondamentale per l'analisi di pericolosità ambientale e sismica, per la comprensione dell'evoluzione recente del paesaggio, per la pianificazione territoriale e per la gestione delle emergenze di Protezione Civile.

L'area di progetto non è interessata da faglie capaci, che in Sardegna sono presenti esclusivamente nella zona sud-occidentale e in particolare nel Campidano, come ben visibile nello stralcio riportato.



Area di interesse

Kinematics

- Unknown
- Normal Fault
- Oblique Fault
- Reverse Fault
- - Strike Slip

Figura 14: Faglie capaci presenti in Sardegna, contenute nel database ITHACA (GeoMapView, ISPRA- [Viewer Progetto ITHACA \(isprambiente.it\)](#)

EVO S.r.l.	 WE ENGINEERING	CODE CODICE C23EOSW002S001R00
		PAGE 28 di/of 219

5.2. MACROZONAZIONE SISMICA - PERICOLOSITÀ SISMICA DI BASE

In data 24 ottobre 2005 entra in vigore il D.M. 14/09/2005 “Norme Tecniche per le Costruzioni”. La norma suddivide il territorio in zone sismiche, ciascuna contrassegnata da un diverso valore di parametro a_g , che rappresenta l’accelerazione orizzontale massima convenzionale su suolo di categoria A. L’area in esame ricade nel comune di Calangianus.

Zona sismica	Fenomeni riscontrati	Accelerazione con probabilità di superamento del 10% in 50 anni
1	Zona con pericolosità sismica alta . Indica la zona più pericolosa, dove possono verificarsi forti terremoti.	$a_g \geq 0,25g$
2	Zona con pericolosità sismica media , dove possono verificarsi terremoti abbastanza forti.	$0,15 \leq a_g < 0,25g$
3	Zona con pericolosità sismica bassa , che può essere soggetta a scuotimenti modesti.	$0,05 \leq a_g < 0,15g$
4	Zona con pericolosità sismica molto bassa . E' la zona meno pericolosa, dove le possibilità di danni sismici sono basse.	$a_g < 0,05g$

Figura 15: Livello di pericolosità delle zone sismiche suddivise in relazione all’accelerazione di pico su terreno rigido (NTC 2018).

Le accelerazioni a_g attese su suolo di categoria A, in tutta l’area di impianto (e in generale in tutta la Sardegna), rientrano nel range 0,025-0,050 g.

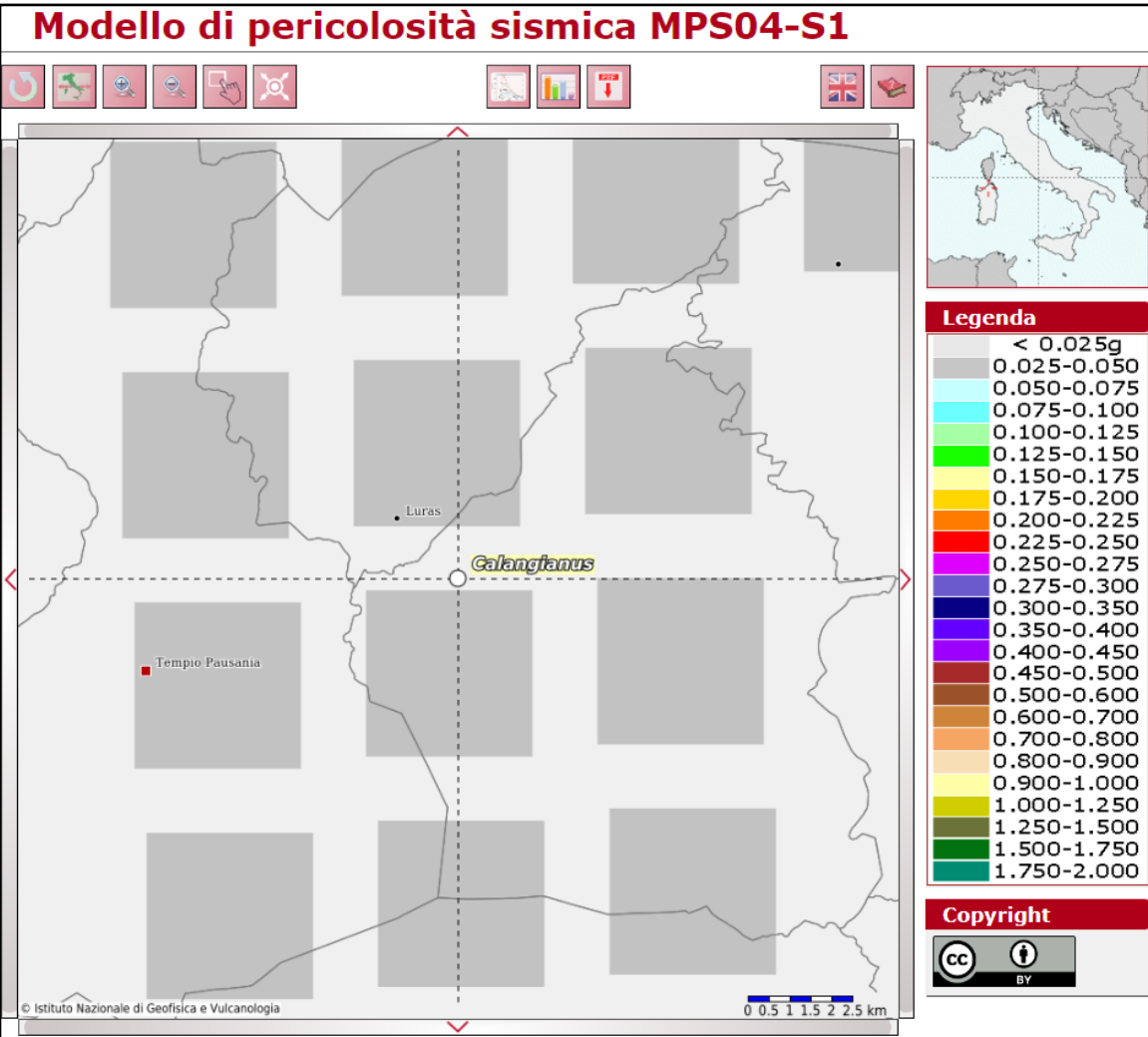


Figura 16: Accelerazioni al suolo attese per suolo di categoria A nel Modello di pericolosità sismica MPS04-S1 dell'Istituto Nazionale Italiano di Geofisica e Vulcanologia (Fonte: <https://esse1-gis.mi.ingv.it/>)

6. LIQUEFAZIONE

Valutazioni circa la possibilità o meno di sviluppo di fenomeni di liquefazione durante eventuali attività sismiche vanno svolte in presenza di terreni granulari saturi, con fuso granulometrico a dominanza sabbiosa. La liquefazione comporta una diminuzione di resistenza a taglio e/o rigidezza causata dall'aumento di pressione interstiziale in un terreno sastro non coesivo, durante lo scuotimento sismico, tale da generare deformazioni permanenti significative o persino l'annullamento degli sforzi efficaci nel terreno.

L'aggiornamento delle Norme tecniche per le costruzioni (NTC2018), così come già indicato nelle NTC 2008, indica che le verifiche alla liquefazione per le opere possono essere omesse quando si manifesti almeno una delle seguenti circostanze:

- accelerazioni massime attese al piano campagna in condizioni di campo libero inferiori a 0,1g;
- profondità media stagionale della falda superiore a 15 m dal piano campagna, per piano campagna suborizzontale e per strutture con fondazioni superficiali;
- depositi costituiti da sabbie pulite con resistenza penetrometrica normalizzata (N1) $60 > 30$ oppure $qc1N > 180$ dove $(N1)60$ è il valore della resistenza determinata in prove penetrometriche dinamiche (Standard Penetration Test) normalizzata ad una tensione efficace verticale di 100 kPa e $qc1N$ è il valore della resistenza determinata in prove penetrometriche statiche (Cone Penetration Test) normalizzata ad una tensione efficace verticale di 100 kPa;
- distribuzione granulometrica esterna alle zone indicate nel caso di terreni con coefficiente di uniformità $U_c < 3,5$ (sinistra) e nel caso di terreni con coefficiente di uniformità $U_c > 3,5$ (destra).

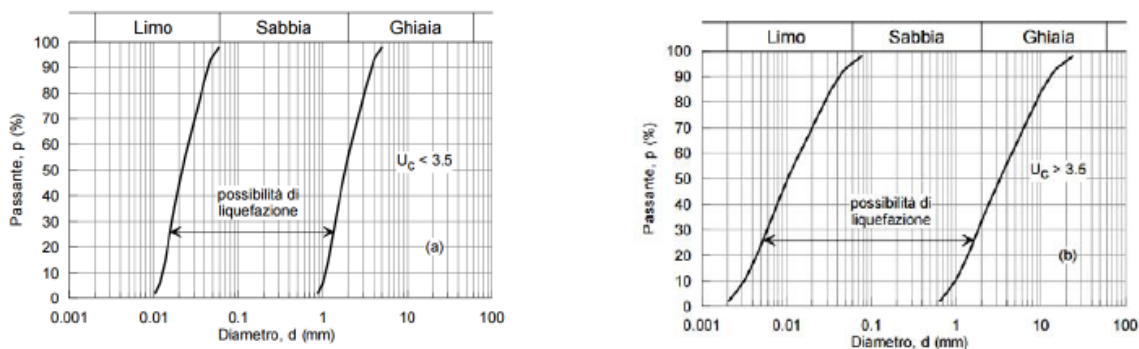


Figura 17: Fusi granulometrici di terreni suscettibili di liquefazione ai sensi delle NTC 2018.

Alla luce delle caratteristiche sismiche dell'area, caratterizzata da sismicità molto bassa e delle caratteristiche litologiche dei terreni, prevalentemente granitici, si esclude che vi possano essere fenomeni di liquefazione dei sottofondi.

7. CATEGORIA DI SOTTOSUOLO

Ai fini della definizione dell'azione sismica di progetto, l'effetto della risposta sismica locale si valuta mediante specifiche analisi. In alternativa, qualora le condizioni stratigrafiche e le proprietà dei terreni siano chiaramente riconducibili alle categorie definite nella tabella seguente, si può fare riferimento a un approccio semplificato che si basa sulla classificazione del sottosuolo in funzione dei valori della velocità di propagazione delle onde di taglio "Vs".

EVO S.r.l.	 WE ENGINEERING	CODE CODICE C23EOSW002S001R00
		<i>PAGE</i> 31 di/of 219

La classificazione del sottosuolo si effettua in base alle condizioni stratigrafiche ed ai valori della velocità equivalente di propagazione delle onde di taglio VSeq (in m/s), definita dall'espressione:

$$V_{S,eq} = \frac{H}{\sum_{i=1}^N \frac{h_i}{V_{S,i}}}$$

con:

- h_i spessore dell'i-esimo strato;
- $V_{S,i}$ velocità delle onde di taglio nell'i-esimo strato;
- N numero di strati;
- H profondità del substrato, definito come quella formazione costituita da roccia o terreno molto rigido, caratterizzata da VS non inferiore a 800m/s.

Per le fondazioni superficiali, la profondità del substrato è riferita al piano di imposta delle stesse, mentre per le fondazioni su pali è riferita alla testa dei pali. Nel caso di opere di sostegno di terreni naturali, la profondità è riferita alla testa dell'opera. Per muri di sostegno di terrapieni, la profondità è riferita al piano di imposta della fondazione.

Per depositi con profondità H del substrato superiore a 30 m, la velocità equivalente delle onde di taglio $V_{S,eq}$ è definita dal parametro $V_{S,30}$, ottenuto ponendo $H=30$ m nella precedente espressione e considerando le proprietà degli strati di terreno fino a tale profondità.

Le categorie di sottosuolo che permettono l'utilizzo dell'approccio semplificato sono definite nella tabella seguente.

EVO S.r.l.	 WE ENGINEERING	CODE CODICE C23EOSW002S001R00
		PAGE 32 di/of 219

Categoria	Descrizione
A	Ammassi rocciosi affioranti o terreni molto rigidi caratterizzati da valori di velocità delle onde di taglio superiori a 800 m/s, eventualmente comprendenti in superficie terreni di caratteristiche meccaniche più scadenti con spessore massimo pari a 3 m
B	Rocce tenere e depositi di terreni a grana grossa molto addensati o terreni a grana fina molto consistenti, caratterizzati da un miglioramento delle proprietà meccaniche con la profondità e da valori di velocità equivalente compresi tra 360 m/s e 800 m/s.
C	Depositi di terreni a grana grossa mediamente addensati o terreni a grana fina mediamente consistenti con profondità del substrato superiori a 30 m, caratterizzati da un miglioramento delle proprietà meccaniche con la profondità e da valori di velocità equivalente compresi tra 180 m/s e 360 m/s.
D	Depositi di terreni a grana grossa scarsamente addensati o di terreni a grana fina scarsamente consistenti, con profondità del substrato superiori a 30 m, caratterizzati da un miglioramento delle proprietà meccaniche con la profondità e da valori di velocità equivalente compresi tra 100 e 180 m/s
E	Terreni con caratteristiche e valori di velocità equivalente riconducibili a quelle definite per le categorie C o D, con profondità del substrato non superiore a 30 m.

Tabella 2: Categoria di sottosuolo ai sensi delle NTC vigenti.

La caratterizzazione di tale importante parametro di progetto è demandata alla successiva fase progettuale. Situazioni geologiche similari conducono solitamente a categoria di tipo B se con copertura rilevante oppure A se il complesso granitico è in affioramento o quasi (situazione prevalente). In linea generale si ritiene che la categoria prevalente possa essere la categoria A. Tali asserzioni saranno verificate mediante opportune tecniche geofisiche volte a determinare il profilo di velocità delle onde S.

EVO S.r.l.	 WE ENGINEERING	CODE CODICE C23EOSW002S001R00
		PAGE 33 di/of 219

8. CATEGORIA TOPOGRAFICA

Per quanto attiene la categoria topografica, l'area ricade in un contesto collinare a bassa-moderata pendenza; alcune WTG sono poste in contesti di crinale, ma tali crinali presentano pendenza modeste e sempre inferiore a 15° e pertanto la categoria topografica è la T1.

Categoria	Caratteristiche della superficie topografica
T1	Superficie pianeggiante, pendii e rilievi isolati con inclinazione media $i \leq 15^\circ$
T2	Pendii con inclinazione media $i > 15^\circ$
T3	Rilievi con larghezza in cresta molto minore che alla base e inclinazione media $15^\circ \leq i \leq 30^\circ$
T4	Rilievi con larghezza in cresta molto minore che alla base e inclinazione media $i > 30^\circ$

Figura 18: Categorie topografiche ai sensi delle NTC 2018.

WTG	Categoria topografica	Coefficiente di amplificazione topografica
1	T1	1
2	T1	1
3	T1	1
4	T1	1
5	T1	1

Tabella 3: Categoria topografica per tutte le WTG.

9. LITOSTRATIGRAFIA LOCALE E CARATTERIZZAZIONE GEOTECNICA

Non essendo disponibili in tale fase progettuale indagini geognostiche, è possibile fornire per i terreni in oggetto solamente delle valutazioni di larga massima delle caratteristiche geotecniche. In linea generale i terreni mostrano esclusivamente una tipologia granitoide (CompleSSO Granitoide della Gallura), ma in varie facies petrografiche, che non dovrebbero comportare significative variazioni di comportamento geomeccanico.

Al netto di coperture eluvio-colluviali modeste e locali la colonna litostratigrafica è ovunque caratterizzata da un orizzonte di alterazione superficiale da *weathering* di spessore attualmente

EVO S.r.l.



CODE CODICE

C23EOSW002S001R00

PAGE

34 di/of 219

non noto, costituito da rocce granitoidi tenere e localmente disaggregate a causa dell'alterazione dei silicati e in particolare per l'idrolisi dei fillosilicati, che spesso comporta la perdita della coerenza intergranulare.

Sarà precipuo compito delle indagini geognostiche verificare la geometria delle coperture eluvio-colluviali e lo stato di alterazione dei litotipi granitoidi. Il comportamento litoide dei terreni incide in maniera decisiva sulla progettazione della tipologia di fondazione e in linea di principio la tipologia di fondazione da adottare può essere anche di tipo superficiale.

Di seguito viene riportata una tabella con i principali valori geotecnici per i terreni previsti.

Complesso	Descrizione	Spessore Presunto (m)	ϕ (°)	C (kPa)	c_u (kPa)	γ (t/m ³)
<i>Coltre eluvio-colluviale</i>	Colluvium eterogeneo	0,5-1,0	22-26	0	0	1,6-1,7
<i>Granitoide molto alterato</i>	Granodioriti e monzograniti molto alterati/fratturati	2-5	32-36	0-4	0-10	2,2-2,4
<i>Granitoide integro/poco alterato</i>	Granodioriti e monzograniti poco alterati/fratturati o integri	Indef.	38-45	120	350	2,6-2,8

Tabella 4: Parametri geotecnici di massima.

EVO S.r.l.



CODE CODICE

C23EOSW002S001R00

PAGE

35 di/of 219

10. RELAZIONE DI CALCOLO

10.1 Parametri di progetto

Parametri della struttura

Classe d'uso	Vita Vn [anni]	Coeff. Uso	Periodo Vr [anni]
IV	50	2.0	100

Fattore di struttura/comportamento

NON DISSIPATIVA

1.1. Quadro normativo di riferimento adottato

Le norme ed i documenti assunti quale riferimento per la progettazione strutturale vengono indicati di seguito.

Nel capitolo "normativa di riferimento" è comunque presente l'elenco completo delle normative disponibili.

Progetto-verifica degli elementi

Progetto cemento armato	D.M. 17-01-2018
Progetto acciaio	D.M. 17-01-2018
Progetto legno	D.M. 14-01-2008
Progetto muratura	D.M. 14-01-2008

Azione sismica

Norma applicata per l' azione sismica	D.M. 17-01-2018
---------------------------------------	-----------------

1.2. Azioni di progetto sulla costruzione

Nel prosieguo si indicano tipo di analisi strutturale condotta (statico,dinamico, lineare o non lineare) e il metodo adottato per la risoluzione del problema strutturale nonché le metodologie seguite per la verifica o per il progetto-verifica delle sezioni. Si riportano le combinazioni di carico adottate e, nel caso di calcoli non lineari, i percorsi di carico seguiti; le configurazioni studiate per la struttura in esame sono risultate effettivamente esaustive per la progettazione-verifica.

La verifica della sicurezza degli elementi strutturali avviene con i metodi della scienza delle costruzioni. L'analisi strutturale è condotta con il metodo degli spostamenti per la valutazione dello stato tensodeformativo indotto da carichi statici. L'analisi strutturale è condotta con il metodo dell'analisi modale e dello spettro di risposta in termini di accelerazione per la valutazione dello stato tensodeformativo indotto da carichi dinamici (tra cui quelli di tipo sismico).

L'analisi strutturale viene effettuata con il metodo degli elementi finiti. Il metodo sopraindicato si basa sulla schematizzazione della struttura in elementi connessi solo in corrispondenza di un numero prefissato di punti denominati nodi. I nodi sono definiti dalle tre coordinate cartesiane in un sistema di riferimento globale. Le incognite del problema (nell'ambito del metodo degli spostamenti) sono le componenti di spostamento dei nodi riferite al sistema di riferimento globale (traslazioni secondo X, Y, Z, rotazioni attorno X, Y, Z).

La soluzione del problema si ottiene con un sistema di equazioni algebriche lineari i cui termini noti sono costituiti dai carichi agenti sulla struttura opportunamente concentrati ai nodi:

EVO S.r.l.	 WE ENGINEERING	CODE CODICE C23EOSW002S001R00
		PAGE 36 di/of 219

$\mathbf{K} * \mathbf{u} = \mathbf{F}$ dove \mathbf{K} = matrice di rigidezza
 \mathbf{u} = vettore spostamenti nodali
 \mathbf{F} = vettore forze nodali

Dagli spostamenti ottenuti con la risoluzione del sistema vengono quindi dedotte le sollecitazioni e/o le tensioni di ogni elemento, riferite generalmente ad una terna locale all'elemento stesso.

Il sistema di riferimento utilizzato è costituito da una terna cartesiana destrorsa XYZ. Si assume l'asse Z verticale ed orientato verso l'alto.

Gli elementi utilizzati per la modellazione dello schema statico della struttura sono i seguenti:

Elemento tipo TRUSS	(biella-D2)
Elemento tipo BEAM	(trave-D2)
Elemento tipo MEMBRANE	(membrana-D3)
Elemento tipo PLATE	(piastra-guscio-D3)
Elemento tipo BOUNDARY	(molla)
Elemento tipo STIFFNESS	(matrice di rigidezza)
Elemento tipo BRICK	(elemento solido)
Elemento tipo SOLAIO	(macro elemento composto da più membrane)

1.3. Modello numerico

In questa parte viene descritto il modello numerico utilizzato (o i modelli numerici utilizzati) per l'analisi della struttura. La presentazione delle informazioni deve essere, coerentemente con le prescrizioni del paragrafo 10.2 e relativi sottoparagrafi delle NTC-18, tale da garantirne la leggibilità, la corretta interpretazione e la riproducibilità

Tipo di analisi strutturale	
Carichi verticali	SI
Statica non lineare	NO
Sismica statica lineare	NO
Sismica dinamica lineare	SI
Sismica statica non lineare (prop. masse)	NO
Sismica statica non lineare (prop. modo)	NO
Sismica statica non lineare (triangolare)	NO
Non linearità geometriche (fattore P delta)	NO

Di seguito si indicano l'origine e le caratteristiche dei codici di calcolo utilizzati riportando titolo, produttore e distributore, versione, estremi della licenza d'uso:

1.3.1. Informazioni sul codice di calcolo

Titolo:	PRO_SAP PROfessional Structural Analysis Program
Versione:	PROFESSIONAL (build 2020-01-187)

EVO S.r.l.	 WE ENGINEERING	CODE CODICE C23EOSW002S001R00
		PAGE 37 di/of 219

Produttore-Distributore:	2S.I. Software e Servizi per l'Ingegneria s.r.l., Ferrara
Codice Licenza:	Licenza dsi5451

Un attento esame preliminare della documentazione a corredo del software **ha consentito di valutarne l'affidabilità e soprattutto l'idoneità al caso specifico.** La documentazione, fornita dal produttore e distributore del software, contiene una esauriente descrizione delle basi teoriche e degli algoritmi impiegati, l'individuazione dei campi d'impiego, nonché casi prova interamente risolti e commentati, corredati dei file di input necessari a riprodurre l'elaborazione:

Affidabilità dei codici utilizzati

2S.I. ha verificato l'affidabilità e la robustezza del codice di calcolo attraverso un numero significativo di casi prova in cui i risultati dell'analisi numerica sono stati confrontati con soluzioni teoriche.
E' possibile reperire la documentazione contenente alcuni dei più significativi casi trattati al seguente link:
<https://www.2si.it/it/prodotti/affidabilita/>

Modellazione della geometria e proprietà meccaniche:

nodi	529
elementi D2 (per aste, travi, pilastri...)	0
elementi D3 (per pareti, platee, gusci...)	528
elementi solaio	0
elementi solidi	0

Dimensione del modello strutturale [cm]:

X min =	-1160.00
Xmax =	1160.00
Ymin =	-1160.00
Ymax =	1160.00
Zmin =	0.00
Zmax =	0.00

Strutture verticali:

Elementi di tipo asta	NO
Pilastri	NO
Pareti	NO
Setti (a comportamento membranale)	NO

Strutture non verticali:

Elementi di tipo asta	NO
Travi	NO
Gusci	NO
Membrane	NO

Orizzontamenti:

Solai con la proprietà piano rigido	NO
Solai senza la proprietà piano rigido	NO

Tipo di vincoli:

Nodi vincolati rigidamente	NO
----------------------------	----

EVO S.r.l.	 WE ENGINEERING	CODE CODICE C23EOSW002S001R00
		PAGE 38 di/of 219

Nodi vincolati elasticamente	NO
Nodi con isolatori sismici	NO
Fondazioni puntuali (plinti/plinti su palo)	NO
Fondazioni di tipo trave	NO
Fondazioni di tipo platea	SI
Fondazioni con elementi solidi	NO

1.4. Combinazioni e/o percorsi di carico

Nel caso di calcoli non lineari, i percorsi di carico seguiti.

Combinazioni dei casi di carico

APPROCCIO PROGETTUALE	Approccio 2
Tensioni ammissibili	NO
SLU	SI
SLV (SLU con sisma)	NO
SLC	NO
SLD	SI
SLO	NO
SLU GEO A2 (per approccio 1)	NO
SLU EQU	NO
Combinazione caratteristica (rara)	SI
Combinazione frequente	SI
Combinazione quasi permanente (SLE)	SI
SLA (accidentale quale incendio)	NO

Principali risultati

I risultati devono costituire una sintesi completa ed efficace, presentata in modo da riassumere il comportamento della struttura, per ogni tipo di analisi svolta.

Nella presente relazione di calcolo sono riportati i seguenti risultati che il progettista ritiene di interesse per la descrizione e la compresione del/i modello/i e del comportamento della struttura:

- valore di calcolo per la portanza
- valore di calcolo dei sedimenti

Informazioni generali sull'elaborazione e giudizio motivato di accettabilità dei risultati.

Il programma prevede una serie di controlli automatici (check) che consentono l'individuazione di errori di modellazione. Al termine dell'analisi un controllo automatico identifica la presenza di spostamenti o rotazioni abnormi. Si può pertanto asserire che l' elaborazione sia corretta e completa. I risultati delle elaborazioni sono stati sottoposti a controlli che ne comprovano l'attendibilità. Tale valutazione ha compreso il confronto con i risultati di semplici calcoli, eseguiti con metodi tradizionali e adottati, anche in fase di primo proporzionamento della struttura. Inoltre, sulla base di considerazioni riguardanti gli stati tensionali e deformativi determinati, si è valutata la validità delle scelte operate in sede di schematizzazione e di modellazione della struttura e delle azioni. Si allega al termine della presente relazione elenco sintetico dei controlli svolti (verifiche di equilibrio tra reazioni vincolari e carichi applicati, comparazioni tra i risultati delle analisi e quelli di valutazioni semplificate, etc.) .

EVO S.r.l.



CODE CODICE

C23EOSW002S001R00

PAGE

39 di/of 219

EVO S.r.l.	 WE ENGINEERING	CODE CODICE C23EOSW002S001R00
		PAGE 40 di/of 219

2. NORMATIVA DI RIFERIMENTO

1. **LEGGE n° 64 del 02/02/1974.** "Provvedimenti per le costruzioni, con particolari prescrizioni per le zone sismiche.";
2. **D.M. LL.PP. del 11/03/1988.** "Norme tecniche riguardanti le indagini sui terreni e sulle rocce, la stabilità dei pendii naturali e delle scarpate, i criteri generali e le prescrizioni per la progettazione, l'esecuzione e il collaudo delle opere di sostegno delle terre e delle opere di fondazione.";
3. **D.M. LL.PP. del 16/01/1996.** "Norme tecniche per le costruzioni in zone sismiche.";
4. **Circolare Ministeriale LL.PP. n° 65/AA.GG. del 10/04/1997.** "Istruzioni per l'applicazione delle "Norme Tecniche per le costruzioni in zone sismiche" di cui al D.M. 16/01/1996.";
5. **Eurocodice 1 - Parte 1 -** "Basi di calcolo ed azioni sulle strutture - Basi di calcolo - .";
6. **Eurocodice 7 - Parte 1 -** "Progettazione geotecnica - Regole generali - .";
7. **Eurocodice 8 - Parte 5 -** "Indicazioni progettuali per la resistenza sismica delle strutture - Fondazioni, strutture di contenimento ed aspetti geotecnici - .";
8. **D.M. 17/01/2018 - NUOVE NORME TECNICHE PER LE COSTRUZIONI**
9. **Circolare n. 7 del 21/01/2019**

NOTA il capitolo "normativa di riferimento": riporta l' elenco delle normative implementate nel software. Le norme utilizzate per la struttura oggetto della presente relazione sono indicate nel precedente capitolo "RELAZIONE DI CALCOLO STRUTTURALE" "ANALISI E VERIFICHE SVOLTE CON L'AUSILIO DI CODICI DI CALCOLO". Laddove nei capitoli successivi vengano richiamate norme antecedenti al DM 17.01.18 è dovuto o a progettazione simulata di edificio esistente.

EVO S.r.l.



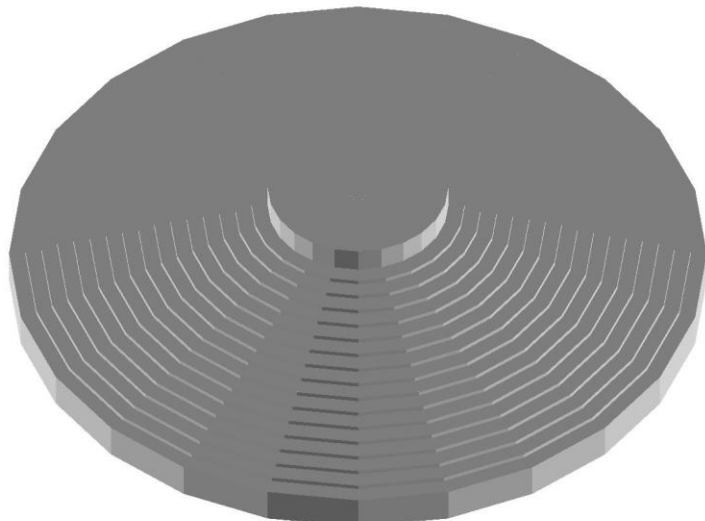
CODE CODICE

C23EOSW002S001R00

PAGE

41 di/of 219

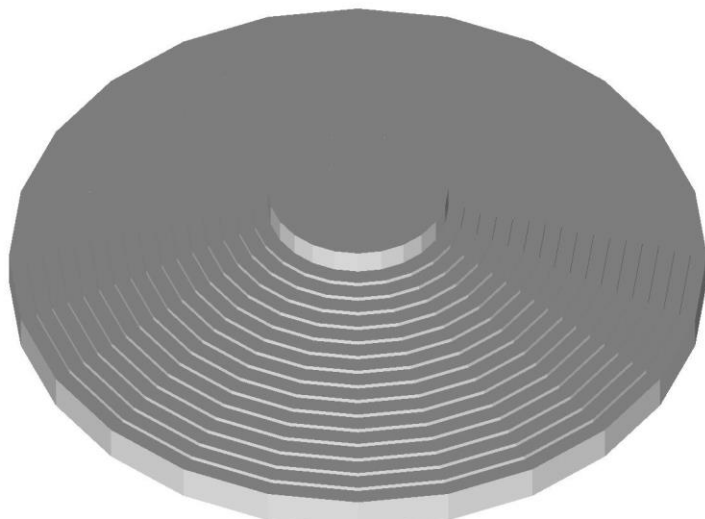
MODELLO



Fondazione WTG MACOMER 1.PSP

01_INT_VISTA_SOLIDA_001

MODELLO



Fondazione WTG MACOMER 1.PSP

01_INT_VISTA_SOLIDA_002

EVO S.r.l.



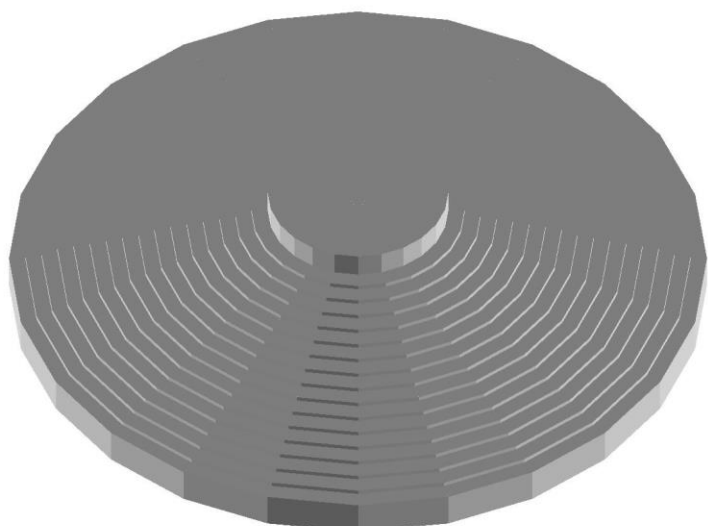
CODE CODICE

C23EOSW002S001R00

PAGE

42 di/of 219

MODELLO



Fondazione WTG MACOMER 1.PSP

01_INT_VISTA_SOLIDA_003

EVO S.r.l.



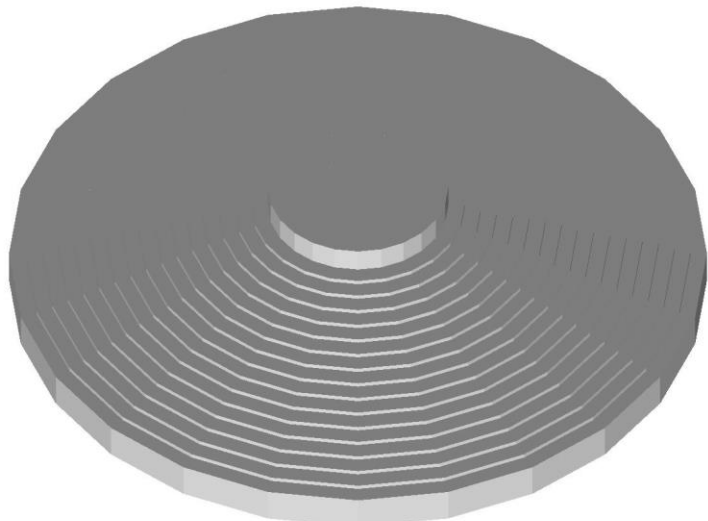
CODE CODICE

C23EOSW002S001R00

PAGE

43 di/of 219

MODELLO



Fondazione WTG MACOMER 1.PSP

01_INT_VISTA_SOLIDA_004

EVO S.r.l.	 WE ENGINEERING	CODE CODICE C23EOSW002S001R00
		PAGE 44 di/of 219

3. CARICO LIMITE DI FONDAZIONI SUPERFICIALI SU TERRENI

Per la determinazione del carico limite del complesso terreno-fondazione (inteso come valore asintotico del diagramma carico-cedimento) si fa riferimento a due principali meccanismi di rottura: il "meccanismo generale" e quello di "punzonamento". Il primo è caratterizzato dalla formazione di una superficie di scorrimento: il terreno sottostante la fondazione rifluisce lateralmente e verso l'alto, conseguentemente il terreno circostante la fondazione è interessato da un meccanismo di sollevamento ed emersione della superficie di scorrimento. Il secondo meccanismo è caratterizzato dall'assenza di una superficie di scorrimento ben definita: il terreno sotto la fondazione si comprime ed in corrispondenza della superficie del terreno circostante la fondazione si osserva un abbassamento generalizzato. Quest'ultimo meccanismo non consente una precisa individuazione del carico limite in quanto la curva cedimenti-carico applicato non raggiunge mai un valore asintotico ma cresce indefinitamente. Vesic ha studiato il fenomeno della rottura per punzonamento assimilando il terreno ad un mezzo elasto-plastico e la rottura per carico limite all'espansione di una cavità cilindrica. In questo caso il fenomeno risulta retto da un indice di rigidezza " I_r " così definito:

$$I_r = \frac{G}{c' + \sigma' \cdot \tan(\varphi)}.$$

Per la determinazione del modulo di rigidezza a taglio si utilizzeranno le seguenti relazioni:

$$G = \frac{E}{2 \cdot (1 + \nu)}; \quad E = E_{ed} \frac{1 - \nu - 2 \cdot \nu^2}{1 - \nu}; \quad \nu = \frac{k_0}{1 + k_0}; \quad k_0 = 1 - \sin(\varphi).$$

L'indice di rigidezza viene confrontato con l'indice di rigidezza critico " $I_{r,crit}$ ":

$$I_{r,crit} = \frac{e^{\left[\left(3.3 - 0.45 \cdot \frac{B}{L} \right) \cdot \operatorname{ctg} \left(45^\circ - \frac{\varphi}{2} \right) \right]}}{2}.$$

La rottura per punzonamento del terreno di fondazione avviene quando l'indice di rigidezza è minore di quello critico. Tale teoria comporta l'introduzione di coefficienti correttivi all'interno della formula trinomia del carico limite detti "coefficienti di punzonamento" i quali sono funzione dell'indice di rigidezza, dell'angolo d'attrito e della geometria dell'elemento di fondazione. La loro espressione è la seguente:

- se $I_r < I_{r,crit}$ si ha :

$$\Psi_\gamma = \Psi_q = e^{\left[\left(0.6 \cdot \frac{B}{L} - 4.4 \right) \cdot \operatorname{tg}(\varphi) + \frac{3.07 \cdot \sin(\varphi) \log_{10}(2 \cdot I_r)}{1 + \sin(\varphi)} \right]} \quad \text{se } \varphi = 0 \Rightarrow \Psi_\gamma = \Psi_q = 1$$

EVO S.r.l.	 WE ENGINEERING	CODE CODICE C23EOSW002S001R00
		PAGE 45 di/of 219

$$\Psi_c = \Psi_q - \frac{1 - \Psi_q}{N_c \cdot \operatorname{tg}(\varphi)} \quad \text{se } \varphi = 0 \Rightarrow \Psi_c = 0.32 + 0.12 \cdot \frac{B}{L} + 0.6 \cdot \log_{10}(I_r)$$

- se $I_r > I_{r,crit}$ si ha che $\psi_\gamma = \psi_q = \psi_c = 1$.

Il significato dei simboli adottati nelle equazioni sopra riportate è il seguente:

- E_{ed} modulo edometrico del terreno sottostante la fondazione
- ν coefficiente di Poisson del terreno sottostante la fondazione
- k_0 coefficiente di spinta a riposo del terreno sottostante la fondazione
- φ angolo d'attrito efficace del terreno sottostante il piano di posa
- c' coesione (espressa in termini di tensioni efficaci)
- σ' tensione litostatica effettiva a profondità $D+B/2$
- L luce delle singole travi di fondazione
- D profondità del piano di posa della fondazione a partire dal piano campagna
- B larghezza della trave di fondazione

Definito il meccanismo di rottura, il calcolo del carico limite viene eseguito modellando il terreno come un mezzo rigido perfettamente plastico con la seguente espressione:

$$q_{ult} = \gamma_1 \cdot D \cdot N_q \cdot s_q \cdot d_q \cdot i_q \cdot \Psi_q + c \cdot N_c \cdot s_c \cdot d_c \cdot i_c \cdot \Psi_c + \gamma_2 \cdot \frac{B}{2} \cdot N_\gamma \cdot s_\gamma \cdot d_\gamma \cdot i_\gamma \cdot \Psi_\gamma \cdot r_\gamma.$$

Il significato dei termini presenti nella relazione trinomia sopra riportata è il seguente:

- N_q, N_c, N_γ , fattori adimensionali di portanza funzione dell'angolo d'attrito interno φ del terreno
- s_q, s_c, s_γ , coefficienti che rappresentano il fattore di forma
- d_q, d_c, d_γ , coefficienti che rappresentano il fattore dell'approfondimento
- i_q, i_c, i_γ , coefficienti che rappresentano il fattore di inclinazione del carico
- γ_1 peso per unità di volume del terreno sovrastante il piano di posa
- γ_2 peso per unità di volume del terreno sottostante il piano di posa

EVO S.r.l.	 WE ENGINEERING	CODE CODICE C23EOSW002S001R00
		PAGE 46 di/of 219

Per fondazioni aventi larghezza modesta si dimostra che il terzo termine non aumenta indefinitamente e per valori elevati di "B", sia secondo Vesic che secondo de Beer, il valore limite è prossimo a quello di una fondazione profonda. Bowles per fondazioni di larghezza maggiore di 2.00 metri propone il seguente fattore riduttivo:

$$r_\gamma = 1 - 0.25 \cdot \log_{10} \left(\frac{B}{2} \right) \quad \text{dove "B" va espresso in metri.}$$

Questa relazione risulta particolarmente utile per fondazioni larghe con rapporto D/B basso (platee e simili), caso nel quale il terzo termine dell'equazione trinomia è predominante.

Nel caso di carico eccentrico Meyerhof consiglia di ridurre le dimensioni della superficie di contatto (A_f) tra fondazione e terreno (B, L) in tutte le formule del calcolo del carico limite. Tale riduzione è espressa dalle seguenti relazioni:

$$B_{rid} = B - 2 \cdot e_B \quad L_{rid} = L - 2 \cdot e_L \quad \text{dove } e_B, e_L \text{ sono le eccentricità relative alle dimensioni in esame.}$$

L'equazione trinomia del carico limite può essere risolta secondo varie formulazioni, di seguito si riportano quelle che sono state implementate:

Formulazione di Hansen (1970)

$$N_q = \operatorname{tg}^2 \left(\frac{90^\circ + \varphi}{2} \right) \cdot e^{\pi \cdot \operatorname{tg}(\varphi)} \quad N_\gamma = 1.5 \cdot (N_q - 1) \cdot \operatorname{tg}(\varphi) \quad N_c = (N_q - 1) \cdot \operatorname{ctg}(\varphi)$$

- se $\varphi \neq 0$ si ha:

$$s_q = 1 + \frac{B}{L} \cdot \operatorname{tg}(\varphi) \quad s_\gamma = 1 - 0.4 \cdot \frac{B}{L} \quad s_c = 1 + \frac{N_q \cdot B}{N_c \cdot L}$$

$$d_q = 1 + 2 \cdot \operatorname{tg}(\varphi) \cdot (1 - \operatorname{sen}(\varphi))^2 \cdot \Theta \quad d_\gamma = 1.0 \quad d_c = 1 + 0.4 \cdot \Theta$$

$$\text{dove : se } \frac{D}{B} \leq 1 \Rightarrow \Theta = \frac{D}{B}, \text{ se } \frac{D}{B} > 1 \Rightarrow \Theta = \operatorname{arctg} \left(\frac{D}{B} \right)$$

$$i_q = \left[1 - \frac{0.5 \cdot H}{V + A_f \cdot c_a \cdot \operatorname{ctg}(\varphi)} \right]^{\alpha_1} \quad i_\gamma = \left[1 - \frac{0.7 \cdot H}{V + A_f \cdot c_a \cdot \operatorname{ctg}(\varphi)} \right]^{\alpha_2} \quad i_c = i_q - \frac{1 - i_q}{N_q - 1}$$

- se $\varphi = 0$ si ha:

$$s_q = 1.0 \quad s_\gamma = 1.0 \quad s_c = 1 + 0.2 \cdot \frac{B}{L}$$

EVO S.r.l.	 <small>WE ENGINEERING</small>	CODE CODICE C23EOSW002S001R00
		PAGE 47 di/of 219

$$d_q = 1.0 \quad d_\gamma = 1.0 \quad d_c = 1 + 0.4 \cdot \Theta$$

$$i_q = 1.0 \quad i_\gamma = 1.0 \quad i_c = 0.5 \cdot \left(1 + \sqrt{1 - \frac{H}{A_f \cdot c_a}} \right)$$

Formulazione di Vesic (1975)

$$N_q = \operatorname{tg}^2\left(\frac{90^\circ + \varphi}{2}\right) \cdot e^{\pi \cdot \operatorname{tg}(\varphi)} \quad N_\gamma = 2 \cdot (N_q + 1) \cdot \operatorname{tg}(\varphi) \quad N_c = (N_q - 1) \cdot \operatorname{ctg}(\varphi)$$

- se $\varphi \neq 0$ si ha:

$$s_q = 1 + \frac{B}{L} \cdot \operatorname{tg}(\varphi) \quad s_\gamma = 1 - 0.4 \cdot \frac{B}{L} \quad s_c = 1 + \frac{N_q \cdot B}{N_c \cdot L}$$

$$d_q = 1 + 2 \cdot \operatorname{tg}(\varphi) \cdot (1 - \operatorname{sen}(\varphi))^2 \cdot \Theta \quad d_\gamma = 1.0 \quad d_c = 1 + 0.4 \cdot \Theta$$

$$\text{dove : se } \frac{D}{B} \leq 1 \Rightarrow \Theta = \frac{D}{B}, \text{ se } \frac{D}{B} > 1 \Rightarrow \Theta = \operatorname{arctg}\left(\frac{D}{B}\right)$$

$$i_q = \left[1 - \frac{H}{V + A_f \cdot c_a \cdot \operatorname{ctg}(\varphi)} \right]^m \quad i_\gamma = \left[1 - \frac{H}{V + A_f \cdot c_a \cdot \operatorname{ctg}(\varphi)} \right]^{m+1} \quad i_c = i_q - \frac{1 - i_q}{N_q - 1}$$

$$\text{dove : } m = m_B = \frac{2 + \frac{B}{L}}{1 + \frac{B}{L}} \quad m = m_L = \frac{2 + \frac{L}{B}}{1 + \frac{L}{B}}$$

- se $\varphi = 0$ si ha:

$$s_q = 1.0 \quad s_\gamma = 1.0 \quad s_c = 1 + 0.2 \cdot \frac{B}{L}$$

$$d_q = 1.0 \quad d_\gamma = 1.0 \quad d_c = 1 + 0.4 \cdot \Theta$$

$$i_q = 1.0 \quad i_\gamma = 1.0 \quad i_c = 1 - \frac{m \cdot H}{A_f \cdot c_a \cdot N_c}$$

Formulazione di Brinch-Hansen

$$N_q = \operatorname{tg}^2\left(\frac{90^\circ + \varphi}{2}\right) \cdot e^{\pi \cdot \operatorname{tg}(\varphi)} \quad N_\gamma = 2 \cdot (N_q + 1) \cdot \operatorname{tg}(\varphi) \quad N_c = (N_q - 1) \cdot \operatorname{ctg}(\varphi)$$

- se $\varphi \neq 0$ si ha:

EVO S.r.l.	 WE ENGINEERING	CODE CODICE C23EOSW002S001R00
		PAGE 48 di/of 219

$$s_q = 1 + 0.1 \cdot \frac{B \cdot (1 + \sin(\varphi))}{L \cdot (1 - \sin(\varphi))} \quad s_\gamma = 1 + 0.1 \cdot \frac{B \cdot (1 + \sin(\varphi))}{L \cdot (1 - \sin(\varphi))} \quad s_c = 1 + 0.2 \cdot \frac{B \cdot (1 + \sin(\varphi))}{L \cdot (1 - \sin(\varphi))}$$

$$d_q = 1 + 2 \cdot \tan(\varphi) \cdot (1 - \sin(\varphi))^2 \cdot \Theta \quad d_\gamma = 1.0 \quad d_c = d_q - \frac{1 - d_q}{N_c \cdot \tan(\varphi)}$$

dove : se $\frac{D}{B} \leq 1 \Rightarrow \Theta = \frac{D}{B}$, se $\frac{D}{B} > 1 \Rightarrow \Theta = \arctan\left(\frac{D}{B}\right)$

$$i_q = \left[1 - \frac{H}{V + A_f \cdot c_a \cdot \cot(\varphi)} \right]^m \quad i_\gamma = \left[1 - \frac{H}{V + A_f \cdot c_a \cdot \cot(\varphi)} \right]^{m+1} \quad i_c = i_q - \frac{1 - i_q}{N_q - 1}$$

dove : $m = m_B = \frac{2 + \frac{B}{L}}{1 + \frac{B}{L}}$ $m = m_L = \frac{2 + \frac{L}{B}}{1 + \frac{L}{B}}$

- se $\varphi = 0$ si ha:

$$s_q = 1.0 \quad s_\gamma = 1.0 \quad s_c = 1 + 0.2 \cdot \frac{B}{L}$$

$$d_q = 1.0 \quad d_\gamma = 1.0 \quad d_c = 1 + 0.4 \cdot \Theta$$

$$i_q = 1.0 \quad i_\gamma = 1.0 \quad i_c = 1 - \frac{m \cdot H}{A_f \cdot c_a \cdot N_c}$$

Formulazione Eurocodice 7

$$N_q = \tan^2\left(\frac{90^\circ + \varphi}{2}\right) \cdot e^{\pi \cdot \tan(\varphi)} \quad N_\gamma = 2 \cdot (N_q - 1) \cdot \tan(\varphi) \quad N_c = (N_q - 1) \cdot \cot(\varphi)$$

- se $\varphi \neq 0$ si ha:

$$s_q = 1 + \frac{B}{L} \cdot \sin(\varphi) \quad s_\gamma = 1 - 0.3 \cdot \frac{B}{L} \quad s_c = \frac{s_q \cdot (N_q - 1)}{N_q - 1}$$

$$d_q = 1 + 2 \cdot \tan(\varphi) \cdot (1 - \sin(\varphi))^2 \cdot \Theta \quad d_\gamma = 1.0 \quad d_c = 1 + 0.4 \cdot \Theta$$

dove : se $\frac{D}{B} \leq 1 \Rightarrow \Theta = \frac{D}{B}$, se $\frac{D}{B} > 1 \Rightarrow \Theta = \arctan\left(\frac{D}{B}\right)$

- se H è parallela al lato B si ha:

$$i_q = \left[1 - \frac{0.7 \cdot H}{V + A_f \cdot c_a \cdot \cot(\varphi)} \right]^3 \quad i_\gamma = \left[1 - \frac{H}{V + A_f \cdot c_a \cdot \cot(\varphi)} \right]^3 \quad i_c = \frac{i_q \cdot N_q - 1}{N_q - 1}$$

EVO S.r.l.	 WE ENGINEERING	CODE CODICE C23EOSW002S001R00
		PAGE 49 di/of 219

- se H è parallela al lato L si ha:

$$i_q = 1 - \frac{H}{V + A_f \cdot c_a \cdot ctg(\varphi)} \quad i_\gamma = 1 - \frac{H}{V + A_f \cdot c_a \cdot ctg(\varphi)} \quad i_c = \frac{i_q \cdot N_q - 1}{N_q - 1}$$

- se $\varphi = 0$ si ha:

$$s_q = 1.0 \quad s_\gamma = 1.0 \quad s_c = 1 + 0.2 \cdot \frac{B}{L}$$

$$d_q = 1.0 \quad d_\gamma = 1.0 \quad d_c = 1 + 0.4 \cdot \Theta$$

$$i_q = 1.0 \quad i_\gamma = 1.0 \quad i_c = 0.5 \cdot \left(1 + \sqrt{1 - \frac{H}{A_f \cdot c_a}} \right)$$

Si ricorda che per le relazioni sopra riportate nel caso in cui $\varphi = 0 \Rightarrow N_q = 1.0$, $N_\gamma = 1.0$ e $N_c = 2 + \pi$.

Il significato dei termini presenti nelle relazioni su descritte è il seguente:

- V componente verticale del carico agente sulla fondazione
- H componente orizzontale del carico agente sulla fondazione (sia lungo B che lungo L)
- c_a adesione fondazione-terreno (valore variabile tra il 60% e 100% della coesione)
- α_1, α_2 esponenti di potenza che variano tra 2 e 5

Nel caso in cui il cuneo di fondazione sia interessato da falda idrica il valore di γ_2 nella formula trinomia assume la seguente espressione:

$$\gamma_2 = \frac{\gamma \cdot z + \gamma_{sat} \cdot (h_c - z)}{h_c} \quad h_c = \frac{B}{2} \cdot \operatorname{tg}\left(\frac{90 + \varphi}{2}\right)$$

dove i termini dell'espressione hanno il seguente significato:

- γ peso per unità di volume del terreno sottostante il piano di posa
- γ_{sat} peso per unità di volume saturo del terreno sottostante il piano di posa
- z profondità della falda dal piano di posa
- h_c altezza del cuneo di rottura della fondazione

Tutto ciò che è stato detto sopra è valido nell'ipotesi di terreno con caratteristiche geotecniche omogenee. Nella realtà i terreni costituenti il piano di posa delle fondazioni sono quasi sempre

EVO S.r.l.	 WE ENGINEERING	CODE CODICE C23EOSW002S001R00
		PAGE 50 di/of 219

composti, o comunque riconducibili, a formazioni di terreno omogenee di spessore variabile che si sovrappongono (caso di terreni stratificati). In queste condizioni i parametri vengono determinati con la seguente procedura:

- viene determinata l'altezza del cuneo di rottura in funzione delle caratteristiche geotecniche degli strati attraversati; quindi si determinato il numero degli strati interessati da esso
- in corrispondenza di ogni superficie di separazione, partendo da quella immediatamente sottostante il piano di posa della fondazione, fino a raggiungere l'altezza del cuneo di rottura, viene determinata la capacità portante di ogni singolo strato come somma di due valori: il primo dato dall'applicazione della formula trinomia alla quota i-esima dello strato; il secondo dato dalla resistenza al punzonamento del terreno sovrastante lo strato in esame
- il minimo di questi due valori sarà assunto come valore massimo della capacità portante della fondazione stratificata

Si può formulare il procedimento anche in forma analitica:

$$q''_{ult} = \left[q''_{ult} + q_{resT} \right]_{\min} = \left[q''_{ult} + \frac{p}{A_f} (P_V \cdot K_s \cdot \tan(\varphi) + d \cdot c) \right]_{\min}$$

dove i termini dell'espressione hanno il seguente significato:

- q''_{ult} carico limite per un'ipotetica fondazione posta alla quota dello strato interessato
- p perimetro della fondazione
- P_V spinta verticale del terreno dal piano di posa allo strato interessato
- K_s coefficiente di spinta laterale del terreno
- d distanza dal piano di posa allo strato interessato

EVO S.r.l.	 WE ENGINEERING	CODE CODICE C23EOSW002S001R00
		PAGE 51 di/of 219

4. CARICO LIMITE DI FONDAZIONI SUPERFICIALI SU ROCCIA

Per la determinazione del carico limite nel caso di presenza di ammasso roccioso bisogna valutare molto attentamente il grado di solidità della roccia stessa. Tale valutazione viene in genere eseguita stimando l'indice *RQD* (Rock Quality Designation) che rappresenta una misura della qualità di un ammasso roccioso. Tale indice può variare da un minimo di 0 (caso in cui la lunghezza dei pezzi di roccia estratti dal carotiere è inferiore a 100 mm) ad un massimo di 1 (caso in cui la carota risulta integra) ed è calcolato nel seguente modo:

$$RQD = \frac{\sum \text{lunghezze dei pezzi di roccia intatta} > 100\text{mm}}{\text{lunghezza del carotiere}}.$$

Se il valore di *RQD* è molto basso la roccia è molto fratturata ed il calcolo della capacità portante dell'ammasso roccioso va condotto alla stregua di un terreno sciolto utilizzando tutte le formulazioni sopra descritte.

Per ricavare la capacità portante di rocce non assimilabili ad ammassi di terreno sciolto sono state implementate due formulazioni: quella di Terzaghi (1943) e quella di Stagg-Zienkiewicz (1968), entrambe correlate all'indice RQD. In definitiva il valore della capacità portante sarà espresso dalla seguente relazione:

$$\dot{q}_{ult} = \ddot{q}_{ult} \cdot RQD^2$$

dove i termini dell'espressione hanno il seguente significato:

- \dot{q}'_{ult} carico limite dell'ammasso roccioso
- \ddot{q}_{ult} carico limite calcolato alla Terzaghi o alla Stagg-Zienkiewicz

In questo caso l'equazione trinomia del carico limite assume la seguente forma:

$$\ddot{q}_{ult} = \gamma_1 \cdot D \cdot N_q + c \cdot N_c \cdot s_c + \gamma_2 \cdot \frac{B}{2} \cdot N_\gamma \cdot s_\gamma.$$

I termini presenti nell'equazione hanno lo stesso significato già visto in precedenza; i coefficienti di forma assumeranno i seguenti valori:

$$s_c = 1.0 \text{ per fondazioni di tipo nastriforme} \quad s_c = 1.3 \text{ per fondazioni di tipo quadrato};$$

$$s_\gamma = 1.0 \text{ per fondazioni di tipo nastriforme} \quad s_\gamma = 0.8 \text{ per fondazioni di tipo quadrato}.$$

EVO S.r.l.



CODE CODICE

C23EOSW002S001R00

PAGE

52 di/of 219

I fattori adimensionali di portanza a seconda della formulazione adottata saranno:

Formulazione di Terzaghi (1943)

$$N_q = \frac{e^{2\left(0.75\pi - \frac{\varphi}{2}\right) \cdot \operatorname{tg}(\varphi)}}{2 \cdot \cos^2\left(\frac{90^\circ + \varphi}{2}\right)} \quad N_\gamma = \frac{\operatorname{tg}(\varphi)}{2} \left(\frac{K_{p\gamma}}{\cos^2(\varphi)} - 1 \right) \quad N_c = (N_q - 1) \cdot \operatorname{ctg}(\varphi)$$

se $\varphi = 0 \Rightarrow N_c = 1.5 \cdot \pi + 1$

φ	0	5	10	15	20	25	30	35	40	45	50
K_{pγ}	10.8	12.2	14.7	18.6	25.0	35.0	52.0	82.0	141.0	298.0	800.0

Formulazione di Stagg-Zienkiewicz (1968)

$$N_q = \operatorname{tg}^6\left(\frac{90^\circ + \varphi}{2}\right) \quad N_\gamma = N_q + 1 \quad N_c = 5 \cdot \operatorname{tg}^4\left(\frac{90^\circ + \varphi}{2}\right)$$

EVO S.r.l.	 WE ENGINEERING	CODE CODICE C23EOSW002S001R00
		PAGE 53 di/of 219

5. VERIFICA A ROTTURA PER SCORRIMENTO DI FONDAZIONI SUPERFICIALI

Se il carico applicato alla base della fondazione non è normale alla stessa bisogna effettuare anche una verifica per rottura a scorrimento. Rispetto al collasso per scorrimento la resistenza offerta dal sistema fondale viene valutata come somma di due componenti: la prima derivante dall'attrito fondazione-terreno, la seconda derivante dall'adesione. In generale, oltre a queste due componenti, può essere tenuto in conto anche l'effetto della spinta passiva del terreno di ricoprimento esercita sulla fondazione fino ad un massimo del 30%. La formulazione analitica della verifica può essere esposta nel seguente modo:

$$T_{Sd} \leq T_{Rd} = N_{Sd} \cdot \operatorname{tg}(\delta) + A_f \cdot c_a + S_p \cdot f_{Sp}$$

dove i termini dell'espressione hanno il seguente significato:

- T_{Sd} componente orizzontale del carico agente sulla fondazione (sia lungo B che lungo L)
- N_{Sd} componente verticale del carico agente sulla fondazione
- c_a adesione fondazione-terreno (valore variabile tra il 60% e 100% della coesione)
- δ angolo d'attrito fondazione-terreno (valore variabile tra il 60% e 100% dell'angolo di attrito)
- S_p spinta passiva del terreno di ricoprimento della fondazione
- f_{Sp} percentuale di partecipazione della spinta passiva
- A_f superficie di contatto del piano di posa della fondazione

La verifica deve essere effettuata sia per componenti taglienti parallele alla base della fondazione che per quelle ortogonali.

EVO S.r.l.	 WE ENGINEERING	CODE CODICE C23EOSW002S001R00
		PAGE 54 di/of 219

6. DETERMINAZIONE DELLE TENSIONI INDOTTE NEL TERRENO

Ai fini del calcolo dei cedimenti è essenziale conoscere lo stato tensionale indotto nel terreno a varie profondità da un carico applicato in superficie. Tale determinazione viene eseguita ipotizzando che il terreno si comporti come un mezzo continuo, elastico-lineare, omogeneo e isotopo. Tale assunzione, utilizzata per la determinazione della variazione delle tensioni verticali dovuta all'applicazione di un carico in superficie, è confortata dalla letteratura (Morgenstern e Phukan) perché la non linearità del materiale poco influenza la distribuzione delle tensioni verticali. Per ottenere un profilo verticale di pressioni si possono utilizzare tre metodi di calcolo: quello di Boussinesq, quello di Westergaard oppure quello di Mindlin; tutti basati sulla teoria del continuo elastico. Il metodo di Westergaard differisce da quello di Boussinesq per la presenza del coefficiente di Poisson "v", quindi si adatta meglio ai terreni stratificati. Il metodo di Mindlin differisce dai primi due per la possibilità di posizionare il carico all'interno del continuo elastico mentre i primi due lo pongono esclusivamente sulla frontiera quindi si presta meglio al caso di fondazioni molto profonde. Nel caso di fondazioni poste sulla frontiera del continuo elastico il metodo di Mindlin risulta equivalente a quello di Boussinesq. Le espressioni analitiche dei tre metodi di calcolo sono:

$$\text{Boussinesq} \Rightarrow \Delta\sigma_v = \frac{3 \cdot Q \cdot z^3}{2 \cdot \pi \cdot (r^2 + z^2)^{\frac{5}{2}}} \quad \text{Westergaard} \Rightarrow \Delta\sigma_v = \frac{Q}{2 \cdot \pi \cdot z^2} \cdot \frac{\sqrt{1 - 2 \cdot v}}{\left(\frac{1 - 2 \cdot v}{2 - 2 \cdot v} + \frac{r^2}{z^2} \right)^{\frac{3}{2}}}$$

dove i termini dell'espressioni hanno il seguente significato:

- Q carico puntiforme applicato sulla frontiera del mezzo
- r proiezione orizzontale della distanza del punto di applicazione del carico dal punto in esame
- z proiezione verticale della distanza del punto di applicazione del carico dal punto in esame

$$\text{Mindlin} \Rightarrow \Delta\sigma_v = \frac{Q}{8 \cdot \pi \cdot (1 - v) \cdot D^2} \left(- \frac{(1 - 2 \cdot v) \cdot (m - 1)}{A^3} + \frac{(1 - 2 \cdot v) \cdot (m - 1)}{B^3} - \frac{3 \cdot (m - 1)^3}{A^5} - \frac{30 \cdot m \cdot (m + 1)^3}{B^7} - \frac{3 \cdot (3 - 4 \cdot v) \cdot m \cdot (m + 1)^2 - 3 \cdot (m + 1) \cdot (5 \cdot m - 1)}{B^5} \right)$$

$$n = \frac{r}{D}; \quad m = \frac{z}{D}; \quad A^2 = n^2 + (m - 1)^2; \quad B^2 = n^2 + (m + 1)^2$$

dove i termini dell'espressioni hanno il seguente significato:

- Q carico puntiforme applicato sulla frontiera o all'interno del mezzo

EVO S.r.l.	 WE ENGINEERING	CODE CODICE C23EOSW002S001R00
		PAGE 55 di/of 219

- D proiezione verticale della distanza del punto di applicazione del carico dalla frontiera del mezzo
- r proiezione orizzontale della distanza del punto di applicazione del carico dal punto in esame
- z proiezione verticale della distanza del punto di applicazione del carico dal punto in esame

Basandosi sulle ben note equazioni ricavate per un carico puntiforme, l'algoritmo implementato esegue un'integrazione delle equazioni di cui sopra lungo la verticale di ogni punto notevole degli elementi fondali estesa a tutte le aree di carico presenti sulla superficie del terreno; questo consente di determinare la variazione dello stato tensionale verticale " $\Delta\sigma_v$ ". Bisogna sottolineare che, nel caso di pressione, "Q" va definito come "pressione netta", ossia la pressione in eccesso rispetto a quella geostatica esistente che può essere sopportata con sicurezza alla profondità "D" del piano di posa delle fondazioni. Questo perché i cedimenti sono causati solo da incrementi netti di pressione che si aggiungono all'esistente pressione geostatica.

EVO S.r.l.	 WE ENGINEERING	CODE CODICE C23EOSW002S001R00
		PAGE 56 di/of 219

7. CALCOLO DEI CEDIMENTI DELLA FONDAZIONE

La determinazione dei cedimenti delle fondazioni assume una rilevanza notevole per il manufatto da realizzarsi, in special modo nella fase di esercizio. Nell'evolversi della fase di cedimento il terreno passa da uno stato di sforzo corrente dovuto al peso proprio ad uno nuovo dovuto all'effetto del carico addizionale applicato. Questa variazione dello stato tensionale produce una serie di movimenti di rotolamento e scorrimento relativo tra i granuli del terreno, nonché deformazioni elastiche e rotture delle particelle costituenti il mezzo localizzate in una limitata zona d'influenza a ridosso dell'area di carico. L'insieme di questi fenomeni costituisce il cedimento che nel caso in esame è verticale. Nonostante la frazione elastica sia modesta, l'esperienza ha dimostrato che ai fini del calcolo dei cedimenti modellare il terreno come materiale pseudoelastico permette di ottenere risultati soddisfacenti. In letteratura sono descritti diversi metodi per il calcolo dei cedimenti ma si ricorda che, qualunque sia il metodo di calcolo, la determinazione del valore del cedimento deve intendersi come la miglior stima delle deformazioni subite dal terreno da attendersi all'applicazione dei carichi. Nel seguito vengono descritte le teorie implementate:

Metodo edometrico, che si basa sulla nota relazione:

$$w_{ed} = \sum_{i=1}^n \frac{\Delta\sigma_{v,i}}{E_{ed,i}} \cdot \Delta z_i$$

dove i termini dell'espressioni hanno il seguente significato:

- $\Delta\sigma_{v,i}$ variazione dello stato tensionale verticale alla profondità "z_i" dello strato i-esimo per l'applicazione del carico
- $E_{ed,i}$ modulo edometrico del terreno relativo allo strato i-esimo
- Δz_i spessore dello strato i-esimo

Si ricorda che questo metodo si basa sull'ipotesi edometrica quindi l'accuratezza del risultato è maggiore quando il rapporto tra lo spessore dello strato deformabile e la dimensione in pianta delle fondazioni è ridotto, tuttavia il metodo edometrico consente una buona approssimazione anche nel caso di strati deformabili di spessore notevole.

Metodo dell'elasticità, che si basa sulle note relazioni:

EVO S.r.l.	 WE ENGINEERING	CODE CODICE C23EOSW002S001R00
		<i>PAGE</i> 57 di/of 219

$$w_{\text{Imp.}} = \sum_{i=1}^n \frac{\Delta\sigma_{v,i}}{E_i} \cdot \Delta z_i \quad w_{\text{Lib.}} = \sum_{i=1}^n \frac{\Delta\sigma_{v,i}}{E_i} \cdot \frac{1-2\cdot\nu^2}{1-\nu} \cdot \Delta z_i$$

dove i termini dell'espressioni hanno il seguente significato:

- $w_{\text{Imp.}}$ cedimento in condizioni di deformazione laterale impedita
- $w_{\text{Lib.}}$ cedimento in condizioni di deformazione laterale libera
- $\Delta\sigma_{v,i}$ variazione stato tensionale verticale alla profondità " z_i " dello strato i-esimo per l'applicazione del carico
- E_i modulo elastico del terreno relativo allo strato i-esimo
- Δz_i spessore dello strato i-esimo

La doppia formulazione adottata consente di ottenere un intervallo di valori del cedimento elastico per la fondazione in esame (valore minimo per $w_{\text{Imp.}}$ e valore massimo per $w_{\text{Lib.}}$).

EVO S.r.l.	 WE ENGINEERING	CODE CODICE C23EOSW002S001R00
		<i>PAGE</i> 58 di/of 219

8. SIMBOLOGIA ADOTTATA NEI TABULATI DI CALCOLO

Per maggior chiarezza nella lettura dei tabulati di calcolo viene riportata la descrizione dei simboli principali utilizzati nella stesura degli stessi. Per comodità di lettura la legenda è suddivisa in paragrafi con la stessa modalità in cui sono stampati i tabulati di calcolo.

Dati geometrici degli elementi costituenti le fondazioni superficiali

per tipologie travi e plinti superficiali:

- Indice Strat. indice della stratigrafia associata all'elemento
- Prof. Fon. profondità del piano di posa dell'elemento a partire dal piano campagna
- Base larghezza della sezione trasversale dell'elemento
- Altezza altezza della sezione trasversale dell'elemento
- Lung. Elem. dimensione dello sviluppo longitudinale dell'elemento
- Lung. Travata nel caso l'elemento appartenga ad un macroelemento, rappresenta la dimensione dello sviluppo longitudinale del macroelemento

per tipologia platea:

- Indice Strat. indice della stratigrafia associata all'elemento
- Prof. Fon. profondità del piano di posa dell'elemento dal piano campagna
- Dia. Eq. diametro del cerchio equivalente alla superficie dell'elemento
- Spessore spessore dell'elemento
- Superficie superficie dell'elemento
- Vert. Elem. Numero dei vertici che costituiscono l'elemento
- Macro nel caso l'elemento appartenga ad un macroelemento, rappresenta il numero del macroelemento

Nel caso si avesse scelto di determinare la portanza anche per gli elementi platea è presente un ulteriore riga nella quale sono riportate le caratteristiche geometriche del plinto equivalente alla

EVO S.r.l.	 WE ENGINEERING	CODE CODICE C23EOSW002S001R00
		PAGE 59 di/of 219

macro/platea in esame.

Dati di carico degli elementi costituenti le fondazioni superficiali

per tipologie travi e plinti superficiali:

- Cmb numero della combinazione di carico
- Tipologia tipologia della combinazione di carico
- Sismica flag per l'applicazione della riduzione sismica alle caratteristiche meccaniche del terreno di fondazione per la combinazione di carico in esame
- Ecc. B eccentricità del carico normale agente sul piano di fondazione in direzione parallela alla sezione trasversale dell'elemento
- Ecc. L eccentricità del carico normale agente sul piano di fondazione in direzione parallela allo sviluppo longitudinale dell'elemento
- S.Taglio B sforzo di taglio agente sul piano di fondazione in direzione parallela alla sezione trasversale dell'elemento
- S.Taglio L sforzo di taglio agente sul piano di fondazione in direzione parallela allo sviluppo longitudinale dell'elemento
- S.Normale carico normale agente sul piano di fondazione
- T.T.min minimo valore della distribuzione tensionale di contatto tra terreno ed elemento fondale
- T.T.max massimo valore della distribuzione tensionale di contatto tra terreno ed elemento fondale

per tipologia platea:

- Cmb numero della combinazione di carico
- Tipologia tipologia della combinazione di carico
- Sismica flag per l'applicazione della riduzione sismica alle caratteristiche meccaniche del terreno di fondazione per la combinazione di carico in esame
- Press. N1 tensione di contatto tra terreno e fondazione nel vertice n° 1 dell'elemento

EVO S.r.l.	 WE ENGINEERING	CODE CODICE C23EOSW002S001R00
		PAGE 60 di/of 219

- Press. N2 tensione di contatto tra terreno e fondazione nel vertice n° 2 dell'elemento
- Press. N3 tensione di contatto tra terreno e fondazione nel vertice n° 3 dell'elemento
- Press. N4 tensione di contatto tra terreno e fondazione nel vertice n° 4 dell'elemento
- S.Taglio X sforzo di taglio agente sul piano di fondazione in direzione parallela all'asse X del riferimento globale
- S.Taglio Y sforzo di taglio agente sul piano di fondazione in direzione parallela all'asse Y del riferimento globale

Nel caso si avesse scelto di determinare la portanza anche per gli elementi platea è presente un ulteriore riga nella quale sono riportate le macroazioni (integrale delle azioni applicate sui singoli elementi che compongono la platea) agenti sul plinto equivalente alla macro/platea in esame.

Valori di calcolo della portanza per fondazioni superficiali

- Cmb numero della combinazione di carico
- Qlim capacità portante totale data dalla somma di Qlim q, Qlim g, Qlim c e di Qres P (nel caso in cui si operi alle tensioni ammissibili corrisponde alla portanza ammissibile)
- Qlim q termine relativo al sovraccarico della formula trinomia per il calcolo della capacità portante (nel caso in cui si operi alle tensioni ammissibili corrisponde alla relativa parte della portanza ammissibile)
- Qlim g termine relativo alla larghezza della base di fondazione della formula trinomia per il calcolo della capacità portante (nel caso in cui si operi alle tensioni ammissibili corrisponde alla relativa parte della portanza ammissibile)
- Qlim c termine relativo alla coesione della formula trinomia per il calcolo della capacità portante (nel caso in cui si operi alle tensioni ammissibili corrisponde alla relativa parte della portanza ammissibile)
- Qres P termine relativo alla resistenza al punzonamento del terreno sovrastante lo strato di rottura. Diverso da zero solo nel caso di terreni stratificati dove lo strato di rottura è diverso dal primo (nel caso in cui si operi alle tensioni ammissibili corrisponde alla relativa parte della portanza ammissibile)

EVO S.r.l.	 WE ENGINEERING	CODE CODICE C23EOSW002S001R00
		<i>PAGE</i> 61 di/of 219

- Qmax / Qlim rapporto tra il massimo valore della distribuzione tensionale di contatto tra terreno ed elemento fondale ed il valore della capacità portante (verifica positiva se il rapporto è < 1.0).
- TBlim valore limite della resistenza a scorrimento in direzione parallela alla sezione trasversale dell'elemento
- TB / TBlim rapporto tra lo sforzo di taglio agente ed il valore limite della resistenza a scorrimento in direzione parallela alla sezione trasversale dell'elemento (verifica positiva se il rapporto è < 1.0)
- TLlim valore limite della resistenza a scorrimento in direzione parallela allo sviluppo longitudinale dell'elemento
- TL / TLlim rapporto tra lo sforzo di taglio agente ed il valore limite della resistenza a scorrimento in direzione parallela allo sviluppo longitudinale dell'elemento (verifica positiva se il rapporto è < 1.0)
- Sgm. Lt. tensione litostatica agente alla quota del piano di posa dell'elemento fondale

Nel caso si avesse scelto di determinare la portanza anche per gli elementi platea è presente un ulteriore riga nella quale sono riportate le verifiche di portanza del plinto equivalente alla macro/platea in esame.

Valori di calcolo dei cedimenti per fondazioni superficiali

- Cmb numero della combinazione di carico e tipologia
- Nodo vertice dell'elemento in cui viene calcolato il cedimento
- Car. Netto valore del carico netto applicato sulla superficie del terreno
- Cedimento/i valore del cedimento (nel caso di calcolo di cedimenti elastici i valori riportati sono due, il primo corrisponde al cedimento $w_{Imp.}$, mentre il secondo al cedimento $w_{Lib.}$)

EVO S.r.l.	 WE ENGINEERING	CODE CODICE C23EOSW002S001R00
		<i>PAGE</i> 62 di/of 219

9. PARAMETRI DI CALCOLO

Metodi di calcolo della portanza per fondazioni superficiali:

- Per terreni scolti: Brinch - Hansen
- Per terreni lapidei: Terzaghi

Fattori utilizzati per il calcolo della portanza per fondazioni superficiali :

- Riduzione dimensioni per eccentricità: si
- Fattori di forma della fondazione: si
- Fattori di profondità del piano di posa: si
- Fattori di inclinazione del carico: si
- Fattori di punzonamento (Vesic): si
- Fattore riduzione effetto piastra (Bowles): si
- Fattore di riduzione dimensione Base equivalente platea: 20,0 %
- Fattore di riduzione dimensione Lunghezza equivalente platea: 20,0 %

Coefficienti parziali di sicurezza per Tensioni Ammissibili, SLE nel calcolo della portanza per fondazioni superficiali:

- Coeff. parziale di sicurezza F_c (statico): 2,50
- Coeff. parziale di sicurezza F_q (statico): 2,50
- Coeff. parziale di sicurezza F_g (statico): 2,50
- Coeff. parziale di sicurezza F_c (sismico): 3,00
- Coeff. parziale di sicurezza F_q (sismico): 3,00
- Coeff. parziale di sicurezza F_g (sismico): 3,00

Combinazioni di carico:

APPROCCIO PROGETTUALE TIPO 2 - Comb. (A1+M1+R3)

Coefficienti parziali di sicurezza per SLU nel calcolo della portanza per fondazioni superficiali :

I coeff. A1 risultano combinati secondo lo schema presente nella relazione di calcolo della struttura.

EVO S.r.l.	 WE ENGINEERING	CODE CODICE C23EOSW002S001R00
		<i>PAGE</i> 63 di/of 219

- Coeff. M1 per Tan ϕ (statico): 1
- Coeff. M1 per c' (statico): 1
- Coeff. M1 per Cu (statico): 1
- Coeff. M1 per Tan ϕ (sismico): 1
- Coeff. M1 per c' (sismico): 1
- Coeff. M1 per Cu sismico): 1

- Coeff. R3 capacità portante (statico e sismico): 2,30
- Coeff. R3 scorrimento (statico e sismico): 1,10

Parametri per la verifica a scorrimento delle fondazioni superficiali:

- Fattore per l'adesione ($6 < Ca < 10$): 8
- Fattore per attrito terreno-fondazione ($5 < Delta < 10$): 7
- Frazione di spinta passiva fSp: 50,00 %
- Coeff. resistenza sulle sup. laterali: 1,30

Metodi e parametri per il calcolo dei cedimenti delle fondazioni superficiali:

- Metodo di calcolo tensioni superficiali: Boussinesq
- Modalità d'interferenza dei bulbi tensionali: sovrapposizione dei bulbi
- Metodo di calcolo dei cedimenti del terreno: cedimenti edometrici

ARCHIVIO STRATIGRAFIE

Indice / Descrizione: 001 / Stratigrafia Macomer 2

Numero strati: 1

Profondità falda: assente

Strato n.	Quota di riferimento	Spessore	Indice / Descrizione terreno	Attrito
Neg.				

EVO S.r.l.	 WE ENGINEERING	CODE CODICE C23EOSW002S001R00
		PAGE 64 di/of 219

1	da 0,0 a -500,0 cm	500,0 cm	001 / Basalti alcalini e trachibasalti	Assente
---	--------------------	----------	--	---------

ARCHIVIO TERRENI

Indice / Descrizione terreno: **001 / Basalti alcalini e trachibasalti**

Comportamento del terreno: litoide (roccia)

Peso Spec.	P. Spec. Sat.	Angolo Res.	Coesione	Mod.Elast.	Poisson	RQD	C. Ades.
daN/cm ²	daN/cm ³	Gradi°	daN/cmq	daN/cmq	%	%	
2,200 E-3	2,200 E-3	32,000	0,100	1000,000	0,295	50,0	0,90

EVO S.r.l.



CODE CODICE

C23EOSW002S001R00

PAGE

65 di/of 219

10. DATI GEOMETRICI DEGLI ELEMENTI COSTITUENTI LE FONDAZIONI SUPERFICIALI

10.1. LEGENDA TABELLA DATI GEOMETRICI

Elemento Macro	Tipologia	Id.Strat.	Prof. Fon.	Dia. Eq.	Spessore	Superficie	Vertici
n.		mm mm	mm	mm ²	n. per elem.	n.	
Platea n. 1	Platea	001 625.00	1416.71	1250.00	1576351.00	4	1
Platea n. 2	Platea	001 700.00	1382.70	1400.00	1501575.00	4	1
Platea n. 3	Platea	001 775.00	1347.84	1550.00	1426800.00	4	1
Platea n. 4	Platea	001 850.00	1312.04	1700.00	1352026.00	4	1
Platea n. 5	Platea	001 925.00	1275.82	1850.00	1278406.00	4	1
Platea n. 6	Platea	001 1000.00	1236.76	2000.00	1201324.00	4	1
Platea n. 7	Platea	001 1075.00	1198.26	2150.00	1127703.00	4	1
Platea n. 8	Platea	001 1150.00	1157.86	2300.00	1052929.00	4	1
Platea n. 9	Platea	001 1225.00	1115.99	2450.00	978154.00	4	1
Platea n. 10	Platea	001 1300.00	1072.48	2600.00	903379.60	4	1
Platea n. 11	Platea	001 1375.00	1027.14	2750.00	828605.20	4	1
Platea n. 12	Platea	001 1450.00	979.70	2900.00	753830.50	4	1
Platea n. 13	Platea	001 1525.00	929.84	3050.00	679056.30	4	1
Platea n. 14	Platea	001 1600.00	877.15	3200.00	604281.80	4	1
Platea n. 15	Platea	001 1675.00	821.09	3350.00	529507.40	4	1
Platea n. 16	Platea	001 1750.00	760.91	3500.00	454733.00	4	1
Platea n. 17	Platea	001 2175.00	607.52	4350.00	289877.30	4	1
Platea n. 18	Platea	001 2175.00	622.26	4350.00	304112.40	4	1
Platea n. 19	Platea	001 2175.00	552.11	4350.00	239407.60	4	1
Platea n. 20	Platea	001 2175.00	471.63	4350.00	174702.90	4	1
Platea n. 21	Platea	001 2175.00	374.24	4350.00	109998.10	4	1
Platea n. 22	Platea	001 2175.00	243.55	4350.00	46587.43	3	1
Platea n. 23	Platea	001 625.00	1416.71	1250.00	1576351.00	4	1
Platea n. 24	Platea	001 700.00	1382.70	1400.00	1501575.00	4	1
Platea n. 25	Platea	001 775.00	1347.84	1550.00	1426800.00	4	1
Platea n. 26	Platea	001 850.00	1312.04	1700.00	1352026.00	4	1

EVO S.r.l.			 WE ENGINEERING			CODE CODICE		
						C23EOSW002S001R00		
						PAGE		
						66 di/of 219		
Platea n. 27	Platea	001	925.00	1275.82	1850.00	1278406.00	4	1
Platea n. 28	Platea	001	1000.00	1236.76	2000.00	1201324.00	4	1
Platea n. 29	Platea	001	1075.00	1198.26	2150.00	1127703.00	4	1
Platea n. 30	Platea	001	1150.00	1157.86	2300.00	1052929.00	4	1
Platea n. 31	Platea	001	1225.00	1115.99	2450.00	978154.00	4	1
Platea n. 32	Platea	001	1300.00	1072.48	2600.00	903379.60	4	1
Platea n. 33	Platea	001	1375.00	1027.14	2750.00	828605.20	4	1
Platea n. 34	Platea	001	1450.00	979.70	2900.00	753830.50	4	1
Platea n. 35	Platea	001	1525.00	929.84	3050.00	679056.30	4	1
Platea n. 36	Platea	001	1600.00	877.15	3200.00	604281.80	4	1
Platea n. 37	Platea	001	1675.00	821.09	3350.00	529507.40	4	1
Platea n. 38	Platea	001	1750.00	760.91	3500.00	454733.00	4	1
Platea n. 39	Platea	001	2175.00	607.52	4350.00	289877.30	4	1
Platea n. 40	Platea	001	2175.00	622.26	4350.00	304112.40	4	1
Platea n. 41	Platea	001	2175.00	552.11	4350.00	239407.60	4	1
Platea n. 42	Platea	001	2175.00	471.63	4350.00	174702.90	4	1
Platea n. 43	Platea	001	2175.00	374.24	4350.00	109998.10	4	1
Platea n. 44	Platea	001	2175.00	243.55	4350.00	46587.43	3	1
Platea n. 45	Platea	001	625.00	1416.71	1250.00	1576351.00	4	1
Platea n. 46	Platea	001	700.00	1382.70	1400.00	1501575.00	4	1
Platea n. 47	Platea	001	775.00	1347.84	1550.00	1426800.00	4	1
Platea n. 48	Platea	001	850.00	1312.04	1700.00	1352027.00	4	1
Platea n. 49	Platea	001	925.00	1275.82	1850.00	1278406.00	4	1
Platea n. 50	Platea	001	1000.00	1236.76	2000.00	1201324.00	4	1
Platea n. 51	Platea	001	1075.00	1198.26	2150.00	1127703.00	4	1
Platea n. 52	Platea	001	1150.00	1157.86	2300.00	1052929.00	4	1
Platea n. 53	Platea	001	1225.00	1115.99	2450.00	978154.20	4	1
Platea n. 54	Platea	001	1300.00	1072.48	2600.00	903379.30	4	1
Platea n. 55	Platea	001	1375.00	1027.14	2750.00	828605.30	4	1
Platea n. 56	Platea	001	1450.00	979.70	2900.00	753830.50	4	1
Platea n. 57	Platea	001	1525.00	929.84	3050.00	679056.30	4	1
Platea n. 58	Platea	001	1600.00	877.15	3200.00	604281.80	4	1
Platea n. 59	Platea	001	1675.00	821.09	3350.00	529507.50	4	1
Platea n. 60	Platea	001	1750.00	760.91	3500.00	454732.90	4	1

EVO S.r.l.				 CODE CODICE C23EOSW002S001R00				
Platea n. 61	Platea	001	2175.00	607.52	4350.00	289877.30	4	1
Platea n. 62	Platea	001	2175.00	622.26	4350.00	304112.40	4	1
Platea n. 63	Platea	001	2175.00	552.11	4350.00	239407.60	4	1
Platea n. 64	Platea	001	2175.00	471.63	4350.00	174702.80	4	1
Platea n. 65	Platea	001	2175.00	374.24	4350.00	109998.10	4	1
Platea n. 66	Platea	001	2175.00	243.55	4350.00	46587.43	3	1
Platea n. 67	Platea	001	625.00	1416.71	1250.00	1576350.00	4	1
Platea n. 68	Platea	001	700.00	1382.70	1400.00	1501575.00	4	1
Platea n. 69	Platea	001	775.00	1347.84	1550.00	1426800.00	4	1
Platea n. 70	Platea	001	850.00	1312.04	1700.00	1352027.00	4	1
Platea n. 71	Platea	001	925.00	1275.82	1850.00	1278404.00	4	1
Platea n. 72	Platea	001	1000.00	1236.76	2000.00	1201325.00	4	1
Platea n. 73	Platea	001	1075.00	1198.26	2150.00	1127702.00	4	1
Platea n. 74	Platea	001	1150.00	1157.86	2300.00	1052929.00	4	1
Platea n. 75	Platea	001	1225.00	1115.99	2450.00	978153.70	4	1
Platea n. 76	Platea	001	1300.00	1072.48	2600.00	903379.30	4	1
Platea n. 77	Platea	001	1375.00	1027.14	2750.00	828605.30	4	1
Platea n. 78	Platea	001	1450.00	979.70	2900.00	753830.60	4	1
Platea n. 79	Platea	001	1525.00	929.84	3050.00	679056.30	4	1
Platea n. 80	Platea	001	1600.00	877.15	3200.00	604281.80	4	1
Platea n. 81	Platea	001	1675.00	821.09	3350.00	529507.60	4	1
Platea n. 82	Platea	001	1750.00	760.91	3500.00	454732.90	4	1
Platea n. 83	Platea	001	2175.00	607.52	4350.00	289877.30	4	1
Platea n. 84	Platea	001	2175.00	622.26	4350.00	304112.40	4	1
Platea n. 85	Platea	001	2175.00	552.11	4350.00	239407.60	4	1
Platea n. 86	Platea	001	2175.00	471.63	4350.00	174702.90	4	1
Platea n. 87	Platea	001	2175.00	374.24	4350.00	109998.10	4	1
Platea n. 88	Platea	001	2175.00	243.55	4350.00	46587.43	3	1
Platea n. 89	Platea	001	625.00	1416.71	1250.00	1576350.00	4	1
Platea n. 90	Platea	001	700.00	1382.70	1400.00	1501575.00	4	1
Platea n. 91	Platea	001	775.00	1347.84	1550.00	1426800.00	4	1
Platea n. 92	Platea	001	850.00	1312.04	1700.00	1352027.00	4	1
Platea n. 93	Platea	001	925.00	1275.82	1850.00	1278404.00	4	1
Platea n. 94	Platea	001	1000.00	1236.76	2000.00	1201325.00	4	1

EVO S.r.l.			 WE ENGINEERING			CODE CODICE		
						C23EOSW002S001R00		
						PAGE		
						68 di/of 219		
Platea n. 95	Platea	001	1075.00	1198.26	2150.00	1127702.00	4	1
Platea n. 96	Platea	001	1150.00	1157.86	2300.00	1052929.00	4	1
Platea n. 97	Platea	001	1225.00	1115.99	2450.00	978153.70	4	1
Platea n. 98	Platea	001	1300.00	1072.48	2600.00	903379.30	4	1
Platea n. 99	Platea	001	1375.00	1027.14	2750.00	828605.30	4	1
Platea n. 100	Platea	001	1450.00	979.70	2900.00	753830.60	4	1
Platea n. 101	Platea	001	1525.00	929.84	3050.00	679056.30	4	1
Platea n. 102	Platea	001	1600.00	877.15	3200.00	604281.80	4	1
Platea n. 103	Platea	001	1675.00	821.09	3350.00	529507.60	4	1
Platea n. 104	Platea	001	1750.00	760.91	3500.00	454732.90	4	1
Platea n. 105	Platea	001	2175.00	607.52	4350.00	289877.30	4	1
Platea n. 106	Platea	001	2175.00	622.26	4350.00	304112.40	4	1
Platea n. 107	Platea	001	2175.00	552.11	4350.00	239407.60	4	1
Platea n. 108	Platea	001	2175.00	471.63	4350.00	174702.90	4	1
Platea n. 109	Platea	001	2175.00	374.24	4350.00	109998.10	4	1
Platea n. 110	Platea	001	2175.00	243.55	4350.00	46587.43	3	1
Platea n. 111	Platea	001	625.00	1416.71	1250.00	1576351.00	4	1
Platea n. 112	Platea	001	700.00	1382.70	1400.00	1501575.00	4	1
Platea n. 113	Platea	001	775.00	1347.84	1550.00	1426800.00	4	1
Platea n. 114	Platea	001	850.00	1312.04	1700.00	1352027.00	4	1
Platea n. 115	Platea	001	925.00	1275.82	1850.00	1278406.00	4	1
Platea n. 116	Platea	001	1000.00	1236.76	2000.00	1201324.00	4	1
Platea n. 117	Platea	001	1075.00	1198.26	2150.00	1127703.00	4	1
Platea n. 118	Platea	001	1150.00	1157.86	2300.00	1052929.00	4	1
Platea n. 119	Platea	001	1225.00	1115.99	2450.00	978154.20	4	1
Platea n. 120	Platea	001	1300.00	1072.48	2600.00	903379.30	4	1
Platea n. 121	Platea	001	1375.00	1027.14	2750.00	828605.30	4	1
Platea n. 122	Platea	001	1450.00	979.70	2900.00	753830.50	4	1
Platea n. 123	Platea	001	1525.00	929.84	3050.00	679056.30	4	1
Platea n. 124	Platea	001	1600.00	877.15	3200.00	604281.80	4	1
Platea n. 125	Platea	001	1675.00	821.09	3350.00	529507.50	4	1
Platea n. 126	Platea	001	1750.00	760.91	3500.00	454732.90	4	1
Platea n. 127	Platea	001	2175.00	607.52	4350.00	289877.30	4	1
Platea n. 128	Platea	001	2175.00	622.26	4350.00	304112.40	4	1

EVO S.r.l.				 WE ENGINEERING			CODE CODICE		
							C23EOSW002S001R00		
							PAGE		
							69 di/of 219		
Platea n. 129	Platea	001	2175.00	552.11	4350.00	239407.60	4	1	
Platea n. 130	Platea	001	2175.00	471.63	4350.00	174702.80	4	1	
Platea n. 131	Platea	001	2175.00	374.24	4350.00	109998.10	4	1	
Platea n. 132	Platea	001	2175.00	243.55	4350.00	46587.43	3	1	
Platea n. 133	Platea	001	625.00	1416.71	1250.00	1576351.00	4	1	
Platea n. 134	Platea	001	700.00	1382.70	1400.00	1501575.00	4	1	
Platea n. 135	Platea	001	775.00	1347.84	1550.00	1426800.00	4	1	
Platea n. 136	Platea	001	850.00	1312.04	1700.00	1352026.00	4	1	
Platea n. 137	Platea	001	925.00	1275.82	1850.00	1278406.00	4	1	
Platea n. 138	Platea	001	1000.00	1236.76	2000.00	1201324.00	4	1	
Platea n. 139	Platea	001	1075.00	1198.26	2150.00	1127703.00	4	1	
Platea n. 140	Platea	001	1150.00	1157.86	2300.00	1052929.00	4	1	
Platea n. 141	Platea	001	1225.00	1115.99	2450.00	978154.00	4	1	
Platea n. 142	Platea	001	1300.00	1072.48	2600.00	903379.60	4	1	
Platea n. 143	Platea	001	1375.00	1027.14	2750.00	828605.20	4	1	
Platea n. 144	Platea	001	1450.00	979.70	2900.00	753830.50	4	1	
Platea n. 145	Platea	001	1525.00	929.84	3050.00	679056.30	4	1	
Platea n. 146	Platea	001	1600.00	877.15	3200.00	604281.80	4	1	
Platea n. 147	Platea	001	1675.00	821.09	3350.00	529507.40	4	1	
Platea n. 148	Platea	001	1750.00	760.91	3500.00	454733.00	4	1	
Platea n. 149	Platea	001	2175.00	607.52	4350.00	289877.30	4	1	
Platea n. 150	Platea	001	2175.00	622.26	4350.00	304112.40	4	1	
Platea n. 151	Platea	001	2175.00	552.11	4350.00	239407.60	4	1	
Platea n. 152	Platea	001	2175.00	471.63	4350.00	174702.90	4	1	
Platea n. 153	Platea	001	2175.00	374.24	4350.00	109998.10	4	1	
Platea n. 154	Platea	001	2175.00	243.55	4350.00	46587.43	3	1	
Platea n. 155	Platea	001	625.00	1416.71	1250.00	1576351.00	4	1	
Platea n. 156	Platea	001	700.00	1382.70	1400.00	1501575.00	4	1	
Platea n. 157	Platea	001	775.00	1347.84	1550.00	1426800.00	4	1	
Platea n. 158	Platea	001	850.00	1312.04	1700.00	1352026.00	4	1	
Platea n. 159	Platea	001	925.00	1275.82	1850.00	1278406.00	4	1	
Platea n. 160	Platea	001	1000.00	1236.76	2000.00	1201324.00	4	1	
Platea n. 161	Platea	001	1075.00	1198.26	2150.00	1127703.00	4	1	
Platea n. 162	Platea	001	1150.00	1157.86	2300.00	1052929.00	4	1	

EVO S.r.l.				 CODE CODICE C23EOSW002S001R00				
Platea n. 163	Platea	001	1225.00	1115.99	2450.00	978154.00	4	1
Platea n. 164	Platea	001	1300.00	1072.48	2600.00	903379.60	4	1
Platea n. 165	Platea	001	1375.00	1027.14	2750.00	828605.20	4	1
Platea n. 166	Platea	001	1450.00	979.70	2900.00	753830.50	4	1
Platea n. 167	Platea	001	1525.00	929.84	3050.00	679056.30	4	1
Platea n. 168	Platea	001	1600.00	877.15	3200.00	604281.80	4	1
Platea n. 169	Platea	001	1675.00	821.09	3350.00	529507.40	4	1
Platea n. 170	Platea	001	1750.00	760.91	3500.00	454733.00	4	1
Platea n. 171	Platea	001	2175.00	607.52	4350.00	289877.30	4	1
Platea n. 172	Platea	001	2175.00	622.26	4350.00	304112.40	4	1
Platea n. 173	Platea	001	2175.00	552.11	4350.00	239407.60	4	1
Platea n. 174	Platea	001	2175.00	471.63	4350.00	174702.90	4	1
Platea n. 175	Platea	001	2175.00	374.24	4350.00	109998.10	4	1
Platea n. 176	Platea	001	2175.00	243.55	4350.00	46587.43	3	1
Platea n. 177	Platea	001	625.00	1416.71	1250.00	1576351.00	4	1
Platea n. 178	Platea	001	700.00	1382.70	1400.00	1501575.00	4	1
Platea n. 179	Platea	001	775.00	1347.84	1550.00	1426800.00	4	1
Platea n. 180	Platea	001	850.00	1312.04	1700.00	1352027.00	4	1
Platea n. 181	Platea	001	925.00	1275.82	1850.00	1278406.00	4	1
Platea n. 182	Platea	001	1000.00	1236.76	2000.00	1201324.00	4	1
Platea n. 183	Platea	001	1075.00	1198.26	2150.00	1127703.00	4	1
Platea n. 184	Platea	001	1150.00	1157.86	2300.00	1052929.00	4	1
Platea n. 185	Platea	001	1225.00	1115.99	2450.00	978154.20	4	1
Platea n. 186	Platea	001	1300.00	1072.48	2600.00	903379.30	4	1
Platea n. 187	Platea	001	1375.00	1027.14	2750.00	828605.30	4	1
Platea n. 188	Platea	001	1450.00	979.70	2900.00	753830.50	4	1
Platea n. 189	Platea	001	1525.00	929.84	3050.00	679056.30	4	1
Platea n. 190	Platea	001	1600.00	877.15	3200.00	604281.80	4	1
Platea n. 191	Platea	001	1675.00	821.09	3350.00	529507.50	4	1
Platea n. 192	Platea	001	1750.00	760.91	3500.00	454732.90	4	1
Platea n. 193	Platea	001	2175.00	607.52	4350.00	289877.30	4	1
Platea n. 194	Platea	001	2175.00	622.26	4350.00	304112.40	4	1
Platea n. 195	Platea	001	2175.00	552.11	4350.00	239407.60	4	1
Platea n. 196	Platea	001	2175.00	471.63	4350.00	174702.80	4	1

EVO S.r.l.				 CODE CODICE C23EOSW002S001R00				
Platea n. 197	Platea	001	2175.00	374.24	4350.00	109998.10	4	1
Platea n. 198	Platea	001	2175.00	243.55	4350.00	46587.43	3	1
Platea n. 199	Platea	001	625.00	1416.71	1250.00	1576350.00	4	1
Platea n. 200	Platea	001	700.00	1382.70	1400.00	1501575.00	4	1
Platea n. 201	Platea	001	775.00	1347.84	1550.00	1426800.00	4	1
Platea n. 202	Platea	001	850.00	1312.04	1700.00	1352027.00	4	1
Platea n. 203	Platea	001	925.00	1275.82	1850.00	1278404.00	4	1
Platea n. 204	Platea	001	1000.00	1236.76	2000.00	1201325.00	4	1
Platea n. 205	Platea	001	1075.00	1198.26	2150.00	1127702.00	4	1
Platea n. 206	Platea	001	1150.00	1157.86	2300.00	1052929.00	4	1
Platea n. 207	Platea	001	1225.00	1115.99	2450.00	978153.70	4	1
Platea n. 208	Platea	001	1300.00	1072.48	2600.00	903379.30	4	1
Platea n. 209	Platea	001	1375.00	1027.14	2750.00	828605.30	4	1
Platea n. 210	Platea	001	1450.00	979.70	2900.00	753830.60	4	1
Platea n. 211	Platea	001	1525.00	929.84	3050.00	679056.30	4	1
Platea n. 212	Platea	001	1600.00	877.15	3200.00	604281.80	4	1
Platea n. 213	Platea	001	1675.00	821.09	3350.00	529507.60	4	1
Platea n. 214	Platea	001	1750.00	760.91	3500.00	454732.90	4	1
Platea n. 215	Platea	001	2175.00	607.52	4350.00	289877.30	4	1
Platea n. 216	Platea	001	2175.00	622.26	4350.00	304112.40	4	1
Platea n. 217	Platea	001	2175.00	552.11	4350.00	239407.60	4	1
Platea n. 218	Platea	001	2175.00	471.63	4350.00	174702.90	4	1
Platea n. 219	Platea	001	2175.00	374.24	4350.00	109998.10	4	1
Platea n. 220	Platea	001	2175.00	243.55	4350.00	46587.43	3	1
Platea n. 221	Platea	001	625.00	1416.71	1250.00	1576350.00	4	1
Platea n. 222	Platea	001	700.00	1382.70	1400.00	1501575.00	4	1
Platea n. 223	Platea	001	775.00	1347.84	1550.00	1426800.00	4	1
Platea n. 224	Platea	001	850.00	1312.04	1700.00	1352027.00	4	1
Platea n. 225	Platea	001	925.00	1275.82	1850.00	1278404.00	4	1
Platea n. 226	Platea	001	1000.00	1236.76	2000.00	1201325.00	4	1
Platea n. 227	Platea	001	1075.00	1198.26	2150.00	1127702.00	4	1
Platea n. 228	Platea	001	1150.00	1157.86	2300.00	1052929.00	4	1
Platea n. 229	Platea	001	1225.00	1115.99	2450.00	978153.70	4	1
Platea n. 230	Platea	001	1300.00	1072.48	2600.00	903379.30	4	1

EVO S.r.l.				 CODE CODICE C23EOSW002S001R00				
Platea n. 231	Platea	001	1375.00	1027.14	2750.00	828605.30	4	1
Platea n. 232	Platea	001	1450.00	979.70	2900.00	753830.60	4	1
Platea n. 233	Platea	001	1525.00	929.84	3050.00	679056.30	4	1
Platea n. 234	Platea	001	1600.00	877.15	3200.00	604281.80	4	1
Platea n. 235	Platea	001	1675.00	821.09	3350.00	529507.60	4	1
Platea n. 236	Platea	001	1750.00	760.91	3500.00	454732.90	4	1
Platea n. 237	Platea	001	2175.00	607.52	4350.00	289877.30	4	1
Platea n. 238	Platea	001	2175.00	622.26	4350.00	304112.40	4	1
Platea n. 239	Platea	001	2175.00	552.11	4350.00	239407.60	4	1
Platea n. 240	Platea	001	2175.00	471.63	4350.00	174702.90	4	1
Platea n. 241	Platea	001	2175.00	374.24	4350.00	109998.10	4	1
Platea n. 242	Platea	001	2175.00	243.55	4350.00	46587.43	3	1
Platea n. 243	Platea	001	625.00	1416.71	1250.00	1576351.00	4	1
Platea n. 244	Platea	001	700.00	1382.70	1400.00	1501575.00	4	1
Platea n. 245	Platea	001	775.00	1347.84	1550.00	1426800.00	4	1
Platea n. 246	Platea	001	850.00	1312.04	1700.00	1352027.00	4	1
Platea n. 247	Platea	001	925.00	1275.82	1850.00	1278406.00	4	1
Platea n. 248	Platea	001	1000.00	1236.76	2000.00	1201324.00	4	1
Platea n. 249	Platea	001	1075.00	1198.26	2150.00	1127703.00	4	1
Platea n. 250	Platea	001	1150.00	1157.86	2300.00	1052929.00	4	1
Platea n. 251	Platea	001	1225.00	1115.99	2450.00	978154.20	4	1
Platea n. 252	Platea	001	1300.00	1072.48	2600.00	903379.30	4	1
Platea n. 253	Platea	001	1375.00	1027.14	2750.00	828605.30	4	1
Platea n. 254	Platea	001	1450.00	979.70	2900.00	753830.50	4	1
Platea n. 255	Platea	001	1525.00	929.84	3050.00	679056.30	4	1
Platea n. 256	Platea	001	1600.00	877.15	3200.00	604281.80	4	1
Platea n. 257	Platea	001	1675.00	821.09	3350.00	529507.50	4	1
Platea n. 258	Platea	001	1750.00	760.91	3500.00	454732.90	4	1
Platea n. 259	Platea	001	2175.00	607.52	4350.00	289877.30	4	1
Platea n. 260	Platea	001	2175.00	622.26	4350.00	304112.40	4	1
Platea n. 261	Platea	001	2175.00	552.11	4350.00	239407.60	4	1
Platea n. 262	Platea	001	2175.00	471.63	4350.00	174702.80	4	1
Platea n. 263	Platea	001	2175.00	374.24	4350.00	109998.10	4	1
Platea n. 264	Platea	001	2175.00	243.55	4350.00	46587.43	3	1

EVO S.r.l.				 CODE CODICE C23EOSW002S001R00				
Platea n. 265	Platea	001	625.00	1416.71	1250.00	1576351.00	4	1
Platea n. 266	Platea	001	700.00	1382.70	1400.00	1501575.00	4	1
Platea n. 267	Platea	001	775.00	1347.84	1550.00	1426800.00	4	1
Platea n. 268	Platea	001	850.00	1312.04	1700.00	1352026.00	4	1
Platea n. 269	Platea	001	925.00	1275.82	1850.00	1278406.00	4	1
Platea n. 270	Platea	001	1000.00	1236.76	2000.00	1201324.00	4	1
Platea n. 271	Platea	001	1075.00	1198.26	2150.00	1127703.00	4	1
Platea n. 272	Platea	001	1150.00	1157.86	2300.00	1052929.00	4	1
Platea n. 273	Platea	001	1225.00	1115.99	2450.00	978154.00	4	1
Platea n. 274	Platea	001	1300.00	1072.48	2600.00	903379.60	4	1
Platea n. 275	Platea	001	1375.00	1027.14	2750.00	828605.20	4	1
Platea n. 276	Platea	001	1450.00	979.70	2900.00	753830.50	4	1
Platea n. 277	Platea	001	1525.00	929.84	3050.00	679056.30	4	1
Platea n. 278	Platea	001	1600.00	877.15	3200.00	604281.80	4	1
Platea n. 279	Platea	001	1675.00	821.09	3350.00	529507.40	4	1
Platea n. 280	Platea	001	1750.00	760.91	3500.00	454733.00	4	1
Platea n. 281	Platea	001	2175.00	607.52	4350.00	289877.30	4	1
Platea n. 282	Platea	001	2175.00	622.26	4350.00	304112.40	4	1
Platea n. 283	Platea	001	2175.00	552.11	4350.00	239407.60	4	1
Platea n. 284	Platea	001	2175.00	471.63	4350.00	174702.90	4	1
Platea n. 285	Platea	001	2175.00	374.24	4350.00	109998.10	4	1
Platea n. 286	Platea	001	2175.00	243.55	4350.00	46587.43	3	1
Platea n. 287	Platea	001	625.00	1416.71	1250.00	1576351.00	4	1
Platea n. 288	Platea	001	700.00	1382.70	1400.00	1501575.00	4	1
Platea n. 289	Platea	001	775.00	1347.84	1550.00	1426800.00	4	1
Platea n. 290	Platea	001	850.00	1312.04	1700.00	1352026.00	4	1
Platea n. 291	Platea	001	925.00	1275.82	1850.00	1278406.00	4	1
Platea n. 292	Platea	001	1000.00	1236.76	2000.00	1201324.00	4	1
Platea n. 293	Platea	001	1075.00	1198.26	2150.00	1127703.00	4	1
Platea n. 294	Platea	001	1150.00	1157.86	2300.00	1052929.00	4	1
Platea n. 295	Platea	001	1225.00	1115.99	2450.00	978154.00	4	1
Platea n. 296	Platea	001	1300.00	1072.48	2600.00	903379.60	4	1
Platea n. 297	Platea	001	1375.00	1027.14	2750.00	828605.20	4	1
Platea n. 298	Platea	001	1450.00	979.70	2900.00	753830.50	4	1

EVO S.r.l.				 CODE CODICE C23EOSW002S001R00				
Platea n. 299	Platea	001	1525.00	929.84	3050.00	679056.30	4	1
Platea n. 300	Platea	001	1600.00	877.15	3200.00	604281.80	4	1
Platea n. 301	Platea	001	1675.00	821.09	3350.00	529507.40	4	1
Platea n. 302	Platea	001	1750.00	760.91	3500.00	454733.00	4	1
Platea n. 303	Platea	001	2175.00	607.52	4350.00	289877.30	4	1
Platea n. 304	Platea	001	2175.00	622.26	4350.00	304112.40	4	1
Platea n. 305	Platea	001	2175.00	552.11	4350.00	239407.60	4	1
Platea n. 306	Platea	001	2175.00	471.63	4350.00	174702.90	4	1
Platea n. 307	Platea	001	2175.00	374.24	4350.00	109998.10	4	1
Platea n. 308	Platea	001	2175.00	243.55	4350.00	46587.43	3	1
Platea n. 309	Platea	001	625.00	1416.71	1250.00	1576351.00	4	1
Platea n. 310	Platea	001	700.00	1382.70	1400.00	1501575.00	4	1
Platea n. 311	Platea	001	775.00	1347.84	1550.00	1426800.00	4	1
Platea n. 312	Platea	001	850.00	1312.04	1700.00	1352027.00	4	1
Platea n. 313	Platea	001	925.00	1275.82	1850.00	1278406.00	4	1
Platea n. 314	Platea	001	1000.00	1236.76	2000.00	1201324.00	4	1
Platea n. 315	Platea	001	1075.00	1198.26	2150.00	1127703.00	4	1
Platea n. 316	Platea	001	1150.00	1157.86	2300.00	1052929.00	4	1
Platea n. 317	Platea	001	1225.00	1115.99	2450.00	978154.20	4	1
Platea n. 318	Platea	001	1300.00	1072.48	2600.00	903379.30	4	1
Platea n. 319	Platea	001	1375.00	1027.14	2750.00	828605.30	4	1
Platea n. 320	Platea	001	1450.00	979.70	2900.00	753830.50	4	1
Platea n. 321	Platea	001	1525.00	929.84	3050.00	679056.30	4	1
Platea n. 322	Platea	001	1600.00	877.15	3200.00	604281.80	4	1
Platea n. 323	Platea	001	1675.00	821.09	3350.00	529507.50	4	1
Platea n. 324	Platea	001	1750.00	760.91	3500.00	454732.90	4	1
Platea n. 325	Platea	001	2175.00	607.52	4350.00	289877.30	4	1
Platea n. 326	Platea	001	2175.00	622.26	4350.00	304112.40	4	1
Platea n. 327	Platea	001	2175.00	552.11	4350.00	239407.60	4	1
Platea n. 328	Platea	001	2175.00	471.63	4350.00	174702.80	4	1
Platea n. 329	Platea	001	2175.00	374.24	4350.00	109998.10	4	1
Platea n. 330	Platea	001	2175.00	243.55	4350.00	46587.43	3	1
Platea n. 331	Platea	001	625.00	1416.71	1250.00	1576350.00	4	1
Platea n. 332	Platea	001	700.00	1382.70	1400.00	1501575.00	4	1

EVO S.r.l.			 WE ENGINEERING			CODE CODICE		
						C23EOSW002S001R00		
						PAGE		
						75 di/of 219		
Platea n. 333	Platea	001	775.00	1347.84	1550.00	1426800.00	4	1
Platea n. 334	Platea	001	850.00	1312.04	1700.00	1352027.00	4	1
Platea n. 335	Platea	001	925.00	1275.82	1850.00	1278404.00	4	1
Platea n. 336	Platea	001	1000.00	1236.76	2000.00	1201325.00	4	1
Platea n. 337	Platea	001	1075.00	1198.26	2150.00	1127702.00	4	1
Platea n. 338	Platea	001	1150.00	1157.86	2300.00	1052929.00	4	1
Platea n. 339	Platea	001	1225.00	1115.99	2450.00	978153.70	4	1
Platea n. 340	Platea	001	1300.00	1072.48	2600.00	903379.30	4	1
Platea n. 341	Platea	001	1375.00	1027.14	2750.00	828605.30	4	1
Platea n. 342	Platea	001	1450.00	979.70	2900.00	753830.60	4	1
Platea n. 343	Platea	001	1525.00	929.84	3050.00	679056.30	4	1
Platea n. 344	Platea	001	1600.00	877.15	3200.00	604281.80	4	1
Platea n. 345	Platea	001	1675.00	821.09	3350.00	529507.60	4	1
Platea n. 346	Platea	001	1750.00	760.91	3500.00	454732.90	4	1
Platea n. 347	Platea	001	2175.00	607.52	4350.00	289877.30	4	1
Platea n. 348	Platea	001	2175.00	622.26	4350.00	304112.40	4	1
Platea n. 349	Platea	001	2175.00	552.11	4350.00	239407.60	4	1
Platea n. 350	Platea	001	2175.00	471.63	4350.00	174702.90	4	1
Platea n. 351	Platea	001	2175.00	374.24	4350.00	109998.10	4	1
Platea n. 352	Platea	001	2175.00	243.55	4350.00	46587.43	3	1
Platea n. 353	Platea	001	625.00	1416.71	1250.00	1576350.00	4	1
Platea n. 354	Platea	001	700.00	1382.70	1400.00	1501575.00	4	1
Platea n. 355	Platea	001	775.00	1347.84	1550.00	1426800.00	4	1
Platea n. 356	Platea	001	850.00	1312.04	1700.00	1352027.00	4	1
Platea n. 357	Platea	001	925.00	1275.82	1850.00	1278404.00	4	1
Platea n. 358	Platea	001	1000.00	1236.76	2000.00	1201325.00	4	1
Platea n. 359	Platea	001	1075.00	1198.26	2150.00	1127702.00	4	1
Platea n. 360	Platea	001	1150.00	1157.86	2300.00	1052929.00	4	1
Platea n. 361	Platea	001	1225.00	1115.99	2450.00	978153.70	4	1
Platea n. 362	Platea	001	1300.00	1072.48	2600.00	903379.30	4	1
Platea n. 363	Platea	001	1375.00	1027.14	2750.00	828605.30	4	1
Platea n. 364	Platea	001	1450.00	979.70	2900.00	753830.60	4	1
Platea n. 365	Platea	001	1525.00	929.84	3050.00	679056.30	4	1
Platea n. 366	Platea	001	1600.00	877.15	3200.00	604281.80	4	1

EVO S.r.l.				 CODE CODICE C23EOSW002S001R00				
Platea n. 367	Platea	001	1675.00	821.09	3350.00	529507.60	4	1
Platea n. 368	Platea	001	1750.00	760.91	3500.00	454732.90	4	1
Platea n. 369	Platea	001	2175.00	607.52	4350.00	289877.30	4	1
Platea n. 370	Platea	001	2175.00	622.26	4350.00	304112.40	4	1
Platea n. 371	Platea	001	2175.00	552.11	4350.00	239407.60	4	1
Platea n. 372	Platea	001	2175.00	471.63	4350.00	174702.90	4	1
Platea n. 373	Platea	001	2175.00	374.24	4350.00	109998.10	4	1
Platea n. 374	Platea	001	2175.00	243.55	4350.00	46587.43	3	1
Platea n. 375	Platea	001	625.00	1416.71	1250.00	1576351.00	4	1
Platea n. 376	Platea	001	700.00	1382.70	1400.00	1501575.00	4	1
Platea n. 377	Platea	001	775.00	1347.84	1550.00	1426800.00	4	1
Platea n. 378	Platea	001	850.00	1312.04	1700.00	1352027.00	4	1
Platea n. 379	Platea	001	925.00	1275.82	1850.00	1278406.00	4	1
Platea n. 380	Platea	001	1000.00	1236.76	2000.00	1201324.00	4	1
Platea n. 381	Platea	001	1075.00	1198.26	2150.00	1127703.00	4	1
Platea n. 382	Platea	001	1150.00	1157.86	2300.00	1052929.00	4	1
Platea n. 383	Platea	001	1225.00	1115.99	2450.00	978154.20	4	1
Platea n. 384	Platea	001	1300.00	1072.48	2600.00	903379.30	4	1
Platea n. 385	Platea	001	1375.00	1027.14	2750.00	828605.30	4	1
Platea n. 386	Platea	001	1450.00	979.70	2900.00	753830.50	4	1
Platea n. 387	Platea	001	1525.00	929.84	3050.00	679056.30	4	1
Platea n. 388	Platea	001	1600.00	877.15	3200.00	604281.80	4	1
Platea n. 389	Platea	001	1675.00	821.09	3350.00	529507.50	4	1
Platea n. 390	Platea	001	1750.00	760.91	3500.00	454732.90	4	1
Platea n. 391	Platea	001	2175.00	607.52	4350.00	289877.30	4	1
Platea n. 392	Platea	001	2175.00	622.26	4350.00	304112.40	4	1
Platea n. 393	Platea	001	2175.00	552.11	4350.00	239407.60	4	1
Platea n. 394	Platea	001	2175.00	471.63	4350.00	174702.80	4	1
Platea n. 395	Platea	001	2175.00	374.24	4350.00	109998.10	4	1
Platea n. 396	Platea	001	2175.00	243.55	4350.00	46587.43	3	1
Platea n. 397	Platea	001	625.00	1416.71	1250.00	1576351.00	4	1
Platea n. 398	Platea	001	700.00	1382.70	1400.00	1501575.00	4	1
Platea n. 399	Platea	001	775.00	1347.84	1550.00	1426800.00	4	1
Platea n. 400	Platea	001	850.00	1312.04	1700.00	1352026.00	4	1

EVO S.r.l.				 WE ENGINEERING			CODE CODICE		
							C23EOSW002S001R00		
							PAGE		
							77 di/of 219		
Platea n. 401	Platea	001	925.00	1275.82	1850.00	1278406.00	4	1	
Platea n. 402	Platea	001	1000.00	1236.76	2000.00	1201324.00	4	1	
Platea n. 403	Platea	001	1075.00	1198.26	2150.00	1127703.00	4	1	
Platea n. 404	Platea	001	1150.00	1157.86	2300.00	1052929.00	4	1	
Platea n. 405	Platea	001	1225.00	1115.99	2450.00	978154.00	4	1	
Platea n. 406	Platea	001	1300.00	1072.48	2600.00	903379.60	4	1	
Platea n. 407	Platea	001	1375.00	1027.14	2750.00	828605.20	4	1	
Platea n. 408	Platea	001	1450.00	979.70	2900.00	753830.50	4	1	
Platea n. 409	Platea	001	1525.00	929.84	3050.00	679056.30	4	1	
Platea n. 410	Platea	001	1600.00	877.15	3200.00	604281.80	4	1	
Platea n. 411	Platea	001	1675.00	821.09	3350.00	529507.40	4	1	
Platea n. 412	Platea	001	1750.00	760.91	3500.00	454733.00	4	1	
Platea n. 413	Platea	001	2175.00	607.52	4350.00	289877.30	4	1	
Platea n. 414	Platea	001	2175.00	622.26	4350.00	304112.40	4	1	
Platea n. 415	Platea	001	2175.00	552.11	4350.00	239407.60	4	1	
Platea n. 416	Platea	001	2175.00	471.63	4350.00	174702.90	4	1	
Platea n. 417	Platea	001	2175.00	374.24	4350.00	109998.10	4	1	
Platea n. 418	Platea	001	2175.00	243.55	4350.00	46587.43	3	1	
Platea n. 419	Platea	001	625.00	1416.71	1250.00	1576351.00	4	1	
Platea n. 420	Platea	001	700.00	1382.70	1400.00	1501575.00	4	1	
Platea n. 421	Platea	001	775.00	1347.84	1550.00	1426800.00	4	1	
Platea n. 422	Platea	001	850.00	1312.04	1700.00	1352026.00	4	1	
Platea n. 423	Platea	001	925.00	1275.82	1850.00	1278406.00	4	1	
Platea n. 424	Platea	001	1000.00	1236.76	2000.00	1201324.00	4	1	
Platea n. 425	Platea	001	1075.00	1198.26	2150.00	1127703.00	4	1	
Platea n. 426	Platea	001	1150.00	1157.86	2300.00	1052929.00	4	1	
Platea n. 427	Platea	001	1225.00	1115.99	2450.00	978154.00	4	1	
Platea n. 428	Platea	001	1300.00	1072.48	2600.00	903379.60	4	1	
Platea n. 429	Platea	001	1375.00	1027.14	2750.00	828605.20	4	1	
Platea n. 430	Platea	001	1450.00	979.70	2900.00	753830.50	4	1	
Platea n. 431	Platea	001	1525.00	929.84	3050.00	679056.30	4	1	
Platea n. 432	Platea	001	1600.00	877.15	3200.00	604281.80	4	1	
Platea n. 433	Platea	001	1675.00	821.09	3350.00	529507.40	4	1	
Platea n. 434	Platea	001	1750.00	760.91	3500.00	454733.00	4	1	

EVO S.r.l.				 CODE CODICE C23EOSW002S001R00				
Platea n. 435	Platea	001	2175.00	607.52	4350.00	289877.30	4	1
Platea n. 436	Platea	001	2175.00	622.26	4350.00	304112.40	4	1
Platea n. 437	Platea	001	2175.00	552.11	4350.00	239407.60	4	1
Platea n. 438	Platea	001	2175.00	471.63	4350.00	174702.90	4	1
Platea n. 439	Platea	001	2175.00	374.24	4350.00	109998.10	4	1
Platea n. 440	Platea	001	2175.00	243.55	4350.00	46587.43	3	1
Platea n. 441	Platea	001	625.00	1416.71	1250.00	1576351.00	4	1
Platea n. 442	Platea	001	700.00	1382.70	1400.00	1501575.00	4	1
Platea n. 443	Platea	001	775.00	1347.84	1550.00	1426800.00	4	1
Platea n. 444	Platea	001	850.00	1312.04	1700.00	1352027.00	4	1
Platea n. 445	Platea	001	925.00	1275.82	1850.00	1278406.00	4	1
Platea n. 446	Platea	001	1000.00	1236.76	2000.00	1201324.00	4	1
Platea n. 447	Platea	001	1075.00	1198.26	2150.00	1127703.00	4	1
Platea n. 448	Platea	001	1150.00	1157.86	2300.00	1052929.00	4	1
Platea n. 449	Platea	001	1225.00	1115.99	2450.00	978154.20	4	1
Platea n. 450	Platea	001	1300.00	1072.48	2600.00	903379.30	4	1
Platea n. 451	Platea	001	1375.00	1027.14	2750.00	828605.30	4	1
Platea n. 452	Platea	001	1450.00	979.70	2900.00	753830.50	4	1
Platea n. 453	Platea	001	1525.00	929.84	3050.00	679056.30	4	1
Platea n. 454	Platea	001	1600.00	877.15	3200.00	604281.80	4	1
Platea n. 455	Platea	001	1675.00	821.09	3350.00	529507.50	4	1
Platea n. 456	Platea	001	1750.00	760.91	3500.00	454732.90	4	1
Platea n. 457	Platea	001	2175.00	607.52	4350.00	289877.30	4	1
Platea n. 458	Platea	001	2175.00	622.26	4350.00	304112.40	4	1
Platea n. 459	Platea	001	2175.00	552.11	4350.00	239407.60	4	1
Platea n. 460	Platea	001	2175.00	471.63	4350.00	174702.80	4	1
Platea n. 461	Platea	001	2175.00	374.24	4350.00	109998.10	4	1
Platea n. 462	Platea	001	2175.00	243.55	4350.00	46587.43	3	1
Platea n. 463	Platea	001	625.00	1416.71	1250.00	1576350.00	4	1
Platea n. 464	Platea	001	700.00	1382.70	1400.00	1501575.00	4	1
Platea n. 465	Platea	001	775.00	1347.84	1550.00	1426800.00	4	1
Platea n. 466	Platea	001	850.00	1312.04	1700.00	1352027.00	4	1
Platea n. 467	Platea	001	925.00	1275.82	1850.00	1278404.00	4	1
Platea n. 468	Platea	001	1000.00	1236.76	2000.00	1201325.00	4	1

EVO S.r.l.						CODE CODICE		
						C23EOSW002S001R00		
						PAGE		
						79 di/of 219		
Platea n. 469	Platea	001	1075.00	1198.26	2150.00	1127702.00	4	1
Platea n. 470	Platea	001	1150.00	1157.86	2300.00	1052929.00	4	1
Platea n. 471	Platea	001	1225.00	1115.99	2450.00	978153.70	4	1
Platea n. 472	Platea	001	1300.00	1072.48	2600.00	903379.30	4	1
Platea n. 473	Platea	001	1375.00	1027.14	2750.00	828605.30	4	1
Platea n. 474	Platea	001	1450.00	979.70	2900.00	753830.60	4	1
Platea n. 475	Platea	001	1525.00	929.84	3050.00	679056.30	4	1
Platea n. 476	Platea	001	1600.00	877.15	3200.00	604281.80	4	1
Platea n. 477	Platea	001	1675.00	821.09	3350.00	529507.60	4	1
Platea n. 478	Platea	001	1750.00	760.91	3500.00	454732.90	4	1
Platea n. 479	Platea	001	2175.00	607.52	4350.00	289877.30	4	1
Platea n. 480	Platea	001	2175.00	622.26	4350.00	304112.40	4	1
Platea n. 481	Platea	001	2175.00	552.11	4350.00	239407.60	4	1
Platea n. 482	Platea	001	2175.00	471.63	4350.00	174702.90	4	1
Platea n. 483	Platea	001	2175.00	374.24	4350.00	109998.10	4	1
Platea n. 484	Platea	001	2175.00	243.55	4350.00	46587.43	3	1
Platea n. 485	Platea	001	625.00	1416.71	1250.00	1576350.00	4	1
Platea n. 486	Platea	001	700.00	1382.70	1400.00	1501575.00	4	1
Platea n. 487	Platea	001	775.00	1347.84	1550.00	1426800.00	4	1
Platea n. 488	Platea	001	850.00	1312.04	1700.00	1352027.00	4	1
Platea n. 489	Platea	001	925.00	1275.82	1850.00	1278404.00	4	1
Platea n. 490	Platea	001	1000.00	1236.76	2000.00	1201325.00	4	1
Platea n. 491	Platea	001	1075.00	1198.26	2150.00	1127702.00	4	1
Platea n. 492	Platea	001	1150.00	1157.86	2300.00	1052929.00	4	1
Platea n. 493	Platea	001	1225.00	1115.99	2450.00	978153.70	4	1
Platea n. 494	Platea	001	1300.00	1072.48	2600.00	903379.30	4	1
Platea n. 495	Platea	001	1375.00	1027.14	2750.00	828605.30	4	1
Platea n. 496	Platea	001	1450.00	979.70	2900.00	753830.60	4	1
Platea n. 497	Platea	001	1525.00	929.84	3050.00	679056.30	4	1
Platea n. 498	Platea	001	1600.00	877.15	3200.00	604281.80	4	1
Platea n. 499	Platea	001	1675.00	821.09	3350.00	529507.60	4	1
Platea n. 500	Platea	001	1750.00	760.91	3500.00	454732.90	4	1
Platea n. 501	Platea	001	2175.00	607.52	4350.00	289877.30	4	1
Platea n. 502	Platea	001	2175.00	622.26	4350.00	304112.40	4	1

EVO S.r.l.				 CODE CODICE C23EOSW002S001R00				
Platea n. 503	Platea	001	2175.00	552.11	4350.00	239407.60	4	1
Platea n. 504	Platea	001	2175.00	471.63	4350.00	174702.90	4	1
Platea n. 505	Platea	001	2175.00	374.24	4350.00	109998.10	4	1
Platea n. 506	Platea	001	2175.00	243.55	4350.00	46587.43	3	1
Platea n. 507	Platea	001	625.00	1416.71	1250.00	1576351.00	4	1
Platea n. 508	Platea	001	700.00	1382.70	1400.00	1501575.00	4	1
Platea n. 509	Platea	001	775.00	1347.84	1550.00	1426800.00	4	1
Platea n. 510	Platea	001	850.00	1312.04	1700.00	1352027.00	4	1
Platea n. 511	Platea	001	925.00	1275.82	1850.00	1278406.00	4	1
Platea n. 512	Platea	001	1000.00	1236.76	2000.00	1201324.00	4	1
Platea n. 513	Platea	001	1075.00	1198.26	2150.00	1127703.00	4	1
Platea n. 514	Platea	001	1150.00	1157.86	2300.00	1052929.00	4	1
Platea n. 515	Platea	001	1225.00	1115.99	2450.00	978154.20	4	1
Platea n. 516	Platea	001	1300.00	1072.48	2600.00	903379.30	4	1
Platea n. 517	Platea	001	1375.00	1027.14	2750.00	828605.30	4	1
Platea n. 518	Platea	001	1450.00	979.70	2900.00	753830.50	4	1
Platea n. 519	Platea	001	1525.00	929.84	3050.00	679056.30	4	1
Platea n. 520	Platea	001	1600.00	877.15	3200.00	604281.80	4	1
Platea n. 521	Platea	001	1675.00	821.09	3350.00	529507.50	4	1
Platea n. 522	Platea	001	1750.00	760.91	3500.00	454732.90	4	1
Platea n. 523	Platea	001	2175.00	607.52	4350.00	289877.30	4	1
Platea n. 524	Platea	001	2175.00	622.26	4350.00	304112.40	4	1
Platea n. 525	Platea	001	2175.00	552.11	4350.00	239407.60	4	1
Platea n. 526	Platea	001	2175.00	471.63	4350.00	174702.80	4	1
Platea n. 527	Platea	001	2175.00	374.24	4350.00	109998.10	4	1
Platea n. 528	Platea	001	2175.00	243.55	4350.00	46587.43	3	1
Elemento	Tipologia	Id.Strat.		Prof. Fon.	Base Eq.	Spessore	Lung. Eq.	Lung. Travata Eq.
n.		mm	mm	mm	mm	mm		
Macro n. 1	Macro-Platea	001		625.00	16354.48	1250.00	16354.48	16354.48

EVO S.r.l.	 WE ENGINEERING	CODE CODICE C23EOSW002S001R00
		PAGE 81 di/of 219

11. DATI DI CARICO DEGLI ELEMENTI COSTITUENTI LE FONDAZIONI SUPERFICIALI

11.1. LEGENDA TABELLA CARICHI DEGLI ELEMENTI

Elemento: Platea macro n. 1

EVO S.r.l.	 WE ENGINEERING	CODE CODICE C23EOSW002S001R00
		PAGE 85 di/of 219

12. VALORI DI CALCOLO DELLA PORTANZA PER FONDAZIONI SUPERFICIALI

12.1. LEGENDA TABELLA DATI MATERIALI

I coeff. A1 risultano combinati secondo lo schema presente nella relazione di calcolo della struttura. Le azioni trasmesse in fondazione, relative alle combinazioni di tipo sismico, non saranno amplificate in quanto determinate ipotizzando un comportamento non dissipativo.

La verifica nei confronti dello Stato Limite di Danno viene eseguita determinando il carico limite della fondazione per le corrispondenti azioni di SLD, impiegando i coefficienti parziali gammaR di cui alla tabella 7.11.II.

Macro platea: 1

Cmb.	QmaxQlim	Qmax/Qlim		TL	TLlim	TL/TLlim	TB	TBlim	TB/TBlim	Stato
n.	N/mm ² N/mm ²	daN N			N N					
1	0.45389100	0.53489730	0.849	0.4	24990080.0	0.000	8059598.0	24990080.0	0.323	Ok
2	0.42956000	0.53489730	0.803	0.6	19672030.0	0.000	8044216.0	19672030.0	0.409	Ok
3	0.16659530	0.53489730	0.311	424752.5	19673280.0	0.022	1471726.0	19673280.0	0.075	Ok
4	0.16659530	0.53489730	0.311	428115.1	19673280.0	0.022	1471726.0	19673280.0	0.075	Ok
5	0.16625350	0.53489730	0.311	428114.7	19670820.0	0.022	1369163.0	19670820.0	0.070	Ok
6	0.16625350	0.53489730	0.311	424752.8	19670820.0	0.022	1369162.0	19670820.0	0.070	Ok
7	0.16659530	0.53489730	0.311	425799.1	19673270.0	0.022	1471727.0	19673270.0	0.075	Ok
8	0.16659530	0.53489730	0.311	429161.3	19673260.0	0.022	1471726.0	19673260.0	0.075	Ok
9	0.16625350	0.53489730	0.311	429161.3	19670820.0	0.022	1369163.0	19670820.0	0.070	Ok
10	0.16625350	0.53489730	0.311	425799.4	19670820.0	0.022	1369163.0	19670820.0	0.070	Ok
11	0.16659530	0.53489730	0.311	428114.6	19673270.0	0.022	1471727.0	19673270.0	0.075	Ok

EVO S.r.l.				CODE CODICE	
				C23EOSW002S001R00	
		PAGE		88 di/df 219	
52	0.16646350	0.53489730	0.311	1084700.0	19672340.0
	Ok				
53	0.16638530	0.53489730	0.311	1084701.0	19671760.0
	Ok				
54	0.16638530	0.53489730	0.311	1083800.0	19671760.0
	Ok				
55	0.16646350	0.53489730	0.311	1084700.0	19672330.0
	Ok				
56	0.16646350	0.53489730	0.311	1083800.0	19672330.0
	Ok				
57	0.16638530	0.53489730	0.311	1083800.0	19671750.0
	Ok				
58	0.16638530	0.53489730	0.311	1084700.0	19671750.0
	Ok				
59	0.16646350	0.53489730	0.311	1088718.0	19672330.0
	Ok				
60	0.16646350	0.53489730	0.311	1089618.0	19672320.0
	Ok				
61	0.16638530	0.53489730	0.311	1089618.0	19671750.0
	Ok				
62	0.16638530	0.53489730	0.311	1088718.0	19671760.0
	Ok				
63	0.16646350	0.53489730	0.311	1089618.0	19672330.0
	Ok				
64	0.16646350	0.53489730	0.311	1088718.0	19672340.0
	Ok				
65	0.16638530	0.53489730	0.311	1088718.0	19671760.0
	Ok				
66	0.16638530	0.53489730	0.311	1089618.0	19671760.0
	Ok				

$$\text{Sgm. Lt (tens. litostatica)} = -0.01375000 \text{ N/mm}^2$$

$$Qlim = Qlim\ c + Qlim\ q + Qlim\ g + Qres\ P = 0.06222439 + 0.04261988 + 0.43005300 + 0.00000000$$

$Q_{\max} / Q_{\lim} = 0.16659530 / 0.53489730 = 0,311$ Ok (Cmb. n. 003)

TB / TBlim = 1471727.0 / 19673270.0 = 0,075 Ok (Cmb. n. 015)

TL / TLLim = 1425439.0 / 19671670.0 = 0,072 Ok (Cmb. n. 034)

Risultati più gravosi per cmb. di tipo **SLD sism.**:

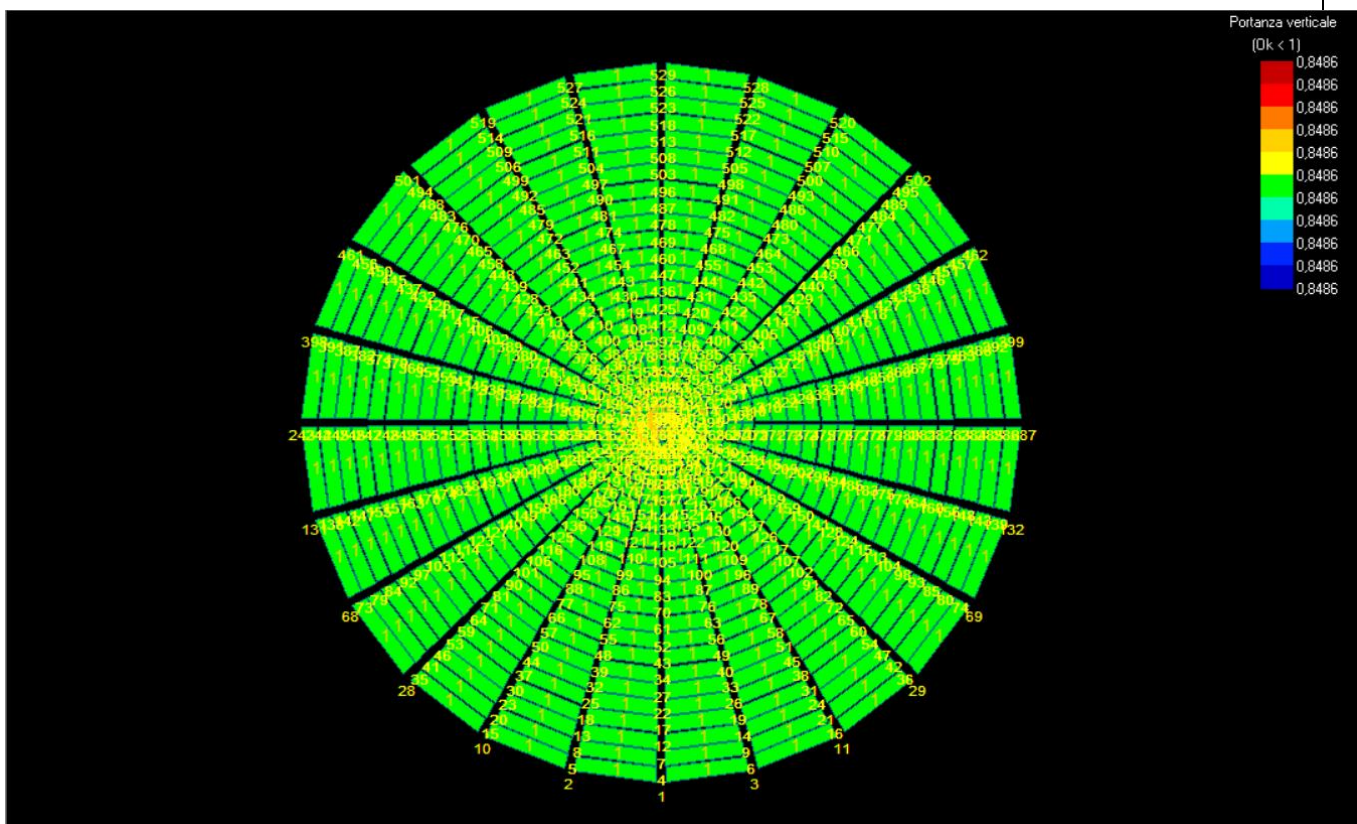
$$\text{Sgm. Lt (tens. litostatica)} = -0.01375000 \text{ N/mm}^2$$

$$Qlim = Qlim\ c + Qlim\ q + Qlim\ g + Qres\ P = 0.06222439 + 0.04261988 + 0.43005300 + 0.00000000$$

$Q_{\max} / Q_{\lim} = 0.16655470 / 0.53489730 = 0,311$ Ok (Cmb. n. 035)

TB / TBlim = 1133936.0 / 19672990.0 = 0,058 Ok (Cmb. n. 035)

TL / TLLim = 1089618.0 / 19671750.0 = 0,055 Ok (Cmb. n. 061)



EVO S.r.l.	 WE ENGINEERING	CODE CODICE
		C23EOSW002S001R00
		PAGE 90 di/of 219

13. VALORI DI CALCOLO DELLO SCORRIMENTO

13.1. SCORRIMENTO LONGITUDINALE

13.1.1. LEGENDA TABELLA VERIFICHE ELEMENTI

Cmb. Tipo	TL (N)	TLLim (N)	TL/TLLim (ok<1)	Stato
001 SLU STR	0.4	24990080.0	0.000	Ok
002 SLU STR	0.6	19672030.0	0.000	Ok
003 SLV A1 sism.	424752.5	19673280.0	0.022	Ok
004 SLV A1 sism.	428115.1	19673280.0	0.022	Ok
005 SLV A1 sism.	428114.7	19670820.0	0.022	Ok
006 SLV A1 sism.	424752.8	19670820.0	0.022	Ok
007 SLV A1 sism.	425799.1	19673270.0	0.022	Ok
008 SLV A1 sism.	429161.3	19673260.0	0.022	Ok
009 SLV A1 sism.	429161.3	19670820.0	0.022	Ok
010 SLV A1 sism.	425799.4	19670820.0	0.022	Ok
011 SLV A1 sism.	428114.6	19673270.0	0.022	Ok
012 SLV A1 sism.	424752.7	19673270.0	0.022	Ok
013 SLV A1 sism.	424753.1	19670810.0	0.022	Ok
014 SLV A1 sism.	428114.8	19670810.0	0.022	Ok
015 SLV A1 sism.	429161.3	19673270.0	0.022	Ok
016 SLV A1 sism.	425799.3	19673270.0	0.022	Ok
017 SLV A1 sism.	425799.3	19670830.0	0.022	Ok
018 SLV A1 sism.	429161.5	19670820.0	0.022	Ok
019 SLV A1 sism.	1420941.0	19672420.0	0.072	Ok
020 SLV A1 sism.	1421950.0	19672410.0	0.072	Ok
021 SLV A1 sism.	1421950.0	19671680.0	0.072	Ok
022 SLV A1 sism.	1420942.0	19671670.0	0.072	Ok
023 SLV A1 sism.	1421950.0	19672410.0	0.072	Ok
024 SLV A1 sism.	1420942.0	19672420.0	0.072	Ok
025 SLV A1 sism.	1420941.0	19671680.0	0.072	Ok
026 SLV A1 sism.	1421951.0	19671670.0	0.072	Ok
027 SLV A1 sism.	1424430.0	19672420.0	0.072	Ok
028 SLV A1 sism.	1425439.0	19672410.0	0.072	Ok
029 SLV A1 sism.	1425438.0	19671680.0	0.072	Ok
030 SLV A1 sism.	1424431.0	19671680.0	0.072	Ok
031 SLV A1 sism.	1425439.0	19672400.0	0.072	Ok
032 SLV A1 sism.	1424430.0	19672410.0	0.072	Ok
033 SLV A1 sism.	1424431.0	19671670.0	0.072	Ok
034 SLV A1 sism.	1425439.0	19671670.0	0.072	Ok

EVO S.r.l.	 WE ENGINEERING	CODE CODICE
		C23EOSW002S001R00
		PAGE
		91 di/of 219

035 SLD sism.	323774.5	19672990.0	0.016	Ok
036 SLD sism.	326775.6	19673000.0	0.017	Ok
037 SLD sism.	326775.6	19671090.0	0.017	Ok
038 SLD sism.	323774.6	19671080.0	0.016	Ok
039 SLD sism.	325249.8	19673000.0	0.017	Ok
040 SLD sism.	328250.9	19672990.0	0.017	Ok
041 SLD sism.	328250.7	19671090.0	0.017	Ok
042 SLD sism.	325249.8	19671090.0	0.017	Ok
043 SLD sism.	326775.5	19672990.0	0.017	Ok
044 SLD sism.	323774.6	19673000.0	0.016	Ok
045 SLD sism.	323774.7	19671100.0	0.016	Ok
046 SLD sism.	326775.6	19671090.0	0.017	Ok
047 SLD sism.	328250.9	19673000.0	0.017	Ok
048 SLD sism.	325249.9	19673000.0	0.017	Ok
049 SLD sism.	325249.7	19671090.0	0.017	Ok
050 SLD sism.	328251.0	19671100.0	0.017	Ok
051 SLD sism.	1083800.0	19672330.0	0.055	Ok
052 SLD sism.	1084700.0	19672340.0	0.055	Ok
053 SLD sism.	1084701.0	19671760.0	0.055	Ok
054 SLD sism.	1083800.0	19671760.0	0.055	Ok
055 SLD sism.	1084700.0	19672330.0	0.055	Ok
056 SLD sism.	1083800.0	19672330.0	0.055	Ok
057 SLD sism.	1083800.0	19671750.0	0.055	Ok
058 SLD sism.	1084700.0	19671750.0	0.055	Ok
059 SLD sism.	1088718.0	19672330.0	0.055	Ok
060 SLD sism.	1089618.0	19672320.0	0.055	Ok
061 SLD sism.	1089618.0	19671750.0	0.055	Ok
062 SLD sism.	1088718.0	19671760.0	0.055	Ok
063 SLD sism.	1089618.0	19672330.0	0.055	Ok
064 SLD sism.	1088718.0	19672340.0	0.055	Ok
065 SLD sism.	1088718.0	19671760.0	0.055	Ok
066 SLD sism.	1089618.0	19671760.0	0.055	Ok

13.2. SCORRIMENTO TRASVERSALE

13.2.1. LEGENDA TABELLA VERIFICHE ELEMENTI

Cmb.	Tipo	TB (N)	TBlim (N)	TB/TBlim (ok<1)	Stato
001 SLU STR		8059598.0	24990080.0	0.323	Ok
002 SLU STR		8044216.0	19672030.0	0.409	Ok
003 SLV A1 sism.		1471726.0	19673280.0	0.075	Ok

EVO S.r.l.	 WE ENGINEERING	CODE CODICE C23EOSW002S001R00		
		PAGE 92 di/of 219		
004 SLV A1 sism.	1471726.0	19673280.0	0.075	Ok
005 SLV A1 sism.	1369163.0	19670820.0	0.070	Ok
006 SLV A1 sism.	1369162.0	19670820.0	0.070	Ok
007 SLV A1 sism.	1471727.0	19673270.0	0.075	Ok
008 SLV A1 sism.	1471726.0	19673260.0	0.075	Ok
009 SLV A1 sism.	1369163.0	19670820.0	0.070	Ok
010 SLV A1 sism.	1369163.0	19670820.0	0.070	Ok
011 SLV A1 sism.	1471727.0	19673270.0	0.075	Ok
012 SLV A1 sism.	1471726.0	19673270.0	0.075	Ok
013 SLV A1 sism.	1369163.0	19670810.0	0.070	Ok
014 SLV A1 sism.	1369162.0	19670810.0	0.070	Ok
015 SLV A1 sism.	1471727.0	19673270.0	0.075	Ok
016 SLV A1 sism.	1471726.0	19673270.0	0.075	Ok
017 SLV A1 sism.	1369163.0	19670830.0	0.070	Ok
018 SLV A1 sism.	1369162.0	19670820.0	0.070	Ok
019 SLV A1 sism.	477415.0	19672420.0	0.024	Ok
020 SLV A1 sism.	477414.8	19672410.0	0.024	Ok
021 SLV A1 sism.	374851.7	19671680.0	0.019	Ok
022 SLV A1 sism.	374851.8	19671670.0	0.019	Ok
023 SLV A1 sism.	477415.0	19672410.0	0.024	Ok
024 SLV A1 sism.	477414.9	19672420.0	0.024	Ok
025 SLV A1 sism.	374851.8	19671680.0	0.019	Ok
026 SLV A1 sism.	374852.0	19671670.0	0.019	Ok
027 SLV A1 sism.	477414.9	19672420.0	0.024	Ok
028 SLV A1 sism.	477415.3	19672410.0	0.024	Ok
029 SLV A1 sism.	374851.7	19671680.0	0.019	Ok
030 SLV A1 sism.	374851.5	19671680.0	0.019	Ok
031 SLV A1 sism.	477415.0	19672400.0	0.024	Ok
032 SLV A1 sism.	477415.0	19672410.0	0.024	Ok
033 SLV A1 sism.	374851.8	19671670.0	0.019	Ok
034 SLV A1 sism.	374851.7	19671670.0	0.019	Ok
035 SLD sism.	1133936.0	19672990.0	0.058	Ok
036 SLD sism.	1133935.0	19673000.0	0.058	Ok
037 SLD sism.	1031372.0	19671090.0	0.052	Ok
038 SLD sism.	1031373.0	19671080.0	0.052	Ok
039 SLD sism.	1133936.0	19673000.0	0.058	Ok
040 SLD sism.	1133935.0	19672990.0	0.058	Ok
041 SLD sism.	1031372.0	19671090.0	0.052	Ok
042 SLD sism.	1031372.0	19671090.0	0.052	Ok
043 SLD sism.	1133935.0	19672990.0	0.058	Ok
044 SLD sism.	1133935.0	19673000.0	0.058	Ok
045 SLD sism.	1031372.0	19671100.0	0.052	Ok
046 SLD sism.	1031373.0	19671090.0	0.052	Ok

EVO S.r.l.	 <small>WE ENGINEERING</small>	CODE CODICE C23EOSW002S001R00		
		PAGE 93 di/of 219		
047 SLD sism.	1133935.0	19673000.0	0.058	Ok
048 SLD sism.	1133935.0	19673000.0	0.058	Ok
049 SLD sism.	1031372.0	19671090.0	0.052	Ok
050 SLD sism.	1031372.0	19671100.0	0.052	Ok
051 SLD sism.	376077.8	19672330.0	0.019	Ok
052 SLD sism.	376078.0	19672340.0	0.019	Ok
053 SLD sism.	273514.4	19671760.0	0.014	Ok
054 SLD sism.	273514.6	19671760.0	0.014	Ok
055 SLD sism.	376077.7	19672330.0	0.019	Ok
056 SLD sism.	376077.7	19672330.0	0.019	Ok
057 SLD sism.	273514.4	19671750.0	0.014	Ok
058 SLD sism.	273514.4	19671750.0	0.014	Ok
059 SLD sism.	376077.6	19672330.0	0.019	Ok
060 SLD sism.	376077.6	19672320.0	0.019	Ok
061 SLD sism.	273514.6	19671750.0	0.014	Ok
062 SLD sism.	273514.5	19671760.0	0.014	Ok
063 SLD sism.	376077.7	19672330.0	0.019	Ok
064 SLD sism.	376077.8	19672340.0	0.019	Ok
065 SLD sism.	273514.6	19671760.0	0.014	Ok
066 SLD sism.	273514.4	19671760.0	0.014	Ok

EVO S.r.l.



CODE CODICE

C23EOSW002S001R00

PAGE

94 di/of 219

14. VALORI DI CALCOLO DEI CEDIMENTI PER FONDAZIONI SUPERFICIALI

14.1. LEGENDA TABELLA VERIFICHE ELEMENTI

Elemento Platea n. 1

Cmb.	Tipo	Car. Netto	Prof.	Sigm.Z/Sigm.Lit.	Cedim.Edom.
n.	N/mm ²	mm %	mm		
67	SLE rare	-0.08192448	500.0	38.506	-2.61
68	SLE freq	-0.08192716	500.0	37.220	-2.58
69	SLE q.p.	-0.08550530	500.0	38.623	-2.69

Cedimento massimo in cmb n. 69 = -2.69 mm

Elemento Platea n. 2

Cmb.	Tipo	Car. Netto	Prof.	Sigm.Z/Sigm.Lit.	Cedim.Edom.
n.	N/mm ²	mm %	mm		
67	SLE rare	-0.08236607	500.0	44.694	-3.04
68	SLE freq	-0.08236872	500.0	43.218	-3.01
69	SLE q.p.	-0.08588561	500.0	44.830	-3.14

Cedimento massimo in cmb n. 69 = -3.14 mm

Elemento Platea n. 3

Cmb.	Tipo	Car. Netto	Prof.	Sigm.Z/Sigm.Lit.	Cedim.Edom.
n.	N/mm ²	mm %	mm		
67	SLE rare	-0.08288061	500.0	50.609	-3.31
68	SLE freq	-0.08288326	500.0	48.934	-3.28
69	SLE q.p.	-0.08633608	500.0	50.730	-3.41

Cedimento massimo in cmb n. 69 = -3.41 mm

Elemento Platea n. 4

Cmb.	Tipo	Car. Netto	Prof.	Sigm.Z/Sigm.Lit.	Cedim.Edom.
n.	N/mm ²	mm %	mm		
67	SLE rare	-0.08347305	500.0	56.058	-3.49
68	SLE freq	-0.08347567	500.0	54.175	-3.45

EVO S.r.l.	 WE ENGINEERING	CODE CODICE
		C23EOSW002S001R00
		PAGE
		95 di/of 219

69	SLE q.p.	-0.08686052	500.0	56.124	-3.59
----	----------	-------------	-------	--------	-------

Cedimento massimo in cmb n. 69 = -3.59 mm

Elemento Platea n. 5

Cmb.	Tipo	Car. Netto	Prof.	Sigm.Z/Sigm.Lit.	Cedim.Edom.
n.	N/mm ²	mm %	mm		
67	SLE rare	-0.08414735	500.0	60.955	-3.60
68	SLE freq	-0.08414996	500.0	58.861	-3.57
69	SLE q.p.	-0.08746161	500.0	60.926	-3.70

Cedimento massimo in cmb n. 69 = -3.70 mm

Elemento Platea n. 6

Cmb.	Tipo	Car. Netto	Prof.	Sigm.Z/Sigm.Lit.	Cedim.Edom.
n.	N/mm ²	mm %	mm		
67	SLE rare	-0.08490393	500.0	65.286	-3.68
68	SLE freq	-0.08490654	500.0	62.981	-3.64
69	SLE q.p.	-0.08813909	500.0	65.126	-3.77

Cedimento massimo in cmb n. 69 = -3.77 mm

Elemento Platea n. 7

Cmb.	Tipo	Car. Netto	Prof.	Sigm.Z/Sigm.Lit.	Cedim.Edom.
n.	N/mm ²	mm %	mm		
67	SLE rare	-0.08574728	500.0	69.120	-3.72
68	SLE freq	-0.08574989	500.0	66.605	-3.68
69	SLE q.p.	-0.08889589	500.0	68.796	-3.81

Cedimento massimo in cmb n. 69 = -3.81 mm

Elemento Platea n. 8

Cmb.	Tipo	Car. Netto	Prof.	Sigm.Z/Sigm.Lit.	Cedim.Edom.
n.	N/mm ²	mm %	mm		
67	SLE rare	-0.08668233	500.0	72.537	-3.75
68	SLE freq	-0.08668494	500.0	69.814	-3.71
69	SLE q.p.	-0.08973604	500.0	72.019	-3.83

Cedimento massimo in cmb n. 69 = -3.83 mm

EVO S.r.l.		CODE CODICE
		C23EOSW002S001R00
PAGE		96 di/of 219

Elemento Platea n. 9

Cmb.	Tipo	Car. Netto	Prof.	Sigm.Z/Sigm.Lit.	Cedim.Edom.
n.	N/mm ²	mm %	mm		
67	SLE rare	-0.08771224	500.0	75.628	-3.77
68	SLE freq	-0.08771487	500.0	72.700	-3.72
69	SLE q.p.	-0.09066168	500.0	74.891	-3.84

Cedimento massimo in cmb n. 69 = -3.84 mm

Elemento Platea n. 10

Cmb.	Tipo	Car. Netto	Prof.	Sigm.Z/Sigm.Lit.	Cedim.Edom.
n.	N/mm ²	mm %	mm		
67	SLE rare	-0.08884261	500.0	78.492	-3.78
68	SLE freq	-0.08884527	500.0	75.361	-3.73
69	SLE q.p.	-0.09167743	500.0	77.513	-3.84

Cedimento massimo in cmb n. 69 = -3.84 mm

Elemento Platea n. 11

Cmb.	Tipo	Car. Netto	Prof.	Sigm.Z/Sigm.Lit.	Cedim.Edom.
n.	N/mm ²	mm %	mm		
67	SLE rare	-0.09007809	500.0	81.230	-3.78
68	SLE freq	-0.09008078	500.0	77.899	-3.73
69	SLE q.p.	-0.09278698	500.0	79.989	-3.84

Cedimento massimo in cmb n. 69 = -3.84 mm

Elemento Platea n. 12

Cmb.	Tipo	Car. Netto	Prof.	Sigm.Z/Sigm.Lit.	Cedim.Edom.
n.	N/mm ²	mm %	mm		
67	SLE rare	-0.09142338	500.0	83.971	-3.78
68	SLE freq	-0.09142611	500.0	80.442	-3.73
69	SLE q.p.	-0.09399410	500.0	82.449	-3.83

Cedimento massimo in cmb n. 69 = -3.83 mm

Elemento Platea n. 13

EVO S.r.l.	 WE ENGINEERING	CODE CODICE	
		C23EOSW002S001R00	
		PAGE	
97 di/of 219			

Cmb.	Tipo	Car. Netto	Prof.	Sigm.Z/Sigm.Lit.	Cedim.Edom.
n.	N/mm ²	mm %	mm		
67	SLE rare	-0.09288422	500.0	86.880	-3.78
68	SLE freq	-0.09288704	500.0	83.158	-3.72
69	SLE q.p.	-0.09530365	500.0	85.065	-3.82

Cedimento massimo in cmb n. 69 = -3.82 mm

Elemento Platea n. 14

Cmb.	Tipo	Car. Netto	Prof.	Sigm.Z/Sigm.Lit.	Cedim.Edom.
n.	N/mm ²	mm %	mm		
67	SLE rare	-0.09446477	500.0	90.149	-3.78
68	SLE freq	-0.09446764	500.0	86.242	-3.72
69	SLE q.p.	-0.09671896	500.0	88.032	-3.81

Cedimento massimo in cmb n. 69 = -3.81 mm

Elemento Platea n. 15

Cmb.	Tipo	Car. Netto	Prof.	Sigm.Z/Sigm.Lit.	Cedim.Edom.
n.	N/mm ²	mm %	mm		
67	SLE rare	-0.09617545	500.0	93.590	-3.79
68	SLE freq	-0.09617847	500.0	89.508	-3.73
69	SLE q.p.	-0.09824997	500.0	91.159	-3.80

Cedimento massimo in cmb n. 69 = -3.80 mm

Elemento Platea n. 16

Cmb.	Tipo	Car. Netto	Prof.	Sigm.Z/Sigm.Lit.	Cedim.Edom.
n.	N/mm ²	mm %	mm		
67	SLE rare	-0.09802704	500.0	97.312	-3.90
68	SLE freq	-0.09803016	500.0	93.068	-3.83
69	SLE q.p.	-0.09990883	500.0	94.558	-3.90

Cedimento massimo in cmb n. 69 = -3.90 mm

Elemento Platea n. 17

Cmb.	Tipo	Car. Netto	Prof.	Sigm.Z/Sigm.Lit.	Cedim.Edom.
n.	N/mm ²	mm %	mm		

EVO S.r.l.	 WE ENGINEERING	CODE CODICE	
		C23EOSW002S001R00	
		PAGE	
98 di/of 219			

67	SLE rare	-0.11044600	500.0	99.982	-3.87
68	SLE freq	-0.11044970	500.0	95.628	-3.81
69	SLE q.p.	-0.11244010	500.0	96.979	-3.87

Cedimento massimo in cmb n. 67 = -3.87 mm

Elemento Platea n. 18

Cmb.	Tipo	Car. Netto	Prof.	Sigm.Z/Sigm.Lit.	Cedim.Edom.
n.	N/mm ²	mm %	mm		
67	SLE rare	-0.11046920	500.0	102.962	-3.92
68	SLE freq	-0.11047300	500.0	98.485	-3.85
69	SLE q.p.	-0.11206670	500.0	99.633	-3.90

Cedimento massimo in cmb n. 67 = -3.92 mm

Elemento Platea n. 19

Cmb.	Tipo	Car. Netto	Prof.	Sigm.Z/Sigm.Lit.	Cedim.Edom.
n.	N/mm ²	mm %	mm		
67	SLE rare	-0.11046920	500.0	102.962	-3.92
68	SLE freq	-0.11047300	500.0	98.485	-3.85
69	SLE q.p.	-0.11206670	500.0	99.633	-3.90

Cedimento massimo in cmb n. 67 = -3.92 mm

Elemento Platea n. 20

Cmb.	Tipo	Car. Netto	Prof.	Sigm.Z/Sigm.Lit.	Cedim.Edom.
n.	N/mm ²	mm %	mm		
67	SLE rare	-0.11053000	500.0	105.158	-3.91
68	SLE freq	-0.11053390	500.0	100.578	-3.84
69	SLE q.p.	-0.11175410	500.0	101.488	-3.88

Cedimento massimo in cmb n. 67 = -3.91 mm

Elemento Platea n. 21

Cmb.	Tipo	Car. Netto	Prof.	Sigm.Z/Sigm.Lit.	Cedim.Edom.
n.	N/mm ²	mm %	mm		
67	SLE rare	-0.11057570	500.0	106.703	-3.90
68	SLE freq	-0.11057990	500.0	102.045	-3.83

EVO S.r.l.	 WE ENGINEERING	CODE CODICE	
		C23EOSW002S001R00	
		PAGE	
99 di/of 219			

69	SLE q.p.	-0.11142260	500.0	102.691	-3.85
----	----------	-------------	-------	---------	-------

Cedimento massimo in cmb n. 67 = -3.90 mm

Elemento Platea n. 22

Cmb.	Tipo	Car. Netto	Prof.	Sigm.Z/Sigm.Lit.	Cedim.Edom.
n.	N/mm ²	mm %	mm		
67	SLE rare	-0.11061050	500.0	107.490	-3.89
68	SLE freq	-0.11061570	500.0	102.782	-3.81
69	SLE q.p.	-0.11106970	500.0	103.140	-3.83

Cedimento massimo in cmb n. 67 = -3.89 mm

Elemento Platea n. 23

Cmb.	Tipo	Car. Netto	Prof.	Sigm.Z/Sigm.Lit.	Cedim.Edom.
n.	N/mm ²	mm %	mm		
67	SLE rare	-0.13635710	500.0	59.034	-4.23
68	SLE freq	-0.08995027	500.0	40.361	-2.83
69	SLE q.p.	-0.08192782	500.0	37.220	-2.58

Cedimento massimo in cmb n. 67 = -4.23 mm

Elemento Platea n. 24

Cmb.	Tipo	Car. Netto	Prof.	Sigm.Z/Sigm.Lit.	Cedim.Edom.
n.	N/mm ²	mm %	mm		
67	SLE rare	-0.13583530	500.0	68.253	-4.90
68	SLE freq	-0.09024821	500.0	46.823	-3.29
69	SLE q.p.	-0.08236940	500.0	43.219	-3.01

Cedimento massimo in cmb n. 67 = -4.90 mm

Elemento Platea n. 25

Cmb.	Tipo	Car. Netto	Prof.	Sigm.Z/Sigm.Lit.	Cedim.Edom.
n.	N/mm ²	mm %	mm		
67	SLE rare	-0.13534500	500.0	76.847	-5.30
68	SLE freq	-0.09061305	500.0	52.950	-3.58
69	SLE q.p.	-0.08288392	500.0	48.934	-3.28

Cedimento massimo in cmb n. 67 = -5.30 mm

EVO S.r.l.		CODE CODICE
		C23EOSW002S001R00
PAGE		100 di/of 219

Elemento Platea n. 26

Cmb.	Tipo	Car. Netto	Prof.	Sigm.Z/Sigm.Lit.	Cedim.Edom.
n.	N/mm ²	mm %	mm		
67	SLE rare	-0.13487400	500.0	84.491	-5.53
68	SLE freq	-0.09104716	500.0	58.532	-3.76
69	SLE q.p.	-0.08347636	500.0	54.176	-3.45

Cedimento massimo in cmb n. 67 = -5.53 mm

Elemento Platea n. 27

Cmb.	Tipo	Car. Netto	Prof.	Sigm.Z/Sigm.Lit.	Cedim.Edom.
n.	N/mm ²	mm %	mm		
67	SLE rare	-0.13440690	500.0	91.042	-5.65
68	SLE freq	-0.09155177	500.0	63.476	-3.87
69	SLE q.p.	-0.08415063	500.0	58.862	-3.57

Cedimento massimo in cmb n. 67 = -5.65 mm

Elemento Platea n. 28

Cmb.	Tipo	Car. Netto	Prof.	Sigm.Z/Sigm.Lit.	Cedim.Edom.
n.	N/mm ²	mm %	mm		
67	SLE rare	-0.13393340	500.0	96.481	-5.70
68	SLE freq	-0.09212565	500.0	67.773	-3.94
69	SLE q.p.	-0.08490719	500.0	62.982	-3.64

Cedimento massimo in cmb n. 67 = -5.70 mm

Elemento Platea n. 29

Cmb.	Tipo	Car. Netto	Prof.	Sigm.Z/Sigm.Lit.	Cedim.Edom.
n.	N/mm ²	mm %	mm		
67	SLE rare	-0.13343540	500.0	100.914	-5.69
68	SLE freq	-0.09277002	500.0	71.497	-3.97
69	SLE q.p.	-0.08575054	500.0	66.606	-3.68

Cedimento massimo in cmb n. 67 = -5.69 mm

Elemento Platea n. 30

EVO S.r.l.	 WE ENGINEERING	CODE CODICE	
		C23EOSW002S001R00	
		PAGE	
101 di/of 219			

Cmb.	Tipo	Car. Netto	Prof.	Sigm.Z/Sigm.Lit.	Cedim.Edom.
n.	N/mm ²	mm %	mm		
67	SLE rare	-0.13509690	500.0	100.914	-5.67
68	SLE freq	-0.09348784	500.0	74.735	-3.99
69	SLE q.p.	-0.08668561	500.0	69.814	-3.71

Cedimento massimo in cmb n. 67 = -5.67 mm

Elemento Platea n. 31

Cmb.	Tipo	Car. Netto	Prof.	Sigm.Z/Sigm.Lit.	Cedim.Edom.
n.	N/mm ²	mm %	mm		
67	SLE rare	-0.13464270	500.0	104.468	-5.63
68	SLE freq	-0.09428004	500.0	77.588	-3.99
69	SLE q.p.	-0.08771552	500.0	72.701	-3.72

Cedimento massimo in cmb n. 67 = -5.63 mm

Elemento Platea n. 32

Cmb.	Tipo	Car. Netto	Prof.	Sigm.Z/Sigm.Lit.	Cedim.Edom.
n.	N/mm ²	mm %	mm		
67	SLE rare	-0.13414620	500.0	107.286	-5.56
68	SLE freq	-0.09515019	500.0	80.159	-3.99
69	SLE q.p.	-0.08884593	500.0	75.361	-3.73

Cedimento massimo in cmb n. 67 = -5.56 mm

Elemento Platea n. 33

Cmb.	Tipo	Car. Netto	Prof.	Sigm.Z/Sigm.Lit.	Cedim.Edom.
n.	N/mm ²	mm %	mm		
67	SLE rare	-0.13359840	500.0	109.508	-5.48
68	SLE freq	-0.09610075	500.0	82.557	-3.97
69	SLE q.p.	-0.09008145	500.0	77.899	-3.73

Cedimento massimo in cmb n. 67 = -5.48 mm

Elemento Platea n. 34

Cmb.	Tipo	Car. Netto	Prof.	Sigm.Z/Sigm.Lit.	Cedim.Edom.
n.	N/mm ²	mm %	mm		

EVO S.r.l.	 WE ENGINEERING	CODE CODICE	
		C23EOSW002S001R00	
		PAGE	
102 di/of 219			

67	SLE rare	-0.13298930	500.0	111.277	-5.38
68	SLE freq	-0.09713446	500.0	84.914	-3.95
69	SLE q.p.	-0.09142679	500.0	80.442	-3.73

Cedimento massimo in cmb n. 67 = -5.38 mm

Elemento Platea n. 35

Cmb.	Tipo	Car. Netto	Prof.	Sigm.Z/Sigm.Lit.	Cedim.Edom.
n.	N/mm ²	mm %	mm		
67	SLE rare	-0.13231020	500.0	112.758	-5.27
68	SLE freq	-0.09844600	500.0	84.914	-3.93
69	SLE q.p.	-0.09288771	500.0	83.158	-3.72

Cedimento massimo in cmb n. 67 = -5.27 mm

Elemento Platea n. 36

Cmb.	Tipo	Car. Netto	Prof.	Sigm.Z/Sigm.Lit.	Cedim.Edom.
n.	N/mm ²	mm %	mm		
67	SLE rare	-0.13155300	500.0	114.155	-5.15
68	SLE freq	-0.09968715	500.0	87.403	-3.91
69	SLE q.p.	-0.09446837	500.0	86.243	-3.72

Cedimento massimo in cmb n. 67 = -5.15 mm

Elemento Platea n. 37

Cmb.	Tipo	Car. Netto	Prof.	Sigm.Z/Sigm.Lit.	Cedim.Edom.
n.	N/mm ²	mm %	mm		
67	SLE rare	-0.13071110	500.0	115.696	-5.03
68	SLE freq	-0.10077490	500.0	93.179	-3.90
69	SLE q.p.	-0.09617921	500.0	89.508	-3.73

Cedimento massimo in cmb n. 67 = -5.03 mm

Elemento Platea n. 38

Cmb.	Tipo	Car. Netto	Prof.	Sigm.Z/Sigm.Lit.	Cedim.Edom.
n.	N/mm ²	mm %	mm		
67	SLE rare	-0.12637700	500.0	118.498	-4.94
68	SLE freq	-0.10219730	500.0	96.379	-3.99

EVO S.r.l.		CODE CODICE
		C23EOSW002S001R00
		PAGE
		103 di/of 219

69	SLE q.p.	-0.09803096	500.0	93.068	-3.83
----	----------	-------------	-------	--------	-------

Cedimento massimo in cmb n. 67 = -4.94 mm

Elemento Platea n. 39

Cmb.	Tipo	Car. Netto	Prof.	Sigm.Z/Sigm.Lit.	Cedim.Edom.
n.	N/mm ²	mm %	mm		
67	SLE rare	-0.14048250	500.0	119.156	-4.80
68	SLE freq	-0.11486490	500.0	98.627	-3.95
69	SLE q.p.	-0.11045060	500.0	95.628	-3.81

Cedimento massimo in cmb n. 67 = -4.80 mm

Elemento Platea n. 40

Cmb.	Tipo	Car. Netto	Prof.	Sigm.Z/Sigm.Lit.	Cedim.Edom.
n.	N/mm ²	mm %	mm		
67	SLE rare	-0.14048250	500.0	119.156	-4.80
68	SLE freq	-0.11400770	500.0	101.030	-3.96
69	SLE q.p.	-0.11047400	500.0	98.484	-3.85

Cedimento massimo in cmb n. 67 = -4.80 mm

Elemento Platea n. 41

Cmb.	Tipo	Car. Netto	Prof.	Sigm.Z/Sigm.Lit.	Cedim.Edom.
n.	N/mm ²	mm %	mm		
67	SLE rare	-0.13451530	500.0	119.221	-4.69
68	SLE freq	-0.11400770	500.0	101.030	-3.96
69	SLE q.p.	-0.11047400	500.0	98.484	-3.85

Cedimento massimo in cmb n. 67 = -4.69 mm

Elemento Platea n. 42

Cmb.	Tipo	Car. Netto	Prof.	Sigm.Z/Sigm.Lit.	Cedim.Edom.
n.	N/mm ²	mm %	mm		
67	SLE rare	-0.12893670	500.0	118.032	-4.51
68	SLE freq	-0.11323960	500.0	102.597	-3.93
69	SLE q.p.	-0.11053490	500.0	100.578	-3.84

Cedimento massimo in cmb n. 67 = -4.51 mm

EVO S.r.l.		CODE CODICE
		C23EOSW002S001R00
PAGE		104 di/of 219

Elemento Platea n. 43

Cmb.	Tipo	Car. Netto	Prof.	Sigm.Z/Sigm.Lit.	Cedim.Edom.
n.	N/mm ²	mm %	mm		
67	SLE rare	-0.12328280	500.0	115.804	-4.31
68	SLE freq	-0.11244780	500.0	103.475	-3.89
69	SLE q.p.	-0.11058100	500.0	102.045	-3.83

Cedimento massimo in cmb n. 67 = -4.31 mm

Elemento Platea n. 44

Cmb.	Tipo	Car. Netto	Prof.	Sigm.Z/Sigm.Lit.	Cedim.Edom.
n.	N/mm ²	mm %	mm		
67	SLE rare	-0.11061050	500.0	112.523	-4.12
68	SLE freq	-0.11061570	500.0	103.575	-3.85
69	SLE q.p.	-0.11060940	500.0	102.782	-3.81

Cedimento massimo in cmb n. 67 = -4.12 mm

Elemento Platea n. 45

Cmb.	Tipo	Car. Netto	Prof.	Sigm.Z/Sigm.Lit.	Cedim.Edom.
n.	N/mm ²	mm %	mm		
67	SLE rare	-0.18707830	500.0	78.661	-5.76
68	SLE freq	-0.09742510	500.0	43.288	-3.05
69	SLE q.p.	-0.07834854	500.0	35.816	-2.48

Cedimento massimo in cmb n. 67 = -5.76 mm

Elemento Platea n. 46

Cmb.	Tipo	Car. Netto	Prof.	Sigm.Z/Sigm.Lit.	Cedim.Edom.
n.	N/mm ²	mm %	mm		
67	SLE rare	-0.18565880	500.0	90.775	-6.66
68	SLE freq	-0.09758922	500.0	50.182	-3.55
69	SLE q.p.	-0.07885142	500.0	41.607	-2.89

Cedimento massimo in cmb n. 67 = -6.66 mm

Elemento Platea n. 47

EVO S.r.l.	 WE ENGINEERING	CODE CODICE	
		C23EOSW002S001R00	
		PAGE	
105 di/of 219			

Cmb.	Tipo	Car. Netto	Prof.	Sigm.Z/Sigm.Lit.	Cedim.Edom.
n.	N/mm ²	mm %	mm		
67	SLE rare	-0.18423220	500.0	101.934	-7.17
68	SLE freq	-0.09781460	500.0	56.692	-3.85
69	SLE q.p.	-0.07943004	500.0	47.138	-3.15

Cedimento massimo in cmb n. 67 = -7.17 mm

Elemento Platea n. 48

Cmb.	Tipo	Car. Netto	Prof.	Sigm.Z/Sigm.Lit.	Cedim.Edom.
n.	N/mm ²	mm %	mm		
67	SLE rare	-0.18277020	500.0	111.686	-7.45
68	SLE freq	-0.09810126	500.0	62.590	-4.04
69	SLE q.p.	-0.08009049	500.0	52.227	-3.32

Cedimento massimo in cmb n. 67 = -7.45 mm

Elemento Platea n. 49

Cmb.	Tipo	Car. Netto	Prof.	Sigm.Z/Sigm.Lit.	Cedim.Edom.
n.	N/mm ²	mm %	mm		
67	SLE rare	-0.18123960	500.0	119.831	-7.57
68	SLE freq	-0.09844776	500.0	67.776	-4.15
69	SLE q.p.	-0.08083797	500.0	56.796	-3.43

Cedimento massimo in cmb n. 67 = -7.57 mm

Elemento Platea n. 50

Cmb.	Tipo	Car. Netto	Prof.	Sigm.Z/Sigm.Lit.	Cedim.Edom.
n.	N/mm ²	mm %	mm		
67	SLE rare	-0.17961980	500.0	126.344	-7.59
68	SLE freq	-0.09885144	500.0	72.238	-4.22
69	SLE q.p.	-0.08167370	500.0	60.836	-3.50

Cedimento massimo in cmb n. 67 = -7.59 mm

Elemento Platea n. 51

Cmb.	Tipo	Car. Netto	Prof.	Sigm.Z/Sigm.Lit.	Cedim.Edom.
n.	N/mm ²	mm %	mm		

EVO S.r.l.	 WE ENGINEERING	CODE CODICE	
		C23EOSW002S001R00	
		PAGE	
106 di/of 219			

67	SLE rare	-0.18215510	500.0	126.344	-7.56
68	SLE freq	-0.09931044	500.0	76.055	-4.25
69	SLE q.p.	-0.08260369	500.0	64.414	-3.55

Cedimento massimo in cmb n. 67 = -7.56 mm

Elemento Platea n. 52

Cmb.	Tipo	Car. Netto	Prof.	Sigm.Z/Sigm.Lit.	Cedim.Edom.
n.	N/mm ²	mm %	mm		
67	SLE rare	-0.18047020	500.0	131.362	-7.51
68	SLE freq	-0.09982588	500.0	79.320	-4.26
69	SLE q.p.	-0.08363370	500.0	67.609	-3.58

Cedimento massimo in cmb n. 67 = -7.51 mm

Elemento Platea n. 53

Cmb.	Tipo	Car. Netto	Prof.	Sigm.Z/Sigm.Lit.	Cedim.Edom.
n.	N/mm ²	mm %	mm		
67	SLE rare	-0.17863560	500.0	135.057	-7.41
68	SLE freq	-0.10039660	500.0	82.143	-4.25
69	SLE q.p.	-0.08476797	500.0	70.509	-3.60

Cedimento massimo in cmb n. 67 = -7.41 mm

Elemento Platea n. 54

Cmb.	Tipo	Car. Netto	Prof.	Sigm.Z/Sigm.Lit.	Cedim.Edom.
n.	N/mm ²	mm %	mm		
67	SLE rare	-0.17662540	500.0	137.617	-7.27
68	SLE freq	-0.10102430	500.0	84.629	-4.23
69	SLE q.p.	-0.08601313	500.0	73.208	-3.61

Cedimento massimo in cmb n. 67 = -7.27 mm

Elemento Platea n. 55

Cmb.	Tipo	Car. Netto	Prof.	Sigm.Z/Sigm.Lit.	Cedim.Edom.
n.	N/mm ²	mm %	mm		
67	SLE rare	-0.17441650	500.0	139.225	-7.10
68	SLE freq	-0.10224490	500.0	84.629	-4.21

EVO S.r.l.		CODE CODICE
		C23EOSW002S001R00
		PAGE
		107 di/of 219

69	SLE q.p.	-0.08737469	500.0	75.809	-3.62
----	----------	-------------	-------	--------	-------

Cedimento massimo in cmb n. 67 = -7.10 mm

Elemento Platea n. 56

Cmb.	Tipo	Car. Netto	Prof.	Sigm.Z/Sigm.Lit.	Cedim.Edom.
n.	N/mm ²	mm %	mm		
67	SLE rare	-0.17198510	500.0	140.062	-6.90
68	SLE freq	-0.10303350	500.0	86.896	-4.18
69	SLE q.p.	-0.08885833	500.0	78.434	-3.62

Cedimento massimo in cmb n. 67 = -6.90 mm

Elemento Platea n. 57

Cmb.	Tipo	Car. Netto	Prof.	Sigm.Z/Sigm.Lit.	Cedim.Edom.
n.	N/mm ²	mm %	mm		
67	SLE rare	-0.16930930	500.0	140.326	-6.69
68	SLE freq	-0.10388640	500.0	89.079	-4.14
69	SLE q.p.	-0.09047078	500.0	81.251	-3.63

Cedimento massimo in cmb n. 67 = -6.69 mm

Elemento Platea n. 58

Cmb.	Tipo	Car. Netto	Prof.	Sigm.Z/Sigm.Lit.	Cedim.Edom.
n.	N/mm ²	mm %	mm		
67	SLE rare	-0.16636800	500.0	140.258	-6.46
68	SLE freq	-0.10480550	500.0	91.358	-4.11
69	SLE q.p.	-0.09221687	500.0	84.452	-3.63

Cedimento massimo in cmb n. 67 = -6.46 mm

Elemento Platea n. 59

Cmb.	Tipo	Car. Netto	Prof.	Sigm.Z/Sigm.Lit.	Cedim.Edom.
n.	N/mm ²	mm %	mm		
67	SLE rare	-0.16314370	500.0	140.116	-6.22
68	SLE freq	-0.10579280	500.0	93.935	-4.07
69	SLE q.p.	-0.09410761	500.0	87.856	-3.65

Cedimento massimo in cmb n. 67 = -6.22 mm

EVO S.r.l.		CODE CODICE
		C23EOSW002S001R00
		PAGE
		108 di/of 219

Elemento Platea n. 60

Cmb.	Tipo	Car. Netto	Prof.	Sigm.Z/Sigm.Lit.	Cedim.Edom.
n.	N/mm ²	mm %	mm		
67	SLE rare	-0.15963430	500.0	139.551	-5.99
68	SLE freq	-0.10607980	500.0	99.464	-4.14
69	SLE q.p.	-0.09615238	500.0	91.576	-3.76

Cedimento massimo in cmb n. 67 = -5.99 mm

Elemento Platea n. 61

Cmb.	Tipo	Car. Netto	Prof.	Sigm.Z/Sigm.Lit.	Cedim.Edom.
n.	N/mm ²	mm %	mm		
67	SLE rare	-0.16847130	500.0	137.384	-5.66
68	SLE freq	-0.11897860	500.0	101.420	-4.07
69	SLE q.p.	-0.10846050	500.0	94.276	-3.74

Cedimento massimo in cmb n. 67 = -5.66 mm

Elemento Platea n. 62

Cmb.	Tipo	Car. Netto	Prof.	Sigm.Z/Sigm.Lit.	Cedim.Edom.
n.	N/mm ²	mm %	mm		
67	SLE rare	-0.16847130	500.0	137.384	-5.66
68	SLE freq	-0.11897860	500.0	101.420	-4.07
69	SLE q.p.	-0.10888080	500.0	97.335	-3.79

Cedimento massimo in cmb n. 67 = -5.66 mm

Elemento Platea n. 63

Cmb.	Tipo	Car. Netto	Prof.	Sigm.Z/Sigm.Lit.	Cedim.Edom.
n.	N/mm ²	mm %	mm		
67	SLE rare	-0.15692200	500.0	134.637	-5.41
68	SLE freq	-0.11730090	500.0	103.401	-4.07
69	SLE q.p.	-0.10931540	500.0	99.666	-3.80

Cedimento massimo in cmb n. 67 = -5.41 mm

Elemento Platea n. 64

EVO S.r.l.	 WE ENGINEERING	CODE CODICE	
		C23EOSW002S001R00	
		PAGE	
109 di/of 219			

Cmb.	Tipo	Car. Netto	Prof.	Sigm.Z/Sigm.Lit.	Cedim.Edom.
n.	N/mm ²	mm %	mm		
67	SLE rare	-0.14608850	500.0	130.202	-5.07
68	SLE freq	-0.11576060	500.0	104.477	-4.01
69	SLE q.p.	-0.10931540	500.0	99.666	-3.80

Cedimento massimo in cmb n. 67 = -5.07 mm

Elemento Platea n. 65

Cmb.	Tipo	Car. Netto	Prof.	Sigm.Z/Sigm.Lit.	Cedim.Edom.
n.	N/mm ²	mm %	mm		
67	SLE rare	-0.13512370	500.0	124.376	-4.70
68	SLE freq	-0.11418820	500.0	104.806	-3.95
69	SLE q.p.	-0.11014900	500.0	102.424	-3.80

Cedimento massimo in cmb n. 67 = -4.70 mm

Elemento Platea n. 66

Cmb.	Tipo	Car. Netto	Prof.	Sigm.Z/Sigm.Lit.	Cedim.Edom.
n.	N/mm ²	mm %	mm		
67	SLE rare	-0.12402900	500.0	117.242	-4.32
68	SLE freq	-0.11258160	500.0	104.313	-3.88
69	SLE q.p.	-0.11061700	500.0	103.352	-3.81

Cedimento massimo in cmb n. 67 = -4.32 mm

Elemento Platea n. 67

Cmb.	Tipo	Car. Netto	Prof.	Sigm.Z/Sigm.Lit.	Cedim.Edom.
n.	N/mm ²	mm %	mm		
67	SLE rare	-0.23063030	500.0	95.629	-7.07
68	SLE freq	-0.10384230	500.0	45.801	-3.24
69	SLE q.p.	-0.07501180	500.0	34.507	-2.37

Cedimento massimo in cmb n. 67 = -7.07 mm

Elemento Platea n. 68

Cmb.	Tipo	Car. Netto	Prof.	Sigm.Z/Sigm.Lit.	Cedim.Edom.
n.	N/mm ²	mm %	mm		

EVO S.r.l.	 WE ENGINEERING	CODE CODICE	
		C23EOSW002S001R00	
		PAGE	
		110 di/of 219	

67	SLE rare	-0.22844000	500.0	110.247	-8.16
68	SLE freq	-0.10389160	500.0	53.065	-3.77
69	SLE q.p.	-0.07557185	500.0	40.105	-2.77

Cedimento massimo in cmb n. 67 = -8.16 mm

Elemento Platea n. 69

Cmb.	Tipo	Car. Netto	Prof.	Sigm.Z/Sigm.Lit.	Cedim.Edom.
n.	N/mm ²	mm %	mm		
67	SLE rare	-0.22620950	500.0	123.627	-8.77
68	SLE freq	-0.10399720	500.0	59.905	-4.09
69	SLE q.p.	-0.07621022	500.0	45.464	-3.02

Cedimento massimo in cmb n. 67 = -8.77 mm

Elemento Platea n. 70

Cmb.	Tipo	Car. Netto	Prof.	Sigm.Z/Sigm.Lit.	Cedim.Edom.
n.	N/mm ²	mm %	mm		
67	SLE rare	-0.22389650	500.0	135.209	-9.09
68	SLE freq	-0.10415730	500.0	66.074	-4.28
69	SLE q.p.	-0.07693404	500.0	50.410	-3.19

Cedimento massimo in cmb n. 67 = -9.09 mm

Elemento Platea n. 71

Cmb.	Tipo	Car. Netto	Prof.	Sigm.Z/Sigm.Lit.	Cedim.Edom.
n.	N/mm ²	mm %	mm		
67	SLE rare	-0.22145290	500.0	144.742	-9.23
68	SLE freq	-0.10436810	500.0	71.467	-4.40
69	SLE q.p.	-0.07774980	500.0	54.871	-3.30

Cedimento massimo in cmb n. 67 = -9.23 mm

Elemento Platea n. 72

Cmb.	Tipo	Car. Netto	Prof.	Sigm.Z/Sigm.Lit.	Cedim.Edom.
n.	N/mm ²	mm %	mm		
67	SLE rare	-0.21884880	500.0	152.195	-9.23
68	SLE freq	-0.10462560	500.0	76.070	-4.46

EVO S.r.l.		CODE CODICE
		C23EOSW002S001R00
		PAGE
		111 di/of 219

69	SLE q.p.	-0.07865935	500.0	58.836	-3.38
----	----------	-------------	-------	--------	-------

Cedimento massimo in cmb n. 67 = -9.23 mm

Elemento Platea n. 73

Cmb.	Tipo	Car. Netto	Prof.	Sigm.Z/Sigm.Lit.	Cedim.Edom.
n.	N/mm ²	mm %	mm		
67	SLE rare	-0.22219850	500.0	152.195	-9.19
68	SLE freq	-0.10492550	500.0	79.967	-4.48
69	SLE q.p.	-0.07967007	500.0	62.372	-3.43

Cedimento massimo in cmb n. 67 = -9.19 mm

Elemento Platea n. 74

Cmb.	Tipo	Car. Netto	Prof.	Sigm.Z/Sigm.Lit.	Cedim.Edom.
n.	N/mm ²	mm %	mm		
67	SLE rare	-0.21943040	500.0	157.735	-9.09
68	SLE freq	-0.10526720	500.0	83.257	-4.48
69	SLE q.p.	-0.08078863	500.0	65.552	-3.46

Cedimento massimo in cmb n. 67 = -9.09 mm

Elemento Platea n. 75

Cmb.	Tipo	Car. Netto	Prof.	Sigm.Z/Sigm.Lit.	Cedim.Edom.
n.	N/mm ²	mm %	mm		
67	SLE rare	-0.21641060	500.0	161.568	-8.94
68	SLE freq	-0.10564780	500.0	86.052	-4.46
69	SLE q.p.	-0.08202020	500.0	68.465	-3.49

Cedimento massimo in cmb n. 67 = -8.94 mm

Elemento Platea n. 76

Cmb.	Tipo	Car. Netto	Prof.	Sigm.Z/Sigm.Lit.	Cedim.Edom.
n.	N/mm ²	mm %	mm		
67	SLE rare	-0.21310060	500.0	163.920	-8.73
68	SLE freq	-0.10688480	500.0	86.052	-4.44
69	SLE q.p.	-0.08337232	500.0	71.202	-3.50

Cedimento massimo in cmb n. 67 = -8.73 mm

EVO S.r.l.		CODE CODICE
		C23EOSW002S001R00
PAGE		112 di/of 219

Elemento Platea n. 77

Cmb.	Tipo	Car. Netto	Prof.	Sigm.Z/Sigm.Lit.	Cedim.Edom.
n.	N/mm ²	mm %	mm		
67	SLE rare	-0.20946540	500.0	165.012	-8.49
68	SLE freq	-0.10739960	500.0	88.467	-4.41
69	SLE q.p.	-0.08485140	500.0	73.860	-3.52

Cedimento massimo in cmb n. 67 = -8.49 mm

Elemento Platea n. 78

Cmb.	Tipo	Car. Netto	Prof.	Sigm.Z/Sigm.Lit.	Cedim.Edom.
n.	N/mm ²	mm %	mm		
67	SLE rare	-0.20546940	500.0	165.054	-8.22
68	SLE freq	-0.10795710	500.0	90.621	-4.37
69	SLE q.p.	-0.08646403	500.0	76.562	-3.53

Cedimento massimo in cmb n. 67 = -8.22 mm

Elemento Platea n. 79

Cmb.	Tipo	Car. Netto	Prof.	Sigm.Z/Sigm.Lit.	Cedim.Edom.
n.	N/mm ²	mm %	mm		
67	SLE rare	-0.20107900	500.0	164.275	-7.91
68	SLE freq	-0.10855700	500.0	92.656	-4.32
69	SLE q.p.	-0.08821765	500.0	79.472	-3.54

Cedimento massimo in cmb n. 67 = -7.91 mm

Elemento Platea n. 80

Cmb.	Tipo	Car. Netto	Prof.	Sigm.Z/Sigm.Lit.	Cedim.Edom.
n.	N/mm ²	mm %	mm		
67	SLE rare	-0.19626240	500.0	162.944	-7.59
68	SLE freq	-0.10919980	500.0	94.753	-4.27
69	SLE q.p.	-0.09011799	500.0	82.783	-3.55

Cedimento massimo in cmb n. 67 = -7.59 mm

Elemento Platea n. 81

EVO S.r.l.	 WE ENGINEERING	CODE CODICE	
		C23EOSW002S001R00	
		PAGE	
113 di/of 219			

Cmb.	Tipo	Car. Netto	Prof.	Sigm.Z/Sigm.Lit.	Cedim.Edom.
n.	N/mm ²	mm %	mm		
67	SLE rare	-0.19099250	500.0	161.346	-7.25
68	SLE freq	-0.10988570	500.0	97.120	-4.22
69	SLE q.p.	-0.09217646	500.0	86.316	-3.58

Cedimento massimo in cmb n. 67 = -7.25 mm

Elemento Platea n. 82

Cmb.	Tipo	Car. Netto	Prof.	Sigm.Z/Sigm.Lit.	Cedim.Edom.
n.	N/mm ²	mm %	mm		
67	SLE rare	-0.18526150	500.0	159.065	-6.91
68	SLE freq	-0.10941310	500.0	102.111	-4.26
69	SLE q.p.	-0.09440123	500.0	90.185	-3.70

Cedimento massimo in cmb n. 67 = -6.91 mm

Elemento Platea n. 83

Cmb.	Tipo	Car. Netto	Prof.	Sigm.Z/Sigm.Lit.	Cedim.Edom.
n.	N/mm ²	mm %	mm		
67	SLE rare	-0.19250450	500.0	153.223	-6.41
68	SLE freq	-0.12251030	500.0	103.818	-4.19
69	SLE q.p.	-0.10660540	500.0	93.015	-3.69

Cedimento massimo in cmb n. 67 = -6.41 mm

Elemento Platea n. 84

Cmb.	Tipo	Car. Netto	Prof.	Sigm.Z/Sigm.Lit.	Cedim.Edom.
n.	N/mm ²	mm %	mm		
67	SLE rare	-0.19250450	500.0	153.223	-6.41
68	SLE freq	-0.12251030	500.0	103.818	-4.19
69	SLE q.p.	-0.10739560	500.0	96.262	-3.74

Cedimento massimo in cmb n. 67 = -6.41 mm

Elemento Platea n. 85

Cmb.	Tipo	Car. Netto	Prof.	Sigm.Z/Sigm.Lit.	Cedim.Edom.
n.	N/mm ²	mm %	mm		

EVO S.r.l.	 WE ENGINEERING	CODE CODICE	
		C23EOSW002S001R00	
		PAGE	
		114 di/of 219	

67	SLE rare	-0.17616210	500.0	148.022	-6.04
68	SLE freq	-0.12012820	500.0	105.435	-4.16
69	SLE q.p.	-0.10817860	500.0	98.815	-3.76

Cedimento massimo in cmb n. 67 = -6.04 mm

Elemento Platea n. 86

Cmb.	Tipo	Car. Netto	Prof.	Sigm.Z/Sigm.Lit.	Cedim.Edom.
n.	N/mm ²	mm %	mm		
67	SLE rare	-0.16081640	500.0	140.754	-5.55
68	SLE freq	-0.11792490	500.0	106.090	-4.08
69	SLE q.p.	-0.10895430	500.0	100.794	-3.77

Cedimento massimo in cmb n. 67 = -5.55 mm

Elemento Platea n. 87

Cmb.	Tipo	Car. Netto	Prof.	Sigm.Z/Sigm.Lit.	Cedim.Edom.
n.	N/mm ²	mm %	mm		
67	SLE rare	-0.14529110	500.0	131.795	-5.03
68	SLE freq	-0.11568230	500.0	105.947	-4.00
69	SLE q.p.	-0.10971980	500.0	102.089	-3.78

Cedimento massimo in cmb n. 67 = -5.03 mm

Elemento Platea n. 88

Cmb.	Tipo	Car. Netto	Prof.	Sigm.Z/Sigm.Lit.	Cedim.Edom.
n.	N/mm ²	mm %	mm		
67	SLE rare	-0.12958970	500.0	121.315	-4.50
68	SLE freq	-0.11339880	500.0	104.947	-3.91
69	SLE q.p.	-0.11061700	500.0	103.352	-3.81

Cedimento massimo in cmb n. 67 = -4.50 mm

Elemento Platea n. 89

Cmb.	Tipo	Car. Netto	Prof.	Sigm.Z/Sigm.Lit.	Cedim.Edom.
n.	N/mm ²	mm %	mm		
67	SLE rare	-0.26404430	500.0	108.678	-8.08
68	SLE freq	-0.10876450	500.0	47.728	-3.39

EVO S.r.l.	 WE ENGINEERING	CODE CODICE	
		C23EOSW002S001R00	
		PAGE	
115 di/of 219			

69	SLE q.p.	-0.07214532	500.0	33.382	-2.29
----	----------	-------------	-------	--------	-------

Cedimento massimo in cmb n. 67 = -8.08 mm

Elemento Platea n. 90

Cmb.	Tipo	Car. Netto	Prof.	Sigm.Z/Sigm.Lit.	Cedim.Edom.
n.	N/mm ²	mm %	mm		
67	SLE rare	-0.26126270	500.0	125.221	-9.32
68	SLE freq	-0.10872570	500.0	55.277	-3.94
69	SLE q.p.	-0.07275447	500.0	38.814	-2.67

Cedimento massimo in cmb n. 67 = -9.32 mm

Elemento Platea n. 91

Cmb.	Tipo	Car. Netto	Prof.	Sigm.Z/Sigm.Lit.	Cedim.Edom.
n.	N/mm ²	mm %	mm		
67	SLE rare	-0.25841540	500.0	140.311	-10.00
68	SLE freq	-0.10873950	500.0	62.369	-4.27
69	SLE q.p.	-0.07344415	500.0	44.025	-2.92

Cedimento massimo in cmb n. 67 = -10.00 mm

Elemento Platea n. 92

Cmb.	Tipo	Car. Netto	Prof.	Sigm.Z/Sigm.Lit.	Cedim.Edom.
n.	N/mm ²	mm %	mm		
67	SLE rare	-0.25544970	500.0	153.302	-10.36
68	SLE freq	-0.10880240	500.0	68.747	-4.47
69	SLE q.p.	-0.07422247	500.0	48.849	-3.08

Cedimento massimo in cmb n. 67 = -10.36 mm

Elemento Platea n. 93

Cmb.	Tipo	Car. Netto	Prof.	Sigm.Z/Sigm.Lit.	Cedim.Edom.
n.	N/mm ²	mm %	mm		
67	SLE rare	-0.25230550	500.0	163.907	-10.50
68	SLE freq	-0.10890910	500.0	74.299	-4.59
69	SLE q.p.	-0.07509684	500.0	53.216	-3.19

Cedimento massimo in cmb n. 67 = -10.50 mm

EVO S.r.l.		CODE CODICE
		C23EOSW002S001R00
PAGE		116 di/of 219

Elemento Platea n. 94

Cmb.	Tipo	Car. Netto	Prof.	Sigm.Z/Sigm.Lit.	Cedim.Edom.
n.	N/mm ²	mm %	mm		
67	SLE rare	-0.24894640	500.0	172.088	-10.48
68	SLE freq	-0.10905460	500.0	79.010	-4.64
69	SLE q.p.	-0.07606979	500.0	57.118	-3.27

Cedimento massimo in cmb n. 67 = -10.48 mm

Elemento Platea n. 95

Cmb.	Tipo	Car. Netto	Prof.	Sigm.Z/Sigm.Lit.	Cedim.Edom.
n.	N/mm ²	mm %	mm		
67	SLE rare	-0.25292080	500.0	172.088	-10.43
68	SLE freq	-0.10923240	500.0	82.968	-4.66
69	SLE q.p.	-0.07714987	500.0	60.617	-3.32

Cedimento massimo in cmb n. 67 = -10.43 mm

Elemento Platea n. 96

Cmb.	Tipo	Car. Netto	Prof.	Sigm.Z/Sigm.Lit.	Cedim.Edom.
n.	N/mm ²	mm %	mm		
67	SLE rare	-0.24932180	500.0	178.035	-10.31
68	SLE freq	-0.10944080	500.0	86.276	-4.66
69	SLE q.p.	-0.07834452	500.0	63.786	-3.36

Cedimento massimo in cmb n. 67 = -10.31 mm

Elemento Platea n. 97

Cmb.	Tipo	Car. Netto	Prof.	Sigm.Z/Sigm.Lit.	Cedim.Edom.
n.	N/mm ²	mm %	mm		
67	SLE rare	-0.24539260	500.0	181.980	-10.12
68	SLE freq	-0.11067660	500.0	86.276	-4.63
69	SLE q.p.	-0.07965966	500.0	66.710	-3.39

Cedimento massimo in cmb n. 67 = -10.12 mm

Elemento Platea n. 98

EVO S.r.l.	 WE ENGINEERING	CODE CODICE	
		C23EOSW002S001R00	
		PAGE	
		117 di/of 219	

Cmb.	Tipo	Car. Netto	Prof.	Sigm.Z/Sigm.Lit.	Cedim.Edom.
n.	N/mm ²	mm %	mm		
67	SLE rare	-0.24108550	500.0	184.180	-9.86
68	SLE freq	-0.11100030	500.0	89.051	-4.61
69	SLE q.p.	-0.08110364	500.0	69.477	-3.41

Cedimento massimo in cmb n. 67 = -9.86 mm

Elemento Platea n. 99

Cmb.	Tipo	Car. Netto	Prof.	Sigm.Z/Sigm.Lit.	Cedim.Edom.
n.	N/mm ²	mm %	mm		
67	SLE rare	-0.23635610	500.0	184.882	-9.56
68	SLE freq	-0.11135350	500.0	91.411	-4.57
69	SLE q.p.	-0.08268368	500.0	72.185	-3.43

Cedimento massimo in cmb n. 67 = -9.56 mm

Elemento Platea n. 100

Cmb.	Tipo	Car. Netto	Prof.	Sigm.Z/Sigm.Lit.	Cedim.Edom.
n.	N/mm ²	mm %	mm		
67	SLE rare	-0.23115970	500.0	184.320	-9.22
68	SLE freq	-0.11173370	500.0	93.479	-4.52
69	SLE q.p.	-0.08440709	500.0	74.954	-3.45

Cedimento massimo in cmb n. 67 = -9.22 mm

Elemento Platea n. 101

Cmb.	Tipo	Car. Netto	Prof.	Sigm.Z/Sigm.Lit.	Cedim.Edom.
n.	N/mm ²	mm %	mm		
67	SLE rare	-0.22545400	500.0	182.745	-8.86
68	SLE freq	-0.11213970	500.0	95.399	-4.46
69	SLE q.p.	-0.08628209	500.0	77.945	-3.46

Cedimento massimo in cmb n. 67 = -8.86 mm

Elemento Platea n. 102

Cmb.	Tipo	Car. Netto	Prof.	Sigm.Z/Sigm.Lit.	Cedim.Edom.
n.	N/mm ²	mm %	mm		

EVO S.r.l.	 WE ENGINEERING	CODE CODICE	
		C23EOSW002S001R00	
		PAGE	
		118 di/of 219	

67	SLE rare	-0.21919860	500.0	180.449	-8.46
68	SLE freq	-0.11257030	500.0	97.357	-4.40
69	SLE q.p.	-0.08831491	500.0	81.348	-3.48

Cedimento massimo in cmb n. 67 = -8.46 mm

Elemento Platea n. 103

Cmb.	Tipo	Car. Netto	Prof.	Sigm.Z/Sigm.Lit.	Cedim.Edom.
n.	N/mm ²	mm %	mm		
67	SLE rare	-0.21235920	500.0	177.734	-8.05
68	SLE freq	-0.11302520	500.0	99.563	-4.34
69	SLE q.p.	-0.09051748	500.0	84.993	-3.51

Cedimento massimo in cmb n. 67 = -8.05 mm

Elemento Platea n. 104

Cmb.	Tipo	Car. Netto	Prof.	Sigm.Z/Sigm.Lit.	Cedim.Edom.
n.	N/mm ²	mm %	mm		
67	SLE rare	-0.20492380	500.0	174.134	-7.63
68	SLE freq	-0.11196990	500.0	104.142	-4.36
69	SLE q.p.	-0.09289689	500.0	88.990	-3.64

Cedimento massimo in cmb n. 67 = -7.63 mm

Elemento Platea n. 105

Cmb.	Tipo	Car. Netto	Prof.	Sigm.Z/Sigm.Lit.	Cedim.Edom.
n.	N/mm ²	mm %	mm		
67	SLE rare	-0.21094410	500.0	165.458	-6.99
68	SLE freq	-0.12521950	500.0	105.656	-4.27
69	SLE q.p.	-0.10501180	500.0	91.931	-3.64

Cedimento massimo in cmb n. 67 = -6.99 mm

Elemento Platea n. 106

Cmb.	Tipo	Car. Netto	Prof.	Sigm.Z/Sigm.Lit.	Cedim.Edom.
n.	N/mm ²	mm %	mm		
67	SLE rare	-0.21094410	500.0	165.458	-6.99
68	SLE freq	-0.12521950	500.0	105.656	-4.27

EVO S.r.l.		CODE CODICE
		C23EOSW002S001R00
		PAGE
		119 di/of 219

69	SLE q.p.	-0.10611980	500.0	95.340	-3.70
----	----------	-------------	-------	--------	-------

Cedimento massimo in cmb n. 67 = -6.99 mm

Elemento Platea n. 107

Cmb.	Tipo	Car. Netto	Prof.	Sigm.Z/Sigm.Lit.	Cedim.Edom.
n.	N/mm ²	mm %	mm		
67	SLE rare	-0.19092420	500.0	158.360	-6.52
68	SLE freq	-0.12229710	500.0	106.994	-4.23
69	SLE q.p.	-0.10720200	500.0	98.083	-3.73

Cedimento massimo in cmb n. 67 = -6.52 mm

Elemento Platea n. 108

Cmb.	Tipo	Car. Netto	Prof.	Sigm.Z/Sigm.Lit.	Cedim.Edom.
n.	N/mm ²	mm %	mm		
67	SLE rare	-0.17211660	500.0	148.900	-5.92
68	SLE freq	-0.11958510	500.0	107.325	-4.14
69	SLE q.p.	-0.10828010	500.0	100.274	-3.75

Cedimento massimo in cmb n. 67 = -5.92 mm

Elemento Platea n. 109

Cmb.	Tipo	Car. Netto	Prof.	Sigm.Z/Sigm.Lit.	Cedim.Edom.
n.	N/mm ²	mm %	mm		
67	SLE rare	-0.15309230	500.0	137.517	-5.29
68	SLE freq	-0.11682850	500.0	106.821	-4.03
69	SLE q.p.	-0.10935110	500.0	101.801	-3.77

Cedimento massimo in cmb n. 67 = -5.29 mm

Elemento Platea n. 110

Cmb.	Tipo	Car. Netto	Prof.	Sigm.Z/Sigm.Lit.	Cedim.Edom.
n.	N/mm ²	mm %	mm		
67	SLE rare	-0.13385620	500.0	124.452	-4.64
68	SLE freq	-0.11402570	500.0	105.432	-3.93
69	SLE q.p.	-0.11061700	500.0	103.352	-3.81

Cedimento massimo in cmb n. 67 = -4.64 mm

EVO S.r.l.		CODE CODICE
		C23EOSW002S001R00
		PAGE
		120 di/of 219

Elemento Platea n. 111

Cmb.	Tipo	Car. Netto	Prof.	Sigm.Z/Sigm.Lit.	Cedim.Edom.
n.	N/mm ²	mm %	mm		
67	SLE rare	-0.28504280	500.0	116.887	-8.71
68	SLE freq	-0.11185630	500.0	48.939	-3.49
69	SLE q.p.	-0.06994460	500.0	32.519	-2.22

Cedimento massimo in cmb n. 67 = -8.71 mm

Elemento Platea n. 112

Cmb.	Tipo	Car. Netto	Prof.	Sigm.Z/Sigm.Lit.	Cedim.Edom.
n.	N/mm ²	mm %	mm		
67	SLE rare	-0.28188970	500.0	134.641	-10.04
68	SLE freq	-0.11176220	500.0	56.666	-4.05
69	SLE q.p.	-0.07059143	500.0	37.823	-2.60

Cedimento massimo in cmb n. 67 = -10.04 mm

Elemento Platea n. 113

Cmb.	Tipo	Car. Netto	Prof.	Sigm.Z/Sigm.Lit.	Cedim.Edom.
n.	N/mm ²	mm %	mm		
67	SLE rare	-0.27865500	500.0	150.805	-10.78
68	SLE freq	-0.11171830	500.0	63.917	-4.38
69	SLE q.p.	-0.07132055	500.0	42.921	-2.84

Cedimento massimo in cmb n. 67 = -10.78 mm

Elemento Platea n. 114

Cmb.	Tipo	Car. Netto	Prof.	Sigm.Z/Sigm.Lit.	Cedim.Edom.
n.	N/mm ²	mm %	mm		
67	SLE rare	-0.27527890	500.0	164.684	-11.16
68	SLE freq	-0.11172030	500.0	70.425	-4.59

Cedimento massimo in cmb n. 67 = -11.16 mm

Elemento Platea n. 115

EVO S.r.l.	 WE ENGINEERING	CODE CODICE	
		C23EOSW002S001R00	
		PAGE	
121 di/219			

Cmb.	Tipo	Car. Netto	Prof.	Sigm.Z/Sigm.Lit.	Cedim.Edom.
n.	N/mm ²	mm %	mm		
67	SLE rare	-0.27169460	500.0	175.964	-11.30
68	SLE freq	-0.11176150	500.0	76.077	-4.70
69	SLE q.p.	-0.07306004	500.0	51.946	-3.11

Cedimento massimo in cmb n. 67 = -11.30 mm

Elemento Platea n. 116

Cmb.	Tipo	Car. Netto	Prof.	Sigm.Z/Sigm.Lit.	Cedim.Edom.
n.	N/mm ²	mm %	mm		
67	SLE rare	-0.26786100	500.0	184.605	-11.27
68	SLE freq	-0.11183660	500.0	80.857	-4.76
69	SLE q.p.	-0.07408165	500.0	55.798	-3.19

Cedimento massimo in cmb n. 67 = -11.27 mm

Elemento Platea n. 117

Cmb.	Tipo	Car. Netto	Prof.	Sigm.Z/Sigm.Lit.	Cedim.Edom.
n.	N/mm ²	mm %	mm		
67	SLE rare	-0.27222810	500.0	184.605	-11.22
68	SLE freq	-0.11193770	500.0	84.853	-4.78
69	SLE q.p.	-0.07521498	500.0	59.269	-3.24

Cedimento massimo in cmb n. 67 = -11.22 mm

Elemento Platea n. 118

Cmb.	Tipo	Car. Netto	Prof.	Sigm.Z/Sigm.Lit.	Cedim.Edom.
n.	N/mm ²	mm %	mm		
67	SLE rare	-0.26810700	500.0	190.809	-11.08
68	SLE freq	-0.11206250	500.0	88.173	-4.77
69	SLE q.p.	-0.07646801	500.0	62.430	-3.28

Cedimento massimo in cmb n. 67 = -11.08 mm

Elemento Platea n. 119

Cmb.	Tipo	Car. Netto	Prof.	Sigm.Z/Sigm.Lit.	Cedim.Edom.
n.	N/mm ²	mm %	mm		

EVO S.r.l.	 WE ENGINEERING	CODE CODICE	
		C23EOSW002S001R00	
		PAGE	
122 di/of 219			

67	SLE rare	-0.26360640	500.0	194.827	-10.86
68	SLE freq	-0.11335440	500.0	88.173	-4.74
69	SLE q.p.	-0.07784734	500.0	65.362	-3.31

Cedimento massimo in cmb n. 67 = -10.86 mm

Elemento Platea n. 120

Cmb.	Tipo	Car. Netto	Prof.	Sigm.Z/Sigm.Lit.	Cedim.Edom.
n.	N/mm ²	mm %	mm		
67	SLE rare	-0.25867270	500.0	196.934	-10.57
68	SLE freq	-0.11358550	500.0	90.935	-4.71
69	SLE q.p.	-0.07936185	500.0	68.154	-3.34

Cedimento massimo in cmb n. 67 = -10.57 mm

Elemento Platea n. 121

Cmb.	Tipo	Car. Netto	Prof.	Sigm.Z/Sigm.Lit.	Cedim.Edom.
n.	N/mm ²	mm %	mm		
67	SLE rare	-0.25325580	500.0	197.394	-10.23
68	SLE freq	-0.11383700	500.0	93.260	-4.67
69	SLE q.p.	-0.08101942	500.0	70.900	-3.36

Cedimento massimo in cmb n. 67 = -10.23 mm

Elemento Platea n. 122

Cmb.	Tipo	Car. Netto	Prof.	Sigm.Z/Sigm.Lit.	Cedim.Edom.
n.	N/mm ²	mm %	mm		
67	SLE rare	-0.24730510	500.0	196.455	-9.86
68	SLE freq	-0.11410600	500.0	95.274	-4.61
69	SLE q.p.	-0.08282788	500.0	73.719	-3.38

Cedimento massimo in cmb n. 67 = -9.86 mm

Elemento Platea n. 123

Cmb.	Tipo	Car. Netto	Prof.	Sigm.Z/Sigm.Lit.	Cedim.Edom.
n.	N/mm ²	mm %	mm		
67	SLE rare	-0.24077280	500.0	194.382	-9.45
68	SLE freq	-0.11439010	500.0	97.122	-4.55

EVO S.r.l.	 WE ENGINEERING	CODE CODICE
		C23EOSW002S001R00
		PAGE
		123 di/of 219

69	SLE q.p.	-0.08479601	500.0	76.772	-3.41
----	----------	-------------	-------	--------	-------

Cedimento massimo in cmb n. 67 = -9.45 mm

Elemento Platea n. 124

Cmb.	Tipo	Car. Netto	Prof.	Sigm.Z/Sigm.Lit.	Cedim.Edom.
n.	N/mm ²	mm %	mm		
67	SLE rare	-0.23361330	500.0	191.480	-9.01
68	SLE freq	-0.11468760	500.0	98.993	-4.48
69	SLE q.p.	-0.08693063	500.0	80.247	-3.43

Cedimento massimo in cmb n. 67 = -9.01 mm

Elemento Platea n. 125

Cmb.	Tipo	Car. Netto	Prof.	Sigm.Z/Sigm.Lit.	Cedim.Edom.
n.	N/mm ²	mm %	mm		
67	SLE rare	-0.22578770	500.0	188.065	-8.54
68	SLE freq	-0.11499730	500.0	101.098	-4.41
69	SLE q.p.	-0.08924382	500.0	83.976	-3.47

Cedimento massimo in cmb n. 67 = -8.54 mm

Elemento Platea n. 126

Cmb.	Tipo	Car. Netto	Prof.	Sigm.Z/Sigm.Lit.	Cedim.Edom.
n.	N/mm ²	mm %	mm		
67	SLE rare	-0.21728120	500.0	183.636	-8.07
68	SLE freq	-0.11357610	500.0	105.417	-4.42
69	SLE q.p.	-0.09174190	500.0	88.072	-3.60

Cedimento massimo in cmb n. 67 = -8.07 mm

Elemento Platea n. 127

Cmb.	Tipo	Car. Netto	Prof.	Sigm.Z/Sigm.Lit.	Cedim.Edom.
n.	N/mm ²	mm %	mm		
67	SLE rare	-0.22253330	500.0	173.175	-7.35
68	SLE freq	-0.12692140	500.0	106.811	-4.32
69	SLE q.p.	-0.10378830	500.0	91.099	-3.60

Cedimento massimo in cmb n. 67 = -7.35 mm

EVO S.r.l.		CODE CODICE
		C23EOSW002S001R00
PAGE		124 di/of 219

Elemento Platea n. 128

Cmb.	Tipo	Car. Netto	Prof.	Sigm.Z/Sigm.Lit.	Cedim.Edom.
n.	N/mm ²	mm %	mm		
67	SLE rare	-0.22253330	500.0	173.175	-7.35
68	SLE freq	-0.12692140	500.0	106.811	-4.32
69	SLE q.p.	-0.10514030	500.0	94.632	-3.67

Cedimento massimo in cmb n. 67 = -7.35 mm

Elemento Platea n. 129

Cmb.	Tipo	Car. Netto	Prof.	Sigm.Z/Sigm.Lit.	Cedim.Edom.
n.	N/mm ²	mm %	mm		
67	SLE rare	-0.20020220	500.0	164.881	-6.82
68	SLE freq	-0.12365950	500.0	107.973	-4.28
69	SLE q.p.	-0.10645220	500.0	97.519	-3.70

Cedimento massimo in cmb n. 67 = -6.82 mm

Elemento Platea n. 130

Cmb.	Tipo	Car. Netto	Prof.	Sigm.Z/Sigm.Lit.	Cedim.Edom.
n.	N/mm ²	mm %	mm		
67	SLE rare	-0.17921880	500.0	154.038	-6.15
68	SLE freq	-0.12062810	500.0	108.100	-4.17
69	SLE q.p.	-0.10776250	500.0	99.874	-3.73

Cedimento massimo in cmb n. 67 = -6.15 mm

Elemento Platea n. 131

Cmb.	Tipo	Car. Netto	Prof.	Sigm.Z/Sigm.Lit.	Cedim.Edom.
n.	N/mm ²	mm %	mm		
67	SLE rare	-0.15799540	500.0	141.123	-5.45
68	SLE freq	-0.11754850	500.0	107.369	-4.06
69	SLE q.p.	-0.10906800	500.0	101.580	-3.76

Cedimento massimo in cmb n. 67 = -5.45 mm

Elemento Platea n. 132

EVO S.r.l.		CODE CODICE
		C23EOSW002S001R00
		PAGE
		125 di/of 219

Cmb.	Tipo	Car. Netto	Prof.	Sigm.Z/Sigm.Lit.	Cedim.Edom.
n.	N/mm ²	mm %	mm		
67	SLE rare	-0.13653780	500.0	126.427	-4.72
68	SLE freq	-0.11441940	500.0	105.736	-3.94
69	SLE q.p.	-0.11061700	500.0	103.352	-3.81

Cedimento massimo in cmb n. 67 = -4.72 mm

Elemento Platea n. 133

Cmb.	Tipo	Car. Netto	Prof.	Sigm.Z/Sigm.Lit.	Cedim.Edom.
n.	N/mm ²	mm %	mm		
67	SLE rare	-0.29219510	500.0	119.684	-8.93
68	SLE freq	-0.11290710	500.0	49.350	-3.52
69	SLE q.p.	-0.06855975	500.0	31.975	-2.18

Cedimento massimo in cmb n. 67 = -8.93 mm

Elemento Platea n. 134

Cmb.	Tipo	Car. Netto	Prof.	Sigm.Z/Sigm.Lit.	Cedim.Edom.
n.	N/mm ²	mm %	mm		
67	SLE rare	-0.28891550	500.0	137.851	-10.29
68	SLE freq	-0.11279400	500.0	57.138	-4.08
69	SLE q.p.	-0.06923029	500.0	37.199	-2.55

Cedimento massimo in cmb n. 67 = -10.29 mm

Elemento Platea n. 135

Cmb.	Tipo	Car. Netto	Prof.	Sigm.Z/Sigm.Lit.	Cedim.Edom.
n.	N/mm ²	mm %	mm		
67	SLE rare	-0.28554870	500.0	154.382	-11.04
68	SLE freq	-0.11273060	500.0	64.443	-4.42
69	SLE q.p.	-0.06998416	500.0	42.226	-2.79

Cedimento massimo in cmb n. 67 = -11.04 mm

Elemento Platea n. 136

Cmb.	Tipo	Car. Netto	Prof.	Sigm.Z/Sigm.Lit.	Cedim.Edom.
n.	N/mm ²	mm %	mm		

EVO S.r.l.	 WE ENGINEERING	CODE CODICE	
		C23EOSW002S001R00	
		PAGE	
126 di/of 219			

67	SLE rare	-0.28203330	500.0	168.563	-11.43
68	SLE freq	-0.11271180	500.0	70.996	-4.63
69	SLE q.p.	-0.07083058	500.0	46.897	-2.95

Cedimento massimo in cmb n. 67 = -11.43 mm

Elemento Platea n. 137

Cmb.	Tipo	Car. Netto	Prof.	Sigm.Z/Sigm.Lit.	Cedim.Edom.
n.	N/mm ²	mm %	mm		
67	SLE rare	-0.27829920	500.0	180.073	-11.57
68	SLE freq	-0.11273090	500.0	76.682	-4.74
69	SLE q.p.	-0.07177826	500.0	51.147	-3.06

Cedimento massimo in cmb n. 67 = -11.57 mm

Elemento Platea n. 138

Cmb.	Tipo	Car. Netto	Prof.	Sigm.Z/Sigm.Lit.	Cedim.Edom.
n.	N/mm ²	mm %	mm		
67	SLE rare	-0.27430390	500.0	188.871	-11.54
68	SLE freq	-0.11278210	500.0	81.484	-4.80
69	SLE q.p.	-0.07283051	500.0	54.968	-3.13

Cedimento massimo in cmb n. 67 = -11.54 mm

Elemento Platea n. 139

Cmb.	Tipo	Car. Netto	Prof.	Sigm.Z/Sigm.Lit.	Cedim.Edom.
n.	N/mm ²	mm %	mm		
67	SLE rare	-0.27880470	500.0	188.871	-11.49
68	SLE freq	-0.11285720	500.0	85.494	-4.82
69	SLE q.p.	-0.07399733	500.0	58.421	-3.19

Cedimento massimo in cmb n. 67 = -11.49 mm

Elemento Platea n. 140

Cmb.	Tipo	Car. Netto	Prof.	Sigm.Z/Sigm.Lit.	Cedim.Edom.
n.	N/mm ²	mm %	mm		
67	SLE rare	-0.27450590	500.0	195.163	-11.34
68	SLE freq	-0.11295350	500.0	88.817	-4.80

EVO S.r.l.	 WE ENGINEERING	CODE CODICE
		C23EOSW002S001R00
PAGE		127 di/of 219

69	SLE q.p.	-0.07528712	500.0	61.576	-3.23
----	----------	-------------	-------	--------	-------

Cedimento massimo in cmb n. 67 = -11.34 mm

Elemento Platea n. 141

Cmb.	Tipo	Car. Netto	Prof.	Sigm.Z/Sigm.Lit.	Cedim.Edom.
n.	N/mm ²	mm %	mm		
67	SLE rare	-0.26981090	500.0	199.206	-11.11
68	SLE freq	-0.11426450	500.0	88.817	-4.78
69	SLE q.p.	-0.07670677	500.0	64.514	-3.27

Cedimento massimo in cmb n. 67 = -11.11 mm

Elemento Platea n. 142

Cmb.	Tipo	Car. Netto	Prof.	Sigm.Z/Sigm.Lit.	Cedim.Edom.
n.	N/mm ²	mm %	mm		
67	SLE rare	-0.26466390	500.0	201.282	-10.81
68	SLE freq	-0.11446400	500.0	91.575	-4.75
69	SLE q.p.	-0.07826570	500.0	67.321	-3.29

Cedimento massimo in cmb n. 67 = -10.81 mm

Elemento Platea n. 143

Cmb.	Tipo	Car. Netto	Prof.	Sigm.Z/Sigm.Lit.	Cedim.Edom.
n.	N/mm ²	mm %	mm		
67	SLE rare	-0.25901280	500.0	201.659	-10.46
68	SLE freq	-0.11468110	500.0	93.889	-4.70
69	SLE q.p.	-0.07997204	500.0	70.090	-3.32

Cedimento massimo in cmb n. 67 = -10.46 mm

Elemento Platea n. 144

Cmb.	Tipo	Car. Netto	Prof.	Sigm.Z/Sigm.Lit.	Cedim.Edom.
n.	N/mm ²	mm %	mm		
67	SLE rare	-0.25280530	500.0	200.592	-10.07
68	SLE freq	-0.11491230	500.0	95.884	-4.65
69	SLE q.p.	-0.08183403	500.0	72.942	-3.34

Cedimento massimo in cmb n. 67 = -10.07 mm

EVO S.r.l.		CODE CODICE
		C23EOSW002S001R00
		PAGE
		128 di/of 219

Elemento Platea n. 145

Cmb.	Tipo	Car. Netto	Prof.	Sigm.Z/Sigm.Lit.	Cedim.Edom.
n.	N/mm ²	mm %	mm		
67	SLE rare	-0.24599150	500.0	198.350	-9.65
68	SLE freq	-0.11515490	500.0	97.708	-4.58
69	SLE q.p.	-0.08386079	500.0	76.033	-3.37

Cedimento massimo in cmb n. 67 = -9.65 mm

Elemento Platea n. 146

Cmb.	Tipo	Car. Netto	Prof.	Sigm.Z/Sigm.Lit.	Cedim.Edom.
n.	N/mm ²	mm %	mm		
67	SLE rare	-0.23852420	500.0	195.242	-9.19
68	SLE freq	-0.11540720	500.0	99.548	-4.51
69	SLE q.p.	-0.08605941	500.0	79.554	-3.40

Cedimento massimo in cmb n. 67 = -9.19 mm

Elemento Platea n. 147

Cmb.	Tipo	Car. Netto	Prof.	Sigm.Z/Sigm.Lit.	Cedim.Edom.
n.	N/mm ²	mm %	mm		
67	SLE rare	-0.23036270	500.0	191.589	-8.71
68	SLE freq	-0.11566770	500.0	101.619	-4.44
69	SLE q.p.	-0.08844223	500.0	83.336	-3.44

Cedimento massimo in cmb n. 67 = -8.71 mm

Elemento Platea n. 148

Cmb.	Tipo	Car. Netto	Prof.	Sigm.Z/Sigm.Lit.	Cedim.Edom.
n.	N/mm ²	mm %	mm		
67	SLE rare	-0.22149160	500.0	186.878	-8.23
68	SLE freq	-0.11412210	500.0	105.850	-4.44
69	SLE q.p.	-0.09101508	500.0	87.494	-3.57

Cedimento massimo in cmb n. 67 = -8.23 mm

Elemento Platea n. 149

EVO S.r.l.	 WE ENGINEERING	CODE CODICE	
		C23EOSW002S001R00	
		PAGE	
129 di/of 219			

Cmb.	Tipo	Car. Netto	Prof.	Sigm.Z/Sigm.Lit.	Cedim.Edom.
n.	N/mm ²	mm %	mm		
67	SLE rare	-0.22648240	500.0	175.807	-7.47
68	SLE freq	-0.12750010	500.0	107.202	-4.34
69	SLE q.p.	-0.10301840	500.0	90.574	-3.57

Cedimento massimo in cmb n. 67 = -7.47 mm

Elemento Platea n. 150

Cmb.	Tipo	Car. Netto	Prof.	Sigm.Z/Sigm.Lit.	Cedim.Edom.
n.	N/mm ²	mm %	mm		
67	SLE rare	-0.22648240	500.0	175.807	-7.47
68	SLE freq	-0.12750010	500.0	107.202	-4.34
69	SLE q.p.	-0.10452390	500.0	94.185	-3.65

Cedimento massimo in cmb n. 67 = -7.47 mm

Elemento Platea n. 151

Cmb.	Tipo	Car. Netto	Prof.	Sigm.Z/Sigm.Lit.	Cedim.Edom.
n.	N/mm ²	mm %	mm		
67	SLE rare	-0.20336380	500.0	167.104	-6.92
68	SLE freq	-0.12412280	500.0	108.304	-4.29
69	SLE q.p.	-0.10598040	500.0	97.163	-3.69

Cedimento massimo in cmb n. 67 = -6.92 mm

Elemento Platea n. 152

Cmb.	Tipo	Car. Netto	Prof.	Sigm.Z/Sigm.Lit.	Cedim.Edom.
n.	N/mm ²	mm %	mm		
67	SLE rare	-0.18163910	500.0	155.787	-6.23
68	SLE freq	-0.12098270	500.0	108.360	-4.19
69	SLE q.p.	-0.10743680	500.0	99.620	-3.72

Cedimento massimo in cmb n. 67 = -6.23 mm

Elemento Platea n. 153

Cmb.	Tipo	Car. Netto	Prof.	Sigm.Z/Sigm.Lit.	Cedim.Edom.
n.	N/mm ²	mm %	mm		

EVO S.r.l.	 WE ENGINEERING	CODE CODICE	
		C23EOSW002S001R00	
		PAGE	
130 di/of 219			

67	SLE rare	-0.15966650	500.0	142.350	-5.50
68	SLE freq	-0.11779330	500.0	107.552	-4.07
69	SLE q.p.	-0.10888990	500.0	101.440	-3.76

Cedimento massimo in cmb n. 67 = -5.50 mm

Elemento Platea n. 154

Cmb.	Tipo	Car. Netto	Prof.	Sigm.Z/Sigm.Lit.	Cedim.Edom.
n.	N/mm ²	mm %	mm		
67	SLE rare	-0.13745180	500.0	127.099	-4.75
68	SLE freq	-0.11455340	500.0	105.839	-3.94
69	SLE q.p.	-0.11061700	500.0	103.352	-3.81

Cedimento massimo in cmb n. 67 = -4.75 mm

Elemento Platea n. 155

Cmb.	Tipo	Car. Netto	Prof.	Sigm.Z/Sigm.Lit.	Cedim.Edom.
n.	N/mm ²	mm %	mm		
67	SLE rare	-0.29219510	500.0	119.684	-8.93
68	SLE freq	-0.11290710	500.0	49.350	-3.52
69	SLE q.p.	-0.06855278	500.0	31.972	-2.18

Cedimento massimo in cmb n. 67 = -8.93 mm

Elemento Platea n. 156

Cmb.	Tipo	Car. Netto	Prof.	Sigm.Z/Sigm.Lit.	Cedim.Edom.
n.	N/mm ²	mm %	mm		
67	SLE rare	-0.28891550	500.0	137.851	-10.29
68	SLE freq	-0.11279400	500.0	57.138	-4.08
69	SLE q.p.	-0.06922341	500.0	37.196	-2.55

Cedimento massimo in cmb n. 67 = -10.29 mm

Elemento Platea n. 157

Cmb.	Tipo	Car. Netto	Prof.	Sigm.Z/Sigm.Lit.	Cedim.Edom.
n.	N/mm ²	mm %	mm		
67	SLE rare	-0.28554870	500.0	154.382	-11.04
68	SLE freq	-0.11273060	500.0	64.443	-4.42

EVO S.r.l.	 WE ENGINEERING	CODE CODICE	
		C23EOSW002S001R00	
		PAGE	
131 di/of 219			

69	SLE q.p.	-0.06997737	500.0	42.222	-2.79
----	----------	-------------	-------	--------	-------

Cedimento massimo in cmb n. 67 = -11.04 mm

Elemento Platea n. 158

Cmb.	Tipo	Car. Netto	Prof.	Sigm.Z/Sigm.Lit.	Cedim.Edom.
n.	N/mm ²	mm %	mm		
67	SLE rare	-0.28203330	500.0	168.563	-11.43
68	SLE freq	-0.11271180	500.0	70.996	-4.63
69	SLE q.p.	-0.07082386	500.0	46.893	-2.95

Cedimento massimo in cmb n. 67 = -11.43 mm

Elemento Platea n. 159

Cmb.	Tipo	Car. Netto	Prof.	Sigm.Z/Sigm.Lit.	Cedim.Edom.
n.	N/mm ²	mm %	mm		
67	SLE rare	-0.27829920	500.0	180.073	-11.57
68	SLE freq	-0.11273090	500.0	76.682	-4.74
69	SLE q.p.	-0.07177166	500.0	51.143	-3.06

Cedimento massimo in cmb n. 67 = -11.57 mm

Elemento Platea n. 160

Cmb.	Tipo	Car. Netto	Prof.	Sigm.Z/Sigm.Lit.	Cedim.Edom.
n.	N/mm ²	mm %	mm		
67	SLE rare	-0.27430390	500.0	188.871	-11.54
68	SLE freq	-0.11278210	500.0	81.484	-4.80
69	SLE q.p.	-0.07282399	500.0	54.964	-3.13

Cedimento massimo in cmb n. 67 = -11.54 mm

Elemento Platea n. 161

Cmb.	Tipo	Car. Netto	Prof.	Sigm.Z/Sigm.Lit.	Cedim.Edom.
n.	N/mm ²	mm %	mm		
67	SLE rare	-0.27880470	500.0	188.871	-11.49
68	SLE freq	-0.11285720	500.0	85.494	-4.82
69	SLE q.p.	-0.07399098	500.0	58.417	-3.19

Cedimento massimo in cmb n. 67 = -11.49 mm

EVO S.r.l.		CODE CODICE
		C23EOSW002S001R00
PAGE		132 di/of 219

Elemento Platea n. 162

Cmb.	Tipo	Car. Netto	Prof.	Sigm.Z/Sigm.Lit.	Cedim.Edom.
n.	N/mm ²	mm %	mm		
67	SLE rare	-0.27450590	500.0	195.163	-11.34
68	SLE freq	-0.11295350	500.0	88.817	-4.80
69	SLE q.p.	-0.07528090	500.0	61.571	-3.23

Cedimento massimo in cmb n. 67 = -11.34 mm

Elemento Platea n. 163

Cmb.	Tipo	Car. Netto	Prof.	Sigm.Z/Sigm.Lit.	Cedim.Edom.
n.	N/mm ²	mm %	mm		
67	SLE rare	-0.26981090	500.0	199.206	-11.11
68	SLE freq	-0.11426450	500.0	88.817	-4.78
69	SLE q.p.	-0.07670076	500.0	64.509	-3.27

Cedimento massimo in cmb n. 67 = -11.11 mm

Elemento Platea n. 164

Cmb.	Tipo	Car. Netto	Prof.	Sigm.Z/Sigm.Lit.	Cedim.Edom.
n.	N/mm ²	mm %	mm		
67	SLE rare	-0.26466390	500.0	201.282	-10.81
68	SLE freq	-0.11446400	500.0	91.575	-4.75
69	SLE q.p.	-0.07825989	500.0	67.316	-3.29

Cedimento massimo in cmb n. 67 = -10.81 mm

Elemento Platea n. 165

Cmb.	Tipo	Car. Netto	Prof.	Sigm.Z/Sigm.Lit.	Cedim.Edom.
n.	N/mm ²	mm %	mm		
67	SLE rare	-0.25901280	500.0	201.659	-10.46
68	SLE freq	-0.11468110	500.0	93.889	-4.70
69	SLE q.p.	-0.07996644	500.0	70.086	-3.32

Cedimento massimo in cmb n. 67 = -10.46 mm

Elemento Platea n. 166

EVO S.r.l.	 <small>WE ENGINEERING</small>	CODE CODICE	
		C23EOSW002S001R00	
		PAGE	
133 di/of 219			

Cmb.	Tipo	Car. Netto	Prof.	Sigm.Z/Sigm.Lit.	Cedim.Edom.
n.	N/mm ²	mm %	mm		
67	SLE rare	-0.25280530	500.0	200.592	-10.07
68	SLE freq	-0.11491230	500.0	95.884	-4.65
69	SLE q.p.	-0.08182871	500.0	72.937	-3.34

Cedimento massimo in cmb n. 67 = -10.07 mm

Elemento Platea n. 167

Cmb.	Tipo	Car. Netto	Prof.	Sigm.Z/Sigm.Lit.	Cedim.Edom.
n.	N/mm ²	mm %	mm		
67	SLE rare	-0.24599150	500.0	198.350	-9.65
68	SLE freq	-0.11515490	500.0	97.708	-4.58
69	SLE q.p.	-0.08385575	500.0	76.028	-3.37

Cedimento massimo in cmb n. 67 = -9.65 mm

Elemento Platea n. 168

Cmb.	Tipo	Car. Netto	Prof.	Sigm.Z/Sigm.Lit.	Cedim.Edom.
n.	N/mm ²	mm %	mm		
67	SLE rare	-0.23852420	500.0	195.242	-9.19
68	SLE freq	-0.11540720	500.0	99.548	-4.51
69	SLE q.p.	-0.08605474	500.0	79.549	-3.40

Cedimento massimo in cmb n. 67 = -9.19 mm

Elemento Platea n. 169

Cmb.	Tipo	Car. Netto	Prof.	Sigm.Z/Sigm.Lit.	Cedim.Edom.
n.	N/mm ²	mm %	mm		
67	SLE rare	-0.23036270	500.0	191.589	-8.71
68	SLE freq	-0.11566770	500.0	101.619	-4.44
69	SLE q.p.	-0.08843797	500.0	83.331	-3.44

Cedimento massimo in cmb n. 67 = -8.71 mm

Elemento Platea n. 170

Cmb.	Tipo	Car. Netto	Prof.	Sigm.Z/Sigm.Lit.	Cedim.Edom.
n.	N/mm ²	mm %	mm		

EVO S.r.l.		CODE CODICE
		C23EOSW002S001R00
		PAGE
		134 di/of 219

67	SLE rare	-0.22149160	500.0	186.878	-8.23
68	SLE freq	-0.11412210	500.0	105.850	-4.44
69	SLE q.p.	-0.09101126	500.0	87.488	-3.57

Cedimento massimo in cmb n. 67 = -8.23 mm

Elemento Platea n. 171

Cmb.	Tipo	Car. Netto	Prof.	Sigm.Z/Sigm.Lit.	Cedim.Edom.
n.	N/mm ²	mm %	mm		
67	SLE rare	-0.22648240	500.0	175.807	-7.47
68	SLE freq	-0.12750010	500.0	107.202	-4.34
69	SLE q.p.	-0.10301450	500.0	90.567	-3.57

Cedimento massimo in cmb n. 67 = -7.47 mm

Elemento Platea n. 172

Cmb.	Tipo	Car. Netto	Prof.	Sigm.Z/Sigm.Lit.	Cedim.Edom.
n.	N/mm ²	mm %	mm		
67	SLE rare	-0.22648240	500.0	175.807	-7.47
68	SLE freq	-0.12750010	500.0	107.202	-4.34
69	SLE q.p.	-0.10452070	500.0	94.177	-3.65

Cedimento massimo in cmb n. 67 = -7.47 mm

Elemento Platea n. 173

Cmb.	Tipo	Car. Netto	Prof.	Sigm.Z/Sigm.Lit.	Cedim.Edom.
n.	N/mm ²	mm %	mm		
67	SLE rare	-0.20336380	500.0	167.104	-6.92
68	SLE freq	-0.12412280	500.0	108.304	-4.29
69	SLE q.p.	-0.10597780	500.0	97.154	-3.69

Cedimento massimo in cmb n. 67 = -6.92 mm

Elemento Platea n. 174

Cmb.	Tipo	Car. Netto	Prof.	Sigm.Z/Sigm.Lit.	Cedim.Edom.
n.	N/mm ²	mm %	mm		
67	SLE rare	-0.18163910	500.0	155.787	-6.23
68	SLE freq	-0.12098270	500.0	108.360	-4.19

EVO S.r.l.	 WE ENGINEERING	CODE CODICE
		C23EOSW002S001R00
		PAGE
		135 di/of 219

69	SLE q.p.	-0.10743500	500.0	99.612	-3.72
----	----------	-------------	-------	--------	-------

Cedimento massimo in cmb n. 67 = -6.23 mm

Elemento Platea n. 175

Cmb.	Tipo	Car. Netto	Prof.	Sigm.Z/Sigm.Lit.	Cedim.Edom.
n.	N/mm ²	mm %	mm		
67	SLE rare	-0.15966650	500.0	142.350	-5.50
68	SLE freq	-0.11779330	500.0	107.552	-4.07
69	SLE q.p.	-0.10888890	500.0	101.437	-3.76

Cedimento massimo in cmb n. 67 = -5.50 mm

Elemento Platea n. 176

Cmb.	Tipo	Car. Netto	Prof.	Sigm.Z/Sigm.Lit.	Cedim.Edom.
n.	N/mm ²	mm %	mm		
67	SLE rare	-0.13653590	500.0	127.099	-4.75
68	SLE freq	-0.11441830	500.0	105.839	-3.94
69	SLE q.p.	-0.11061700	500.0	103.352	-3.81

Cedimento massimo in cmb n. 67 = -4.75 mm

Elemento Platea n. 177

Cmb.	Tipo	Car. Netto	Prof.	Sigm.Z/Sigm.Lit.	Cedim.Edom.
n.	N/mm ²	mm %	mm		
67	SLE rare	-0.28501460	500.0	116.877	-8.71
68	SLE freq	-0.11184510	500.0	48.934	-3.49
69	SLE q.p.	-0.06993084	500.0	32.513	-2.22

Cedimento massimo in cmb n. 67 = -8.71 mm

Elemento Platea n. 178

Cmb.	Tipo	Car. Netto	Prof.	Sigm.Z/Sigm.Lit.	Cedim.Edom.
n.	N/mm ²	mm %	mm		
67	SLE rare	-0.28186230	500.0	134.629	-10.04
68	SLE freq	-0.11175120	500.0	56.661	-4.05
69	SLE q.p.	-0.07057782	500.0	37.816	-2.60

Cedimento massimo in cmb n. 67 = -10.04 mm

EVO S.r.l.	 WE ENGINEERING	CODE CODICE	
		C23EOSW002S001R00	
		PAGE	
136 di/of 219			

Elemento Platea n. 179

Cmb.	Tipo	Car. Netto	Prof.	Sigm.Z/Sigm.Lit.	Cedim.Edom.
n.	N/mm ²	mm %	mm		
67	SLE rare	-0.27862810	500.0	150.793	-10.78
68	SLE freq	-0.11170750	500.0	63.911	-4.38
69	SLE q.p.	-0.07130707	500.0	42.913	-2.84

Cedimento massimo in cmb n. 67 = -10.78 mm

Elemento Platea n. 180

Cmb.	Tipo	Car. Netto	Prof.	Sigm.Z/Sigm.Lit.	Cedim.Edom.
n.	N/mm ²	mm %	mm		
67	SLE rare	-0.27525310	500.0	164.670	-11.16
68	SLE freq	-0.11170970	500.0	70.419	-4.59
69	SLE q.p.	-0.07212736	500.0	47.643	-3.00

Cedimento massimo in cmb n. 67 = -11.16 mm

Elemento Platea n. 181

Cmb.	Tipo	Car. Netto	Prof.	Sigm.Z/Sigm.Lit.	Cedim.Edom.
n.	N/mm ²	mm %	mm		
67	SLE rare	-0.27166980	500.0	175.950	-11.30
68	SLE freq	-0.11175130	500.0	76.071	-4.70
69	SLE q.p.	-0.07304695	500.0	51.938	-3.11

Cedimento massimo in cmb n. 67 = -11.30 mm

Elemento Platea n. 182

Cmb.	Tipo	Car. Netto	Prof.	Sigm.Z/Sigm.Lit.	Cedim.Edom.
n.	N/mm ²	mm %	mm		
67	SLE rare	-0.26783700	500.0	184.591	-11.27
68	SLE freq	-0.11182660	500.0	80.850	-4.76
69	SLE q.p.	-0.07406882	500.0	55.789	-3.18

Cedimento massimo in cmb n. 67 = -11.27 mm

Elemento Platea n. 183

EVO S.r.l.	 WE ENGINEERING	CODE CODICE	
		C23EOSW002S001R00	
		PAGE	
137 di/of 219			

Cmb.	Tipo	Car. Netto	Prof.	Sigm.Z/Sigm.Lit.	Cedim.Edom.
n.	N/mm ²	mm %	mm		
67	SLE rare	-0.27220360	500.0	184.591	-11.22
68	SLE freq	-0.11192810	500.0	84.847	-4.78
69	SLE q.p.	-0.07520242	500.0	59.260	-3.24

Cedimento massimo in cmb n. 67 = -11.22 mm

Elemento Platea n. 184

Cmb.	Tipo	Car. Netto	Prof.	Sigm.Z/Sigm.Lit.	Cedim.Edom.
n.	N/mm ²	mm %	mm		
67	SLE rare	-0.26808350	500.0	190.795	-11.08
68	SLE freq	-0.11205310	500.0	88.166	-4.77
69	SLE q.p.	-0.07645576	500.0	62.420	-3.28

Cedimento massimo in cmb n. 67 = -11.08 mm

Elemento Platea n. 185

Cmb.	Tipo	Car. Netto	Prof.	Sigm.Z/Sigm.Lit.	Cedim.Edom.
n.	N/mm ²	mm %	mm		
67	SLE rare	-0.26358400	500.0	194.812	-10.85
68	SLE freq	-0.11334480	500.0	88.166	-4.74
69	SLE q.p.	-0.07783542	500.0	65.353	-3.31

Cedimento massimo in cmb n. 67 = -10.85 mm

Elemento Platea n. 186

Cmb.	Tipo	Car. Netto	Prof.	Sigm.Z/Sigm.Lit.	Cedim.Edom.
n.	N/mm ²	mm %	mm		
67	SLE rare	-0.25865130	500.0	196.920	-10.57
68	SLE freq	-0.11357620	500.0	90.928	-4.71
69	SLE q.p.	-0.07935037	500.0	68.144	-3.34

Cedimento massimo in cmb n. 67 = -10.57 mm

Elemento Platea n. 187

Cmb.	Tipo	Car. Netto	Prof.	Sigm.Z/Sigm.Lit.	Cedim.Edom.
n.	N/mm ²	mm %	mm		

EVO S.r.l.	 WE ENGINEERING	CODE CODICE	
		C23EOSW002S001R00	
		PAGE	
		138 di/of 219	

67	SLE rare	-0.25323550	500.0	197.380	-10.23
68	SLE freq	-0.11382820	500.0	93.254	-4.67
69	SLE q.p.	-0.08100840	500.0	70.890	-3.36

Cedimento massimo in cmb n. 67 = -10.23 mm

Elemento Platea n. 188

Cmb.	Tipo	Car. Netto	Prof.	Sigm.Z/Sigm.Lit.	Cedim.Edom.
n.	N/mm ²	mm %	mm		
67	SLE rare	-0.24728610	500.0	196.442	-9.86
68	SLE freq	-0.11409760	500.0	95.267	-4.61
69	SLE q.p.	-0.08281740	500.0	73.709	-3.38

Cedimento massimo in cmb n. 67 = -9.86 mm

Elemento Platea n. 189

Cmb.	Tipo	Car. Netto	Prof.	Sigm.Z/Sigm.Lit.	Cedim.Edom.
n.	N/mm ²	mm %	mm		
67	SLE rare	-0.24075520	500.0	194.369	-9.45
68	SLE freq	-0.11438220	500.0	97.116	-4.55
69	SLE q.p.	-0.08478618	500.0	76.762	-3.41

Cedimento massimo in cmb n. 67 = -9.45 mm

Elemento Platea n. 190

Cmb.	Tipo	Car. Netto	Prof.	Sigm.Z/Sigm.Lit.	Cedim.Edom.
n.	N/mm ²	mm %	mm		
67	SLE rare	-0.23359710	500.0	191.468	-9.01
68	SLE freq	-0.11468020	500.0	98.986	-4.48
69	SLE q.p.	-0.08692145	500.0	80.237	-3.43

Cedimento massimo in cmb n. 67 = -9.01 mm

Elemento Platea n. 191

Cmb.	Tipo	Car. Netto	Prof.	Sigm.Z/Sigm.Lit.	Cedim.Edom.
n.	N/mm ²	mm %	mm		
67	SLE rare	-0.22577300	500.0	188.053	-8.54
68	SLE freq	-0.11499060	500.0	101.091	-4.41

EVO S.r.l.		CODE CODICE
		C23EOSW002S001R00
		PAGE
		139 di/of 219

69 SLE q.p. -0.08923545 500.0 83.966 -3.47

Cedimento massimo in cmb n. 67 = -8.54 mm

Elemento Platea n. 192

Cmb.	Tipo	Car. Netto	Prof.	Sigm.Z/Sigm.Lit.	Cedim.Edom.
n.	N/mm ²	mm %	mm		
67	SLE rare	-0.21726830	500.0	183.625	-8.07
68	SLE freq	-0.11357090	500.0	105.410	-4.42
69	SLE q.p.	-0.09173446	500.0	88.061	-3.60

Cedimento massimo in cmb n. 67 = -8.07 mm

Elemento Platea n. 193

Cmb.	Tipo	Car. Netto	Prof.	Sigm.Z/Sigm.Lit.	Cedim.Edom.
n.	N/mm ²	mm %	mm		
67	SLE rare	-0.22252260	500.0	173.162	-7.35
68	SLE freq	-0.12691610	500.0	106.803	-4.32
69	SLE q.p.	-0.10378070	500.0	91.086	-3.60

Cedimento massimo in cmb n. 67 = -7.35 mm

Elemento Platea n. 194

Cmb.	Tipo	Car. Netto	Prof.	Sigm.Z/Sigm.Lit.	Cedim.Edom.
n.	N/mm ²	mm %	mm		
67	SLE rare	-0.22252260	500.0	173.162	-7.35
68	SLE freq	-0.12691610	500.0	106.803	-4.32
69	SLE q.p.	-0.10513400	500.0	94.616	-3.67

Cedimento massimo in cmb n. 67 = -7.35 mm

Elemento Platea n. 195

Cmb.	Tipo	Car. Netto	Prof.	Sigm.Z/Sigm.Lit.	Cedim.Edom.
n.	N/mm ²	mm %	mm		
67	SLE rare	-0.20019370	500.0	164.867	-6.82
68	SLE freq	-0.12365530	500.0	107.964	-4.28
69	SLE q.p.	-0.10644730	500.0	97.502	-3.70

Cedimento massimo in cmb n. 67 = -6.82 mm

EVO S.r.l.		CODE CODICE
		C23EOSW002S001R00
		PAGE
		140 di/of 219

Elemento Platea n. 196

Cmb.	Tipo	Car. Netto	Prof.	Sigm.Z/Sigm.Lit.	Cedim.Edom.
n.	N/mm ²	mm %	mm		
67	SLE rare	-0.17921260	500.0	154.021	-6.15
68	SLE freq	-0.12062480	500.0	108.089	-4.17
69	SLE q.p.	-0.10775910	500.0	99.858	-3.73

Cedimento massimo in cmb n. 67 = -6.15 mm

Elemento Platea n. 197

Cmb.	Tipo	Car. Netto	Prof.	Sigm.Z/Sigm.Lit.	Cedim.Edom.
n.	N/mm ²	mm %	mm		
67	SLE rare	-0.15799150	500.0	141.108	-5.45
68	SLE freq	-0.11754630	500.0	107.360	-4.06
69	SLE q.p.	-0.10906610	500.0	101.574	-3.76

Cedimento massimo in cmb n. 67 = -5.45 mm

Elemento Platea n. 198

Cmb.	Tipo	Car. Netto	Prof.	Sigm.Z/Sigm.Lit.	Cedim.Edom.
n.	N/mm ²	mm %	mm		
67	SLE rare	-0.13385260	500.0	126.419	-4.72
68	SLE freq	-0.11402340	500.0	105.732	-3.94
69	SLE q.p.	-0.11061700	500.0	103.352	-3.81

Cedimento massimo in cmb n. 67 = -4.72 mm

Elemento Platea n. 199

Cmb.	Tipo	Car. Netto	Prof.	Sigm.Z/Sigm.Lit.	Cedim.Edom.
n.	N/mm ²	mm %	mm		
67	SLE rare	-0.26399270	500.0	108.660	-8.08
68	SLE freq	-0.10874320	500.0	47.720	-3.39
69	SLE q.p.	-0.07212492	500.0	33.374	-2.29

Cedimento massimo in cmb n. 67 = -8.08 mm

Elemento Platea n. 200

EVO S.r.l.	 WE ENGINEERING	CODE CODICE	
		C23EOSW002S001R00	
		PAGE	
141 di/of 219			

Cmb.	Tipo	Car. Netto	Prof.	Sigm.Z/Sigm.Lit.	Cedim.Edom.
n.	N/mm ²	mm %	mm		
67	SLE rare	-0.26121240	500.0	125.200	-9.32
68	SLE freq	-0.10870470	500.0	55.267	-3.94
69	SLE q.p.	-0.07273429	500.0	38.804	-2.67

Cedimento massimo in cmb n. 67 = -9.32 mm

Elemento Platea n. 201

Cmb.	Tipo	Car. Netto	Prof.	Sigm.Z/Sigm.Lit.	Cedim.Edom.
n.	N/mm ²	mm %	mm		
67	SLE rare	-0.25836660	500.0	140.287	-10.00
68	SLE freq	-0.10871900	500.0	62.358	-4.27
69	SLE q.p.	-0.07342426	500.0	44.014	-2.92

Cedimento massimo in cmb n. 67 = -10.00 mm

Elemento Platea n. 202

Cmb.	Tipo	Car. Netto	Prof.	Sigm.Z/Sigm.Lit.	Cedim.Edom.
n.	N/mm ²	mm %	mm		
67	SLE rare	-0.25540240	500.0	153.277	-10.36
68	SLE freq	-0.10878240	500.0	68.735	-4.47
69	SLE q.p.	-0.07420283	500.0	48.837	-3.08

Cedimento massimo in cmb n. 67 = -10.36 mm

Elemento Platea n. 203

Cmb.	Tipo	Car. Netto	Prof.	Sigm.Z/Sigm.Lit.	Cedim.Edom.
n.	N/mm ²	mm %	mm		
67	SLE rare	-0.25225970	500.0	163.881	-10.50
68	SLE freq	-0.10888950	500.0	74.287	-4.59
69	SLE q.p.	-0.07507755	500.0	53.204	-3.19

Cedimento massimo in cmb n. 67 = -10.50 mm

Elemento Platea n. 204

Cmb.	Tipo	Car. Netto	Prof.	Sigm.Z/Sigm.Lit.	Cedim.Edom.
n.	N/mm ²	mm %	mm		

EVO S.r.l.	 WE ENGINEERING	CODE CODICE	
		C23EOSW002S001R00	
		PAGE	
		142 di/of 219	

67	SLE rare	-0.24890220	500.0	172.062	-10.48
68	SLE freq	-0.10903550	500.0	78.997	-4.64
69	SLE q.p.	-0.07605087	500.0	57.104	-3.27

Cedimento massimo in cmb n. 67 = -10.48 mm

Elemento Platea n. 205

Cmb.	Tipo	Car. Netto	Prof.	Sigm.Z/Sigm.Lit.	Cedim.Edom.
n.	N/mm ²	mm %	mm		
67	SLE rare	-0.25287570	500.0	172.062	-10.43
68	SLE freq	-0.10921390	500.0	82.955	-4.66
69	SLE q.p.	-0.07713137	500.0	60.603	-3.32

Cedimento massimo in cmb n. 67 = -10.43 mm

Elemento Platea n. 206

Cmb.	Tipo	Car. Netto	Prof.	Sigm.Z/Sigm.Lit.	Cedim.Edom.
n.	N/mm ²	mm %	mm		
67	SLE rare	-0.24927850	500.0	178.008	-10.31
68	SLE freq	-0.10942290	500.0	86.263	-4.66
69	SLE q.p.	-0.07832648	500.0	63.772	-3.36

Cedimento massimo in cmb n. 67 = -10.31 mm

Elemento Platea n. 207

Cmb.	Tipo	Car. Netto	Prof.	Sigm.Z/Sigm.Lit.	Cedim.Edom.
n.	N/mm ²	mm %	mm		
67	SLE rare	-0.24535120	500.0	181.953	-10.11
68	SLE freq	-0.11065830	500.0	86.263	-4.63
69	SLE q.p.	-0.07964218	500.0	66.696	-3.39

Cedimento massimo in cmb n. 67 = -10.11 mm

Elemento Platea n. 208

Cmb.	Tipo	Car. Netto	Prof.	Sigm.Z/Sigm.Lit.	Cedim.Edom.
n.	N/mm ²	mm %	mm		
67	SLE rare	-0.24104610	500.0	184.154	-9.86
68	SLE freq	-0.11098270	500.0	89.038	-4.61

EVO S.r.l.		CODE CODICE
		C23EOSW002S001R00
		PAGE
		143 di/of 219

69	SLE q.p.	-0.08108681	500.0	69.464	-3.41
----	----------	-------------	-------	--------	-------

Cedimento massimo in cmb n. 67 = -9.86 mm

Elemento Platea n. 209

Cmb.	Tipo	Car. Netto	Prof.	Sigm.Z/Sigm.Lit.	Cedim.Edom.
n.	N/mm ²	mm %	mm		
67	SLE rare	-0.23631880	500.0	184.857	-9.56
68	SLE freq	-0.11133660	500.0	91.399	-4.57
69	SLE q.p.	-0.08266758	500.0	72.171	-3.43

Cedimento massimo in cmb n. 67 = -9.56 mm

Elemento Platea n. 210

Cmb.	Tipo	Car. Netto	Prof.	Sigm.Z/Sigm.Lit.	Cedim.Edom.
n.	N/mm ²	mm %	mm		
67	SLE rare	-0.23112460	500.0	184.296	-9.22
68	SLE freq	-0.11171770	500.0	93.467	-4.52
69	SLE q.p.	-0.08439181	500.0	74.940	-3.45

Cedimento massimo in cmb n. 67 = -9.22 mm

Elemento Platea n. 211

Cmb.	Tipo	Car. Netto	Prof.	Sigm.Z/Sigm.Lit.	Cedim.Edom.
n.	N/mm ²	mm %	mm		
67	SLE rare	-0.22542130	500.0	182.722	-8.85
68	SLE freq	-0.11212450	500.0	95.387	-4.46
69	SLE q.p.	-0.08626773	500.0	77.931	-3.46

Cedimento massimo in cmb n. 67 = -8.85 mm

Elemento Platea n. 212

Cmb.	Tipo	Car. Netto	Prof.	Sigm.Z/Sigm.Lit.	Cedim.Edom.
n.	N/mm ²	mm %	mm		
67	SLE rare	-0.21916860	500.0	180.426	-8.46
68	SLE freq	-0.11255620	500.0	97.345	-4.40

Cedimento massimo in cmb n. 67 = -8.46 mm

EVO S.r.l.		CODE CODICE
		C23EOSW002S001R00
PAGE		144 di/of 219

Elemento Platea n. 213

Cmb.	Tipo	Car. Netto	Prof.	Sigm.Z/Sigm.Lit.	Cedim.Edom.
n.	N/mm ²	mm %	mm		
67	SLE rare	-0.21233190	500.0	177.713	-8.04
68	SLE freq	-0.11301230	500.0	99.551	-4.34
69	SLE q.p.	-0.09050538	500.0	84.978	-3.51

Cedimento massimo in cmb n. 67 = -8.04 mm

Elemento Platea n. 214

Cmb.	Tipo	Car. Netto	Prof.	Sigm.Z/Sigm.Lit.	Cedim.Edom.
n.	N/mm ²	mm %	mm		
67	SLE rare	-0.20489960	500.0	174.112	-7.62
68	SLE freq	-0.111195990	500.0	104.128	-4.36
69	SLE q.p.	-0.09288611	500.0	88.974	-3.64

Cedimento massimo in cmb n. 67 = -7.62 mm

Elemento Platea n. 215

Cmb.	Tipo	Car. Netto	Prof.	Sigm.Z/Sigm.Lit.	Cedim.Edom.
n.	N/mm ²	mm %	mm		
67	SLE rare	-0.21092390	500.0	165.433	-6.99
68	SLE freq	-0.12520930	500.0	105.641	-4.27
69	SLE q.p.	-0.10500080	500.0	91.912	-3.63

Cedimento massimo in cmb n. 67 = -6.99 mm

Elemento Platea n. 216

Cmb.	Tipo	Car. Netto	Prof.	Sigm.Z/Sigm.Lit.	Cedim.Edom.
n.	N/mm ²	mm %	mm		
67	SLE rare	-0.21092390	500.0	165.433	-6.99
68	SLE freq	-0.12520930	500.0	105.641	-4.27
69	SLE q.p.	-0.10611080	500.0	95.318	-3.70

Cedimento massimo in cmb n. 67 = -6.99 mm

Elemento Platea n. 217

EVO S.r.l.		CODE CODICE
		C23EOSW002S001R00
		PAGE
		145 di/of 219

Cmb.	Tipo	Car. Netto	Prof.	Sigm.Z/Sigm.Lit.	Cedim.Edom.
n.	N/mm ²	mm %	mm		
67	SLE rare	-0.19090820	500.0	158.332	-6.52
68	SLE freq	-0.12228890	500.0	106.977	-4.23
69	SLE q.p.	-0.10719500	500.0	98.058	-3.73

Cedimento massimo in cmb n. 67 = -6.52 mm

Elemento Platea n. 218

Cmb.	Tipo	Car. Netto	Prof.	Sigm.Z/Sigm.Lit.	Cedim.Edom.
n.	N/mm ²	mm %	mm		
67	SLE rare	-0.17210490	500.0	148.869	-5.92
68	SLE freq	-0.11957880	500.0	107.305	-4.14
69	SLE q.p.	-0.10827520	500.0	100.252	-3.75

Cedimento massimo in cmb n. 67 = -5.92 mm

Elemento Platea n. 219

Cmb.	Tipo	Car. Netto	Prof.	Sigm.Z/Sigm.Lit.	Cedim.Edom.
n.	N/mm ²	mm %	mm		
67	SLE rare	-0.15308490	500.0	137.488	-5.28
68	SLE freq	-0.11682420	500.0	106.803	-4.03
69	SLE q.p.	-0.10934830	500.0	101.793	-3.77

Cedimento massimo in cmb n. 67 = -5.28 mm

Elemento Platea n. 220

Cmb.	Tipo	Car. Netto	Prof.	Sigm.Z/Sigm.Lit.	Cedim.Edom.
n.	N/mm ²	mm %	mm		
67	SLE rare	-0.12958470	500.0	124.437	-4.63
68	SLE freq	-0.11339560	500.0	105.424	-3.92
69	SLE q.p.	-0.11061700	500.0	103.352	-3.81

Cedimento massimo in cmb n. 67 = -4.63 mm

Elemento Platea n. 221

Cmb.	Tipo	Car. Netto	Prof.	Sigm.Z/Sigm.Lit.	Cedim.Edom.
n.	N/mm ²	mm %	mm		

EVO S.r.l.	 WE ENGINEERING	CODE CODICE	
		C23EOSW002S001R00	
		PAGE	
		146 di/of 219	

67	SLE rare	-0.23056380	500.0	95.606	-7.07
68	SLE freq	-0.10381270	500.0	45.789	-3.24
69	SLE q.p.	-0.07498493	500.0	34.495	-2.37

Cedimento massimo in cmb n. 67 = -7.07 mm

Elemento Platea n. 222

Cmb.	Tipo	Car. Netto	Prof.	Sigm.Z/Sigm.Lit.	Cedim.Edom.
n.	N/mm ²	mm %	mm		
67	SLE rare	-0.22837530	500.0	110.220	-8.16
68	SLE freq	-0.10386250	500.0	53.052	-3.77
69	SLE q.p.	-0.07554533	500.0	40.092	-2.77

Cedimento massimo in cmb n. 67 = -8.16 mm

Elemento Platea n. 223

Cmb.	Tipo	Car. Netto	Prof.	Sigm.Z/Sigm.Lit.	Cedim.Edom.
n.	N/mm ²	mm %	mm		
67	SLE rare	-0.22614660	500.0	123.597	-8.77
68	SLE freq	-0.10396870	500.0	59.890	-4.09
69	SLE q.p.	-0.07618408	500.0	45.449	-3.02

Cedimento massimo in cmb n. 67 = -8.77 mm

Elemento Platea n. 224

Cmb.	Tipo	Car. Netto	Prof.	Sigm.Z/Sigm.Lit.	Cedim.Edom.
n.	N/mm ²	mm %	mm		
67	SLE rare	-0.22383560	500.0	135.177	-9.09
68	SLE freq	-0.10412940	500.0	66.058	-4.28
69	SLE q.p.	-0.07690834	500.0	50.395	-3.19

Cedimento massimo in cmb n. 67 = -9.09 mm

Elemento Platea n. 225

Cmb.	Tipo	Car. Netto	Prof.	Sigm.Z/Sigm.Lit.	Cedim.Edom.
n.	N/mm ²	mm %	mm		
67	SLE rare	-0.22139390	500.0	144.709	-9.22
68	SLE freq	-0.10434080	500.0	71.450	-4.40

EVO S.r.l.		CODE CODICE
		C23EOSW002S001R00
		PAGE
		147 di/of 219

69	SLE q.p.	-0.07772454	500.0	54.854	-3.30
----	----------	-------------	-------	--------	-------

Cedimento massimo in cmb n. 67 = -9.22 mm

Elemento Platea n. 226

Cmb.	Tipo	Car. Netto	Prof.	Sigm.Z/Sigm.Lit.	Cedim.Edom.
n.	N/mm ²	mm %	mm		
67	SLE rare	-0.21879180	500.0	152.161	-9.23
68	SLE freq	-0.10459910	500.0	76.053	-4.46
69	SLE q.p.	-0.07863462	500.0	58.819	-3.37

Cedimento massimo in cmb n. 67 = -9.23 mm

Elemento Platea n. 227

Cmb.	Tipo	Car. Netto	Prof.	Sigm.Z/Sigm.Lit.	Cedim.Edom.
n.	N/mm ²	mm %	mm		
67	SLE rare	-0.22214030	500.0	152.161	-9.18
68	SLE freq	-0.10489970	500.0	79.949	-4.48
69	SLE q.p.	-0.07964595	500.0	62.354	-3.43

Cedimento massimo in cmb n. 67 = -9.18 mm

Elemento Platea n. 228

Cmb.	Tipo	Car. Netto	Prof.	Sigm.Z/Sigm.Lit.	Cedim.Edom.
n.	N/mm ²	mm %	mm		
67	SLE rare	-0.21937440	500.0	157.700	-9.09
68	SLE freq	-0.10524220	500.0	83.239	-4.48
69	SLE q.p.	-0.08076524	500.0	65.534	-3.46

Cedimento massimo in cmb n. 67 = -9.09 mm

Elemento Platea n. 229

Cmb.	Tipo	Car. Netto	Prof.	Sigm.Z/Sigm.Lit.	Cedim.Edom.
n.	N/mm ²	mm %	mm		
67	SLE rare	-0.21635690	500.0	161.533	-8.94
68	SLE freq	-0.10562380	500.0	86.034	-4.46
69	SLE q.p.	-0.08199757	500.0	68.447	-3.49

Cedimento massimo in cmb n. 67 = -8.94 mm

EVO S.r.l.		CODE CODICE
		C23EOSW002S001R00
		PAGE
		148 di/of 219

Elemento Platea n. 230

Cmb.	Tipo	Car. Netto	Prof.	Sigm.Z/Sigm.Lit.	Cedim.Edom.
n.	N/mm ²	mm %	mm		
67	SLE rare	-0.21304940	500.0	163.886	-8.73
68	SLE freq	-0.10686020	500.0	86.034	-4.44
69	SLE q.p.	-0.08335055	500.0	71.183	-3.50

Cedimento massimo in cmb n. 67 = -8.73 mm

Elemento Platea n. 231

Cmb.	Tipo	Car. Netto	Prof.	Sigm.Z/Sigm.Lit.	Cedim.Edom.
n.	N/mm ²	mm %	mm		
67	SLE rare	-0.20941680	500.0	164.979	-8.49
68	SLE freq	-0.10737610	500.0	88.450	-4.41
69	SLE q.p.	-0.08483066	500.0	73.842	-3.52

Cedimento massimo in cmb n. 67 = -8.49 mm

Elemento Platea n. 232

Cmb.	Tipo	Car. Netto	Prof.	Sigm.Z/Sigm.Lit.	Cedim.Edom.
n.	N/mm ²	mm %	mm		
67	SLE rare	-0.20542360	500.0	165.022	-8.21
68	SLE freq	-0.10793470	500.0	90.604	-4.37
69	SLE q.p.	-0.08644438	500.0	76.544	-3.53

Cedimento massimo in cmb n. 67 = -8.21 mm

Elemento Platea n. 233

Cmb.	Tipo	Car. Netto	Prof.	Sigm.Z/Sigm.Lit.	Cedim.Edom.
n.	N/mm ²	mm %	mm		
67	SLE rare	-0.20103620	500.0	164.244	-7.91
68	SLE freq	-0.10853590	500.0	92.639	-4.32
69	SLE q.p.	-0.08819932	500.0	79.455	-3.54

Cedimento massimo in cmb n. 67 = -7.91 mm

Elemento Platea n. 234

EVO S.r.l.	 WE ENGINEERING	CODE CODICE	
		C23EOSW002S001R00	
		PAGE	
149 di/of 219			

Cmb.	Tipo	Car. Netto	Prof.	Sigm.Z/Sigm.Lit.	Cedim.Edom.
n.	N/mm ²	mm %	mm		
67	SLE rare	-0.19622290	500.0	162.914	-7.59
68	SLE freq	-0.10918010	500.0	94.736	-4.27
69	SLE q.p.	-0.09010106	500.0	82.765	-3.55

Cedimento massimo in cmb n. 67 = -7.59 mm

Elemento Platea n. 235

Cmb.	Tipo	Car. Netto	Prof.	Sigm.Z/Sigm.Lit.	Cedim.Edom.
n.	N/mm ²	mm %	mm		
67	SLE rare	-0.19095630	500.0	161.317	-7.25
68	SLE freq	-0.10986760	500.0	97.103	-4.22
69	SLE q.p.	-0.09216112	500.0	86.297	-3.58

Cedimento massimo in cmb n. 67 = -7.25 mm

Elemento Platea n. 236

Cmb.	Tipo	Car. Netto	Prof.	Sigm.Z/Sigm.Lit.	Cedim.Edom.
n.	N/mm ²	mm %	mm		
67	SLE rare	-0.18522920	500.0	159.036	-6.91
68	SLE freq	-0.10939900	500.0	102.092	-4.26
69	SLE q.p.	-0.09438765	500.0	90.164	-3.70

Cedimento massimo in cmb n. 67 = -6.91 mm

Elemento Platea n. 237

Cmb.	Tipo	Car. Netto	Prof.	Sigm.Z/Sigm.Lit.	Cedim.Edom.
n.	N/mm ²	mm %	mm		
67	SLE rare	-0.19247720	500.0	153.189	-6.41
68	SLE freq	-0.12249610	500.0	103.796	-4.18
69	SLE q.p.	-0.10659160	500.0	92.991	-3.68

Cedimento massimo in cmb n. 67 = -6.41 mm

Elemento Platea n. 238

Cmb.	Tipo	Car. Netto	Prof.	Sigm.Z/Sigm.Lit.	Cedim.Edom.
n.	N/mm ²	mm %	mm		

EVO S.r.l.	 WE ENGINEERING	CODE CODICE	
		C23EOSW002S001R00	
		PAGE	
		150 di/of 219	

67	SLE rare	-0.19247720	500.0	153.189	-6.41
68	SLE freq	-0.12249610	500.0	103.796	-4.18
69	SLE q.p.	-0.10738430	500.0	96.234	-3.74

Cedimento massimo in cmb n. 67 = -6.41 mm

Elemento Platea n. 239

Cmb.	Tipo	Car. Netto	Prof.	Sigm.Z/Sigm.Lit.	Cedim.Edom.
n.	N/mm ²	mm %	mm		
67	SLE rare	-0.17614050	500.0	147.982	-6.04
68	SLE freq	-0.12011670	500.0	105.409	-4.16
69	SLE q.p.	-0.10816980	500.0	98.785	-3.76

Cedimento massimo in cmb n. 67 = -6.04 mm

Elemento Platea n. 240

Cmb.	Tipo	Car. Netto	Prof.	Sigm.Z/Sigm.Lit.	Cedim.Edom.
n.	N/mm ²	mm %	mm		
67	SLE rare	-0.16080070	500.0	140.710	-5.55
68	SLE freq	-0.11791610	500.0	106.061	-4.08
69	SLE q.p.	-0.10894820	500.0	100.767	-3.77

Cedimento massimo in cmb n. 67 = -5.55 mm

Elemento Platea n. 241

Cmb.	Tipo	Car. Netto	Prof.	Sigm.Z/Sigm.Lit.	Cedim.Edom.
n.	N/mm ²	mm %	mm		
67	SLE rare	-0.14528110	500.0	131.755	-5.03
68	SLE freq	-0.11567640	500.0	105.922	-3.99
69	SLE q.p.	-0.10971640	500.0	102.078	-3.78

Cedimento massimo in cmb n. 67 = -5.03 mm

Elemento Platea n. 242

Cmb.	Tipo	Car. Netto	Prof.	Sigm.Z/Sigm.Lit.	Cedim.Edom.
n.	N/mm ²	mm %	mm		
67	SLE rare	-0.12402330	500.0	121.294	-4.49
68	SLE freq	-0.11257780	500.0	104.935	-3.90

EVO S.r.l.		CODE CODICE
		C23EOSW002S001R00
		PAGE
		151 di/of 219

69 SLE q.p. -0.11061700 500.0 103.352 -3.81

Cedimento massimo in cmb n. 67 = -4.49 mm

Elemento Platea n. 243

Cmb.	Tipo	Car. Netto	Prof.	Sigm.Z/Sigm.Lit.	Cedim.Edom.
n.	N/mm ²	mm %	mm		
67	SLE rare	-0.18700860	500.0	78.636	-5.76
68	SLE freq	-0.09738967	500.0	43.274	-3.05
69	SLE q.p.	-0.07831517	500.0	35.802	-2.47

Cedimento massimo in cmb n. 67 = -5.76 mm

Elemento Platea n. 244

Cmb.	Tipo	Car. Netto	Prof.	Sigm.Z/Sigm.Lit.	Cedim.Edom.
n.	N/mm ²	mm %	mm		
67	SLE rare	-0.18559090	500.0	90.746	-6.65
68	SLE freq	-0.09755445	500.0	50.166	-3.55
69	SLE q.p.	-0.07881857	500.0	41.591	-2.89

Cedimento massimo in cmb n. 67 = -6.65 mm

Elemento Platea n. 245

Cmb.	Tipo	Car. Netto	Prof.	Sigm.Z/Sigm.Lit.	Cedim.Edom.
n.	N/mm ²	mm %	mm		
67	SLE rare	-0.18416620	500.0	101.903	-7.16
68	SLE freq	-0.09778050	500.0	56.675	-3.85
69	SLE q.p.	-0.07939778	500.0	47.121	-3.15

Cedimento massimo in cmb n. 67 = -7.16 mm

Elemento Platea n. 246

Cmb.	Tipo	Car. Netto	Prof.	Sigm.Z/Sigm.Lit.	Cedim.Edom.
n.	N/mm ²	mm %	mm		
67	SLE rare	-0.18270600	500.0	111.652	-7.44
68	SLE freq	-0.09806787	500.0	62.571	-4.04
69	SLE q.p.	-0.08005883	500.0	52.208	-3.32

Cedimento massimo in cmb n. 67 = -7.44 mm

EVO S.r.l.		CODE CODICE
		C23EOSW002S001R00
PAGE		152 di/of 219

Elemento Platea n. 247

Cmb.	Tipo	Car. Netto	Prof.	Sigm.Z/Sigm.Lit.	Cedim.Edom.
n.	N/mm ²	mm %	mm		
67	SLE rare	-0.18117750	500.0	119.795	-7.57
68	SLE freq	-0.09841513	500.0	67.756	-4.15
69	SLE q.p.	-0.08080699	500.0	56.776	-3.43

Cedimento massimo in cmb n. 67 = -7.57 mm

Elemento Platea n. 248

Cmb.	Tipo	Car. Netto	Prof.	Sigm.Z/Sigm.Lit.	Cedim.Edom.
n.	N/mm ²	mm %	mm		
67	SLE rare	-0.17955960	500.0	126.307	-7.59
68	SLE freq	-0.09881961	500.0	72.216	-4.22
69	SLE q.p.	-0.08164351	500.0	60.815	-3.50

Cedimento massimo in cmb n. 67 = -7.59 mm

Elemento Platea n. 249

Cmb.	Tipo	Car. Netto	Prof.	Sigm.Z/Sigm.Lit.	Cedim.Edom.
n.	N/mm ²	mm %	mm		
67	SLE rare	-0.18209370	500.0	126.307	-7.56
68	SLE freq	-0.09927956	500.0	76.033	-4.25
69	SLE q.p.	-0.08257436	500.0	64.393	-3.55

Cedimento massimo in cmb n. 67 = -7.56 mm

Elemento Platea n. 250

Cmb.	Tipo	Car. Netto	Prof.	Sigm.Z/Sigm.Lit.	Cedim.Edom.
n.	N/mm ²	mm %	mm		
67	SLE rare	-0.18041100	500.0	131.325	-7.51
68	SLE freq	-0.09979599	500.0	79.299	-4.25
69	SLE q.p.	-0.08360535	500.0	67.587	-3.58

Cedimento massimo in cmb n. 67 = -7.51 mm

Elemento Platea n. 251

EVO S.r.l.	 WE ENGINEERING	CODE CODICE	
		C23EOSW002S001R00	
		PAGE	
		153 di/of 219	

Cmb.	Tipo	Car. Netto	Prof.	Sigm.Z/Sigm.Lit.	Cedim.Edom.
n.	N/mm ²	mm %	mm		
67	SLE rare	-0.17857860	500.0	135.020	-7.40
68	SLE freq	-0.10036780	500.0	82.121	-4.25
69	SLE q.p.	-0.08474069	500.0	70.487	-3.60

Cedimento massimo in cmb n. 67 = -7.40 mm

Elemento Platea n. 252

Cmb.	Tipo	Car. Netto	Prof.	Sigm.Z/Sigm.Lit.	Cedim.Edom.
n.	N/mm ²	mm %	mm		
67	SLE rare	-0.17657090	500.0	137.581	-7.26
68	SLE freq	-0.10099670	500.0	84.608	-4.23
69	SLE q.p.	-0.08598703	500.0	73.187	-3.61

Cedimento massimo in cmb n. 67 = -7.26 mm

Elemento Platea n. 253

Cmb.	Tipo	Car. Netto	Prof.	Sigm.Z/Sigm.Lit.	Cedim.Edom.
n.	N/mm ²	mm %	mm		
67	SLE rare	-0.17436450	500.0	139.189	-7.10
68	SLE freq	-0.10221680	500.0	84.608	-4.21
69	SLE q.p.	-0.08734995	500.0	75.787	-3.62

Cedimento massimo in cmb n. 67 = -7.10 mm

Elemento Platea n. 254

Cmb.	Tipo	Car. Netto	Prof.	Sigm.Z/Sigm.Lit.	Cedim.Edom.
n.	N/mm ²	mm %	mm		
67	SLE rare	-0.17193600	500.0	140.027	-6.90
68	SLE freq	-0.10300670	500.0	86.875	-4.18
69	SLE q.p.	-0.08883505	500.0	78.413	-3.62

Cedimento massimo in cmb n. 67 = -6.90 mm

Elemento Platea n. 255

Cmb.	Tipo	Car. Netto	Prof.	Sigm.Z/Sigm.Lit.	Cedim.Edom.
n.	N/mm ²	mm %	mm		

EVO S.r.l.	 WE ENGINEERING	CODE CODICE	
		C23EOSW002S001R00	
		PAGE	
		154 di/of 219	

67	SLE rare	-0.16926300	500.0	140.292	-6.69
68	SLE freq	-0.10386110	500.0	89.059	-4.14
69	SLE q.p.	-0.09044913	500.0	81.230	-3.63

Cedimento massimo in cmb n. 67 = -6.69 mm

Elemento Platea n. 256

Cmb.	Tipo	Car. Netto	Prof.	Sigm.Z/Sigm.Lit.	Cedim.Edom.
n.	N/mm ²	mm %	mm		
67	SLE rare	-0.16632500	500.0	140.225	-6.46
68	SLE freq	-0.10478190	500.0	91.337	-4.11
69	SLE q.p.	-0.09219700	500.0	84.431	-3.63

Cedimento massimo in cmb n. 67 = -6.46 mm

Elemento Platea n. 257

Cmb.	Tipo	Car. Netto	Prof.	Sigm.Z/Sigm.Lit.	Cedim.Edom.
n.	N/mm ²	mm %	mm		
67	SLE rare	-0.16310410	500.0	140.084	-6.22
68	SLE freq	-0.10577100	500.0	93.914	-4.07
69	SLE q.p.	-0.09408971	500.0	87.834	-3.65

Cedimento massimo in cmb n. 67 = -6.22 mm

Elemento Platea n. 258

Cmb.	Tipo	Car. Netto	Prof.	Sigm.Z/Sigm.Lit.	Cedim.Edom.
n.	N/mm ²	mm %	mm		
67	SLE rare	-0.15959850	500.0	139.517	-5.99
68	SLE freq	-0.10606280	500.0	99.439	-4.14
69	SLE q.p.	-0.09613665	500.0	91.551	-3.76

Cedimento massimo in cmb n. 67 = -5.99 mm

Elemento Platea n. 259

Cmb.	Tipo	Car. Netto	Prof.	Sigm.Z/Sigm.Lit.	Cedim.Edom.
n.	N/mm ²	mm %	mm		
67	SLE rare	-0.16844040	500.0	137.344	-5.66
68	SLE freq	-0.11896130	500.0	101.393	-4.07

EVO S.r.l.	 WE ENGINEERING	CODE CODICE
		C23EOSW002S001R00
		PAGE
		155 di/of 219

69	SLE q.p.	-0.10844460	500.0	94.248	-3.74
----	----------	-------------	-------	--------	-------

Cedimento massimo in cmb n. 67 = -5.66 mm

Elemento Platea n. 260

Cmb.	Tipo	Car. Netto	Prof.	Sigm.Z/Sigm.Lit.	Cedim.Edom.
n.	N/mm ²	mm %	mm		
67	SLE rare	-0.16844040	500.0	137.344	-5.66
68	SLE freq	-0.11896130	500.0	101.393	-4.07
69	SLE q.p.	-0.10886780	500.0	97.302	-3.79

Cedimento massimo in cmb n. 67 = -5.66 mm

Elemento Platea n. 261

Cmb.	Tipo	Car. Netto	Prof.	Sigm.Z/Sigm.Lit.	Cedim.Edom.
n.	N/mm ²	mm %	mm		
67	SLE rare	-0.15689750	500.0	134.589	-5.41
68	SLE freq	-0.11728690	500.0	103.368	-4.07
69	SLE q.p.	-0.10930540	500.0	99.632	-3.80

Cedimento massimo in cmb n. 67 = -5.41 mm

Elemento Platea n. 262

Cmb.	Tipo	Car. Netto	Prof.	Sigm.Z/Sigm.Lit.	Cedim.Edom.
n.	N/mm ²	mm %	mm		
67	SLE rare	-0.14607050	500.0	130.149	-5.06
68	SLE freq	-0.11575000	500.0	104.442	-4.01
69	SLE q.p.	-0.10930540	500.0	99.632	-3.80

Cedimento massimo in cmb n. 67 = -5.06 mm

Elemento Platea n. 263

Cmb.	Tipo	Car. Netto	Prof.	Sigm.Z/Sigm.Lit.	Cedim.Edom.
n.	N/mm ²	mm %	mm		
67	SLE rare	-0.13511210	500.0	124.327	-4.69
68	SLE freq	-0.11418100	500.0	104.775	-3.94
69	SLE q.p.	-0.11014520	500.0	102.412	-3.80

Cedimento massimo in cmb n. 67 = -4.69 mm

EVO S.r.l.		CODE CODICE
		C23EOSW002S001R00
PAGE		156 di/of 219

Elemento Platea n. 264

Cmb.	Tipo	Car. Netto	Prof.	Sigm.Z/Sigm.Lit.	Cedim.Edom.
n.	N/mm ²	mm %	mm		
67	SLE rare	-0.11754730	500.0	117.216	-4.31
68	SLE freq	-0.11162560	500.0	104.299	-3.88
69	SLE q.p.	-0.11061700	500.0	103.352	-3.81

Cedimento massimo in cmb n. 67 = -4.31 mm

Elemento Platea n. 265

Cmb.	Tipo	Car. Netto	Prof.	Sigm.Z/Sigm.Lit.	Cedim.Edom.
n.	N/mm ²	mm %	mm		
67	SLE rare	-0.13629620	500.0	59.011	-4.23
68	SLE freq	-0.08991139	500.0	40.346	-2.82
69	SLE q.p.	-0.08188757	500.0	37.204	-2.58

Cedimento massimo in cmb n. 67 = -4.23 mm

Elemento Platea n. 266

Cmb.	Tipo	Car. Netto	Prof.	Sigm.Z/Sigm.Lit.	Cedim.Edom.
n.	N/mm ²	mm %	mm		
67	SLE rare	-0.13577580	500.0	68.227	-4.90
68	SLE freq	-0.09021003	500.0	46.806	-3.29
69	SLE q.p.	-0.08232995	500.0	43.200	-3.01

Cedimento massimo in cmb n. 67 = -4.90 mm

Elemento Platea n. 267

Cmb.	Tipo	Car. Netto	Prof.	Sigm.Z/Sigm.Lit.	Cedim.Edom.
n.	N/mm ²	mm %	mm		
67	SLE rare	-0.13528700	500.0	76.819	-5.30
68	SLE freq	-0.09057563	500.0	52.931	-3.57
69	SLE q.p.	-0.08284538	500.0	48.914	-3.28

Cedimento massimo in cmb n. 67 = -5.30 mm

Elemento Platea n. 268

EVO S.r.l.	 WE ENGINEERING	CODE CODICE	
		C23EOSW002S001R00	
		PAGE	
		157 di/of 219	

Cmb.	Tipo	Car. Netto	Prof.	Sigm.Z/Sigm.Lit.	Cedim.Edom.
n.	N/mm ²	mm %	mm		
67	SLE rare	-0.13481750	500.0	84.460	-5.53
68	SLE freq	-0.09101056	500.0	58.510	-3.76
69	SLE q.p.	-0.08343873	500.0	54.153	-3.45

Cedimento massimo in cmb n. 67 = -5.53 mm

Elemento Platea n. 269

Cmb.	Tipo	Car. Netto	Prof.	Sigm.Z/Sigm.Lit.	Cedim.Edom.
n.	N/mm ²	mm %	mm		
67	SLE rare	-0.13435200	500.0	91.009	-5.65
68	SLE freq	-0.09151600	500.0	63.454	-3.87
69	SLE q.p.	-0.08411407	500.0	58.838	-3.56

Cedimento massimo in cmb n. 67 = -5.65 mm

Elemento Platea n. 270

Cmb.	Tipo	Car. Netto	Prof.	Sigm.Z/Sigm.Lit.	Cedim.Edom.
n.	N/mm ²	mm %	mm		
67	SLE rare	-0.13388010	500.0	96.447	-5.69
68	SLE freq	-0.09209084	500.0	67.750	-3.94
69	SLE q.p.	-0.08487178	500.0	62.957	-3.64

Cedimento massimo in cmb n. 67 = -5.69 mm

Elemento Platea n. 271

Cmb.	Tipo	Car. Netto	Prof.	Sigm.Z/Sigm.Lit.	Cedim.Edom.
n.	N/mm ²	mm %	mm		
67	SLE rare	-0.13338390	500.0	100.880	-5.69
68	SLE freq	-0.09273627	500.0	71.473	-3.97
69	SLE q.p.	-0.08571640	500.0	66.581	-3.68

Cedimento massimo in cmb n. 67 = -5.69 mm

Elemento Platea n. 272

Cmb.	Tipo	Car. Netto	Prof.	Sigm.Z/Sigm.Lit.	Cedim.Edom.
n.	N/mm ²	mm %	mm		

EVO S.r.l.	 <small>WE ENGINEERING</small>	CODE CODICE	
		C23EOSW002S001R00	
		PAGE	
		158 di/of 219	

67	SLE rare	-0.13504430	500.0	100.880	-5.66
68	SLE freq	-0.09345522	500.0	74.711	-3.99
69	SLE q.p.	-0.08665282	500.0	69.789	-3.71

Cedimento massimo in cmb n. 67 = -5.66 mm

Elemento Platea n. 273

Cmb.	Tipo	Car. Netto	Prof.	Sigm.Z/Sigm.Lit.	Cedim.Edom.
n.	N/mm ²	mm %	mm		
67	SLE rare	-0.13459200	500.0	104.434	-5.63
68	SLE freq	-0.09424867	500.0	77.564	-3.99
69	SLE q.p.	-0.08768421	500.0	72.676	-3.72

Cedimento massimo in cmb n. 67 = -5.63 mm

Elemento Platea n. 274

Cmb.	Tipo	Car. Netto	Prof.	Sigm.Z/Sigm.Lit.	Cedim.Edom.
n.	N/mm ²	mm %	mm		
67	SLE rare	-0.13409750	500.0	107.252	-5.56
68	SLE freq	-0.09512019	500.0	80.135	-3.99
69	SLE q.p.	-0.08881625	500.0	75.336	-3.73

Cedimento massimo in cmb n. 67 = -5.56 mm

Elemento Platea n. 275

Cmb.	Tipo	Car. Netto	Prof.	Sigm.Z/Sigm.Lit.	Cedim.Edom.
n.	N/mm ²	mm %	mm		
67	SLE rare	-0.13355180	500.0	109.474	-5.48
68	SLE freq	-0.09607226	500.0	82.533	-3.97
69	SLE q.p.	-0.09005351	500.0	77.875	-3.73

Cedimento massimo in cmb n. 67 = -5.48 mm

Elemento Platea n. 276

Cmb.	Tipo	Car. Netto	Prof.	Sigm.Z/Sigm.Lit.	Cedim.Edom.
n.	N/mm ²	mm %	mm		
67	SLE rare	-0.13294500	500.0	111.245	-5.38
68	SLE freq	-0.09710764	500.0	84.890	-3.95

EVO S.r.l.	 WE ENGINEERING	CODE CODICE
		C23EOSW002S001R00
		PAGE
		159 di/of 219

69	SLE q.p.	-0.09140074	500.0	80.419	-3.72
----	----------	-------------	-------	--------	-------

Cedimento massimo in cmb n. 67 = -5.38 mm

Elemento Platea n. 277

Cmb.	Tipo	Car. Netto	Prof.	Sigm.Z/Sigm.Lit.	Cedim.Edom.
n.	N/mm ²	mm %	mm		
67	SLE rare	-0.13226820	500.0	112.726	-5.27
68	SLE freq	-0.09841856	500.0	84.890	-3.93
69	SLE q.p.	-0.09286369	500.0	83.135	-3.72

Cedimento massimo in cmb n. 67 = -5.27 mm

Elemento Platea n. 278

Cmb.	Tipo	Car. Netto	Prof.	Sigm.Z/Sigm.Lit.	Cedim.Edom.
n.	N/mm ²	mm %	mm		
67	SLE rare	-0.13151360	500.0	114.124	-5.15
68	SLE freq	-0.09966153	500.0	87.380	-3.91
69	SLE q.p.	-0.09444652	500.0	86.220	-3.72

Cedimento massimo in cmb n. 67 = -5.15 mm

Elemento Platea n. 279

Cmb.	Tipo	Car. Netto	Prof.	Sigm.Z/Sigm.Lit.	Cedim.Edom.
n.	N/mm ²	mm %	mm		
67	SLE rare	-0.13067430	500.0	115.664	-5.03
68	SLE freq	-0.10075400	500.0	93.155	-3.90
69	SLE q.p.	-0.09615969	500.0	89.484	-3.73

Cedimento massimo in cmb n. 67 = -5.03 mm

Elemento Platea n. 280

Cmb.	Tipo	Car. Netto	Prof.	Sigm.Z/Sigm.Lit.	Cedim.Edom.
n.	N/mm ²	mm %	mm		
67	SLE rare	-0.12634720	500.0	118.459	-4.94
68	SLE freq	-0.10217880	500.0	96.351	-3.99
69	SLE q.p.	-0.09801390	500.0	93.041	-3.83

Cedimento massimo in cmb n. 67 = -4.94 mm

EVO S.r.l.		CODE CODICE
		C23EOSW002S001R00
PAGE		160 di/of 219

Elemento Platea n. 281

Cmb.	Tipo	Car. Netto	Prof.	Sigm.Z/Sigm.Lit.	Cedim.Edom.
n.	N/mm ²	mm %	mm		
67	SLE rare	-0.14045220	500.0	119.112	-4.80
68	SLE freq	-0.11484610	500.0	98.596	-3.94
69	SLE q.p.	-0.11043350	500.0	95.598	-3.81

Cedimento massimo in cmb n. 67 = -4.80 mm

Elemento Platea n. 282

Cmb.	Tipo	Car. Netto	Prof.	Sigm.Z/Sigm.Lit.	Cedim.Edom.
n.	N/mm ²	mm %	mm		
67	SLE rare	-0.14045220	500.0	119.112	-4.80
68	SLE freq	-0.11399240	500.0	100.993	-3.96
69	SLE q.p.	-0.11046010	500.0	98.449	-3.84

Cedimento massimo in cmb n. 67 = -4.80 mm

Elemento Platea n. 283

Cmb.	Tipo	Car. Netto	Prof.	Sigm.Z/Sigm.Lit.	Cedim.Edom.
n.	N/mm ²	mm %	mm		
67	SLE rare	-0.13449080	500.0	119.168	-4.69
68	SLE freq	-0.11399240	500.0	100.993	-3.96
69	SLE q.p.	-0.11046010	500.0	98.449	-3.84

Cedimento massimo in cmb n. 67 = -4.69 mm

Elemento Platea n. 284

Cmb.	Tipo	Car. Netto	Prof.	Sigm.Z/Sigm.Lit.	Cedim.Edom.
n.	N/mm ²	mm %	mm		
67	SLE rare	-0.12891860	500.0	117.974	-4.50
68	SLE freq	-0.11322800	500.0	102.559	-3.93

Cedimento massimo in cmb n. 67 = -4.50 mm

Elemento Platea n. 285

EVO S.r.l.	 WE ENGINEERING	CODE CODICE	
		C23EOSW002S001R00	
		PAGE	
161 di/of 219			

Cmb.	Tipo	Car. Netto	Prof.	Sigm.Z/Sigm.Lit.	Cedim.Edom.
n.	N/mm ²	mm %	mm		
67	SLE rare	-0.12327110	500.0	115.750	-4.31
68	SLE freq	-0.11243990	500.0	103.440	-3.89
69	SLE q.p.	-0.11057370	500.0	102.014	-3.82

Cedimento massimo in cmb n. 67 = -4.31 mm

Elemento Platea n. 286

Cmb.	Tipo	Car. Netto	Prof.	Sigm.Z/Sigm.Lit.	Cedim.Edom.
n.	N/mm ²	mm %	mm		
67	SLE rare	-0.11754730	500.0	112.493	-4.10
68	SLE freq	-0.11162560	500.0	103.560	-3.85
69	SLE q.p.	-0.11060540	500.0	102.770	-3.81

Cedimento massimo in cmb n. 67 = -4.10 mm

Elemento Platea n. 287

Cmb.	Tipo	Car. Netto	Prof.	Sigm.Z/Sigm.Lit.	Cedim.Edom.
n.	N/mm ²	mm %	mm		
67	SLE rare	-0.08188072	500.0	38.489	-2.60
68	SLE freq	-0.08188619	500.0	37.203	-2.58
69	SLE q.p.	-0.08545725	500.0	38.605	-2.69

Cedimento massimo in cmb n. 69 = -2.69 mm

Elemento Platea n. 288

Cmb.	Tipo	Car. Netto	Prof.	Sigm.Z/Sigm.Lit.	Cedim.Edom.
n.	N/mm ²	mm %	mm		
67	SLE rare	-0.08232325	500.0	44.674	-3.04
68	SLE freq	-0.08232862	500.0	43.200	-3.01
69	SLE q.p.	-0.08583890	500.0	44.808	-3.13

Cedimento massimo in cmb n. 69 = -3.13 mm

Elemento Platea n. 289

Cmb.	Tipo	Car. Netto	Prof.	Sigm.Z/Sigm.Lit.	Cedim.Edom.
n.	N/mm ²	mm %	mm		

EVO S.r.l.	 WE ENGINEERING	CODE CODICE	
		C23EOSW002S001R00	
		PAGE	
		162 di/of 219	

67	SLE rare	-0.08283875	500.0	50.588	-3.31
68	SLE freq	-0.08284407	500.0	48.913	-3.28
69	SLE q.p.	-0.08629084	500.0	50.706	-3.41

Cedimento massimo in cmb n. 69 = -3.41 mm

Elemento Platea n. 290

Cmb.	Tipo	Car. Netto	Prof.	Sigm.Z/Sigm.Lit.	Cedim.Edom.
n.	N/mm ²	mm %	mm		
67	SLE rare	-0.08343222	500.0	56.035	-3.49
68	SLE freq	-0.08343742	500.0	54.153	-3.45
69	SLE q.p.	-0.08681686	500.0	56.098	-3.59

Cedimento massimo in cmb n. 69 = -3.59 mm

Elemento Platea n. 291

Cmb.	Tipo	Car. Netto	Prof.	Sigm.Z/Sigm.Lit.	Cedim.Edom.
n.	N/mm ²	mm %	mm		
67	SLE rare	-0.08410760	500.0	60.930	-3.60
68	SLE freq	-0.08411278	500.0	58.837	-3.56
69	SLE q.p.	-0.08741963	500.0	60.899	-3.70

Cedimento massimo in cmb n. 69 = -3.70 mm

Elemento Platea n. 292

Cmb.	Tipo	Car. Netto	Prof.	Sigm.Z/Sigm.Lit.	Cedim.Edom.
n.	N/mm ²	mm %	mm		
67	SLE rare	-0.08486535	500.0	65.260	-3.68
68	SLE freq	-0.08487051	500.0	62.956	-3.63
69	SLE q.p.	-0.08809886	500.0	65.099	-3.77

Cedimento massimo in cmb n. 69 = -3.77 mm

Elemento Platea n. 293

Cmb.	Tipo	Car. Netto	Prof.	Sigm.Z/Sigm.Lit.	Cedim.Edom.
n.	N/mm ²	mm %	mm		
67	SLE rare	-0.08570995	500.0	69.094	-3.72
68	SLE freq	-0.08571509	500.0	66.580	-3.68

EVO S.r.l.		CODE CODICE
		C23EOSW002S001R00
		PAGE
		163 di/of 219

69 SLE q.p. -0.08885749 500.0 68.768 -3.81

Cedimento massimo in cmb n. 69 = -3.81 mm

Elemento Platea n. 294

Cmb.	Tipo	Car. Netto	Prof.	Sigm.Z/Sigm.Lit.	Cedim.Edom.
n.	N/mm ²	mm %	mm		
67	SLE rare	-0.08664636	500.0	72.510	-3.75
68	SLE freq	-0.08665154	500.0	69.788	-3.71
69	SLE q.p.	-0.08969963	500.0	71.991	-3.83

Cedimento massimo in cmb n. 69 = -3.83 mm

Elemento Platea n. 295

Cmb.	Tipo	Car. Netto	Prof.	Sigm.Z/Sigm.Lit.	Cedim.Edom.
n.	N/mm ²	mm %	mm		
67	SLE rare	-0.08767766	500.0	75.602	-3.77
68	SLE freq	-0.08768292	500.0	72.675	-3.72
69	SLE q.p.	-0.09062731	500.0	74.864	-3.84

Cedimento massimo in cmb n. 69 = -3.84 mm

Elemento Platea n. 296

Cmb.	Tipo	Car. Netto	Prof.	Sigm.Z/Sigm.Lit.	Cedim.Edom.
n.	N/mm ²	mm %	mm		
67	SLE rare	-0.08880955	500.0	78.465	-3.78
68	SLE freq	-0.08881489	500.0	75.336	-3.73
69	SLE q.p.	-0.09164522	500.0	77.486	-3.84

Cedimento massimo in cmb n. 69 = -3.84 mm

Elemento Platea n. 297

Cmb.	Tipo	Car. Netto	Prof.	Sigm.Z/Sigm.Lit.	Cedim.Edom.
n.	N/mm ²	mm %	mm		
67	SLE rare	-0.09004660	500.0	81.204	-3.78
68	SLE freq	-0.09005213	500.0	77.874	-3.73
69	SLE q.p.	-0.09275704	500.0	79.963	-3.84

Cedimento massimo in cmb n. 69 = -3.84 mm

EVO S.r.l.		CODE CODICE
		C23EOSW002S001R00
PAGE		164 di/of 219

Elemento Platea n. 298

Cmb.	Tipo	Car. Netto	Prof.	Sigm.Z/Sigm.Lit.	Cedim.Edom.
n.	N/mm ²	mm %	mm		
67	SLE rare	-0.09139346	500.0	83.945	-3.78
68	SLE freq	-0.09139927	500.0	80.418	-3.72
69	SLE q.p.	-0.09396648	500.0	82.425	-3.83

Cedimento massimo in cmb n. 69 = -3.83 mm

Elemento Platea n. 299

Cmb.	Tipo	Car. Netto	Prof.	Sigm.Z/Sigm.Lit.	Cedim.Edom.
n.	N/mm ²	mm %	mm		
67	SLE rare	-0.09285595	500.0	86.853	-3.78
68	SLE freq	-0.09286213	500.0	83.134	-3.72
69	SLE q.p.	-0.09527848	500.0	85.041	-3.81

Cedimento massimo in cmb n. 69 = -3.81 mm

Elemento Platea n. 300

Cmb.	Tipo	Car. Netto	Prof.	Sigm.Z/Sigm.Lit.	Cedim.Edom.
n.	N/mm ²	mm %	mm		
67	SLE rare	-0.09443808	500.0	90.121	-3.78
68	SLE freq	-0.09444483	500.0	86.218	-3.72
69	SLE q.p.	-0.09669632	500.0	88.009	-3.80

Cedimento massimo in cmb n. 69 = -3.80 mm

Elemento Platea n. 301

Cmb.	Tipo	Car. Netto	Prof.	Sigm.Z/Sigm.Lit.	Cedim.Edom.
n.	N/mm ²	mm %	mm		
67	SLE rare	-0.09615022	500.0	93.559	-3.79
68	SLE freq	-0.09615777	500.0	89.482	-3.73

Cedimento massimo in cmb n. 69 = -3.80 mm

Elemento Platea n. 302

EVO S.r.l.	 WE ENGINEERING	CODE CODICE	
		C23EOSW002S001R00	
		PAGE	
		165 di/of 219	

Cmb.	Tipo	Car. Netto	Prof.	Sigm.Z/Sigm.Lit.	Cedim.Edom.
n.	N/mm ²	mm %	mm		
67	SLE rare	-0.09800311	500.0	97.274	-3.90
68	SLE freq	-0.09801175	500.0	93.039	-3.83
69	SLE q.p.	-0.09989154	500.0	94.531	-3.90

Cedimento massimo in cmb n. 69 = -3.90 mm

Elemento Platea n. 303

Cmb.	Tipo	Car. Netto	Prof.	Sigm.Z/Sigm.Lit.	Cedim.Edom.
n.	N/mm ²	mm %	mm		
67	SLE rare	-0.11042090	500.0	99.939	-3.87
68	SLE freq	-0.11043100	500.0	95.595	-3.81
69	SLE q.p.	-0.11242280	500.0	96.949	-3.87

Cedimento massimo in cmb n. 67 = -3.87 mm

Elemento Platea n. 304

Cmb.	Tipo	Car. Netto	Prof.	Sigm.Z/Sigm.Lit.	Cedim.Edom.
n.	N/mm ²	mm %	mm		
67	SLE rare	-0.11044840	500.0	102.907	-3.91
68	SLE freq	-0.11045780	500.0	98.446	-3.84
69	SLE q.p.	-0.11205280	500.0	99.598	-3.90

Cedimento massimo in cmb n. 67 = -3.91 mm

Elemento Platea n. 305

Cmb.	Tipo	Car. Netto	Prof.	Sigm.Z/Sigm.Lit.	Cedim.Edom.
n.	N/mm ²	mm %	mm		
67	SLE rare	-0.11044840	500.0	102.907	-3.91
68	SLE freq	-0.11045780	500.0	98.446	-3.84
69	SLE q.p.	-0.11205280	500.0	99.598	-3.90

Cedimento massimo in cmb n. 67 = -3.91 mm

Elemento Platea n. 306

Cmb.	Tipo	Car. Netto	Prof.	Sigm.Z/Sigm.Lit.	Cedim.Edom.
n.	N/mm ²	mm %	mm		

EVO S.r.l.	 WE ENGINEERING	CODE CODICE	
		C23EOSW002S001R00	
		PAGE	
		166 di/of 219	

67	SLE rare	-0.11051430	500.0	105.099	-3.91
68	SLE freq	-0.11052230	500.0	100.539	-3.84
69	SLE q.p.	-0.11174360	500.0	101.455	-3.88

Cedimento massimo in cmb n. 67 = -3.91 mm

Elemento Platea n. 307

Cmb.	Tipo	Car. Netto	Prof.	Sigm.Z/Sigm.Lit.	Cedim.Edom.
n.	N/mm ²	mm %	mm		
67	SLE rare	-0.11056510	500.0	106.648	-3.90
68	SLE freq	-0.11057200	500.0	102.010	-3.82
69	SLE q.p.	-0.11141550	500.0	102.662	-3.85

Cedimento massimo in cmb n. 67 = -3.90 mm

Elemento Platea n. 308

Cmb.	Tipo	Car. Netto	Prof.	Sigm.Z/Sigm.Lit.	Cedim.Edom.
n.	N/mm ²	mm %	mm		
67	SLE rare	-0.11059800	500.0	107.459	-3.88
68	SLE freq	-0.11060400	500.0	102.766	-3.81
69	SLE q.p.	-0.11106580	500.0	103.128	-3.83

Cedimento massimo in cmb n. 67 = -3.88 mm

Elemento Platea n. 309

Cmb.	Tipo	Car. Netto	Prof.	Sigm.Z/Sigm.Lit.	Cedim.Edom.
n.	N/mm ²	mm %	mm		
67	SLE rare	-0.02746580	500.0	20.116	-1.08
68	SLE freq	-0.07385895	500.0	34.060	-2.34
69	SLE q.p.	-0.08877942	500.0	39.910	-2.79

Cedimento massimo in cmb n. 69 = -2.79 mm

Elemento Platea n. 310

Cmb.	Tipo	Car. Netto	Prof.	Sigm.Z/Sigm.Lit.	Cedim.Edom.
n.	N/mm ²	mm %	mm		
67	SLE rare	-0.02887142	500.0	23.541	-1.29
68	SLE freq	-0.07444540	500.0	39.593	-2.73

EVO S.r.l.	 WE ENGINEERING	CODE CODICE
		C23EOSW002S001R00
		PAGE
		167 di/of 219

69	SLE q.p.	-0.08910514	500.0	46.306	-3.25
----	----------	-------------	-------	--------	-------

Cedimento massimo in cmb n. 69 = -3.25 mm

Elemento Platea n. 311

Cmb.	Tipo	Car. Netto	Prof.	Sigm.Z/Sigm.Lit.	Cedim.Edom.
n.	N/mm ²	mm %	mm		
67	SLE rare	-0.03039146	500.0	26.991	-1.44
68	SLE freq	-0.07511096	500.0	44.895	-2.98
69	SLE q.p.	-0.08949856	500.0	52.376	-3.53

Cedimento massimo in cmb n. 69 = -3.53 mm

Elemento Platea n. 312

Cmb.	Tipo	Car. Netto	Prof.	Sigm.Z/Sigm.Lit.	Cedim.Edom.
n.	N/mm ²	mm %	mm		
67	SLE rare	-0.03204818	500.0	30.388	-1.57
68	SLE freq	-0.07586312	500.0	49.795	-3.15
69	SLE q.p.	-0.08996238	500.0	57.910	-3.71

Cedimento massimo in cmb n. 69 = -3.71 mm

Elemento Platea n. 313

Cmb.	Tipo	Car. Netto	Prof.	Sigm.Z/Sigm.Lit.	Cedim.Edom.
n.	N/mm ²	mm %	mm		
67	SLE rare	-0.03386461	500.0	33.698	-1.67
68	SLE freq	-0.07670863	500.0	54.221	-3.26
69	SLE q.p.	-0.09049813	500.0	62.820	-3.83

Cedimento massimo in cmb n. 69 = -3.83 mm

Elemento Platea n. 314

Cmb.	Tipo	Car. Netto	Prof.	Sigm.Z/Sigm.Lit.	Cedim.Edom.
n.	N/mm ²	mm %	mm		
67	SLE rare	-0.03585225	500.0	36.916	-1.77
68	SLE freq	-0.07764953	500.0	58.163	-3.33
69	SLE q.p.	-0.09110466	500.0	67.094	-3.89

Cedimento massimo in cmb n. 69 = -3.89 mm

EVO S.r.l.		CODE CODICE
		C23EOSW002S001R00
PAGE		168 di/of 219

Elemento Platea n. 315

Cmb.	Tipo	Car. Netto	Prof.	Sigm.Z/Sigm.Lit.	Cedim.Edom.
n.	N/mm ²	mm %	mm		
67	SLE rare	-0.03803792	500.0	40.080	-1.85
68	SLE freq	-0.07869361	500.0	61.687	-3.39
69	SLE q.p.	-0.09178369	500.0	70.806	-3.93

Cedimento massimo in cmb n. 69 = -3.93 mm

Elemento Platea n. 316

Cmb.	Tipo	Car. Netto	Prof.	Sigm.Z/Sigm.Lit.	Cedim.Edom.
n.	N/mm ²	mm %	mm		
67	SLE rare	-0.04044006	500.0	43.235	-1.94
68	SLE freq	-0.07984771	500.0	64.866	-3.42
69	SLE q.p.	-0.09253826	500.0	74.043	-3.95

Cedimento massimo in cmb n. 69 = -3.95 mm

Elemento Platea n. 317

Cmb.	Tipo	Car. Netto	Prof.	Sigm.Z/Sigm.Lit.	Cedim.Edom.
n.	N/mm ²	mm %	mm		
67	SLE rare	-0.04307697	500.0	46.437	-2.02
68	SLE freq	-0.08111725	500.0	67.786	-3.45
69	SLE q.p.	-0.09336962	500.0	76.904	-3.96

Cedimento massimo in cmb n. 69 = -3.96 mm

Elemento Platea n. 318

Cmb.	Tipo	Car. Netto	Prof.	Sigm.Z/Sigm.Lit.	Cedim.Edom.
n.	N/mm ²	mm %	mm		
67	SLE rare	-0.04596879	500.0	49.747	-2.11
68	SLE freq	-0.08250993	500.0	70.536	-3.47
69	SLE q.p.	-0.09428145	500.0	79.490	-3.95

Cedimento massimo in cmb n. 69 = -3.95 mm

Elemento Platea n. 319

EVO S.r.l.	 WE ENGINEERING	CODE CODICE	
		C23EOSW002S001R00	
		PAGE	
		169 di/of 219	

Cmb.	Tipo	Car. Netto	Prof.	Sigm.Z/Sigm.Lit.	Cedim.Edom.
n.	N/mm ²	mm %	mm		
67	SLE rare	-0.04913437	500.0	53.236	-2.21
68	SLE freq	-0.08403250	500.0	73.216	-3.48
69	SLE q.p.	-0.09527653	500.0	81.909	-3.94

Cedimento massimo in cmb n. 69 = -3.94 mm

Elemento Platea n. 320

Cmb.	Tipo	Car. Netto	Prof.	Sigm.Z/Sigm.Lit.	Cedim.Edom.
n.	N/mm ²	mm %	mm		
67	SLE rare	-0.05259219	500.0	56.997	-2.31
68	SLE freq	-0.08569162	500.0	75.946	-3.50
69	SLE q.p.	-0.09635772	500.0	84.294	-3.92

Cedimento massimo in cmb n. 69 = -3.92 mm

Elemento Platea n. 321

Cmb.	Tipo	Car. Netto	Prof.	Sigm.Z/Sigm.Lit.	Cedim.Edom.
n.	N/mm ²	mm %	mm		
67	SLE rare	-0.05636090	500.0	61.162	-2.42
68	SLE freq	-0.08749498	500.0	78.889	-3.51
69	SLE q.p.	-0.09752911	500.0	86.817	-3.90

Cedimento massimo in cmb n. 69 = -3.90 mm

Elemento Platea n. 322

Cmb.	Tipo	Car. Netto	Prof.	Sigm.Z/Sigm.Lit.	Cedim.Edom.
n.	N/mm ²	mm %	mm		
67	SLE rare	-0.06045596	500.0	65.897	-2.54
68	SLE freq	-0.08944827	500.0	82.236	-3.53
69	SLE q.p.	-0.09879327	500.0	89.676	-3.88

Cedimento massimo in cmb n. 69 = -3.88 mm

Elemento Platea n. 323

Cmb.	Tipo	Car. Netto	Prof.	Sigm.Z/Sigm.Lit.	Cedim.Edom.
n.	N/mm ²	mm %	mm		

EVO S.r.l.	 WE ENGINEERING	CODE CODICE	
		C23EOSW002S001R00	
		PAGE	
		170 di/of 219	

67	SLE rare	-0.06489445	500.0	71.101	-2.67
68	SLE freq	-0.09156288	500.0	85.811	-3.55
69	SLE q.p.	-0.10015970	500.0	92.673	-3.88

Cedimento massimo in cmb n. 69 = -3.88 mm

Elemento Platea n. 324

Cmb.	Tipo	Car. Netto	Prof.	Sigm.Z/Sigm.Lit.	Cedim.Edom.
n.	N/mm ²	mm %	mm		
67	SLE rare	-0.06966539	500.0	76.893	-2.88
68	SLE freq	-0.09384631	500.0	89.727	-3.68
69	SLE q.p.	-0.10164170	500.0	95.920	-3.97

Cedimento massimo in cmb n. 69 = -3.97 mm

Elemento Platea n. 325

Cmb.	Tipo	Car. Netto	Prof.	Sigm.Z/Sigm.Lit.	Cedim.Edom.
n.	N/mm ²	mm %	mm		
67	SLE rare	-0.08039582	500.0	81.393	-2.97
68	SLE freq	-0.10601740	500.0	92.596	-3.67
69	SLE q.p.	-0.11427700	500.0	98.209	-3.93

Cedimento massimo in cmb n. 69 = -3.93 mm

Elemento Platea n. 326

Cmb.	Tipo	Car. Netto	Prof.	Sigm.Z/Sigm.Lit.	Cedim.Edom.
n.	N/mm ²	mm %	mm		
67	SLE rare	-0.08640994	500.0	87.076	-3.15
68	SLE freq	-0.10692430	500.0	95.900	-3.73
69	SLE q.p.	-0.11353740	500.0	100.669	-3.95

Cedimento massimo in cmb n. 69 = -3.95 mm

Elemento Platea n. 327

Cmb.	Tipo	Car. Netto	Prof.	Sigm.Z/Sigm.Lit.	Cedim.Edom.
n.	N/mm ²	mm %	mm		
67	SLE rare	-0.09211184	500.0	92.483	-3.32
68	SLE freq	-0.10781730	500.0	98.520	-3.75

EVO S.r.l.	 WE ENGINEERING	CODE CODICE
		C23EOSW002S001R00
		PAGE
		171 di/of 219

69	SLE q.p.	-0.11353740	500.0	100.669	-3.95
----	----------	-------------	-------	---------	-------

Cedimento massimo in cmb n. 69 = -3.95 mm

Elemento Platea n. 328

Cmb.	Tipo	Car. Netto	Prof.	Sigm.Z/Sigm.Lit.	Cedim.Edom.
n.	N/mm ²	mm %	mm		
67	SLE rare	-0.09785992	500.0	97.672	-3.49
68	SLE freq	-0.10870430	500.0	100.581	-3.76
69	SLE q.p.	-0.11288010	500.0	102.307	-3.92

Cedimento massimo in cmb n. 69 = -3.92 mm

Elemento Platea n. 329

Cmb.	Tipo	Car. Netto	Prof.	Sigm.Z/Sigm.Lit.	Cedim.Edom.
n.	N/mm ²	mm %	mm		
67	SLE rare	-0.10364900	500.0	102.464	-3.65
68	SLE freq	-0.10958250	500.0	101.973	-3.78
69	SLE q.p.	-0.11220000	500.0	103.266	-3.88

Cedimento massimo in cmb n. 69 = -3.88 mm

Elemento Platea n. 330

Cmb.	Tipo	Car. Netto	Prof.	Sigm.Z/Sigm.Lit.	Cedim.Edom.
n.	N/mm ²	mm %	mm		
67	SLE rare	-0.10364900	500.0	108.069	-3.86
68	SLE freq	-0.10958250	500.0	103.349	-3.81
69	SLE q.p.	-0.11149500	500.0	103.463	-3.84

Cedimento massimo in cmb n. 67 = -3.86 mm

Elemento Platea n. 331

Cmb.	Tipo	Car. Netto	Prof.	Sigm.Z/Sigm.Lit.	Cedim.Edom.
n.	N/mm ²	mm %	mm		
67	SLE rare	0.00000000	500.0	8.082	-0.22
68	SLE freq	-0.06637423	500.0	31.131	-2.11
69	SLE q.p.	-0.09162828	500.0	41.030	-2.88

Cedimento massimo in cmb n. 69 = -2.88 mm

EVO S.r.l.		CODE CODICE
		C23EOSW002S001R00
PAGE		172 di/of 219

Elemento Platea n. 332

Cmb.	Tipo	Car. Netto	Prof.	Sigm.Z/Sigm.Lit.	Cedim.Edom.
n.	N/mm ²	mm %	mm		
67	SLE rare	0.00000000	500.0	9.562	-0.27
68	SLE freq	-0.06709552	500.0	36.232	-2.47
69	SLE q.p.	-0.09190684	500.0	47.593	-3.35

Cedimento massimo in cmb n. 69 = -3.35 mm

Elemento Platea n. 333

Cmb.	Tipo	Car. Netto	Prof.	Sigm.Z/Sigm.Lit.	Cedim.Edom.
n.	N/mm ²	mm %	mm		
67	SLE rare	0.00000000	500.0	11.183	-0.31
68	SLE freq	-0.06790166	500.0	41.150	-2.71
69	SLE q.p.	-0.09225143	500.0	53.810	-3.64

Cedimento massimo in cmb n. 69 = -3.64 mm

Elemento Platea n. 334

Cmb.	Tipo	Car. Netto	Prof.	Sigm.Z/Sigm.Lit.	Cedim.Edom.
n.	N/mm ²	mm %	mm		
67	SLE rare	0.00000000	500.0	12.942	-0.36
68	SLE freq	-0.06880232	500.0	45.733	-2.86
69	SLE q.p.	-0.09266277	500.0	59.466	-3.82

Cedimento massimo in cmb n. 69 = -3.82 mm

Elemento Platea n. 335

Cmb.	Tipo	Car. Netto	Prof.	Sigm.Z/Sigm.Lit.	Cedim.Edom.
n.	N/mm ²	mm %	mm		
67	SLE rare	0.00000000	500.0	14.848	-0.41
68	SLE freq	-0.06980699	500.0	49.918	-2.97
69	SLE q.p.	-0.09314150	500.0	64.470	-3.94

Cedimento massimo in cmb n. 69 = -3.94 mm

Elemento Platea n. 336

EVO S.r.l.	 WE ENGINEERING	CODE CODICE	
		C23EOSW002S001R00	
		PAGE	
173 di/of 219			

Cmb.	Tipo	Car. Netto	Prof.	Sigm.Z/Sigm.Lit.	Cedim.Edom.
n.	N/mm ²	mm %	mm		
67	SLE rare	0.00000000	500.0	16.919	-0.46
68	SLE freq	-0.07091909	500.0	53.696	-3.05
69	SLE q.p.	-0.09368607	500.0	68.808	-4.00

Cedimento massimo in cmb n. 69 = -4.00 mm

Elemento Platea n. 337

Cmb.	Tipo	Car. Netto	Prof.	Sigm.Z/Sigm.Lit.	Cedim.Edom.
n.	N/mm ²	mm %	mm		
67	SLE rare	0.00000000	500.0	19.192	-0.52
68	SLE freq	-0.07214945	500.0	57.127	-3.11
69	SLE q.p.	-0.09429695	500.0	72.557	-4.04

Cedimento massimo in cmb n. 69 = -4.04 mm

Elemento Platea n. 338

Cmb.	Tipo	Car. Netto	Prof.	Sigm.Z/Sigm.Lit.	Cedim.Edom.
n.	N/mm ²	mm %	mm		
67	SLE rare	0.00000000	500.0	21.709	-0.58
68	SLE freq	-0.07350681	500.0	60.278	-3.16
69	SLE q.p.	-0.09497657	500.0	75.806	-4.05

Cedimento massimo in cmb n. 69 = -4.05 mm

Elemento Platea n. 339

Cmb.	Tipo	Car. Netto	Prof.	Sigm.Z/Sigm.Lit.	Cedim.Edom.
n.	N/mm ²	mm %	mm		
67	SLE rare	-0.00151434	500.0	24.520	-0.67
68	SLE freq	-0.07499854	500.0	63.230	-3.19
69	SLE q.p.	-0.09572525	500.0	78.656	-4.05

Cedimento massimo in cmb n. 69 = -4.05 mm

Elemento Platea n. 340

Cmb.	Tipo	Car. Netto	Prof.	Sigm.Z/Sigm.Lit.	Cedim.Edom.
n.	N/mm ²	mm %	mm		

EVO S.r.l.	 WE ENGINEERING	CODE CODICE	
		C23EOSW002S001R00	
		PAGE	
		174 di/of 219	

67	SLE rare	-0.00604648	500.0	27.679	-0.80
68	SLE freq	-0.07663443	500.0	66.064	-3.23
69	SLE q.p.	-0.09654605	500.0	81.211	-4.04

Cedimento massimo in cmb n. 69 = -4.04 mm

Elemento Platea n. 341

Cmb.	Tipo	Car. Netto	Prof.	Sigm.Z/Sigm.Lit.	Cedim.Edom.
n.	N/mm ²	mm %	mm		
67	SLE rare	-0.01100936	500.0	31.252	-0.94
68	SLE freq	-0.07842308	500.0	68.875	-3.26
69	SLE q.p.	-0.09744089	500.0	83.581	-4.03

Cedimento massimo in cmb n. 69 = -4.03 mm

Elemento Platea n. 342

Cmb.	Tipo	Car. Netto	Prof.	Sigm.Z/Sigm.Lit.	Cedim.Edom.
n.	N/mm ²	mm %	mm		
67	SLE rare	-0.01643437	500.0	35.327	-1.10
68	SLE freq	-0.08037305	500.0	71.779	-3.29
69	SLE q.p.	-0.09866879	500.0	83.581	-4.01

Cedimento massimo in cmb n. 69 = -4.01 mm

Elemento Platea n. 343

Cmb.	Tipo	Car. Netto	Prof.	Sigm.Z/Sigm.Lit.	Cedim.Edom.
n.	N/mm ²	mm %	mm		
67	SLE rare	-0.02235223	500.0	40.030	-1.27
68	SLE freq	-0.08249374	500.0	74.933	-3.32
69	SLE q.p.	-0.09975280	500.0	85.901	-3.98

Cedimento massimo in cmb n. 69 = -3.98 mm

Elemento Platea n. 344

Cmb.	Tipo	Car. Netto	Prof.	Sigm.Z/Sigm.Lit.	Cedim.Edom.
n.	N/mm ²	mm %	mm		
67	SLE rare	-0.02878909	500.0	45.528	-1.46
68	SLE freq	-0.08479244	500.0	78.525	-3.35

EVO S.r.l.	 WE ENGINEERING	CODE CODICE
		C23EOSW002S001R00
		PAGE
		175 di/of 219

69	SLE q.p.	-0.10092280	500.0	88.343	-3.96
----	----------	-------------	-------	--------	-------

Cedimento massimo in cmb n. 69 = -3.96 mm

Elemento Platea n. 345

Cmb.	Tipo	Car. Netto	Prof.	Sigm.Z/Sigm.Lit.	Cedim.Edom.
n.	N/mm ²	mm %	mm		
67	SLE rare	-0.03576798	500.0	51.829	-1.68
68	SLE freq	-0.08728134	500.0	82.390	-3.39
69	SLE q.p.	-0.10181750	500.0	93.995	-3.94

Cedimento massimo in cmb n. 69 = -3.94 mm

Elemento Platea n. 346

Cmb.	Tipo	Car. Netto	Prof.	Sigm.Z/Sigm.Lit.	Cedim.Edom.
n.	N/mm ²	mm %	mm		
67	SLE rare	-0.04325798	500.0	59.075	-1.96
68	SLE freq	-0.08996493	500.0	86.642	-3.53
69	SLE q.p.	-0.10314520	500.0	97.115	-4.03

Cedimento massimo in cmb n. 69 = -4.03 mm

Elemento Platea n. 347

Cmb.	Tipo	Car. Netto	Prof.	Sigm.Z/Sigm.Lit.	Cedim.Edom.
n.	N/mm ²	mm %	mm		
67	SLE rare	-0.05241711	500.0	64.980	-2.14
68	SLE freq	-0.10190500	500.0	89.802	-3.54
69	SLE q.p.	-0.11586990	500.0	99.292	-3.98

Cedimento massimo in cmb n. 69 = -3.98 mm

Elemento Platea n. 348

Cmb.	Tipo	Car. Netto	Prof.	Sigm.Z/Sigm.Lit.	Cedim.Edom.
n.	N/mm ²	mm %	mm		
67	SLE rare	-0.06401052	500.0	72.874	-2.46
68	SLE freq	-0.10363200	500.0	93.528	-3.62

Cedimento massimo in cmb n. 69 = -3.99 mm

EVO S.r.l.		CODE CODICE
		C23EOSW002S001R00
PAGE		176 di/of 219

Elemento Platea n. 349

Cmb.	Tipo	Car. Netto	Prof.	Sigm.Z/Sigm.Lit.	Cedim.Edom.
n.	N/mm ²	mm %	mm		
67	SLE rare	-0.07496410	500.0	81.036	-2.78
68	SLE freq	-0.10529690	500.0	96.641	-3.66
69	SLE q.p.	-0.11481270	500.0	101.590	-3.99

Cedimento massimo in cmb n. 69 = -3.99 mm

Elemento Platea n. 350

Cmb.	Tipo	Car. Netto	Prof.	Sigm.Z/Sigm.Lit.	Cedim.Edom.
n.	N/mm ²	mm %	mm		
67	SLE rare	-0.08602095	500.0	89.448	-3.11
68	SLE freq	-0.10696430	500.0	99.250	-3.70
69	SLE q.p.	-0.11385640	500.0	103.039	-3.95

Cedimento massimo in cmb n. 69 = -3.95 mm

Elemento Platea n. 351

Cmb.	Tipo	Car. Netto	Prof.	Sigm.Z/Sigm.Lit.	Cedim.Edom.
n.	N/mm ²	mm %	mm		
67	SLE rare	-0.09717374	500.0	97.849	-3.45
68	SLE freq	-0.10863070	500.0	101.234	-3.75
69	SLE q.p.	-0.11287410	500.0	103.786	-3.90

Cedimento massimo in cmb n. 69 = -3.90 mm

Elemento Platea n. 352

Cmb.	Tipo	Car. Netto	Prof.	Sigm.Z/Sigm.Lit.	Cedim.Edom.
n.	N/mm ²	mm %	mm		
67	SLE rare	-0.09717374	500.0	108.069	-3.86
68	SLE freq	-0.10863070	500.0	103.349	-3.81

Cedimento massimo in cmb n. 67 = -3.86 mm

Elemento Platea n. 353

EVO S.r.l.	 WE ENGINEERING	CODE CODICE	
		C23EOSW002S001R00	
		PAGE	
177 di/of 219			

Cmb.	Tipo	Car. Netto	Prof.	Sigm.Z/Sigm.Lit.	Cedim.Edom.
n.	N/mm ²	mm %	mm		
67	SLE rare	0.00000000	500.0	3.100	-0.05
68	SLE freq	-0.05994185	500.0	28.615	-1.92
69	SLE q.p.	-0.09382372	500.0	41.892	-2.94

Cedimento massimo in cmb n. 69 = -2.94 mm

Elemento Platea n. 354

Cmb.	Tipo	Car. Netto	Prof.	Sigm.Z/Sigm.Lit.	Cedim.Edom.
n.	N/mm ²	mm %	mm		
67	SLE rare	0.00000000	500.0	3.688	-0.06
68	SLE freq	-0.06077993	500.0	33.345	-2.25
69	SLE q.p.	-0.09406491	500.0	48.582	-3.42

Cedimento massimo in cmb n. 69 = -3.42 mm

Elemento Platea n. 355

Cmb.	Tipo	Car. Netto	Prof.	Sigm.Z/Sigm.Lit.	Cedim.Edom.
n.	N/mm ²	mm %	mm		
67	SLE rare	0.00000000	500.0	4.382	-0.07
68	SLE freq	-0.06170815	500.0	37.934	-2.47
69	SLE q.p.	-0.09437042	500.0	54.913	-3.72

Cedimento massimo in cmb n. 69 = -3.72 mm

Elemento Platea n. 356

Cmb.	Tipo	Car. Netto	Prof.	Sigm.Z/Sigm.Lit.	Cedim.Edom.
n.	N/mm ²	mm %	mm		
67	SLE rare	0.00000000	500.0	5.200	-0.08
68	SLE freq	-0.06273731	500.0	42.246	-2.62
69	SLE q.p.	-0.09474026	500.0	60.663	-3.91

Cedimento massimo in cmb n. 69 = -3.91 mm

Elemento Platea n. 357

Cmb.	Tipo	Car. Netto	Prof.	Sigm.Z/Sigm.Lit.	Cedim.Edom.
n.	N/mm ²	mm %	mm		

EVO S.r.l.	 WE ENGINEERING	CODE CODICE	
		C23EOSW002S001R00	
		PAGE	
		178 di/of 219	

67	SLE rare	0.00000000	500.0	6.167	-0.10
68	SLE freq	-0.06387927	500.0	46.223	-2.73
69	SLE q.p.	-0.09517431	500.0	65.738	-4.02

Cedimento massimo in cmb n. 69 = -4.02 mm

Elemento Platea n. 358

Cmb.	Tipo	Car. Netto	Prof.	Sigm.Z/Sigm.Lit.	Cedim.Edom.
n.	N/mm ²	mm %	mm		
67	SLE rare	0.00000000	500.0	7.312	-0.12
68	SLE freq	-0.06513879	500.0	49.860	-2.81
69	SLE q.p.	-0.09567058	500.0	70.125	-4.09

Cedimento massimo in cmb n. 69 = -4.09 mm

Elemento Platea n. 359

Cmb.	Tipo	Car. Netto	Prof.	Sigm.Z/Sigm.Lit.	Cedim.Edom.
n.	N/mm ²	mm %	mm		
67	SLE rare	0.00000000	500.0	8.678	-0.15
68	SLE freq	-0.06652945	500.0	53.211	-2.88
69	SLE q.p.	-0.09622866	500.0	73.903	-4.12

Cedimento massimo in cmb n. 69 = -4.12 mm

Elemento Platea n. 360

Cmb.	Tipo	Car. Netto	Prof.	Sigm.Z/Sigm.Lit.	Cedim.Edom.
n.	N/mm ²	mm %	mm		
67	SLE rare	0.00000000	500.0	10.316	-0.18
68	SLE freq	-0.06806152	500.0	56.339	-2.93
69	SLE q.p.	-0.09685025	500.0	77.160	-4.13

Cedimento massimo in cmb n. 69 = -4.13 mm

Elemento Platea n. 361

Cmb.	Tipo	Car. Netto	Prof.	Sigm.Z/Sigm.Lit.	Cedim.Edom.
n.	N/mm ²	mm %	mm		
67	SLE rare	0.00000000	500.0	12.287	-0.22
68	SLE freq	-0.06974424	500.0	59.318	-2.98

EVO S.r.l.		CODE CODICE
		C23EOSW002S001R00
		PAGE
		179 di/of 219

69 SLE q.p. -0.09753519 500.0 80.002 -4.13

Cedimento massimo in cmb n. 69 = -4.13 mm

Elemento Platea n. 362

Cmb.	Tipo	Car. Netto	Prof.	Sigm.Z/Sigm.Lit.	Cedim.Edom.
n.	N/mm ²	mm %	mm		
67	SLE rare	0.00000000	500.0	14.670	-0.27
68	SLE freq	-0.07158905	500.0	62.225	-3.02
69	SLE q.p.	-0.09828582	500.0	82.533	-4.11

Cedimento massimo in cmb n. 69 = -4.11 mm

Elemento Platea n. 363

Cmb.	Tipo	Car. Netto	Prof.	Sigm.Z/Sigm.Lit.	Cedim.Edom.
n.	N/mm ²	mm %	mm		
67	SLE rare	0.00000000	500.0	17.562	-0.34
68	SLE freq	-0.07360619	500.0	65.148	-3.06
69	SLE q.p.	-0.09944583	500.0	82.533	-4.09

Cedimento massimo in cmb n. 69 = -4.09 mm

Elemento Platea n. 364

Cmb.	Tipo	Car. Netto	Prof.	Sigm.Z/Sigm.Lit.	Cedim.Edom.
n.	N/mm ²	mm %	mm		
67	SLE rare	0.00000000	500.0	21.090	-0.43
68	SLE freq	-0.07580586	500.0	68.201	-3.10
69	SLE q.p.	-0.10036890	500.0	84.866	-4.07

Cedimento massimo in cmb n. 69 = -4.07 mm

Elemento Platea n. 365

Cmb.	Tipo	Car. Netto	Prof.	Sigm.Z/Sigm.Lit.	Cedim.Edom.
n.	N/mm ²	mm %	mm		
67	SLE rare	0.00000000	500.0	25.424	-0.54
68	SLE freq	-0.07819902	500.0	71.537	-3.15
69	SLE q.p.	-0.10136690	500.0	87.135	-4.05

Cedimento massimo in cmb n. 69 = -4.05 mm

EVO S.r.l.		CODE CODICE
		C23EOSW002S001R00
PAGE		180 di/of 219

Elemento Platea n. 366

Cmb.	Tipo	Car. Netto	Prof.	Sigm.Z/Sigm.Lit.	Cedim.Edom.
n.	N/mm ²	mm %	mm		
67	SLE rare	-0.00159230	500.0	30.776	-0.70
68	SLE freq	-0.08079422	500.0	75.339	-3.20
69	SLE q.p.	-0.10244250	500.0	89.515	-4.02

Cedimento massimo in cmb n. 69 = -4.02 mm

Elemento Platea n. 367

Cmb.	Tipo	Car. Netto	Prof.	Sigm.Z/Sigm.Lit.	Cedim.Edom.
n.	N/mm ²	mm %	mm		
67	SLE rare	-0.01075218	500.0	37.285	-0.93
68	SLE freq	-0.08360440	500.0	79.453	-3.25
69	SLE q.p.	-0.10309050	500.0	95.011	-3.99

Cedimento massimo in cmb n. 69 = -3.99 mm

Elemento Platea n. 368

Cmb.	Tipo	Car. Netto	Prof.	Sigm.Z/Sigm.Lit.	Cedim.Edom.
n.	N/mm ²	mm %	mm		
67	SLE rare	-0.02057647	500.0	45.145	-1.23
68	SLE freq	-0.08663142	500.0	83.993	-3.40
69	SLE q.p.	-0.10429970	500.0	98.032	-4.07

Cedimento massimo in cmb n. 69 = -4.07 mm

Elemento Platea n. 369

Cmb.	Tipo	Car. Netto	Prof.	Sigm.Z/Sigm.Lit.	Cedim.Edom.
n.	N/mm ²	mm %	mm		
67	SLE rare	-0.02838637	500.0	51.863	-1.47
68	SLE freq	-0.09837319	500.0	87.404	-3.43
69	SLE q.p.	-0.11709300	500.0	100.124	-4.01

Cedimento massimo in cmb n. 69 = -4.01 mm

Elemento Platea n. 370

EVO S.r.l.	 WE ENGINEERING	CODE CODICE	
		C23EOSW002S001R00	
		PAGE	
181 di/of 219			

Cmb.	Tipo	Car. Netto	Prof.	Sigm.Z/Sigm.Lit.	Cedim.Edom.
n.	N/mm ²	mm %	mm		
67	SLE rare	-0.04477298	500.0	61.266	-1.88
68	SLE freq	-0.10080480	500.0	91.494	-3.53
69	SLE q.p.	-0.11579200	500.0	102.299	-4.02

Cedimento massimo in cmb n. 69 = -4.02 mm

Elemento Platea n. 371

Cmb.	Tipo	Car. Netto	Prof.	Sigm.Z/Sigm.Lit.	Cedim.Edom.
n.	N/mm ²	mm %	mm		
67	SLE rare	-0.06023827	500.0	71.515	-2.32
68	SLE freq	-0.10313280	500.0	95.029	-3.59
69	SLE q.p.	-0.11579200	500.0	102.299	-4.02

Cedimento massimo in cmb n. 69 = -4.02 mm

Elemento Platea n. 372

Cmb.	Tipo	Car. Netto	Prof.	Sigm.Z/Sigm.Lit.	Cedim.Edom.
n.	N/mm ²	mm %	mm		
67	SLE rare	-0.07585458	500.0	82.514	-2.79
68	SLE freq	-0.10547020	500.0	98.108	-3.65
69	SLE q.p.	-0.11460600	500.0	103.604	-3.97

Cedimento massimo in cmb n. 69 = -3.97 mm

Elemento Platea n. 373

Cmb.	Tipo	Car. Netto	Prof.	Sigm.Z/Sigm.Lit.	Cedim.Edom.
n.	N/mm ²	mm %	mm		
67	SLE rare	-0.09161346	500.0	93.919	-3.27
68	SLE freq	-0.10781360	500.0	100.601	-3.72
69	SLE q.p.	-0.11339170	500.0	104.186	-3.92

Cedimento massimo in cmb n. 69 = -3.92 mm

Elemento Platea n. 374

Cmb.	Tipo	Car. Netto	Prof.	Sigm.Z/Sigm.Lit.	Cedim.Edom.
n.	N/mm ²	mm %	mm		

EVO S.r.l.	 WE ENGINEERING	CODE CODICE	
		C23EOSW002S001R00	
		PAGE	
		182 di/of 219	

67	SLE rare	-0.09161346	500.0	108.069	-3.86
68	SLE freq	-0.10781360	500.0	103.349	-3.81
69	SLE q.p.	-0.11214670	500.0	103.972	-3.87

Cedimento massimo in cmb n. 69 = -3.87 mm

Elemento Platea n. 375

Cmb.	Tipo	Car. Netto	Prof.	Sigm.Z/Sigm.Lit.	Cedim.Edom.
n.	N/mm ²	mm %	mm		
67	SLE rare	0.00000000	500.0	1.564	-0.02
68	SLE freq	-0.05501402	500.0	26.686	-1.77
69	SLE q.p.	-0.09521763	500.0	42.437	-2.98

Cedimento massimo in cmb n. 69 = -2.98 mm

Elemento Platea n. 376

Cmb.	Tipo	Car. Netto	Prof.	Sigm.Z/Sigm.Lit.	Cedim.Edom.
n.	N/mm ²	mm %	mm		
67	SLE rare	0.00000000	500.0	1.854	-0.03
68	SLE freq	-0.05594052	500.0	31.132	-2.08
69	SLE q.p.	-0.09543356	500.0	49.207	-3.47

Cedimento massimo in cmb n. 69 = -3.47 mm

Elemento Platea n. 377

Cmb.	Tipo	Car. Netto	Prof.	Sigm.Z/Sigm.Lit.	Cedim.Edom.
n.	N/mm ²	mm %	mm		
67	SLE rare	0.00000000	500.0	2.207	-0.03
68	SLE freq	-0.05696091	500.0	35.468	-2.29
69	SLE q.p.	-0.09571221	500.0	55.609	-3.77

Cedimento massimo in cmb n. 69 = -3.77 mm

Elemento Platea n. 378

Cmb.	Tipo	Car. Netto	Prof.	Sigm.Z/Sigm.Lit.	Cedim.Edom.
n.	N/mm ²	mm %	mm		
67	SLE rare	0.00000000	500.0	2.638	-0.04
68	SLE freq	-0.05808753	500.0	39.571	-2.43

EVO S.r.l.		CODE CODICE
		C23EOSW002S001R00
		PAGE
		183 di/of 219

69	SLE q.p.	-0.09605411	500.0	61.418	-3.96
----	----------	-------------	-------	--------	-------

Cedimento massimo in cmb n. 69 = -3.96 mm

Elemento Platea n. 379

Cmb.	Tipo	Car. Netto	Prof.	Sigm.Z/Sigm.Lit.	Cedim.Edom.
n.	N/mm ²	mm %	mm		
67	SLE rare	0.00000000	500.0	3.166	-0.04
68	SLE freq	-0.05933387	500.0	43.390	-2.54
69	SLE q.p.	-0.09645837	500.0	66.538	-4.07

Cedimento massimo in cmb n. 69 = -4.07 mm

Elemento Platea n. 380

Cmb.	Tipo	Car. Netto	Prof.	Sigm.Z/Sigm.Lit.	Cedim.Edom.
n.	N/mm ²	mm %	mm		
67	SLE rare	0.00000000	500.0	3.818	-0.05
68	SLE freq	-0.06070590	500.0	46.918	-2.63
69	SLE q.p.	-0.09692325	500.0	70.957	-4.14

Cedimento massimo in cmb n. 69 = -4.14 mm

Elemento Platea n. 381

Cmb.	Tipo	Car. Netto	Prof.	Sigm.Z/Sigm.Lit.	Cedim.Edom.
n.	N/mm ²	mm %	mm		
67	SLE rare	0.00000000	500.0	4.630	-0.06
68	SLE freq	-0.06221901	500.0	50.208	-2.70
69	SLE q.p.	-0.09744767	500.0	74.752	-4.17

Cedimento massimo in cmb n. 69 = -4.17 mm

Elemento Platea n. 382

Cmb.	Tipo	Car. Netto	Prof.	Sigm.Z/Sigm.Lit.	Cedim.Edom.
n.	N/mm ²	mm %	mm		
67	SLE rare	0.00000000	500.0	5.647	-0.08
68	SLE freq	-0.06388477	500.0	53.318	-2.76
69	SLE q.p.	-0.09803230	500.0	78.015	-4.18

Cedimento massimo in cmb n. 69 = -4.18 mm

EVO S.r.l.		CODE CODICE
		C23EOSW002S001R00
PAGE		184 di/of 219

Elemento Platea n. 383

Cmb.	Tipo	Car. Netto	Prof.	Sigm.Z/Sigm.Lit.	Cedim.Edom.
n.	N/mm ²	mm %	mm		
67	SLE rare	0.00000000	500.0	6.934	-0.10
68	SLE freq	-0.06571366	500.0	56.317	-2.81
69	SLE q.p.	-0.09867664	500.0	80.851	-4.18

Cedimento massimo in cmb n. 69 = -4.18 mm

Elemento Platea n. 384

Cmb.	Tipo	Car. Netto	Prof.	Sigm.Z/Sigm.Lit.	Cedim.Edom.
n.	N/mm ²	mm %	mm		
67	SLE rare	0.00000000	500.0	8.575	-0.12
68	SLE freq	-0.06771851	500.0	59.279	-2.86
69	SLE q.p.	-0.09938272	500.0	83.367	-4.16

Cedimento massimo in cmb n. 69 = -4.16 mm

Elemento Platea n. 385

Cmb.	Tipo	Car. Netto	Prof.	Sigm.Z/Sigm.Lit.	Cedim.Edom.
n.	N/mm ²	mm %	mm		
67	SLE rare	0.00000000	500.0	10.686	-0.16
68	SLE freq	-0.06991082	500.0	62.290	-2.91
69	SLE q.p.	-0.10056700	500.0	83.367	-4.14

Cedimento massimo in cmb n. 69 = -4.14 mm

Elemento Platea n. 386

Cmb.	Tipo	Car. Netto	Prof.	Sigm.Z/Sigm.Lit.	Cedim.Edom.
n.	N/mm ²	mm %	mm		
67	SLE rare	0.00000000	500.0	13.426	-0.21
68	SLE freq	-0.07230196	500.0	65.457	-2.96
69	SLE q.p.	-0.10144050	500.0	85.676	-4.11

Cedimento massimo in cmb n. 69 = -4.11 mm

Elemento Platea n. 387

EVO S.r.l.	 WE ENGINEERING	CODE CODICE	
		C23EOSW002S001R00	
		PAGE	
		185 di/of 219	

Cmb.	Tipo	Car. Netto	Prof.	Sigm.Z/Sigm.Lit.	Cedim.Edom.
n.	N/mm ²	mm %	mm		
67	SLE rare	0.00000000	500.0	17.009	-0.27
68	SLE freq	-0.07490406	500.0	68.932	-3.02
69	SLE q.p.	-0.10238400	500.0	87.912	-4.08

Cedimento massimo in cmb n. 69 = -4.08 mm

Elemento Platea n. 388

Cmb.	Tipo	Car. Netto	Prof.	Sigm.Z/Sigm.Lit.	Cedim.Edom.
n.	N/mm ²	mm %	mm		
67	SLE rare	0.00000000	500.0	21.712	-0.37
68	SLE freq	-0.07772662	500.0	72.895	-3.08
69	SLE q.p.	-0.10339990	500.0	90.254	-4.05

Cedimento massimo in cmb n. 69 = -4.05 mm

Elemento Platea n. 389

Cmb.	Tipo	Car. Netto	Prof.	Sigm.Z/Sigm.Lit.	Cedim.Edom.
n.	N/mm ²	mm %	mm		
67	SLE rare	0.00000000	500.0	27.817	-0.52
68	SLE freq	-0.08078326	500.0	77.201	-3.15
69	SLE q.p.	-0.10449030	500.0	92.904	-4.02

Cedimento massimo in cmb n. 69 = -4.02 mm

Elemento Platea n. 390

Cmb.	Tipo	Car. Netto	Prof.	Sigm.Z/Sigm.Lit.	Cedim.Edom.
n.	N/mm ²	mm %	mm		
67	SLE rare	-0.00317019	500.0	35.620	-0.75
68	SLE freq	-0.08407380	500.0	81.962	-3.31
69	SLE q.p.	-0.10502670	500.0	98.611	-4.10

Cedimento massimo in cmb n. 69 = -4.10 mm

Elemento Platea n. 391

Cmb.	Tipo	Car. Netto	Prof.	Sigm.Z/Sigm.Lit.	Cedim.Edom.
n.	N/mm ²	mm %	mm		

EVO S.r.l.	 WE ENGINEERING	CODE CODICE	
		C23EOSW002S001R00	
		PAGE	
		186 di/of 219	

67	SLE rare	-0.00994481	500.0	42.619	-1.01
68	SLE freq	-0.09566337	500.0	85.565	-3.34
69	SLE q.p.	-0.11786300	500.0	100.649	-4.04

Cedimento massimo in cmb n. 69 = -4.04 mm

Elemento Platea n. 392

Cmb.	Tipo	Car. Netto	Prof.	Sigm.Z/Sigm.Lit.	Cedim.Edom.
n.	N/mm ²	mm %	mm		
67	SLE rare	-0.03000996	500.0	52.837	-1.46
68	SLE freq	-0.09863561	500.0	89.934	-3.46
69	SLE q.p.	-0.11640850	500.0	102.747	-4.04

Cedimento massimo in cmb n. 69 = -4.04 mm

Elemento Platea n. 393

Cmb.	Tipo	Car. Netto	Prof.	Sigm.Z/Sigm.Lit.	Cedim.Edom.
n.	N/mm ²	mm %	mm		
67	SLE rare	-0.04893795	500.0	64.449	-1.98
68	SLE freq	-0.10147240	500.0	93.794	-3.54
69	SLE q.p.	-0.11640850	500.0	102.747	-4.04

Cedimento massimo in cmb n. 69 = -4.04 mm

Elemento Platea n. 394

Cmb.	Tipo	Car. Netto	Prof.	Sigm.Z/Sigm.Lit.	Cedim.Edom.
n.	N/mm ²	mm %	mm		
67	SLE rare	-0.06805352	500.0	77.290	-2.54
68	SLE freq	-0.10432400	500.0	97.234	-3.62
69	SLE q.p.	-0.11507790	500.0	103.959	-3.99

Cedimento massimo in cmb n. 69 = -3.99 mm

Elemento Platea n. 395

Cmb.	Tipo	Car. Netto	Prof.	Sigm.Z/Sigm.Lit.	Cedim.Edom.
n.	N/mm ²	mm %	mm		
67	SLE rare	-0.08734699	500.0	90.928	-3.13
68	SLE freq	-0.10718670	500.0	100.116	-3.70

EVO S.r.l.	 WE ENGINEERING	CODE CODICE
		C23EOSW002S001R00
		PAGE
		187 di/of 219

69	SLE q.p.	-0.11371740	500.0	104.439	-3.93
----	----------	-------------	-------	---------	-------

Cedimento massimo in cmb n. 69 = -3.93 mm

Elemento Platea n. 396

Cmb.	Tipo	Car. Netto	Prof.	Sigm.Z/Sigm.Lit.	Cedim.Edom.
n.	N/mm ²	mm %	mm		
67	SLE rare	-0.08734699	500.0	108.069	-3.86
68	SLE freq	-0.10718670	500.0	103.349	-3.81
69	SLE q.p.	-0.11232480	500.0	104.111	-3.87

Cedimento massimo in cmb n. 69 = -3.87 mm

Elemento Platea n. 397

Cmb.	Tipo	Car. Netto	Prof.	Sigm.Z/Sigm.Lit.	Cedim.Edom.
n.	N/mm ²	mm %	mm		
67	SLE rare	0.00000000	500.0	1.070	-0.01
68	SLE freq	-0.05192844	500.0	25.476	-1.68
69	SLE q.p.	-0.09570400	500.0	42.626	-3.00

Cedimento massimo in cmb n. 69 = -3.00 mm

Elemento Platea n. 398

Cmb.	Tipo	Car. Netto	Prof.	Sigm.Z/Sigm.Lit.	Cedim.Edom.
n.	N/mm ²	mm %	mm		
67	SLE rare	0.00000000	500.0	1.263	-0.02
68	SLE freq	-0.05290880	500.0	29.743	-1.97
69	SLE q.p.	-0.09591078	500.0	49.424	-3.49

Cedimento massimo in cmb n. 69 = -3.49 mm

Elemento Platea n. 399

Cmb.	Tipo	Car. Netto	Prof.	Sigm.Z/Sigm.Lit.	Cedim.Edom.
n.	N/mm ²	mm %	mm		
67	SLE rare	0.00000000	500.0	1.500	-0.02
68	SLE freq	-0.05398488	500.0	33.921	-2.17
69	SLE q.p.	-0.09617981	500.0	55.851	-3.79

Cedimento massimo in cmb n. 69 = -3.79 mm

EVO S.r.l.	 WE ENGINEERING	CODE CODICE	
		C23EOSW002S001R00	
		PAGE	
188 di/of 219			

Elemento Platea n. 400

Cmb.	Tipo	Car. Netto	Prof.	Sigm.Z/Sigm.Lit.	Cedim.Edom.
n.	N/mm ²	mm %	mm		
67	SLE rare	0.00000000	500.0	1.791	-0.02
68	SLE freq	-0.05517094	500.0	37.893	-2.32
69	SLE q.p.	-0.09651165	500.0	61.681	-3.98

Cedimento massimo in cmb n. 69 = -3.98 mm

Elemento Platea n. 401

Cmb.	Tipo	Car. Netto	Prof.	Sigm.Z/Sigm.Lit.	Cedim.Edom.
n.	N/mm ²	mm %	mm		
67	SLE rare	0.00000000	500.0	2.153	-0.03
68	SLE freq	-0.05648128	500.0	41.612	-2.43
69	SLE q.p.	-0.09690516	500.0	66.816	-4.09

Cedimento massimo in cmb n. 69 = -4.09 mm

Elemento Platea n. 402

Cmb.	Tipo	Car. Netto	Prof.	Sigm.Z/Sigm.Lit.	Cedim.Edom.
n.	N/mm ²	mm %	mm		
67	SLE rare	0.00000000	500.0	2.606	-0.03
68	SLE freq	-0.05792303	500.0	45.071	-2.51
69	SLE q.p.	-0.09735858	500.0	71.245	-4.16

Cedimento massimo in cmb n. 69 = -4.16 mm

Elemento Platea n. 403

Cmb.	Tipo	Car. Netto	Prof.	Sigm.Z/Sigm.Lit.	Cedim.Edom.
n.	N/mm ²	mm %	mm		
67	SLE rare	0.00000000	500.0	3.179	-0.04
68	SLE freq	-0.05951279	500.0	48.323	-2.58
69	SLE q.p.	-0.09787061	500.0	75.046	-4.19

Cedimento massimo in cmb n. 69 = -4.19 mm

Elemento Platea n. 404

EVO S.r.l.	 <small>WE ENGINEERING</small>	CODE CODICE	
		C23EOSW002S001R00	
		PAGE	
		189 di/of 219	

Cmb.	Tipo	Car. Netto	Prof.	Sigm.Z/Sigm.Lit.	Cedim.Edom.
n.	N/mm ²	mm %	mm		
67	SLE rare	0.00000000	500.0	3.911	-0.05
68	SLE freq	-0.06126208	500.0	51.421	-2.65
69	SLE q.p.	-0.09844180	500.0	78.311	-4.20

Cedimento massimo in cmb n. 69 = -4.20 mm

Elemento Platea n. 405

Cmb.	Tipo	Car. Netto	Prof.	Sigm.Z/Sigm.Lit.	Cedim.Edom.
n.	N/mm ²	mm %	mm		
67	SLE rare	0.00000000	500.0	4.859	-0.06
68	SLE freq	-0.06318249	500.0	54.433	-2.71
69	SLE q.p.	-0.09907155	500.0	81.145	-4.19

Cedimento massimo in cmb n. 69 = -4.19 mm

Elemento Platea n. 406

Cmb.	Tipo	Car. Netto	Prof.	Sigm.Z/Sigm.Lit.	Cedim.Edom.
n.	N/mm ²	mm %	mm		
67	SLE rare	0.00000000	500.0	6.100	-0.08
68	SLE freq	-0.06528755	500.0	57.430	-2.76
69	SLE q.p.	-0.09976174	500.0	83.655	-4.17

Cedimento massimo in cmb n. 69 = -4.17 mm

Elemento Platea n. 407

Cmb.	Tipo	Car. Netto	Prof.	Sigm.Z/Sigm.Lit.	Cedim.Edom.
n.	N/mm ²	mm %	mm		
67	SLE rare	0.00000000	500.0	7.749	-0.10
68	SLE freq	-0.06758959	500.0	60.494	-2.82
69	SLE q.p.	-0.10095440	500.0	83.655	-4.15

Cedimento massimo in cmb n. 69 = -4.15 mm

Elemento Platea n. 408

Cmb.	Tipo	Car. Netto	Prof.	Sigm.Z/Sigm.Lit.	Cedim.Edom.
n.	N/mm ²	mm %	mm		

EVO S.r.l.	 WE ENGINEERING	CODE CODICE	
		C23EOSW002S001R00	
		PAGE	
		190 di/of 219	

67	SLE rare	0.00000000	500.0	9.966	-0.14
68	SLE freq	-0.07010081	500.0	63.734	-2.88
69	SLE q.p.	-0.10181040	500.0	85.955	-4.13

Cedimento massimo in cmb n. 69 = -4.13 mm

Elemento Platea n. 409

Cmb.	Tipo	Car. Netto	Prof.	Sigm.Z/Sigm.Lit.	Cedim.Edom.
n.	N/mm ²	mm %	mm		
67	SLE rare	0.00000000	500.0	12.983	-0.18
68	SLE freq	-0.07283396	500.0	67.296	-2.94
69	SLE q.p.	-0.10273480	500.0	88.181	-4.10

Cedimento massimo in cmb n. 69 = -4.10 mm

Elemento Platea n. 410

Cmb.	Tipo	Car. Netto	Prof.	Sigm.Z/Sigm.Lit.	Cedim.Edom.
n.	N/mm ²	mm %	mm		
67	SLE rare	0.00000000	500.0	17.114	-0.25
68	SLE freq	-0.07579928	500.0	71.361	-3.00
69	SLE q.p.	-0.10372980	500.0	90.509	-4.06

Cedimento massimo in cmb n. 69 = -4.06 mm

Elemento Platea n. 411

Cmb.	Tipo	Car. Netto	Prof.	Sigm.Z/Sigm.Lit.	Cedim.Edom.
n.	N/mm ²	mm %	mm		
67	SLE rare	0.00000000	500.0	22.740	-0.36
68	SLE freq	-0.07901063	500.0	75.786	-3.08
69	SLE q.p.	-0.10479740	500.0	93.143	-4.03

Cedimento massimo in cmb n. 69 = -4.03 mm

Elemento Platea n. 412

Cmb.	Tipo	Car. Netto	Prof.	Sigm.Z/Sigm.Lit.	Cedim.Edom.
n.	N/mm ²	mm %	mm		
67	SLE rare	0.00000000	500.0	30.257	-0.54
68	SLE freq	-0.08246671	500.0	80.687	-3.25

EVO S.r.l.	 WE ENGINEERING	CODE CODICE
		C23EOSW002S001R00
		PAGE
		191 di/of 219

69 SLE q.p. -0.10527650 500.0 98.811 -4.11

Cedimento massimo in cmb n. 69 = -4.11 mm

Elemento Platea n. 413

Cmb.	Tipo	Car. Netto	Prof.	Sigm.Z/Sigm.Lit.	Cedim.Edom.
n.	N/mm ²	mm %	mm		
67	SLE rare	0.00000000	500.0	37.254	-0.76
68	SLE freq	-0.09396056	500.0	84.411	-3.29
69	SLE q.p.	-0.11812750	500.0	100.832	-4.05

Cedimento massimo in cmb n. 69 = -4.05 mm

Elemento Platea n. 414

Cmb.	Tipo	Car. Netto	Prof.	Sigm.Z/Sigm.Lit.	Cedim.Edom.
n.	N/mm ²	mm %	mm		
67	SLE rare	-0.02072862	500.0	47.797	-1.21
68	SLE freq	-0.09727253	500.0	88.956	-3.41
69	SLE q.p.	-0.11812750	500.0	100.832	-4.05

Cedimento massimo in cmb n. 69 = -4.05 mm

Elemento Platea n. 415

Cmb.	Tipo	Car. Netto	Prof.	Sigm.Z/Sigm.Lit.	Cedim.Edom.
n.	N/mm ²	mm %	mm		
67	SLE rare	-0.04183390	500.0	60.131	-1.77
68	SLE freq	-0.10042910	500.0	93.019	-3.50
69	SLE q.p.	-0.11662020	500.0	102.903	-4.05

Cedimento massimo in cmb n. 69 = -4.05 mm

Elemento Platea n. 416

Cmb.	Tipo	Car. Netto	Prof.	Sigm.Z/Sigm.Lit.	Cedim.Edom.
n.	N/mm ²	mm %	mm		
67	SLE rare	-0.06314956	500.0	74.055	-2.39
68	SLE freq	-0.10360390	500.0	96.686	-3.59
69	SLE q.p.	-0.11523990	500.0	104.083	-4.00

Cedimento massimo in cmb n. 69 = -4.00 mm

EVO S.r.l.		CODE CODICE
		C23EOSW002S001R00
PAGE		192 di/of 219

Elemento Platea n. 417

Cmb.	Tipo	Car. Netto	Prof.	Sigm.Z/Sigm.Lit.	Cedim.Edom.
n.	N/mm ²	mm %	mm		
67	SLE rare	-0.08466514	500.0	89.060	-3.05
68	SLE freq	-0.10679290	500.0	99.811	-3.69
69	SLE q.p.	-0.11382920	500.0	104.528	-3.93

Cedimento massimo in cmb n. 69 = -3.93 mm

Elemento Platea n. 418

Cmb.	Tipo	Car. Netto	Prof.	Sigm.Z/Sigm.Lit.	Cedim.Edom.
n.	N/mm ²	mm %	mm		
67	SLE rare	-0.08466514	500.0	108.069	-3.86
68	SLE freq	-0.10679290	500.0	103.349	-3.81
69	SLE q.p.	-0.11238600	500.0	104.160	-3.87

Cedimento massimo in cmb n. 69 = -3.87 mm

Elemento Platea n. 419

Cmb.	Tipo	Car. Netto	Prof.	Sigm.Z/Sigm.Lit.	Cedim.Edom.
n.	N/mm ²	mm %	mm		
67	SLE rare	0.00000000	500.0	1.070	-0.01
68	SLE freq	-0.05195433	500.0	25.484	-1.68
69	SLE q.p.	-0.09570400	500.0	42.626	-3.00

Cedimento massimo in cmb n. 69 = -3.00 mm

Elemento Platea n. 420

Cmb.	Tipo	Car. Netto	Prof.	Sigm.Z/Sigm.Lit.	Cedim.Edom.
n.	N/mm ²	mm %	mm		
67	SLE rare	0.00000000	500.0	1.264	-0.02
68	SLE freq	-0.05293301	500.0	29.752	-1.98
69	SLE q.p.	-0.09591078	500.0	49.424	-3.49

Cedimento massimo in cmb n. 69 = -3.49 mm

Elemento Platea n. 421

EVO S.r.l.	 WE ENGINEERING	CODE CODICE	
		C23EOSW002S001R00	
		PAGE	
193 di/of 219			

Cmb.	Tipo	Car. Netto	Prof.	Sigm.Z/Sigm.Lit.	Cedim.Edom.
n.	N/mm ²	mm %	mm		
67	SLE rare	0.00000000	500.0	1.500	-0.02
68	SLE freq	-0.05400738	500.0	33.931	-2.17
69	SLE q.p.	-0.09617981	500.0	55.851	-3.79

Cedimento massimo in cmb n. 69 = -3.79 mm

Elemento Platea n. 422

Cmb.	Tipo	Car. Netto	Prof.	Sigm.Z/Sigm.Lit.	Cedim.Edom.
n.	N/mm ²	mm %	mm		
67	SLE rare	0.00000000	500.0	1.791	-0.02
68	SLE freq	-0.05519179	500.0	37.903	-2.32
69	SLE q.p.	-0.09651165	500.0	61.681	-3.98

Cedimento massimo in cmb n. 69 = -3.98 mm

Elemento Platea n. 423

Cmb.	Tipo	Car. Netto	Prof.	Sigm.Z/Sigm.Lit.	Cedim.Edom.
n.	N/mm ²	mm %	mm		
67	SLE rare	0.00000000	500.0	2.154	-0.03
68	SLE freq	-0.05650070	500.0	41.622	-2.43
69	SLE q.p.	-0.09690516	500.0	66.816	-4.09

Cedimento massimo in cmb n. 69 = -4.09 mm

Elemento Platea n. 424

Cmb.	Tipo	Car. Netto	Prof.	Sigm.Z/Sigm.Lit.	Cedim.Edom.
n.	N/mm ²	mm %	mm		
67	SLE rare	0.00000000	500.0	2.606	-0.03
68	SLE freq	-0.05794054	500.0	45.082	-2.51
69	SLE q.p.	-0.09735858	500.0	71.245	-4.16

Cedimento massimo in cmb n. 69 = -4.16 mm

Elemento Platea n. 425

Cmb.	Tipo	Car. Netto	Prof.	Sigm.Z/Sigm.Lit.	Cedim.Edom.
n.	N/mm ²	mm %	mm		

EVO S.r.l.	 WE ENGINEERING	CODE CODICE	
		C23EOSW002S001R00	
		PAGE	
		194 di/of 219	

67	SLE rare	0.00000000	500.0	3.179	-0.04
68	SLE freq	-0.05952805	500.0	48.333	-2.58
69	SLE q.p.	-0.09787061	500.0	75.046	-4.19

Cedimento massimo in cmb n. 69 = -4.19 mm

Elemento Platea n. 426

Cmb.	Tipo	Car. Netto	Prof.	Sigm.Z/Sigm.Lit.	Cedim.Edom.
n.	N/mm ²	mm %	mm		
67	SLE rare	0.00000000	500.0	3.912	-0.05
68	SLE freq	-0.06127545	500.0	51.431	-2.65
69	SLE q.p.	-0.09844180	500.0	78.311	-4.20

Cedimento massimo in cmb n. 69 = -4.20 mm

Elemento Platea n. 427

Cmb.	Tipo	Car. Netto	Prof.	Sigm.Z/Sigm.Lit.	Cedim.Edom.
n.	N/mm ²	mm %	mm		
67	SLE rare	0.00000000	500.0	4.860	-0.06
68	SLE freq	-0.06319413	500.0	54.442	-2.71
69	SLE q.p.	-0.09907155	500.0	81.145	-4.19

Cedimento massimo in cmb n. 69 = -4.19 mm

Elemento Platea n. 428

Cmb.	Tipo	Car. Netto	Prof.	Sigm.Z/Sigm.Lit.	Cedim.Edom.
n.	N/mm ²	mm %	mm		
67	SLE rare	0.00000000	500.0	6.101	-0.08
68	SLE freq	-0.06529763	500.0	57.438	-2.76
69	SLE q.p.	-0.09976174	500.0	83.655	-4.17

Cedimento massimo in cmb n. 69 = -4.17 mm

Elemento Platea n. 429

Cmb.	Tipo	Car. Netto	Prof.	Sigm.Z/Sigm.Lit.	Cedim.Edom.
n.	N/mm ²	mm %	mm		
67	SLE rare	0.00000000	500.0	7.750	-0.10
68	SLE freq	-0.06759830	500.0	60.502	-2.82

EVO S.r.l.		CODE CODICE
		C23EOSW002S001R00
		PAGE
		195 di/of 219

69 SLE q.p. -0.10095440 500.0 83.655 -4.15

Cedimento massimo in cmb n. 69 = -4.15 mm

Elemento Platea n. 430

Cmb.	Tipo	Car. Netto	Prof.	Sigm.Z/Sigm.Lit.	Cedim.Edom.
n.	N/mm ²	mm %	mm		
67	SLE rare	0.00000000	500.0	9.968	-0.14
68	SLE freq	-0.07010825	500.0	63.741	-2.88
69	SLE q.p.	-0.10181040	500.0	85.955	-4.13

Cedimento massimo in cmb n. 69 = -4.13 mm

Elemento Platea n. 431

Cmb.	Tipo	Car. Netto	Prof.	Sigm.Z/Sigm.Lit.	Cedim.Edom.
n.	N/mm ²	mm %	mm		
67	SLE rare	0.00000000	500.0	12.985	-0.18
68	SLE freq	-0.07284031	500.0	67.303	-2.94
69	SLE q.p.	-0.10273480	500.0	88.181	-4.10

Cedimento massimo in cmb n. 69 = -4.10 mm

Elemento Platea n. 432

Cmb.	Tipo	Car. Netto	Prof.	Sigm.Z/Sigm.Lit.	Cedim.Edom.
n.	N/mm ²	mm %	mm		
67	SLE rare	0.00000000	500.0	17.117	-0.25
68	SLE freq	-0.07580464	500.0	71.367	-3.00
69	SLE q.p.	-0.10372980	500.0	90.509	-4.06

Cedimento massimo in cmb n. 69 = -4.06 mm

Elemento Platea n. 433

Cmb.	Tipo	Car. Netto	Prof.	Sigm.Z/Sigm.Lit.	Cedim.Edom.
n.	N/mm ²	mm %	mm		
67	SLE rare	0.00000000	500.0	22.744	-0.36
68	SLE freq	-0.07901513	500.0	75.793	-3.08
69	SLE q.p.	-0.10479740	500.0	93.143	-4.03

Cedimento massimo in cmb n. 69 = -4.03 mm

EVO S.r.l.		CODE CODICE
		C23EOSW002S001R00
PAGE		196 di/of 219

Elemento Platea n. 434

Cmb.	Tipo	Car. Netto	Prof.	Sigm.Z/Sigm.Lit.	Cedim.Edom.
n.	N/mm ²	mm %	mm		
67	SLE rare	0.00000000	500.0	30.264	-0.54
68	SLE freq	-0.08247044	500.0	80.695	-3.25
69	SLE q.p.	-0.10527650	500.0	98.811	-4.11

Cedimento massimo in cmb n. 69 = -4.11 mm

Elemento Platea n. 435

Cmb.	Tipo	Car. Netto	Prof.	Sigm.Z/Sigm.Lit.	Cedim.Edom.
n.	N/mm ²	mm %	mm		
67	SLE rare	0.00000000	500.0	37.264	-0.76
68	SLE freq	-0.09396429	500.0	84.421	-3.29
69	SLE q.p.	-0.11812750	500.0	100.832	-4.05

Cedimento massimo in cmb n. 69 = -4.05 mm

Elemento Platea n. 436

Cmb.	Tipo	Car. Netto	Prof.	Sigm.Z/Sigm.Lit.	Cedim.Edom.
n.	N/mm ²	mm %	mm		
67	SLE rare	-0.02072744	500.0	47.811	-1.21
68	SLE freq	-0.09727556	500.0	88.967	-3.41
69	SLE q.p.	-0.11812750	500.0	100.832	-4.05

Cedimento massimo in cmb n. 69 = -4.05 mm

Elemento Platea n. 437

Cmb.	Tipo	Car. Netto	Prof.	Sigm.Z/Sigm.Lit.	Cedim.Edom.
n.	N/mm ²	mm %	mm		
67	SLE rare	-0.04183386	500.0	60.146	-1.77
68	SLE freq	-0.10043150	500.0	93.028	-3.50
69	SLE q.p.	-0.11662020	500.0	102.903	-4.05

Cedimento massimo in cmb n. 69 = -4.05 mm

Elemento Platea n. 438

EVO S.r.l.	 WE ENGINEERING	CODE CODICE	
		C23EOSW002S001R00	
		PAGE	
		197 di/of 219	

Cmb.	Tipo	Car. Netto	Prof.	Sigm.Z/Sigm.Lit.	Cedim.Edom.
n.	N/mm ²	mm %	mm		
67	SLE rare	-0.06315031	500.0	74.070	-2.40
68	SLE freq	-0.10360560	500.0	96.695	-3.59
69	SLE q.p.	-0.11523990	500.0	104.083	-4.00

Cedimento massimo in cmb n. 69 = -4.00 mm

Elemento Platea n. 439

Cmb.	Tipo	Car. Netto	Prof.	Sigm.Z/Sigm.Lit.	Cedim.Edom.
n.	N/mm ²	mm %	mm		
67	SLE rare	-0.08466607	500.0	89.068	-3.07
68	SLE freq	-0.10679390	500.0	99.815	-3.69
69	SLE q.p.	-0.11382920	500.0	104.528	-3.93

Cedimento massimo in cmb n. 69 = -3.93 mm

Elemento Platea n. 440

Cmb.	Tipo	Car. Netto	Prof.	Sigm.Z/Sigm.Lit.	Cedim.Edom.
n.	N/mm ²	mm %	mm		
67	SLE rare	-0.11061050	500.0	108.069	-3.86
68	SLE freq	-0.11061570	500.0	103.349	-3.81
69	SLE q.p.	-0.11238600	500.0	104.160	-3.87

Cedimento massimo in cmb n. 69 = -3.87 mm

Elemento Platea n. 441

Cmb.	Tipo	Car. Netto	Prof.	Sigm.Z/Sigm.Lit.	Cedim.Edom.
n.	N/mm ²	mm %	mm		
67	SLE rare	0.00000000	500.0	1.564	-0.02
68	SLE freq	-0.05506231	500.0	26.701	-1.77
69	SLE q.p.	-0.09524878	500.0	42.447	-2.99

Cedimento massimo in cmb n. 69 = -2.99 mm

Elemento Platea n. 442

Cmb.	Tipo	Car. Netto	Prof.	Sigm.Z/Sigm.Lit.	Cedim.Edom.
n.	N/mm ²	mm %	mm		

EVO S.r.l.	 WE ENGINEERING	CODE CODICE	
		C23EOSW002S001R00	
		PAGE	
		198 di/of 219	

67	SLE rare	0.00000000	500.0	1.855	-0.03
68	SLE freq	-0.05598506	500.0	31.148	-2.08
69	SLE q.p.	-0.09546284	500.0	49.218	-3.47

Cedimento massimo in cmb n. 69 = -3.47 mm

Elemento Platea n. 443

Cmb.	Tipo	Car. Netto	Prof.	Sigm.Z/Sigm.Lit.	Cedim.Edom.
n.	N/mm ²	mm %	mm		
67	SLE rare	0.00000000	500.0	2.208	-0.03
68	SLE freq	-0.05700111	500.0	35.486	-2.29
69	SLE q.p.	-0.09573959	500.0	55.621	-3.77

Cedimento massimo in cmb n. 69 = -3.77 mm

Elemento Platea n. 444

Cmb.	Tipo	Car. Netto	Prof.	Sigm.Z/Sigm.Lit.	Cedim.Edom.
n.	N/mm ²	mm %	mm		
67	SLE rare	0.00000000	500.0	2.638	-0.04
68	SLE freq	-0.05812385	500.0	39.589	-2.44
69	SLE q.p.	-0.09607966	500.0	61.431	-3.96

Cedimento massimo in cmb n. 69 = -3.96 mm

Elemento Platea n. 445

Cmb.	Tipo	Car. Netto	Prof.	Sigm.Z/Sigm.Lit.	Cedim.Edom.
n.	N/mm ²	mm %	mm		
67	SLE rare	0.00000000	500.0	3.167	-0.04
68	SLE freq	-0.05936668	500.0	43.409	-2.54
69	SLE q.p.	-0.09648228	500.0	66.551	-4.07

Cedimento massimo in cmb n. 69 = -4.07 mm

Elemento Platea n. 446

Cmb.	Tipo	Car. Netto	Prof.	Sigm.Z/Sigm.Lit.	Cedim.Edom.
n.	N/mm ²	mm %	mm		
67	SLE rare	0.00000000	500.0	3.819	-0.05
68	SLE freq	-0.06073536	500.0	46.937	-2.63

EVO S.r.l.	 WE ENGINEERING	CODE CODICE
		C23EOSW002S001R00
		PAGE
		199 di/of 219

69 SLE q.p. -0.09694508 500.0 70.969 -4.14

Cedimento massimo in cmb n. 69 = -4.14 mm

Elemento Platea n. 447

Cmb.	Tipo	Car. Netto	Prof.	Sigm.Z/Sigm.Lit.	Cedim.Edom.
n.	N/mm ²	mm %	mm		
67	SLE rare	0.00000000	500.0	4.631	-0.06
68	SLE freq	-0.06224535	500.0	50.226	-2.70
69	SLE q.p.	-0.09746706	500.0	74.764	-4.17

Cedimento massimo in cmb n. 69 = -4.17 mm

Elemento Platea n. 448

Cmb.	Tipo	Car. Netto	Prof.	Sigm.Z/Sigm.Lit.	Cedim.Edom.
n.	N/mm ²	mm %	mm		
67	SLE rare	0.00000000	500.0	5.649	-0.08
68	SLE freq	-0.06390820	500.0	53.335	-2.76
69	SLE q.p.	-0.09804954	500.0	78.027	-4.18

Cedimento massimo in cmb n. 69 = -4.18 mm

Elemento Platea n. 449

Cmb.	Tipo	Car. Netto	Prof.	Sigm.Z/Sigm.Lit.	Cedim.Edom.
n.	N/mm ²	mm %	mm		
67	SLE rare	0.00000000	500.0	6.936	-0.10
68	SLE freq	-0.06573441	500.0	56.334	-2.81
69	SLE q.p.	-0.09869198	500.0	80.862	-4.18

Cedimento massimo in cmb n. 69 = -4.18 mm

Elemento Platea n. 450

Cmb.	Tipo	Car. Netto	Prof.	Sigm.Z/Sigm.Lit.	Cedim.Edom.
n.	N/mm ²	mm %	mm		
67	SLE rare	0.00000000	500.0	8.577	-0.12
68	SLE freq	-0.06773677	500.0	59.295	-2.86
69	SLE q.p.	-0.09939625	500.0	83.377	-4.16

Cedimento massimo in cmb n. 69 = -4.16 mm

EVO S.r.l.		CODE CODICE
		C23EOSW002S001R00
PAGE		200 di/of 219

Elemento Platea n. 451

Cmb.	Tipo	Car. Netto	Prof.	Sigm.Z/Sigm.Lit.	Cedim.Edom.
n.	N/mm ²	mm %	mm		
67	SLE rare	0.00000000	500.0	10.689	-0.16
68	SLE freq	-0.06992676	500.0	62.304	-2.91
69	SLE q.p.	-0.10058090	500.0	83.377	-4.14

Cedimento massimo in cmb n. 69 = -4.14 mm

Elemento Platea n. 452

Cmb.	Tipo	Car. Netto	Prof.	Sigm.Z/Sigm.Lit.	Cedim.Edom.
n.	N/mm ²	mm %	mm		
67	SLE rare	0.00000000	500.0	13.429	-0.21
68	SLE freq	-0.07231581	500.0	65.471	-2.97
69	SLE q.p.	-0.10145260	500.0	85.685	-4.12

Cedimento massimo in cmb n. 69 = -4.12 mm

Elemento Platea n. 453

Cmb.	Tipo	Car. Netto	Prof.	Sigm.Z/Sigm.Lit.	Cedim.Edom.
n.	N/mm ²	mm %	mm		
67	SLE rare	0.00000000	500.0	17.014	-0.27
68	SLE freq	-0.07491597	500.0	68.945	-3.02
69	SLE q.p.	-0.10239470	500.0	87.921	-4.09

Cedimento massimo in cmb n. 69 = -4.09 mm

Elemento Platea n. 454

Cmb.	Tipo	Car. Netto	Prof.	Sigm.Z/Sigm.Lit.	Cedim.Edom.
n.	N/mm ²	mm %	mm		
67	SLE rare	0.00000000	500.0	21.719	-0.37
68	SLE freq	-0.07773683	500.0	72.908	-3.08
69	SLE q.p.	-0.10340920	500.0	90.262	-4.05

Cedimento massimo in cmb n. 69 = -4.05 mm

Elemento Platea n. 455

EVO S.r.l.	 WE ENGINEERING	CODE CODICE	
		C23EOSW002S001R00	
		PAGE	
201 di/of 219			

Cmb.	Tipo	Car. Netto	Prof.	Sigm.Z/Sigm.Lit.	Cedim.Edom.
n.	N/mm ²	mm %	mm		
67	SLE rare	0.00000000	500.0	27.827	-0.52
68	SLE freq	-0.08079187	500.0	77.214	-3.15
69	SLE q.p.	-0.10449820	500.0	92.912	-4.02

Cedimento massimo in cmb n. 69 = -4.02 mm

Elemento Platea n. 456

Cmb.	Tipo	Car. Netto	Prof.	Sigm.Z/Sigm.Lit.	Cedim.Edom.
n.	N/mm ²	mm %	mm		
67	SLE rare	-0.00316554	500.0	35.635	-0.75
68	SLE freq	-0.08408105	500.0	81.978	-3.31
69	SLE q.p.	-0.10503210	500.0	98.619	-4.10

Cedimento massimo in cmb n. 69 = -4.10 mm

Elemento Platea n. 457

Cmb.	Tipo	Car. Netto	Prof.	Sigm.Z/Sigm.Lit.	Cedim.Edom.
n.	N/mm ²	mm %	mm		
67	SLE rare	-0.00994107	500.0	42.638	-1.01
68	SLE freq	-0.09567060	500.0	85.583	-3.34
69	SLE q.p.	-0.11786830	500.0	100.658	-4.04

Cedimento massimo in cmb n. 69 = -4.04 mm

Elemento Platea n. 458

Cmb.	Tipo	Car. Netto	Prof.	Sigm.Z/Sigm.Lit.	Cedim.Edom.
n.	N/mm ²	mm %	mm		
67	SLE rare	-0.03000844	500.0	52.864	-1.46
68	SLE freq	-0.09864157	500.0	89.955	-3.46
69	SLE q.p.	-0.11641260	500.0	102.757	-4.04

Cedimento massimo in cmb n. 69 = -4.04 mm

Elemento Platea n. 459

Cmb.	Tipo	Car. Netto	Prof.	Sigm.Z/Sigm.Lit.	Cedim.Edom.
n.	N/mm ²	mm %	mm		

EVO S.r.l.	 WE ENGINEERING	CODE CODICE	
		C23EOSW002S001R00	
		PAGE	
202 di/of 219			

67	SLE rare	-0.04893851	500.0	64.476	-1.98
68	SLE freq	-0.10147710	500.0	93.812	-3.54
69	SLE q.p.	-0.11641260	500.0	102.757	-4.04

Cedimento massimo in cmb n. 69 = -4.04 mm

Elemento Platea n. 460

Cmb.	Tipo	Car. Netto	Prof.	Sigm.Z/Sigm.Lit.	Cedim.Edom.
n.	N/mm ²	mm %	mm		
67	SLE rare	-0.06805537	500.0	77.318	-2.55
68	SLE freq	-0.10432750	500.0	97.252	-3.62
69	SLE q.p.	-0.11508100	500.0	103.967	-3.99

Cedimento massimo in cmb n. 69 = -3.99 mm

Elemento Platea n. 461

Cmb.	Tipo	Car. Netto	Prof.	Sigm.Z/Sigm.Lit.	Cedim.Edom.
n.	N/mm ²	mm %	mm		
67	SLE rare	-0.08734888	500.0	90.943	-3.16
68	SLE freq	-0.10718880	500.0	100.124	-3.70
69	SLE q.p.	-0.11371950	500.0	104.447	-3.93

Cedimento massimo in cmb n. 69 = -3.93 mm

Elemento Platea n. 462

Cmb.	Tipo	Car. Netto	Prof.	Sigm.Z/Sigm.Lit.	Cedim.Edom.
n.	N/mm ²	mm %	mm		
67	SLE rare	-0.11061050	500.0	108.069	-3.86
68	SLE freq	-0.11061570	500.0	103.349	-3.81
69	SLE q.p.	-0.11232590	500.0	104.114	-3.87

Cedimento massimo in cmb n. 69 = -3.87 mm

Elemento Platea n. 463

Cmb.	Tipo	Car. Netto	Prof.	Sigm.Z/Sigm.Lit.	Cedim.Edom.
n.	N/mm ²	mm %	mm		
67	SLE rare	0.00000000	500.0	3.101	-0.05
68	SLE freq	-0.05999685	500.0	28.633	-1.92

EVO S.r.l.	 WE ENGINEERING	CODE CODICE
		C23EOSW002S001R00
		PAGE
		203 di/of 219

69	SLE q.p.	-0.09388106	500.0	41.910	-2.94
----	----------	-------------	-------	--------	-------

Cedimento massimo in cmb n. 69 = -2.94 mm

Elemento Platea n. 464

Cmb.	Tipo	Car. Netto	Prof.	Sigm.Z/Sigm.Lit.	Cedim.Edom.
n.	N/mm ²	mm %	mm		
67	SLE rare	0.00000000	500.0	3.690	-0.06
68	SLE freq	-0.06083113	500.0	33.365	-2.25
69	SLE q.p.	-0.09411822	500.0	48.601	-3.43

Cedimento massimo in cmb n. 69 = -3.43 mm

Elemento Platea n. 465

Cmb.	Tipo	Car. Netto	Prof.	Sigm.Z/Sigm.Lit.	Cedim.Edom.
n.	N/mm ²	mm %	mm		
67	SLE rare	0.00000000	500.0	4.384	-0.07
68	SLE freq	-0.06175494	500.0	37.956	-2.47
69	SLE q.p.	-0.09441905	500.0	54.933	-3.72

Cedimento massimo in cmb n. 69 = -3.72 mm

Elemento Platea n. 466

Cmb.	Tipo	Car. Netto	Prof.	Sigm.Z/Sigm.Lit.	Cedim.Edom.
n.	N/mm ²	mm %	mm		
67	SLE rare	0.00000000	500.0	5.202	-0.08
68	SLE freq	-0.06278013	500.0	42.268	-2.62
69	SLE q.p.	-0.09478471	500.0	60.685	-3.91

Cedimento massimo in cmb n. 69 = -3.91 mm

Elemento Platea n. 467

Cmb.	Tipo	Car. Netto	Prof.	Sigm.Z/Sigm.Lit.	Cedim.Edom.
n.	N/mm ²	mm %	mm		
67	SLE rare	0.00000000	500.0	6.169	-0.10
68	SLE freq	-0.06391840	500.0	46.247	-2.73
69	SLE q.p.	-0.09521490	500.0	65.760	-4.02

Cedimento massimo in cmb n. 69 = -4.02 mm

EVO S.r.l.		CODE CODICE
		C23EOSW002S001R00
PAGE		204 di/of 219

Elemento Platea n. 468

Cmb.	Tipo	Car. Netto	Prof.	Sigm.Z/Sigm.Lit.	Cedim.Edom.
n.	N/mm ²	mm %	mm		
67	SLE rare	0.00000000	500.0	7.315	-0.12
68	SLE freq	-0.06517448	500.0	49.883	-2.81
69	SLE q.p.	-0.09570753	500.0	70.148	-4.09

Cedimento massimo in cmb n. 69 = -4.09 mm

Elemento Platea n. 469

Cmb.	Tipo	Car. Netto	Prof.	Sigm.Z/Sigm.Lit.	Cedim.Edom.
n.	N/mm ²	mm %	mm		
67	SLE rare	0.00000000	500.0	8.681	-0.15
68	SLE freq	-0.06656190	500.0	53.234	-2.88
69	SLE q.p.	-0.09626212	500.0	73.925	-4.12

Cedimento massimo in cmb n. 69 = -4.12 mm

Elemento Platea n. 470

Cmb.	Tipo	Car. Netto	Prof.	Sigm.Z/Sigm.Lit.	Cedim.Edom.
n.	N/mm ²	mm %	mm		
67	SLE rare	0.00000000	500.0	10.319	-0.18
68	SLE freq	-0.06809089	500.0	56.362	-2.93
69	SLE q.p.	-0.09688045	500.0	77.182	-4.13

Cedimento massimo in cmb n. 69 = -4.13 mm

Elemento Platea n. 471

Cmb.	Tipo	Car. Netto	Prof.	Sigm.Z/Sigm.Lit.	Cedim.Edom.
n.	N/mm ²	mm %	mm		
67	SLE rare	0.00000000	500.0	12.291	-0.22
68	SLE freq	-0.06977072	500.0	59.339	-2.98
69	SLE q.p.	-0.09756234	500.0	80.022	-4.13

Cedimento massimo in cmb n. 69 = -4.13 mm

Elemento Platea n. 472

EVO S.r.l.	 WE ENGINEERING	CODE CODICE	
		C23EOSW002S001R00	
		PAGE	
205 di/of 219			

Cmb.	Tipo	Car. Netto	Prof.	Sigm.Z/Sigm.Lit.	Cedim.Edom.
n.	N/mm ²	mm %	mm		
67	SLE rare	0.00000000	500.0	14.675	-0.27
68	SLE freq	-0.07161278	500.0	62.245	-3.02
69	SLE q.p.	-0.09831009	500.0	82.552	-4.12

Cedimento massimo in cmb n. 69 = -4.12 mm

Elemento Platea n. 473

Cmb.	Tipo	Car. Netto	Prof.	Sigm.Z/Sigm.Lit.	Cedim.Edom.
n.	N/mm ²	mm %	mm		
67	SLE rare	0.00000000	500.0	17.567	-0.34
68	SLE freq	-0.07362733	500.0	65.168	-3.06
69	SLE q.p.	-0.09947063	500.0	82.552	-4.10

Cedimento massimo in cmb n. 69 = -4.10 mm

Elemento Platea n. 474

Cmb.	Tipo	Car. Netto	Prof.	Sigm.Z/Sigm.Lit.	Cedim.Edom.
n.	N/mm ²	mm %	mm		
67	SLE rare	0.00000000	500.0	21.097	-0.43
68	SLE freq	-0.07582458	500.0	68.220	-3.10
69	SLE q.p.	-0.10039090	500.0	84.883	-4.07

Cedimento massimo in cmb n. 69 = -4.07 mm

Elemento Platea n. 475

Cmb.	Tipo	Car. Netto	Prof.	Sigm.Z/Sigm.Lit.	Cedim.Edom.
n.	N/mm ²	mm %	mm		
67	SLE rare	0.00000000	500.0	25.433	-0.54
68	SLE freq	-0.07821542	500.0	71.555	-3.15
69	SLE q.p.	-0.10138640	500.0	87.151	-4.05

Cedimento massimo in cmb n. 69 = -4.05 mm

Elemento Platea n. 476

Cmb.	Tipo	Car. Netto	Prof.	Sigm.Z/Sigm.Lit.	Cedim.Edom.
n.	N/mm ²	mm %	mm		

EVO S.r.l.	 WE ENGINEERING	CODE CODICE	
		C23EOSW002S001R00	
		PAGE	
206 di/of 219			

67	SLE rare	-0.00158676	500.0	30.787	-0.70
68	SLE freq	-0.08080844	500.0	75.357	-3.20
69	SLE q.p.	-0.10245950	500.0	89.531	-4.02

Cedimento massimo in cmb n. 69 = -4.02 mm

Elemento Platea n. 477

Cmb.	Tipo	Car. Netto	Prof.	Sigm.Z/Sigm.Lit.	Cedim.Edom.
n.	N/mm ²	mm %	mm		
67	SLE rare	-0.01074708	500.0	37.299	-0.93
68	SLE freq	-0.08361659	500.0	79.472	-3.25
69	SLE q.p.	-0.10310280	500.0	95.026	-3.99

Cedimento massimo in cmb n. 69 = -3.99 mm

Elemento Platea n. 478

Cmb.	Tipo	Car. Netto	Prof.	Sigm.Z/Sigm.Lit.	Cedim.Edom.
n.	N/mm ²	mm %	mm		
67	SLE rare	-0.02057244	500.0	45.166	-1.23
68	SLE freq	-0.08664178	500.0	84.015	-3.40
69	SLE q.p.	-0.10430990	500.0	98.048	-4.07

Cedimento massimo in cmb n. 69 = -4.07 mm

Elemento Platea n. 479

Cmb.	Tipo	Car. Netto	Prof.	Sigm.Z/Sigm.Lit.	Cedim.Edom.
n.	N/mm ²	mm %	mm		
67	SLE rare	-0.02838359	500.0	51.890	-1.47
68	SLE freq	-0.09838362	500.0	87.428	-3.43
69	SLE q.p.	-0.11710300	500.0	100.141	-4.02

Cedimento massimo in cmb n. 69 = -4.02 mm

Elemento Platea n. 480

Cmb.	Tipo	Car. Netto	Prof.	Sigm.Z/Sigm.Lit.	Cedim.Edom.
n.	N/mm ²	mm %	mm		
67	SLE rare	-0.04477298	500.0	61.304	-1.88
68	SLE freq	-0.10081340	500.0	91.523	-3.53

EVO S.r.l.		CODE CODICE
		C23EOSW002S001R00
		PAGE
		207 di/of 219

69	SLE q.p.	-0.11579980	500.0	102.319	-4.02
----	----------	-------------	-------	---------	-------

Cedimento massimo in cmb n. 69 = -4.02 mm

Elemento Platea n. 481

Cmb.	Tipo	Car. Netto	Prof.	Sigm.Z/Sigm.Lit.	Cedim.Edom.
n.	N/mm ²	mm %	mm		
67	SLE rare	-0.06024070	500.0	71.556	-2.32
68	SLE freq	-0.10313970	500.0	95.056	-3.59
69	SLE q.p.	-0.11579980	500.0	102.319	-4.02

Cedimento massimo in cmb n. 69 = -4.02 mm

Elemento Platea n. 482

Cmb.	Tipo	Car. Netto	Prof.	Sigm.Z/Sigm.Lit.	Cedim.Edom.
n.	N/mm ²	mm %	mm		
67	SLE rare	-0.07585807	500.0	82.554	-2.79
68	SLE freq	-0.10547520	500.0	98.133	-3.66
69	SLE q.p.	-0.11461180	500.0	103.619	-3.97

Cedimento massimo in cmb n. 69 = -3.97 mm

Elemento Platea n. 483

Cmb.	Tipo	Car. Netto	Prof.	Sigm.Z/Sigm.Lit.	Cedim.Edom.
n.	N/mm ²	mm %	mm		
67	SLE rare	-0.09161635	500.0	93.942	-3.29
68	SLE freq	-0.10781650	500.0	100.612	-3.72
69	SLE q.p.	-0.11339550	500.0	104.201	-3.92

Cedimento massimo in cmb n. 69 = -3.92 mm

Elemento Platea n. 484

Cmb.	Tipo	Car. Netto	Prof.	Sigm.Z/Sigm.Lit.	Cedim.Edom.
n.	N/mm ²	mm %	mm		
67	SLE rare	-0.11061050	500.0	108.069	-3.86
68	SLE freq	-0.11061570	500.0	103.349	-3.81

Cedimento massimo in cmb n. 69 = -3.86 mm

EVO S.r.l.		CODE CODICE
		C23EOSW002S001R00
PAGE		208 di/of 219

Elemento Platea n. 485

Cmb.	Tipo	Car. Netto	Prof.	Sigm.Z/Sigm.Lit.	Cedim.Edom.
n.	N/mm ²	mm %	mm		
67	SLE rare	0.00000000	500.0	8.086	-0.22
68	SLE freq	-0.06642260	500.0	31.149	-2.12
69	SLE q.p.	-0.09169368	500.0	41.051	-2.88

Cedimento massimo in cmb n. 69 = -2.88 mm

Elemento Platea n. 486

Cmb.	Tipo	Car. Netto	Prof.	Sigm.Z/Sigm.Lit.	Cedim.Edom.
n.	N/mm ²	mm %	mm		
67	SLE rare	0.00000000	500.0	9.567	-0.27
68	SLE freq	-0.06714176	500.0	36.252	-2.48
69	SLE q.p.	-0.09196808	500.0	47.616	-3.35

Cedimento massimo in cmb n. 69 = -3.35 mm

Elemento Platea n. 487

Cmb.	Tipo	Car. Netto	Prof.	Sigm.Z/Sigm.Lit.	Cedim.Edom.
n.	N/mm ²	mm %	mm		
67	SLE rare	0.00000000	500.0	11.189	-0.31
68	SLE freq	-0.06794560	500.0	41.172	-2.71
69	SLE q.p.	-0.09230790	500.0	53.835	-3.64

Cedimento massimo in cmb n. 69 = -3.64 mm

Elemento Platea n. 488

Cmb.	Tipo	Car. Netto	Prof.	Sigm.Z/Sigm.Lit.	Cedim.Edom.
n.	N/mm ²	mm %	mm		
67	SLE rare	0.00000000	500.0	12.948	-0.36
68	SLE freq	-0.06884395	500.0	45.757	-2.87
69	SLE q.p.	-0.09271490	500.0	59.493	-3.82

Cedimento massimo in cmb n. 69 = -3.82 mm

Elemento Platea n. 489

EVO S.r.l.	 WE ENGINEERING	CODE CODICE	
		C23EOSW002S001R00	
		PAGE	
209 di/of 219			

Cmb.	Tipo	Car. Netto	Prof.	Sigm.Z/Sigm.Lit.	Cedim.Edom.
n.	N/mm ²	mm %	mm		
67	SLE rare	0.00000000	500.0	14.855	-0.41
68	SLE freq	-0.06984621	500.0	49.943	-2.98
69	SLE q.p.	-0.09318959	500.0	64.497	-3.94

Cedimento massimo in cmb n. 69 = -3.94 mm

Elemento Platea n. 490

Cmb.	Tipo	Car. Netto	Prof.	Sigm.Z/Sigm.Lit.	Cedim.Edom.
n.	N/mm ²	mm %	mm		
67	SLE rare	0.00000000	500.0	16.926	-0.46
68	SLE freq	-0.07095589	500.0	53.721	-3.05
69	SLE q.p.	-0.09373035	500.0	68.836	-4.00

Cedimento massimo in cmb n. 69 = -4.00 mm

Elemento Platea n. 491

Cmb.	Tipo	Car. Netto	Prof.	Sigm.Z/Sigm.Lit.	Cedim.Edom.
n.	N/mm ²	mm %	mm		
67	SLE rare	0.00000000	500.0	19.200	-0.52
68	SLE freq	-0.07218384	500.0	57.152	-3.11
69	SLE q.p.	-0.09433760	500.0	72.585	-4.04

Cedimento massimo in cmb n. 69 = -4.04 mm

Elemento Platea n. 492

Cmb.	Tipo	Car. Netto	Prof.	Sigm.Z/Sigm.Lit.	Cedim.Edom.
n.	N/mm ²	mm %	mm		
67	SLE rare	0.00000000	500.0	21.717	-0.58
68	SLE freq	-0.07353872	500.0	60.303	-3.16
69	SLE q.p.	-0.09501373	500.0	75.833	-4.05

Cedimento massimo in cmb n. 69 = -4.05 mm

Elemento Platea n. 493

Cmb.	Tipo	Car. Netto	Prof.	Sigm.Z/Sigm.Lit.	Cedim.Edom.
n.	N/mm ²	mm %	mm		

EVO S.r.l.	 WE ENGINEERING	CODE CODICE	
		C23EOSW002S001R00	
		PAGE	
210 di/of 219			

67	SLE rare	-0.00151905	500.0	24.529	-0.67
68	SLE freq	-0.07502805	500.0	63.254	-3.20
69	SLE q.p.	-0.09575911	500.0	78.682	-4.05

Cedimento massimo in cmb n. 69 = -4.05 mm

Elemento Platea n. 494

Cmb.	Tipo	Car. Netto	Prof.	Sigm.Z/Sigm.Lit.	Cedim.Edom.
n.	N/mm ²	mm %	mm		
67	SLE rare	-0.00605021	500.0	27.689	-0.80
68	SLE freq	-0.07666155	500.0	66.088	-3.23
69	SLE q.p.	-0.09657675	500.0	81.235	-4.04

Cedimento massimo in cmb n. 69 = -4.04 mm

Elemento Platea n. 495

Cmb.	Tipo	Car. Netto	Prof.	Sigm.Z/Sigm.Lit.	Cedim.Edom.
n.	N/mm ²	mm %	mm		
67	SLE rare	-0.01101224	500.0	31.263	-0.94
68	SLE freq	-0.07844780	500.0	68.898	-3.26
69	SLE q.p.	-0.09746855	500.0	83.604	-4.03

Cedimento massimo in cmb n. 69 = -4.03 mm

Elemento Platea n. 496

Cmb.	Tipo	Car. Netto	Prof.	Sigm.Z/Sigm.Lit.	Cedim.Edom.
n.	N/mm ²	mm %	mm		
67	SLE rare	-0.01643642	500.0	35.339	-1.10
68	SLE freq	-0.08039538	500.0	71.801	-3.29
69	SLE q.p.	-0.09869707	500.0	83.604	-4.01

Cedimento massimo in cmb n. 69 = -4.01 mm

Elemento Platea n. 497

Cmb.	Tipo	Car. Netto	Prof.	Sigm.Z/Sigm.Lit.	Cedim.Edom.
n.	N/mm ²	mm %	mm		
67	SLE rare	-0.02235358	500.0	40.043	-1.27
68	SLE freq	-0.08251370	500.0	74.954	-3.32

EVO S.r.l.	 WE ENGINEERING	CODE CODICE	
		C23EOSW002S001R00	
		PAGE	
211 di/of 219			

69	SLE q.p.	-0.09977811	500.0	85.922	-3.98
----	----------	-------------	-------	--------	-------

Cedimento massimo in cmb n. 69 = -3.98 mm

Elemento Platea n. 498

Cmb.	Tipo	Car. Netto	Prof.	Sigm.Z/Sigm.Lit.	Cedim.Edom.
n.	N/mm ²	mm %	mm		
67	SLE rare	-0.02878985	500.0	45.544	-1.46
68	SLE freq	-0.08481007	500.0	78.546	-3.35
69	SLE q.p.	-0.10094520	500.0	88.363	-3.96

Cedimento massimo in cmb n. 69 = -3.96 mm

Elemento Platea n. 499

Cmb.	Tipo	Car. Netto	Prof.	Sigm.Z/Sigm.Lit.	Cedim.Edom.
n.	N/mm ²	mm %	mm		
67	SLE rare	-0.03576824	500.0	51.850	-1.68
68	SLE freq	-0.08729666	500.0	82.413	-3.39
69	SLE q.p.	-0.10183400	500.0	94.016	-3.94

Cedimento massimo in cmb n. 69 = -3.94 mm

Elemento Platea n. 500

Cmb.	Tipo	Car. Netto	Prof.	Sigm.Z/Sigm.Lit.	Cedim.Edom.
n.	N/mm ²	mm %	mm		
67	SLE rare	-0.04325820	500.0	59.102	-1.96
68	SLE freq	-0.08997800	500.0	86.667	-3.53
69	SLE q.p.	-0.10315910	500.0	97.136	-4.03

Cedimento massimo in cmb n. 69 = -4.03 mm

Elemento Platea n. 501

Cmb.	Tipo	Car. Netto	Prof.	Sigm.Z/Sigm.Lit.	Cedim.Edom.
n.	N/mm ²	mm %	mm		
67	SLE rare	-0.05241901	500.0	65.015	-2.14
68	SLE freq	-0.10191830	500.0	89.831	-3.54
69	SLE q.p.	-0.11588360	500.0	99.315	-3.98

Cedimento massimo in cmb n. 69 = -3.98 mm

EVO S.r.l.		CODE CODICE
		C23EOSW002S001R00
		PAGE
		212 di/of 219

Elemento Platea n. 502

Cmb.	Tipo	Car. Netto	Prof.	Sigm.Z/Sigm.Lit.	Cedim.Edom.
n.	N/mm ²	mm %	mm		
67	SLE rare	-0.06401493	500.0	72.921	-2.46
68	SLE freq	-0.10364320	500.0	93.564	-3.62
69	SLE q.p.	-0.11482360	500.0	101.618	-3.99

Cedimento massimo in cmb n. 69 = -3.99 mm

Elemento Platea n. 503

Cmb.	Tipo	Car. Netto	Prof.	Sigm.Z/Sigm.Lit.	Cedim.Edom.
n.	N/mm ²	mm %	mm		
67	SLE rare	-0.07497010	500.0	81.087	-2.78
68	SLE freq	-0.10530580	500.0	96.675	-3.67
69	SLE q.p.	-0.11482360	500.0	101.618	-3.99

Cedimento massimo in cmb n. 69 = -3.99 mm

Elemento Platea n. 504

Cmb.	Tipo	Car. Netto	Prof.	Sigm.Z/Sigm.Lit.	Cedim.Edom.
n.	N/mm ²	mm %	mm		
67	SLE rare	-0.08602669	500.0	89.495	-3.11
68	SLE freq	-0.10697060	500.0	99.280	-3.71
69	SLE q.p.	-0.11386440	500.0	103.064	-3.95

Cedimento massimo in cmb n. 69 = -3.95 mm

Elemento Platea n. 505

Cmb.	Tipo	Car. Netto	Prof.	Sigm.Z/Sigm.Lit.	Cedim.Edom.
n.	N/mm ²	mm %	mm		
67	SLE rare	-0.09717774	500.0	97.876	-3.47
68	SLE freq	-0.10863430	500.0	101.249	-3.75
69	SLE q.p.	-0.11287950	500.0	103.807	-3.90

Cedimento massimo in cmb n. 69 = -3.90 mm

Elemento Platea n. 506

EVO S.r.l.	 WE ENGINEERING	CODE CODICE	
		C23EOSW002S001R00	
		PAGE	
213 di/of 219			

Cmb.	Tipo	Car. Netto	Prof.	Sigm.Z/Sigm.Lit.	Cedim.Edom.
n.	N/mm ²	mm %	mm		
67	SLE rare	-0.11061050	500.0	108.069	-3.86
68	SLE freq	-0.11061570	500.0	103.349	-3.81
69	SLE q.p.	-0.11186650	500.0	103.759	-3.86

Cedimento massimo in cmb n. 67 = -3.86 mm

Elemento Platea n. 507

Cmb.	Tipo	Car. Netto	Prof.	Sigm.Z/Sigm.Lit.	Cedim.Edom.
n.	N/mm ²	mm %	mm		
67	SLE rare	-0.02749090	500.0	20.126	-1.08
68	SLE freq	-0.07390242	500.0	34.077	-2.34
69	SLE q.p.	-0.08883654	500.0	39.930	-2.79

Cedimento massimo in cmb n. 69 = -2.79 mm

Elemento Platea n. 508

Cmb.	Tipo	Car. Netto	Prof.	Sigm.Z/Sigm.Lit.	Cedim.Edom.
n.	N/mm ²	mm %	mm		
67	SLE rare	-0.02889592	500.0	23.552	-1.29
68	SLE freq	-0.07448767	500.0	39.613	-2.73
69	SLE q.p.	-0.08915978	500.0	46.330	-3.25

Cedimento massimo in cmb n. 69 = -3.25 mm

Elemento Platea n. 509

Cmb.	Tipo	Car. Netto	Prof.	Sigm.Z/Sigm.Lit.	Cedim.Edom.
n.	N/mm ²	mm %	mm		
67	SLE rare	-0.03041533	500.0	27.004	-1.44
68	SLE freq	-0.07515192	500.0	44.917	-2.98
69	SLE q.p.	-0.08955064	500.0	52.401	-3.54

Cedimento massimo in cmb n. 69 = -3.54 mm

Elemento Platea n. 510

Cmb.	Tipo	Car. Netto	Prof.	Sigm.Z/Sigm.Lit.	Cedim.Edom.
n.	N/mm ²	mm %	mm		

EVO S.r.l.	 WE ENGINEERING	CODE CODICE	
		C23EOSW002S001R00	
		PAGE	
214 di/of 219			

67	SLE rare	-0.03207126	500.0	30.402	-1.57
68	SLE freq	-0.07590266	500.0	49.818	-3.15
69	SLE q.p.	-0.09001185	500.0	57.937	-3.72

Cedimento massimo in cmb n. 69 = -3.72 mm

Elemento Platea n. 511

Cmb.	Tipo	Car. Netto	Prof.	Sigm.Z/Sigm.Lit.	Cedim.Edom.
n.	N/mm ²	mm %	mm		
67	SLE rare	-0.03388690	500.0	33.714	-1.67
68	SLE freq	-0.07674668	500.0	54.245	-3.26
69	SLE q.p.	-0.09054486	500.0	62.848	-3.83

Cedimento massimo in cmb n. 69 = -3.83 mm

Elemento Platea n. 512

Cmb.	Tipo	Car. Netto	Prof.	Sigm.Z/Sigm.Lit.	Cedim.Edom.
n.	N/mm ²	mm %	mm		
67	SLE rare	-0.03587362	500.0	36.932	-1.77
68	SLE freq	-0.07768601	500.0	58.188	-3.34
69	SLE q.p.	-0.09114867	500.0	67.123	-3.90

Cedimento massimo in cmb n. 69 = -3.90 mm

Elemento Platea n. 513

Cmb.	Tipo	Car. Netto	Prof.	Sigm.Z/Sigm.Lit.	Cedim.Edom.
n.	N/mm ²	mm %	mm		
67	SLE rare	-0.03805835	500.0	40.097	-1.85
68	SLE freq	-0.07872839	500.0	61.712	-3.39
69	SLE q.p.	-0.09182494	500.0	70.835	-3.93

Cedimento massimo in cmb n. 69 = -3.93 mm

Elemento Platea n. 514

Cmb.	Tipo	Car. Netto	Prof.	Sigm.Z/Sigm.Lit.	Cedim.Edom.
n.	N/mm ²	mm %	mm		
67	SLE rare	-0.04045950	500.0	43.252	-1.94
68	SLE freq	-0.07988075	500.0	64.891	-3.42

EVO S.r.l.	 WE ENGINEERING	CODE CODICE
		C23EOSW002S001R00
		PAGE
		215 di/of 219

69 SLE q.p. -0.09257676 500.0 74.072 -3.95

Cedimento massimo in cmb n. 69 = -3.95 mm

Elemento Platea n. 515

Cmb.	Tipo	Car. Netto	Prof.	Sigm.Z/Sigm.Lit.	Cedim.Edom.
n.	N/mm ²	mm %	mm		
67	SLE rare	-0.04309536	500.0	46.454	-2.02
68	SLE freq	-0.08114840	500.0	67.811	-3.45
69	SLE q.p.	-0.09340532	500.0	76.931	-3.96

Cedimento massimo in cmb n. 69 = -3.96 mm

Elemento Platea n. 516

Cmb.	Tipo	Car. Netto	Prof.	Sigm.Z/Sigm.Lit.	Cedim.Edom.
n.	N/mm ²	mm %	mm		
67	SLE rare	-0.04598612	500.0	49.764	-2.12
68	SLE freq	-0.08253918	500.0	70.561	-3.47
69	SLE q.p.	-0.09431439	500.0	79.516	-3.95

Cedimento massimo in cmb n. 69 = -3.95 mm

Elemento Platea n. 517

Cmb.	Tipo	Car. Netto	Prof.	Sigm.Z/Sigm.Lit.	Cedim.Edom.
n.	N/mm ²	mm %	mm		
67	SLE rare	-0.04915061	500.0	53.254	-2.21
68	SLE freq	-0.08405973	500.0	73.240	-3.48
69	SLE q.p.	-0.09530669	500.0	81.935	-3.94

Cedimento massimo in cmb n. 69 = -3.94 mm

Elemento Platea n. 518

Cmb.	Tipo	Car. Netto	Prof.	Sigm.Z/Sigm.Lit.	Cedim.Edom.
n.	N/mm ²	mm %	mm		
67	SLE rare	-0.05260730	500.0	57.015	-2.31
68	SLE freq	-0.08571675	500.0	75.970	-3.50
69	SLE q.p.	-0.09638510	500.0	84.319	-3.92

Cedimento massimo in cmb n. 69 = -3.92 mm

EVO S.r.l.		CODE CODICE
		C23EOSW002S001R00
		PAGE
		216 di/of 219

Elemento Platea n. 519

Cmb.	Tipo	Car. Netto	Prof.	Sigm.Z/Sigm.Lit.	Cedim.Edom.
n.	N/mm ²	mm %	mm		
67	SLE rare	-0.05637490	500.0	61.182	-2.42
68	SLE freq	-0.08751792	500.0	78.912	-3.51
69	SLE q.p.	-0.09755374	500.0	86.840	-3.90

Cedimento massimo in cmb n. 69 = -3.90 mm

Elemento Platea n. 520

Cmb.	Tipo	Car. Netto	Prof.	Sigm.Z/Sigm.Lit.	Cedim.Edom.
n.	N/mm ²	mm %	mm		
67	SLE rare	-0.06046891	500.0	65.919	-2.54
68	SLE freq	-0.08946893	500.0	82.259	-3.53
69	SLE q.p.	-0.09881512	500.0	89.699	-3.89

Cedimento massimo in cmb n. 69 = -3.89 mm

Elemento Platea n. 521

Cmb.	Tipo	Car. Netto	Prof.	Sigm.Z/Sigm.Lit.	Cedim.Edom.
n.	N/mm ²	mm %	mm		
67	SLE rare	-0.06490642	500.0	71.127	-2.67
68	SLE freq	-0.09158128	500.0	85.836	-3.55
69	SLE q.p.	-0.10017870	500.0	92.697	-3.88

Cedimento massimo in cmb n. 69 = -3.88 mm

Elemento Platea n. 522

Cmb.	Tipo	Car. Netto	Prof.	Sigm.Z/Sigm.Lit.	Cedim.Edom.
n.	N/mm ²	mm %	mm		
67	SLE rare	-0.06967663	500.0	76.926	-2.88
68	SLE freq	-0.09386239	500.0	89.755	-3.68

Cedimento massimo in cmb n. 69 = -3.97 mm

Elemento Platea n. 523

EVO S.r.l.		CODE CODICE
		C23EOSW002S001R00
		PAGE
		217 di/of 219

Cmb.	Tipo	Car. Netto	Prof.	Sigm.Z/Sigm.Lit.	Cedim.Edom.
n.	N/mm ²	mm %	mm		
67	SLE rare	-0.08040905	500.0	81.434	-2.97
68	SLE freq	-0.10603380	500.0	92.628	-3.67
69	SLE q.p.	-0.11429320	500.0	98.237	-3.93

Cedimento massimo in cmb n. 69 = -3.93 mm

Elemento Platea n. 524

Cmb.	Tipo	Car. Netto	Prof.	Sigm.Z/Sigm.Lit.	Cedim.Edom.
n.	N/mm ²	mm %	mm		
67	SLE rare	-0.08642276	500.0	87.128	-3.15
68	SLE freq	-0.10693790	500.0	95.938	-3.73
69	SLE q.p.	-0.11355020	500.0	100.702	-3.95

Cedimento massimo in cmb n. 69 = -3.95 mm

Elemento Platea n. 525

Cmb.	Tipo	Car. Netto	Prof.	Sigm.Z/Sigm.Lit.	Cedim.Edom.
n.	N/mm ²	mm %	mm		
67	SLE rare	-0.09212289	500.0	92.540	-3.32
68	SLE freq	-0.10782780	500.0	98.558	-3.75
69	SLE q.p.	-0.11355020	500.0	100.702	-3.95

Cedimento massimo in cmb n. 69 = -3.95 mm

Elemento Platea n. 526

Cmb.	Tipo	Car. Netto	Prof.	Sigm.Z/Sigm.Lit.	Cedim.Edom.
n.	N/mm ²	mm %	mm		
67	SLE rare	-0.09786826	500.0	97.725	-3.49
68	SLE freq	-0.10871170	500.0	100.615	-3.76
69	SLE q.p.	-0.11288970	500.0	102.337	-3.92

Cedimento massimo in cmb n. 69 = -3.92 mm

Elemento Platea n. 527

Cmb.	Tipo	Car. Netto	Prof.	Sigm.Z/Sigm.Lit.	Cedim.Edom.
n.	N/mm ²	mm %	mm		

EVO S.r.l.

**green &
green**
WE ENGINEERING

CODE CODICE

C23EOSW002S001R00

PAGE

218 di/of 219

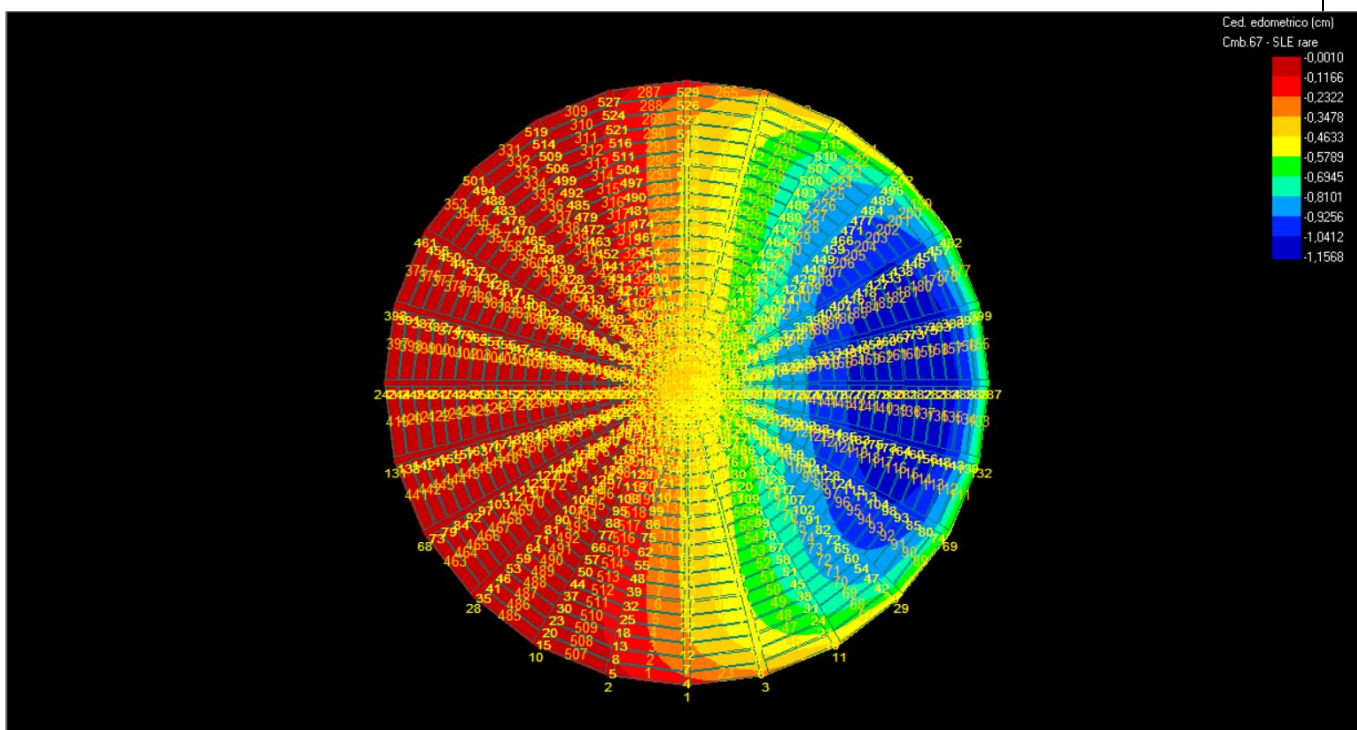
67	SLE rare	-0.10365390	500.0	102.494	-3.67
68	SLE freq	-0.10958660	500.0	101.988	-3.78
69	SLE q.p.	-0.11220660	500.0	103.292	-3.88

Cedimento massimo in cmb n. 69 = -3.88 mm

Elemento Platea n. 528

Cmb.	Tipo	Car. Netto	Prof.	Sigm.Z/Sigm.Lit.	Cedim.Edom.
n.	N/mm ²	mm %	mm		
67	SLE rare	-0.11061050	500.0	108.069	-3.86
68	SLE freq	-0.11061570	500.0	103.349	-3.81
69	SLE q.p.	-0.11149850	500.0	103.473	-3.84

Cedimento massimo in cmb n. 67 = -3.86 mm



03_INT_MAPPA_CEDIMENTI_EDEOMETRICI_001

EVO S.r.l.	green & green WE ENGINEERING	CODE CODICE C23EOSW002S001R00
		PAGE 219 di/of 219

15. CONCLUSIONI

Considerato quanto sopra, le verifiche sul sistema di fondazione analizzato risultano essere soddisfatte. Si precisa ancora una volta che il calcolo ha carattere preliminare, dovrà essere verificato in fase esecutiva considerando i carichi effettivamente trasmessi dalla sovrastruttura.

Il tecnico

Ing. Leonardo Sblendido

A handwritten signature "Leonardo Sblendido" is written over a circular professional stamp. The stamp contains the following text:
 INGEGNERO INGENIERO LEONARDO COSENZA
 Leonardo SBLENDIDO Lauro S.p.A.
 S. Cosenza - Calabria - Italy
 Sblendido Style-Ambientale - Italustyle - Italustyle.com
 1947